

BAYERISCHE AKADEMIE DER WISSENSCHAFTEN
MATHEMATISCHE-NATURWISSENSCHAFTLICHE KLASSE
ABHANDLUNGEN · NEUE FOLGE, HEFT 116

ERICH SCHOENBERG

KATALOG

von 1456 Dunkelwolken der nördlichen Milchstraße
bis zur südlichen Deklination = -36° .

Koordinaten für 1950, Flächeninhalt, Form und Absorption
der Dunkelwolken

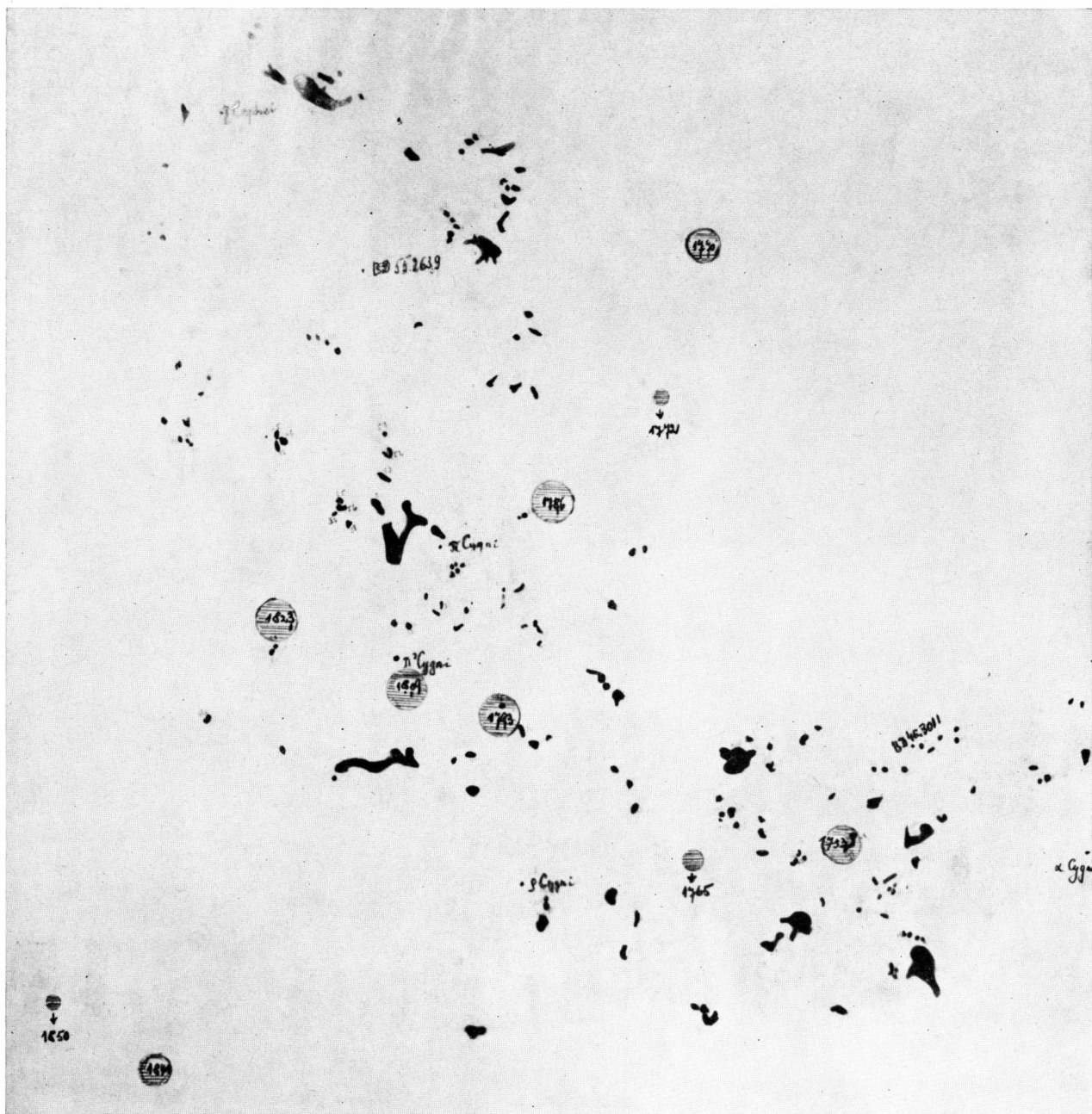
Mit einer Tafel und 9 Abbildungen

Vorgelegt am 5. Oktober 1962

MÜNCHEN 1964

VERLAG DER BAYERISCHEN AKADEMIE DER WISSENSCHAFTEN
IN KOMMISSION BEI DER C. H. BECK'SCHEN VERLAGSBUCHHANDLUNG MÜNCHEN

Druck der C. H. Beck'schen Buchdruckerei Nördlingen
Printed in Germany



Eine (1:2) verkleinerte Abbildung der Dunkelwolken auf Blatt 18 des Roß-Atlas (α = 324°0; δ = 50°2) ohne Sterne.
Durch die gestrichelten Kreise sind mit ihrer Unsicherheit die Lagen der Radiosterne
dieses Gebietes der Milchstraße angedeutet.

Inhaltsverzeichnis

I. Einleitung	5
II. Die Koordinaten	5
III. Die Flächen der Dunkelwolken	6
IV. Die Form der DW	6
V. Die Absorptionen m	7
VI. Vergleich der Helligkeitsschätzungen des Kataloges mit Helligkeitsmessungen derselben DW	8
VII. Die Beziehung zwischen der Fläche und der Absorption der DW	9
VIII. Der Einfluß des Winkels der Durchstoßung auf die Absorption der DW	12
IX. Die in der Rotationsrichtung verlängerte Form der DW	14
X. Die Frequenz der DW in dem Milchstraßengürtel	16
XI. Die mittleren Breiten	18
XII. Die Orientierung der DW gegen die Milchstraße	20
XIII. Die Nebenarme der DW	21
XIV. Die scheinbaren Flächen der DW in \square'	22
XV. Die mittleren Radien und die Entfernungen der DW	24
XVI. Die Massen und die Dichten der DW	26
XVII. Die Anzahl der DW als Funktion der scheinbaren Ausdehnung	29
XVIII. Die Frequenzkurve der wahren Flächen der DW	30
XIX. Die Konstanten der Roß- und Lick-Blätter	33
XX. Katalog von 1456 isolierten Dunkelwolken der Milchstraße	41

I. Einleitung

Dem vorliegenden Katalog der Dunkelwolken (DW) liegen die Atlanten der Milchstraße von Roß¹ und von Lick² zugrunde. Sie enthalten im Gegensatz zum neuesten Palomar-Atlas die positiven Abzüge von Milchstraßenaufnahmen und eignen sich deshalb wesentlich besser zur Auffindung und zur Ortsbestimmung von DW als die negativen Abzüge des Palomar-Atlases, weil die Schwerpunkte der Schwärzungen der DW mit oft unscharfen Rändern deutlicher erkennbar sind als die Lücken des hellen Sternuntergrundes des Palomar-Atlases. Aus demselben Grunde sind die Umrisse und die Helligkeit leuchtender Objekte, wie der planetarische Nebel im Palomar-Atlas, viel leichter als in den genannten Atlanten zu erkennen und zu messen. Die Schwärzungen der DW in diesen konnten als rohes Maß für die Absorption des Lichts benutzt werden, nachdem eine empirische Beziehung zwischen der geschätzten Schwärzung und der aus Sternzählungen innerhalb und außerhalb der DW ermittelten Absorption abgeleitet war. Ein wesentlicher Nachteil der benutzten Atlanten gegenüber dem Palomar-Atlas ist der kleinere Maßstab und die viel geringere Reichweite (17 Gr. Kl.). Aus Sternzählungen innerhalb und außerhalb der DW wird man wesentlich tiefere Regionen der Milchstraße auf den Palomar-Blättern erreichen, als es bei Benutzung der Roß- und Lick-Atlanten möglich war, und vielleicht auch bis zu kleineren Dimensionen der DW vordringen.

Die kleinsten DW des Kataloges haben Durchmesser von 2'. Es wurden nur solche DW in den Katalog aufgenommen, die mindestens auf zwei Blättern desselben oder beider Atlanten, die ganz unabhängig voneinander vermessen wurden, eindeutig feststellbar waren. Die Auswahl ist in bezug auf die kleinsten DW bei weitem nicht vollständig. Glücklicherweise ist sowohl die Grenzgröße der Sterne der beiden Atlanten praktisch dieselbe und auch der Maßstab nahezu identisch (1 mm = 3'. 8 — 4'. 0), so daß die Identifizierung sehr einfach war.

II. Die Koordinaten

Es wurde großes Gewicht auf die Festlegung der Örter und die Form der DW gelegt. Das geschah in folgender Weise. Zunächst wurden durchsichtige Cellophanblätter auf jede Karte der Atlanten geheftet und bei starker rückseitiger Durchleuchtung auf einem dazu konstruierten Meßapparat der Schwerpunkt der Schwärzung und die Form der DW auf die Cellophanblätter durchgezeichnet. Diese wurden dann auf Millimeterpapier aufgespannt und der Schwerpunkt auf dieses übertragen, sowie der Flächeninhalt jeder DW in qmm abgelesen. Gleichzeitig wurden auch vier bis fünf Örter von Vergleichssternen mit bekannten

¹ Ross. F. E. Atlas of the Northern Milky Way. Chicago 1934-6.

² Lick, Publications, Band 11-1913 E. E. Barnard (Photographs of Milky Way and comets).

äquatorialen Koordinaten auf das Cellophanblatt und dann auf das mm-Papier übertragen. Mit ihrer Hilfe wurden dann aus den linearen, vermessenen Koordinaten nach der üblichen Turner'schen Methode die Plattenkonstanten für jedes vermessene Blatt berechnet. Diese Konstanten finden sich für alle vermessenen Blätter am Schluß der Arbeit. Aus ihnen sind dann die Koordinaten α_{1950} , δ_{1950} fünfstellig mit der Genauigkeit von $0.^1$ berechnet. Die aus den Einzelblättern abgeleiteten Koordinaten sind im Katalog einzeln angeführt. Bei dem errechneten Maßstabe jedes Blattes ergaben sich aus dem Flächeninhalt der DW in mm dann auch die Flächeninhalte in \square' . Auch diese sind im Katalog für jedes Blatt einzeln als Fläche eingeführt.

Der mittlere Fehler des Mittels der Örter ε_α , ε_δ und der Flächen ε_f' , ist abhängig von der Größe der DW in der folgenden Tabelle angegeben. Er ist aus den Abweichungen von 2–5 Einzelwerten abgeleitet. Zwischen den Einzelwerten derselben DW aus 2 bis 5 verschiede-

Tabelle 1
Mittlere Fehler in α , δ und f'

Für DW	ε_α	ε_δ	ε_f'
mit $f' < 30 \square'$	$\pm 1.^3$	$\pm 1.^2$	$\pm 2.0 \square'$
$30 < f' < 100 \square'$	$\pm 1.^4$	$\pm 2.^0$	$\pm 5.4 \square'$
$f' > 100 \square'$	$\pm 1.^5$	$\pm 1.^2$	$\pm 10.6 \square'$

nen Blättern der zwei benutzten Atlanten ergaben sich systematische Unterschiede der einzelnen Blätter. Ihre Ursachen waren im wesentlichen kleine Unterschiede in der Schätzung der Schwerpunkte der DW und Fehler in der Übertragung der Örter vom Cellophan- auf das mm-Blatt. Diese systematischen Unterschiede konnten aus 20 bis 50 gemeinsamen DW gegen die Örter der Roß-Blätter abgeleitet werden. An die Örter aus den Lick-Blättern wurden systematische Korrekturen auf die Örter der Roß-Blätter angebracht, so daß die im Katalog angeführten Örter sich im wesentlichen auf die Konstanten der Roß-Blätter beziehen. Sie sind deshalb noch mit kleinen systematischen Fehlern der Roß-Blätter behaftet.

III. Die Flächen der DW

Die Flächeninhalte ergaben sich bei den ganz unabhängigen Vermessungen auf den Roß- und Lickblättern manchmal bis zu 20% verschieden. Auch hier wurden für die Lick-Blätter Korrektionsfaktoren angebracht und so die Maße auf Flächen des Roß-Atlases reduziert. Auch nach diesen Reduktionen erreichen die Abweichungen der Flächen auf den verschiedenen Blättern von ihrem Mittel in Einzelfällen 20–30%, was bei den oft unscharfen und verwaschenen Grenzen verständlich ist.

IV. Die Form der DW

Eine gewisse Unsicherheit haben auch die Umrisse der DW auf den verschiedenen Blättern, die unabhängig voneinander auf den durchsichtigen Cellophanblättern eingezeichnet

wurden. Im Katalog sind folgende Abkürzungen für die öfter auftretenden Formtypen eingeführt worden (Spalte 6).

rund	rd.
länglich	lgl.
elliptisch	ell.
dreieckig	Δ
viereckig	\square
unregelmäßig	urglm.

Manchmal ist die Formencharakteristik ungekürzt angeführt. Bestand über die Form von DW zwischen Roß- und Lickblättern ein wesentlicher Unterschied, so wurde diejenige des Roßblattes angeführt. Auch die Richtung der größten Ausdehnung der DW ist nach dem Kompaß in 16 Stufen (S, SSW, SW, WSW, W usw.) gekennzeichnet.

V. Die Absorptionen Δm

wurden aus den Schwärzungen der DW in folgender Weise angenähert bestimmt. Als Grundlage diente die Anzahl der durch die DW durchscheinenden schwachen Sterne. Zunächst wurde festgestellt, daß die Grenzgröße sowohl bei den Roß- als auch bei den Lickblättern bei $17^{\text{m}0} \pm 0^{\text{m}5}$ liegt. Eine Auszählung der Sternzahlen für alle Wolken des Kataloges wäre eine ungeheuere Arbeit gewesen, die zu bewältigen mir nicht möglich war. Deshalb wurde folgendes vereinfachtes Verfahren angewandt. Für jedes Blatt wurden 10 bis 30 gut definierte DW ausgewählt und für jede von ihnen die Zahl der schwächeren Sterne, die sicher Hintergrundsterne waren, sowohl innerhalb der Umgrenzung der DW als auch außerhalb derselben gezählt. Dazu wurde das durchsichtige Blatt mit der eingezeichneten Umgrenzung auf die passend gewählte Umgebung der DW verschoben. Dann wurden für jedes Blatt und jede DW des Roß- und des Lick-Atlases Verhältniszahlen der schwächeren Sterne innerhalb und außerhalb der DW berechnet und nebenbei auch Schätzungen ihrer Schwärzungen in einer 10stufigen Skala $0,0, 0,5, 1,0, 1,5 \dots$ usw. bis 4,5 gemacht. Dann wurden für jedes Blatt der Atlanten die Beziehung der geschätzten Schwärzung zu den Verhältniszahlen innerhalb und außerhalb der DW $\frac{N_i}{N_a}$ gebildet. Diese Tabellen zeigten aber keine gesicherten Unterschiede zwischen den Blättern derselben Atlanten – ein Beweis für die Gleichartigkeit der Aufnahmen und Reproduktionen aller Blätter derselben Atlanten. Sie wurden deshalb für jeden Atlas zu einer mittleren Tabelle zusammengefaßt.

Tabelle 2

Geschätzte Schwärzungen	$\frac{N_i}{N_a}$ Roß	$\frac{N_i}{N_a}$ Lick
1.5	0.31	0.30
2.0	0.41	0.40
2.5	0.59	0.52
3.0	0.67	0.64
3.5	0.74	0.70
4.0	0.81	0.80
4.5	0.83	0.86

8 VI. Vergleich der Helligkeitsschätzungen des Kataloges mit Helligkeitsmessungen derselben DW

Die innerhalb und außerhalb der DW gezählten Sterne lagen bei 15.^{mo} — 17.^{mo}. Wir entnahmen aus den van Rhin'schen Tabellen der Sternzahlen innerhalb der Milchstraße von 16.^{mo} bis 17.^{mo} den Wert

$$\frac{N_{m+1}}{N_m} = 2.15.$$

Dann wurde eine Kurve gezeichnet für die Beziehung

$$\frac{N_{m+k}}{N_m} = (2.15)^k$$

und für $k = 1.0, 1.5, 2.0, -1.0, -1.5, -2.0$ und aus ihr die Absorptionswerte $\Delta m = m_i - m_a$ (i — innerhalb, a — außerhalb der DW) nach den Werten $\frac{N_i}{N_a}$ entnommen. Es ergab sich folgende Tabelle zur Umwandlung der Schwärzungsschätzungen in Absorptionsbeträge.

Tabelle 3
Schätzung der Schwärzung und Absorption Δm

Schätzung	Roß	Lick
	m	m
1.0	2.0	2.0
1.5	1.6	1.5
2.0	1.2	1.1
2.5	0.8	0.7
3.0	0.6	0.5
3.5	0.5	0.4
4.0	0.3	0.3
4.5	0.2	0.2

Nur der Vergleich der aus verschiedenen Lick- und Roßblätter auf diese Weise erhaltenen Absorptionsbeträge Δm derselben DW kann über ihre Genauigkeit ein Urteil ergeben. Es wäre sonst überhaupt unmöglich, den Einfluß der Platten- und Reproduktionsfehler abzuschätzen. Der Vergleich der Einzelwerte der Δm unseres Kataloges zeigt, daß die Mittelwerte aus 2—5 Blättern keine größeren Fehler als von 0.2 m aufweisen.

VI. Vergleich der Helligkeitsschätzungen des Kataloges mit Helligkeitsmessungen derselben DW

Genaue Absorptionsbestimmungen liegen vor für größere Gebiete der Milchstraße. Für die kleinen DW unseres Kataloges dagegen sind solche Bestimmungen, die sich zum Vergleich mit den Werten unseres Kataloges eignen, nur sehr spärlich vorhanden.

Eine genaue Ausmessung der Helligkeitsverteilung in einer kleinen DW im Schützen hat R. Kühn¹ durchgeführt. In meiner Arbeit:² Die Absorption und die Dichte in 31 Dunkelwolken der südl. Milchstraße, finden sich auch sieben DW dieses Kataloges.

¹ Forschungsberichte der Kommission Observatorium Wendelstein, Nr. 13 Rudi Kühn. Die Bestimmung der Absorption in einer kleinen DW (1956).

² Abhandlungen der Bayerischen Akademie der Wissenschaften, Neue Folge Heft 56 (1949).

In der ersten Arbeit ist die mittlere Absorption der sehr kleinen dreifachen DW mit Hilfe aufkopierter Schwärzungsmarken sorgfältig bestimmt, in der zweiten durch Vergleich der Sternzahlen innerhalb und außerhalb der DW. Der Vergleich ergibt folgende Werte Δm Δm_1 , wo der erste die Absorption unseres Kataloges, der zweite den oben genannten Quellen entnommen ist.

Tabelle 4

Nr. des Kataloges	Δm	Δm_1
733	1.10	1.00
742	0.55	0.51
762	0.45	0.56
761	0.55	0.56
780	0.45	0.56
811	0.37	0.42
815	0.53	0.42
816	0.60	0.42

Da die zweite der genannten Arbeiten sich nur auf die südliche Milchstraße bezieht, ist die Zahl der möglichen Vergleiche nur sehr gering. Die obige Tabelle zeigt keine systematischen Unterschiede innerhalb der Absorptionswerte von $0.^m 4$ — $1.^m 1$ und bestätigt auch die abgeschätzte Genauigkeit.

Ein Vergleich derselben mit den Helligkeiten der Photographischen Photometrie der nördlichen Milchstraße von A. Pannekoek¹ ist nicht möglich, weil die extrafokalen Bilder der Aufnahmen von M. Wolf mit Durchmessern von $0.^{\circ}6$ bis $0.^{\circ}8$ die Durchmesser unserer DW in den allermeisten Fällen weit überschreiten, so daß diese mit ihrer Umgebung verschmiert auf den Wolf'schen Platten erscheinen.

VII. Die Beziehung zwischen der Fläche und der Absorption der DW

Die erhaltenen Werte der DW wurden nach der galaktischen Länge in 6 Gruppen eingeteilt und jede dieser Gruppen in sechs Unterabschnitte nach dem Flächeninhalt der DW. So entstand die folgende Tabelle.

Tabelle 5
Einteilung der Absorptionen nach Fläche und galaktischer Länge (l)

I						II					
Grenzen d. Fläche in \square'	Grenzen d. Länge	Anzahl	Mittl. l	$\Sigma \Delta m$	Mittl. Δm	Grenzen d. Fläche in \square'	Grenzen d. Länge	Anzahl	Mittl. l	$\Sigma \Delta m$	Mittl. Δm
0-20	85-140°	36	88°	28.5	0.79	0-20	142-205°	21	181°	18.4	0.88
20-40	85-140	22	108	20.3	0.92	20-40	147-211	52	163	44.3	0.85
40-60	96-136	8	116	7.1	0.89	40-60	140-202	55	162	49.4	0.90
60-80	96-137	11	122	9.6	0.87	60-80	140-206	18	181	15.7	0.87
80-100	102-139	5	128	4.9	0.98	80-100	163-200	13	183	11.2	0.86
> 100	102-139	8	128	7.6	0.95	> 100	167-200	12	173	11.0	0.92
		90	105	78.0	0.90			171	174	150.0	0.88

¹ Photographische Photometrie der nördl. Milchstraße von A. Pannekoek. Publications of the Astronomical Institute of the University of Amsterdam 1933.

München Ak. Abh. 1963 (Schoenberg) ²

III						V					
Grenzen d. Fläche in \square'	Grenzen d. Länge	Anzahl	Mittl. l	ΣA_m	Mittl. A_m	Grenzen d. Fläche in \square'	Grenzen d. Länge	Anzahl	Mittl. l	ΣA_m	Mittl. A_m
0-20	311-339°	60	325°	42.4	0.71	0-20	357-43°	58	20°	41.2	0.72
20-40	311-339	124	325	94.8	0.76	20-40	353-44	70	19	50.5	0.72
40-60	316-338	71	327	45.7	0.64	40-60	357-41	33	18	27.3	0.83
60-80	315-338	44	326	29.7	0.68	60-80	359-45	13	19	12.5	0.96
80-100	317-336	28	326	17.4	0.62	80-100	351-41	10	16	7.2	0.72
> 100	316-338	70	327	45.6	0.65	> 100	351-42	36	15	33.4	0.93
		397	326	275.6	0.68			220	18	172.1	0.81
IV						VI					
0-20	325-372°	139	348°	91.1	0.66	0-20	54-83°	117	63°	85.2	0.73
20-40	325-371	88	348	60.3	0.69	20-40	65-84	86	72	67.3	0.78
40-60	324-374	18	349	10.3	0.57	40-60	38-84	22	60	18.1	0.82
60-80	326-358	6	342	4.4	0.73	60-80	61-84	10	68	8.2	0.82
80-100	327-355	7	341	5.9	0.84	80-100	55-72	10	63	9.4	0.94
> 100	325-357	19	341	15.5	0.82	> 100	55-74	25	65	23.3	0.93
		277	345	187.5	0.72			270	65	211.5	0.84

Wir betrachten zunächst die Abhängigkeit der Absorption von der Fläche der DW und stellen fest, daß nur in den Gruppen I, IV und VI ein leichtes Anwachsen der Absorption bei $DW > 80 \square'$ bzw. $> 100'$ festzustellen ist, bei den drei anderen Gruppen ist die Absorption unabhängig von der Größe der DW. Für alle sechs Gruppen zusammengenommen ist, wie folgende Tabelle zeigt, ein schwaches Anwachsen der Absorption mit der Fläche der DW festzustellen.

Tabelle 6

Fläche	A_m
0- 20 \square'	0.75
20- 40 \square'	0.78
40- 60 \square'	0.78
60- 80 \square'	0.82
80-100 \square'	0.83
> 100 \square'	0.87

Der mittlere Fehler der Einzelwerte dieser Tabelle liegt bei ± 0.04 , so daß nur ein sehr schwacher Anstieg der Absorption mit der Fläche der DW feststellbar ist.

In der ersten Arbeit über die Absorption in 31 DW der südl. Milchstraße wurde keine zunehmende Absorption mit der Größe der DW festgestellt und daraus die mögliche Deutung dieser Erscheinung darin gesucht, daß die Tiefenausdehnung der DW unabhängig von ihrer scheinbaren Größe, ähnlich einer aufgelockerten Stratuswolkenschicht der irdischen Atmosphäre dieselbe ist. Diese Hypothese soll an dem reicheren Material unseres Kataloges geprüft werden.

Zunächst wurden aus dem ganzen Katalog, ohne Unterteilung nach galaktischer Länge, die Mittelwerte der Absorption der kleinsten DW mit Flächen von 0—10 und von 11—20 \square' gebildet.

$$0-10 \square' \quad A_m = 0.71 \pm 0.01 \text{ Mittel aus } 74 \text{ DW}$$

$$11-20 \square' \quad A_m = 0.73 \pm 0.01 \text{ Mittel aus } 395 \text{ DW}$$

Dann wurden aus dem Katalog alle als „rund“ bezeichneten DW ausgewählt und auch diese in zwei Gruppen $DW \leq 20 \text{ } \square'$ und $\leq 10 \text{ } \square'$ eingeteilt und ihre Absorption gemittelt. Es ergab sich, wenn N die Anzahl und Δm den Mittelwert der Absorption bedeuten

$DW \leq 20 \text{ } \square'$

$$\Sigma \Delta m = 1071, N = 152 \quad \Delta m = 0.70 \pm 0.01$$

$DW \leq 10 \text{ } \square'$

$$\Sigma \Delta m = 176, N = 26 \quad \Delta m = 0.68 \pm 0.03.$$

Endlich wurden noch die direkt als Globulen im Katalog bezeichneten DW oder auch solche als DW „mit Kern“ bezeichneten, die also nicht notwendig eine runde Umgrenzung aufweisen, ausgewählt. Sie sind in der folgenden Tabelle mit ihrer Bezeichnung zusammengestellt.

Tabelle 7

Nr.	Form	Fläche in	
		\square'	Δm
681	unrglm. mit 3 Kernen	17	0.7
689	Rhombus mit 2 Kernen	13	0.7
693	Δ mit Globule	22	0.5
707	Globule	16	0.7
715	rund mit Kern	13	0.6
733	Δ mit Globule	17	1.1
744	lgl. mit Kern	15	0.7
754	lgl. mit Kern	10	0.7
757	lgl. mit Kern	13	0.6
758	rd. mit Kern	18	0.7
770	Kreuz mit Kern im Zentrum	24	0.8
816	lgl. mit Kern	14	0.6
822	\square mit Globule im Zentrum	10	0.6
861	rund mit Kern	15	0.7
1106	rund mit Kern	15	0.7
Mittel		15	0.68

Die Schätzung der Schwärzung bezog sich immer auf die ganze DW, den Kern inbegriffen. Die Tabelle 1 für die Beziehung von Schwärzung zur Absorption wurde dabei auch für die kleinsten DW benutzt, obgleich bei ihrer Aufstellung diese ausgeschlossen waren, da bei ihnen keine oder nur ganz wenige Hintergrundsterne sichtbar waren. Es ist nicht anzunehmen, daß dadurch ein systematischer Fehler für die Absorption in den kleinsten DW eingeführt wurde, denn die Schätzung der mittleren Schwärzung bot keinerlei Schwierigkeit.

Wir erhalten somit folgende Reihe von Werten für die mittlere Absorption, die eine sehr geringe, aber doch eindeutige Abnahme der Werte mit abnehmendem Durchmesser der DW aufweist.

Mittlere Δm aus allen DW	0.75 ± 0.01
Mittlere Δm aus 395 DW $\geq 11 \leq 21 \text{ } \square'$	0.73 ± 0.01
Mittlere Δm aus 74 DW $\leq 11 \text{ } \square'$	0.71 ± 0.01
Mittlere Δm aus 152 rd. DW $\leq 20 \text{ } \square'$	0.70 ± 0.01
Mittlere Δm aus 26 rd. DW $\leq 11 \text{ } \square'$	0.68 ± 0.03
Mittlere Δm aus 15 DW mit Kern (Globulen)	0.68

^{2*}

Die von mir hier als Globulen bezeichneten, kleinen und runden DW sind, auch wenn ihr Durchmesser nur $3'$ beträgt, noch viel zu groß, um als Urstern angesprochen zu werden. Auch bei einer Entfernung von 100 pc beträgt ihr linearer Durchmesser noch 18000 A.E.

Die wahren Globulen können nur in der Projektion auf einem hellen Untergrund (planetarischer Nebel) als dunkle Punkte von $1-3''$ festgestellt werden. Die Messung ihrer Absorption wird mit sehr großen Schwierigkeiten verbunden sein. Immerhin ist es auffallend, daß bis zu 60fach größeren Durchmessern eher eine Abnahme als eine Zunahme der Absorption mit der Abnahme ihrer Dimension festzustellen ist. Unser Katalog enthält neben den runden noch elliptische, dreieckige und s-förmige als typische Formen der DW. Wir haben auch diese in zwei Gruppen mit Flächen $< 20 \square'$ und $> 20 \square'$ eingeteilt und die Mittelwerte für beide Gruppen gebildet.

Wir erhielten für

	Ellipsen		Kreise		Dreiecke		S-form	
	N	mittl. Δm	N	mittl. Δm	N	mittl. Δm	N	mittl. Δm
$\leq 20 \square'$	28	0.757	150	0.702	48	0.700		
$> 20 \square'$	109	0.771	109	0.781	86	0.759	13	0.693

N bezeichnet die Anzahl der in das Mittel eingehenden DW. Für alle Formen derselben bestätigt sich die Abnahme der Absorption mit der Dimension der Wolken. Wir haben in unserer ersten Arbeit (1) keine Abhängigkeit der Absorption der vermessenen 31 DW der südlichen Milchstraße von ihrer wahren Größe feststellen können. Dabei waren ihre Entfernungen aus dem Betrage der selektiven Absorption abgeschätzt. Die scheinbaren Durchmesser unseres Kataloges bestätigen das bis auf die geringe Abnahme der Absorption bei den hier sehr viel kleineren DW. Bis auf die Abnahme der kleinsten DW ist unsere frühere Hypothese von nahezu gleicher Tiefe der DW bestätigt. Die Hypothese kann noch auf andere Weise geprüft werden. Flache Gebilde müßten eine Abhängigkeit der Absorption von dem Winkel aufweisen, unter dem die flachen Scheiben vom Sehstrahl durchstoßen werden.

VIII. Der Einfluß des Winkels der Durchstoßung auf die Absorption der DW

Zur Prüfung der obigen Hypothese benutzen wir die Einteilung des Materials in sechs Gruppen, wie es in Tabelle 5 angegeben ist. In der Fig. I sind die Verhältnisse anschaulich dargestellt, wobei der Radius der Galaxis $R = 9000$ pc und der Umkreis, in dem die kleinen Dunkelwolken sichtbar sind, mit $r = 750$ pc, angenommen ist. Auch die galaktischen Längen l für die sechs Gruppen der DW sind eingetragen, und zwar ungeachtet ihrer wahren Entfernungen auf dem kleinen Kreise. Für die Gruppe I mit $l = 105^\circ$ ist auch die Verbindungsline von I mit dem galaktischen Zentrum angegeben, dessen Länge $326.^o$ ist. Die Längen von diesem Zentrum aus sind mit λ bezeichnet.

Der Winkel am galaktischen Zentrum ist mit α bezeichnet und der Winkel bei I mit x . Das ist der Durchstoßungswinkel der in der Richtung der Kreisbewegung um das galakti-

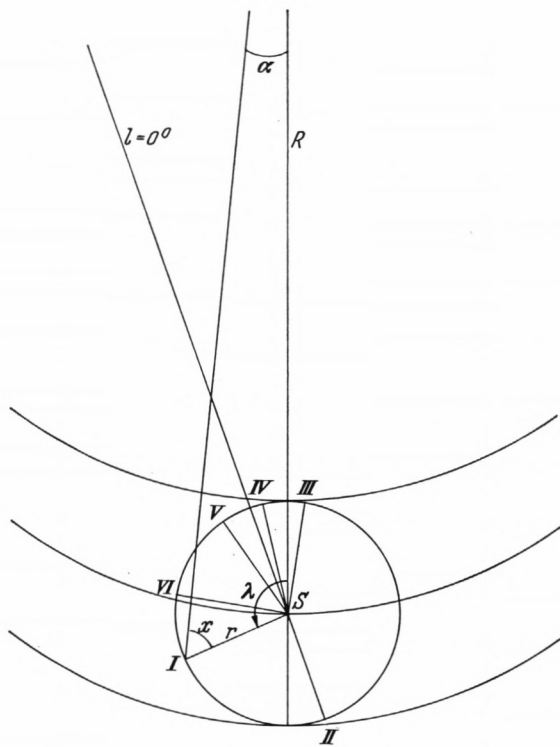


Fig. I: Die Lage der VI Wolkengruppen

sche Zentrum verlängerten, als planparallele Platten angenommenen DW. Der dritte Winkel im schmalen Dreieck zwischen dem Zentrum der Milchstraße, dem Punkte I und der Sonne sei x .

Wir haben

$$\frac{r}{R} = \frac{\sin \alpha}{\sin x}$$

$$\lambda = l + 34^\circ$$

und

$$\alpha = \pi - (\lambda + x) \text{ und}$$

$$r = R (\cos \lambda + \cotg x \sin \lambda) \quad (1)$$

$$\cotg x = \frac{r}{R} \csc \lambda - \cotg \lambda.$$

Hier ist das erste Glied wegen des kleinen Faktors $\frac{r}{R}$ sehr klein, und die Winkel x und λ unterscheiden sich nur wenig, was aus folgender Tabelle, die diese Winkel und die zugehörigen, mittleren Absorptionswerte der sechs Gruppen der DW enthält, hervorgeht.

Tabelle 8

	λ	x	Δm
I	-41°	39°	0.90
II	-27°	26°	0.88
III	0°	0°	0.68
IV	19°	-20°	0.72
V	52°	-54°	0.81
VI	-81°	78°	0.84

Nach Zusammenfassung in vier Gruppen mit stetig anwachsenden Werten des Durchstoßungswinkels x tritt das Anwachsen der Absorption mit wachsendem x deutlich hervor.

Tabelle 9

	x	Δm
III	0°	0.68
$\frac{1}{2}$ (IV + II)	23°	0.80
$\frac{1}{2}$ (I + V)	47°	0.86
VI	78°	0.84

Die Abweichung bei der Gruppe VI, bei der die Gesichtslinie die Ebene streift, kann auf die grobe Vereinfachung einer planparallelen Begrenzung, bei den sehr verschiedenen Formen der DW erklärt werden.

Die DW sind demnach als flache, senkrecht zur Richtung der galaktischen Rotation abgeflachte Gebilde zu betrachten.

IX. Die in der Rotationsrichtung verlängerte Form der DW

Beim Durchzeichnen der DW wurde neben der schematischen Charakteristik der Form auch die Richtung ihres größten Durchmessers in acht- und manchmal sechzehnstufiger Skala geschätzt, nach den Kompaßstrichen N, NNO, NO, NOO, O usw., soweit die DW nicht als rund oder so unregelmäßig begrenzt erschien, daß eine Vorzugsrichtung nicht bestimmbar war. Die Daten finden sich in Spalte 7 des Kataloges. Diese Verlängerungsrichtung ist in bezug auf die Richtung der Rotation immer zweideutig. Man kann aber annehmen, wenn eine Vorzugsrichtung überhaupt vorhanden ist, daß die zufällig in umgekehrter Richtung rotierenden DW nur einen kleinen Bruchteil in der Gesamtsumme aller in einer bestimmten Richtung verlängerten DW ausmachen. Außerdem muß man erwarten, daß die Anzahl der ohne Vorzugsrichtung, d. h. „runden“ DW in den galaktischen Längen $l = 60^\circ$ oder $l = 150^\circ$ gegenüber der Anzahl in anderen galaktischen Längen überwiegen muß. Die DW des Kataloges wurden in sechs Gruppen mit wachsender galaktischer Länge eingeteilt, ohne Rücksicht auf ihre galaktische Breite, und für jede Gruppe die mittlere Deklination gebildet.

Wir bilden das rechtwinkelige sphärische Dreieck zwischen dem Ort der DW (S) auf der Galaxis, dem Pol des Aequators (P) und dem Ort (G) auf der Galaxis mit der Länge

$\ell = 90^\circ$. Die Neigung der Galaxis zu den Deklinationskreisen δ bezeichnen wir mit A . Der Winkel PSG ist dann $90^\circ - A$, die Seiten $SP = 90^\circ - \delta$, $PG = 28^\circ$. Es ergibt sich dann

$$\cos A = \frac{\sin 28}{\cos \delta}$$

für den theoretischen Neigungswinkel der Galaxis zur O-W-Richtung.

Andererseits kann dieser Winkel aus der Anzahl der DW, die in der NS-Richtung verlängert sind, zu der Anzahl der in OW-Richtung verlängerten gefunden werden, wenn man sich diese Anzahlen als Vektoren in der NS- bzw. OW-Richtung dargestellt denkt. Es müßte dann, wenn diese Anzahlen durch N_{n-s} und N_{o-w} bezeichnet werden,

$$\frac{N_{n-s}}{N_{o-w}} = \tan A.$$

Wenn eine Verlängerung der DW in der Ebene der Galaxis vorhanden ist, müßten der theoretische und der Beobachtungswert von A identisch sein, soweit die DW alle in der galaktischen Ebene liegen würden. Nicht einmal die Hauptebene der verstreut um die Galaxis liegenden DW fällt mit ihr zusammen, wie wir in einem späteren Kapitel sehen werden. Außerdem gibt es bedeutende lokale Abweichungen einzelner DW von der galaktischen Hauptebene. Es sind deshalb bedeutende Unterschiede des theoretischen und des praktischen Wertes von A zu erwarten.

In der Tabelle 10 ist die Anzahl der DW mit den Bezeichnungen O-W und N-S in den Spalten 2 und 3, sowie ihr Verhältnis unter $\tan A$ in Spalte 4 eingetragen. Spalte 5 enthält die Deklination δ für den Mittelwert von sechs Gruppen der DW. Diese sechs Gruppen entsprechen der Einteilung der Tabelle 5 und der Fig. I.

Tabelle 10

	O-W	N-S	$\frac{N-S}{O-W}$	A	δ	Nr.	$\frac{Nr.}{N_{o-w}}$	ℓ
I	17	20	1.176 = Tg 49°6	42°8	+ 50.2	31	1.82	105
II	38	50	1.316 = Tg 52°8	61°8	+ 5.5	33	0.87	174
III	114	133	1.167 = Tg 49°4	58°0	- 27.5	111	0.97	326
IV	37	87	2.351 = Tg 67°0	62°0	- 2.0	35	0.95	345
V	40	53	1.325 = Tg 52°0	58°4	+ 26.5	32	0.80	18
VI	25	44	1.762 = Tg 60°4	39°5	+ 52.5	34	1.36	65

Nur die Mittelwerte der Neigungswinkel der Galaxis zu den Deklinationskreisen (A) und der Vorzugsrichtung der DW stimmen recht gut überein. Die Einzelwerte zeigen die erwarteten bedeutenden Abweichungen.

Bilden wir aber das Verhältnis N_r der rund erscheinenden DW zu den in der OW-Richtung ausgerichteten (Spalte 8), so zeigt sich deutlich, daß dieses Verhältnis der erwarteten Ausrichtung der DW längs der Galaxis entspricht. Ein Blick auf die Figur I zeigt, daß die

Gruppen I und VI nahezu parallel zur Rotationsrichtung der Milchstraße liegen, dagegen die Gruppen II, III, IV und V nahezu senkrecht für den Beobachter in S. Die Verhältnisse $\frac{N_r}{N_{o-w}}$ sind im Mittel 1.6 und 0.9, womit die Ausrichtung der DW in der Rotationsrichtung der Milchstraße bestätigt ist.

X. Die Frequenz der DW in dem Milchstraßengürtel

Die im Katalog angeführten galaktischen Koordinaten der DW (Spalte 8) sind den Tabellen von J. Ohlsson, Annals of the Observatory of Lund, Nr. 3 (1932) entnommen, denen die Koordinaten $A = 190^\circ$, $D = +28^\circ$, des Pols der Galaxis zugrunde liegen.

Wenn auch die Auswahl der DW bis zu einem gewissen Grade willkürlich und sicher nicht vollständig war, so kann ihre Auswahl trotzdem als homogen angesehen werden, weil sie praktisch von einem Beobachter (dem Verfasser und seiner Mitarbeiterin, Frau E. Brockmann unter seiner Kontrolle) ausgeführt wurde. Wie schon erwähnt, wurden nur solche DW in den Katalog aufgenommen, die sich auf mindestens zwei Blättern der benutzten Atlanten in gleicher Form identifizieren ließen. Zur Bestimmung der Verteilung der DW des Kataloges wurde folgendes Verfahren angewandt.

Zunächst wurde das gesamte Material der DW in Streifen von 10° galaktischer Länge eingeteilt und die Anzahl der DW für jeden Grad Länge und Breite ausgezählt. Sodann wurde die mittlere Breite für jede 10-Grad-Längenzone berechnet. So ergab sich folgende Tabelle der mittleren Breiten (b) für 23 Längenzonen. Dabei fehlen die Zonen zwischen $l = 214^\circ$ bis $l = 311^\circ$, da die verwendeten Atlanten nur bis $l = 311^\circ$ und zur südlichen Deklination $b = -40^\circ$ reichen.

Tabelle 11

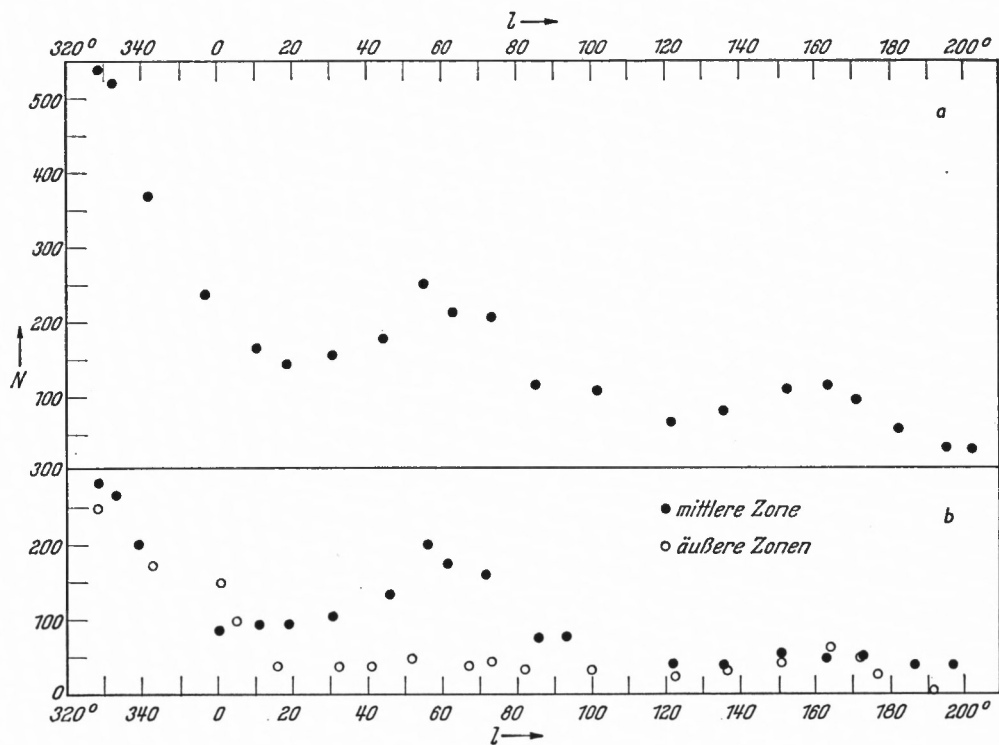
Nr.	mittlere Länge	mittlere Breite	Anzahl
1	315°	$+2^\circ 17$	62
2	325°	-2.41	238
3	335°	$+1.23$	240
4	345°	-3.24	44
5	355°	-5.21	84
6	0°	-4.21	54
7	10°	-1.55	57
8	20°	-1.45	56
9	30°	-2.26	34
10	40°	$+0.61$	40
11	55°	-1.42	76
12	65°	-0.23	112
13	75°	$+3.91$	75
14	85°	-2.59	69
15	100°	-3.32	19
16	125°	-5.37	20
17	135°	$+2.84$	28
18	145°	-4.64	30
19	165°	-2.64	53
20	175°	-6.00	33
21	185°	$+3.13$	11
22	195°	-0.66	14
23	207°	$+0.96$	18

Um die starken Schwankungen in den Werten der Breiten etwas zu glätten, wurden übergreifende Dreiermittel berechnet. Dabei wurden die Gewichte, entsprechend der Anzahl der DW, sowohl für die Breiten als auch die mittleren Längen angesetzt. So entstand folgende Tabelle 12 die nur 21 Werte enthält.

In dieser Tabelle ist in den Spalten V bis X das Material noch aufgespalten: in die zentrale Zone, welche die Breiten zwischen $l = +4^\circ$ und $b = -4^\circ$ enthält und die äußeren Zonen für die Breiten $4^\circ < b < -4^\circ$. Die Zahlen dieser Tabelle 12 sind auch in den Figuren II a und II b dargestellt, in denen die Abszissen die Längen, die Ordinaten die Anzahl der DW in den 10° -Längenzonen bedeuten. Wir sehen im oberen Diagramm α für alle DW außer dem Maximum bei $l = 330^\circ$, das dem Zentrum der Galaxis entspricht, noch zwei weitere Maxima bei $l = 60^\circ$ und $l = 163^\circ$, das letztere in der Nähe des Gegenpunktes zum galaktischen Zentrum. Für die mittlere Zone ist das letztere Maximum verschwunden. In den äußeren Zonen ist dagegen das Maximum bei $l = 60^\circ$ nicht mehr feststellbar. Bei diesen Zonen ist dagegen das Maximum bei 165° , wenn auch sehr abgeschwächt, noch angedeutet. Die Erklärung für diese Verteilung soll in einem späteren Kapitel behandelt werden.

Tabelle 12

	Alle Dunkelwolken			Zentrale Zone			Äußere Zonen $4^\circ < b < -4^\circ$		
	mittl. l	mittl. b	Anzahl	mittl. l	mittl. b	Anzahl	mittl. l	mittl. b	Anzahl
1	328°.3	-0°26	540	328°.3	+1°5	287	328°6	-2°5	246
2	331.3	-0.81	522	333.0	+1.0	267	330.0	-2.7	248
3	340.7	-0.77	368	339.0	+0.4	205	342.9	-2.4	171
4	357.0	-3.75	239	0.2	-1.0	89	-0.4	-5.2	150
5	10.1	-2.38	167	11.3	+0.3	97	-4.9	-5.2	100
6	18.4	-1.68	147	19.5	+0.8	97	16.2	-6.4	45
7	30.7	-0.75	157	30.5	+0.9	109	32.6	-5.3	43
8	44.5	-0.81	177	45.5	0.0	138	41.0	-4.5	39
9	55.5	-0.62	255	56.6	-0.1	211	51.9	-2.4	50
10	62.7	-0.44	215	61.6	-0.6	176	67.2	+1.4	45
11	72.9	-0.80	208	72.3	-0.9	163	73.3	+0.9	48
12	85.1	-1.18	115	86.4	-1.6	77	82.4	-0.0	35
13	101.8	-3.23	108	93.0	-1.3	79	100.1	-2.0	35
14	122.1	-1.36	67	122.2	+0.6	44	122.7	-4.5	26
15	136.2	-2.14	78	135.2	+1.1	43	136.6	-6.9	37
16	152.0	-1.80	111	150.8	+0.2	59	151.4	-4.0	26
17	162.7	-4.11	116	162.9	+0.1	52	164.2	-6.7	65
18	170.7	-3.09	97	172.4	+0.2	53	171.8	-5.8	51
19	181.7	-2.92	58	186.1	+0.4	44	176.5	-5.7	33
20	195.5	+1.26	38	196.7	+0.2	47	191.8	-3.2	5
21	201.9	+0.25	32						

Fig. II: Die Anzahl der DW in den Dreiermitteln der 10° -Zonen.

XI. Die mittleren Breiten

Unsere Tabelle 12 enthält auch die mittleren Breiten der Dreiermittel aus übergreifenden 10° -Längen-Zonen. In Fig. III sind diese Breiten sowohl für alle DW (oben) als auch für die zentrale Zone dargestellt. Dabei ist die Anzahl der in die Mittelwerte eingehenden DW durch die Größe der Kreise angedeutet. Wir sehen, daß für die zentrale Breitenzone nur kleine Abweichungen von der Zentrallinie der Galaxis auftreten, die 1.5° nicht überschreiten. Dagegen liegt die Kurve der mittleren Breiten für alle Breitenzonen bis auf 2 Punkte ganz südlich der Galaxis und würde eine Zentrallinie bei etwa $b = -2.5^\circ$ verlangen. Der unregelmäßige Verlauf der DW gegenüber der aus der Sterndichte abgeleiteten Zentrallinie der Milchstraße deutet darauf hin, daß sich der Zug der DW durch Überlagerung zweier oder mehrerer Arme von verschiedenener Neigung zur Zentrallinie zusammensetzt.

Wenn man die Tabelle 12 für die äußereren Breitenzonen graphisch in der Fig. III a darstellt, so findet sich auch sofort die Erklärung für den eigentümlichen Verlauf der mittleren Breiten für alle DW (obere Kurve in Fig. III). Die Fig. III a hat eine Mittellinie bei $b = -3.5^\circ$ und deutet durch ihren ganzen Verlauf südlich der Zentrallinie der Galaxis auf die Existenz eines getrennten, südlich verlaufenden Armes der Milchstraße. In Verbindung mit der zentralen Zone der DW ergibt sich erst der eigentümliche Verlauf der Breitenkurve für alle Zonen.

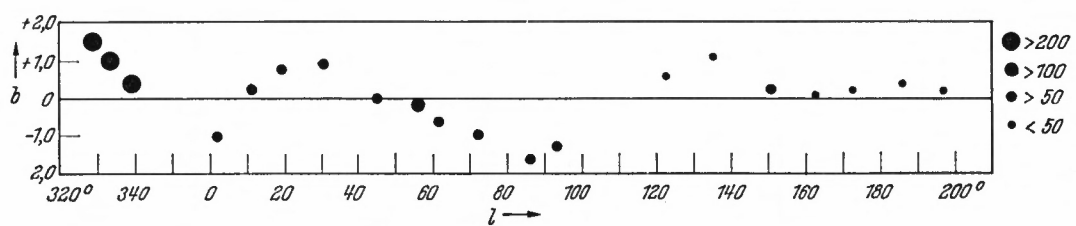
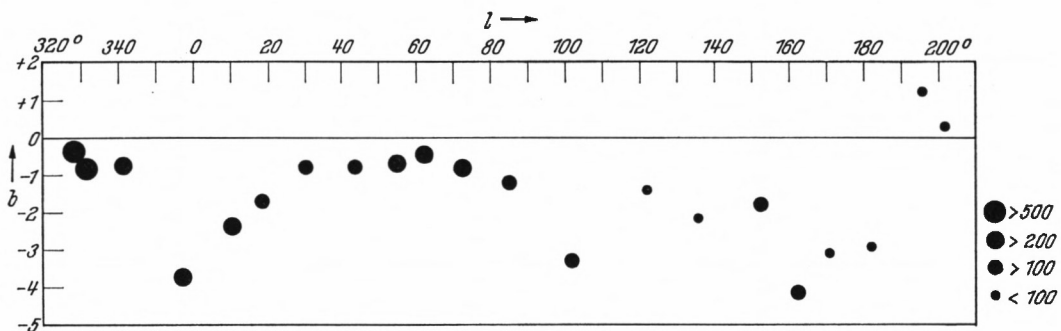


Fig. III: Obere Kurve: mittlere Breite b der DW in den 10° -Längszonen für alle DW

Untere Kurve: mittlere Breite b der DW in den 10° -Längenzonen für die mittleren Breitenzonen

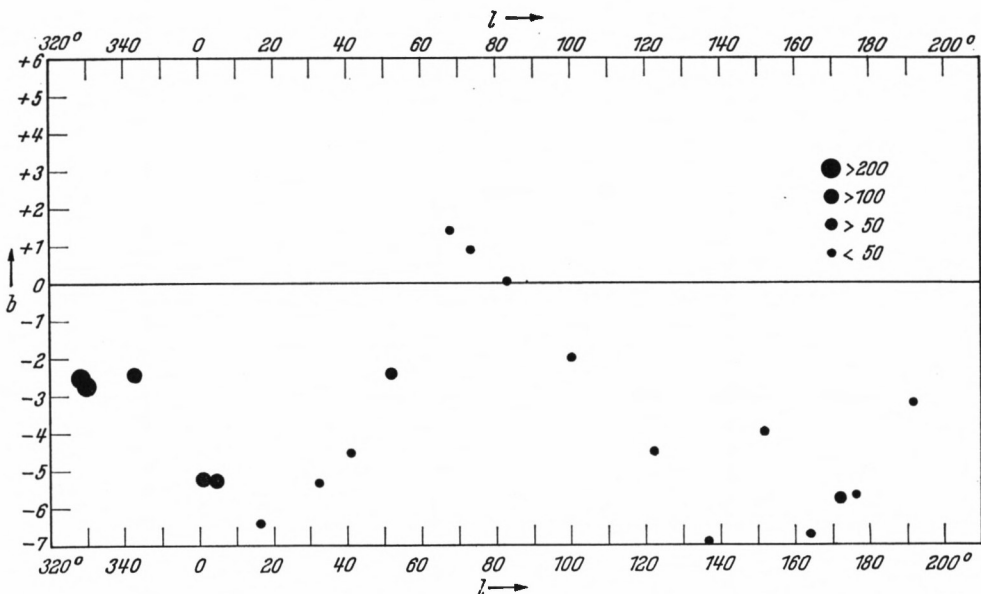


Fig. IIIa: Mittlere Breite b der DW in den 10° -Längenzonen für die äußeren Breitenzonen

XII. Die Orientierung der DW gegen die Milchstraße

Wir berechnen die Lage des Poles der Zentraallinie sowohl für die Gesamtheit der DW als auch für die zentrale Zone. Dabei benutzen wir für die Ausgangswerte der aequatorialen Koordinaten des Poles der Milchstraße A_0, D_0

$$A_0 = \delta\delta_0 - 90^\circ \quad D_0 = 90^\circ - i$$

$$\text{bei } \delta\delta_0 = 280^\circ = 18^h 40^m; i = 62^\circ,$$

die den Ohlson'schen Tafeln zugrunde liegen und die Formel von P. P. Parenago¹

$$b = -\Delta R + 0.883 \cos l \Delta \delta - \sin l \Delta i$$

wo $-\Delta R$ die Breite des kleinen Kreises der Milchstraße ist. Die Tabelle 12 enthält 21 Mittelwerte von l und b und die Anzahlen der DW, die in diese Mittelwerte eingehen.

Wir erhielten für die Gesamtheit der DW aus 21 Werten

	ΔR	$\Delta \delta$	Δi
bei gleichem Gewicht	+ 1°.4	+ 0°.4	+ 0°.3
bei ungleichem Gewicht	+ 1. 5	+ 0 .1	+ 0 .5

Dagegen erhielt ich für die zentrale Zone aus 20 Mittelwerten

bei gleichem Gewicht	- 0°.4	+ 0°.9	+ 0°.05
bei ungleichem Gewicht	- 0 .5	+ 1 .1	+ 0 .07.

Die Gesamtheit der DW gibt somit als Zentraallinie einen kleinen Kreis, der um 1°.5 südlich von der Ohlson'schen Galaxis liegt, was aus den Figuren auch abzulesen wäre, wenn in ihnen die südliche Abweichung auch größer erscheint.

Es liegt die Vermutung nahe, daß die DW der äußeren Zonen, die die starke Abweichung der Mittellinie der DW verursachen, von einem oder mehreren Armen der Milchstraßenspirale, die eine Neigung gegen die Hauptebene besitzen, verursacht sind. Freilich ist die beobachtete Anzahl der DW abhängig von der Dichte des Sternhintergrundes und gibt kein objektives Maß ihrer wirklichen Verteilung, Dessen ungeachtet soll der Versuch gemacht werden, die Deutung der Verteilung der DW auf verschiedenen geneigten Armen zurückzuführen.

Die Differentialformel

$$\frac{di}{\sin l} = -db$$

¹ P. P. Parenago, Astronomical Journal of Soviet Union XIII, 4 (1937).

gibt die Abhängigkeit der Breitenkorrektion Δb gegen die Ebene der Galaxis eines zu dieser um Δi geneigten Kreises und wurde versuchsweise auf die Breiten der nördlichen und südlichen Zonen der Tabelle 12 angewandt.

Es zeigte sich, daß sich bei den um 180° abweichenden Längen die Korrekturen in Breite nahezu gleich, aber von umgekehrten Zeichen sind, z. B. bei $l = 148^\circ 8$ nördlich die Korrektion $+5^\circ 6$ bei $325^\circ 8$ südlich die Korrektion $-6^\circ 3$.

Tabelle 13

Nördliche Zone				Südliche Zone			
mittl. l	mittl. b	Δi	gewichtetes Δi	mittl. l	mittl. b	Δi	gewichtetes Δi
325° 9	+ 6° 1	+ 11° 37	+ 11° 79	325° 8	- 6° 3	- 11° 55	- 11° 06
148.8	+ 5.6	- 14.28	- 11.06	126.9	- 9.1	+ 12.74	+ 14.54

Die Zahlen der Tabelle sind Mittel aus jeweils drei Werten, die nahezu um 180° in Länge voneinander abweichen. Die Werte von Δi sind einmal mit gleichem Gewicht, das anderemal entsprechend der Gesamtfläche der DW, die in das betreffende Mittel eingehen, angesetzt. Das Verhalten der Korrekturen entspricht zwei gegen die Galaxis geneigten Kreisen, in deren Schnittpunkt die Anhäufung der DW in der Länge $l = 60^\circ$ möglicherweise erklärt werden kann, wobei zu berücksichtigen wäre, daß auch die Zentrallinie der DW südlich von der Ebene der Galaxis liegt.

XIII. Die Nebenarme der DW

Für die Berechnung der Zentrallinie dieser Nebenarme der DW kann die Differentialformel von Parenago nicht benutzt werden, weil beträchtliche Abweichungen von den Ohlson'schen Koordinaten des Milchstraßenpoles zu erwarten sind. Wir wenden deshalb die Newcomb'sche Methode zur Bestimmung der galaktischen Koordinaten der Pole der Nebenarme der DW an. Die Formel lautet:

$$\cos b \cos l \cos B \cos L + \cos b \sin l \cos B \sin L + \sin b \sin B + \sin R = 0,$$

wo B und L die galaktischen Koordinaten des Poles sind.

Wir benutzen dabei eine Auswahl von 7 um ungefähr 180° in Länge entfernten Werten aus der nördlichen und südlichen Zone Tabelle 14, die in folgender Tabelle zusammengestellt sind. Sie enthält neben den galaktischen Koordinaten auch die nach der Formel

$$\frac{\Delta i}{\sin l} = -\Delta b$$

angenähert berechneten Korrekturen der Neigung Δi und die Gewichte p , die nach der Anzahl der eingehenden Einzelwerte angesetzt sind.

XIV. Die scheinbaren Flächen der DW in \square'

l	Nördliche Zone			p	l	Südliche Zone			p
	b	di	p			b	di	p	
318°0	+5°4	+ 8.07	3		105°7	- 6°2	+ 6.44	0.3	
325.2	+6.9	+12.09	1.5		127.9	-12.0	+15.22	1.5	
334.5	+6.0	+13.94	5		147.1	- 9.0	+16.56	0.7	
					165.6	-10.0	+40.21	1.5	

Das Ergebnis ist für die galaktischen Koordinaten des Poles dieses Armes der DW

$$L = 5^{\circ}4 \quad B = 79^{\circ}2 \quad R = -2^{\circ}7.$$

Der Arm hat somit eine beträchtliche Neigung gegen den Ohlson'schen Aequator der Milchstraße. Er trägt den starken, südlichen Abweichungen bei $l = 160^{\circ}$ Rechnung. Der Verlauf dieses Armes der DW ist in die Figur IV eingetragen. Der Anhäufung der DW in der galaktischen Länge $l = 60^{\circ}$ trägt der Verlauf dieses Armes nur ungenügend Rechnung, weil der Schnittpunkt mit der Galaxis bei $l = 80^{\circ}$ liegt. Dagegen kann auch ein anderer Nebenarm der DW angenommen werden, in dem die zugrunde gelegten Daten in der folgenden Tabelle zusammengestellt sind.

l	Südliche Zone			p	l	Nördliche Zone			p
	b	di	p			b	di	p	
318°3	-7°0	-10°52	1.5		137°8	+ 5°8	- 8.64	1.5	
325.5	-5.9	-10.42	5		141.5	+ 5.0	- 8.03	0.3	
337.6	-6.1	-13.72	1.5		167.2	+ 5.8	-26.18	0.3	
344.1	-6.3	-23.0	0.7		176.3	+ 3.5	-55.25	2.1	
355.5	-5.7	-72.65	5						

Hier ergibt die Auflösung der Newcomb'schen Gleichung

$$L = 158^{\circ}3 \quad B = 84^{\circ}7 \quad R = -0^{\circ}8.$$

Auch der Verlauf dieses hypothetischen Nebenarmes ist in Figur IV eingetragen. Er gibt als Schnittpunkt mit der Zentrallinie der Galaxis die Länge $l = 60^{\circ}$ und würde damit der Häufung der DW in dieser galaktischen Länge (siehe Fig. II) gerecht werden.

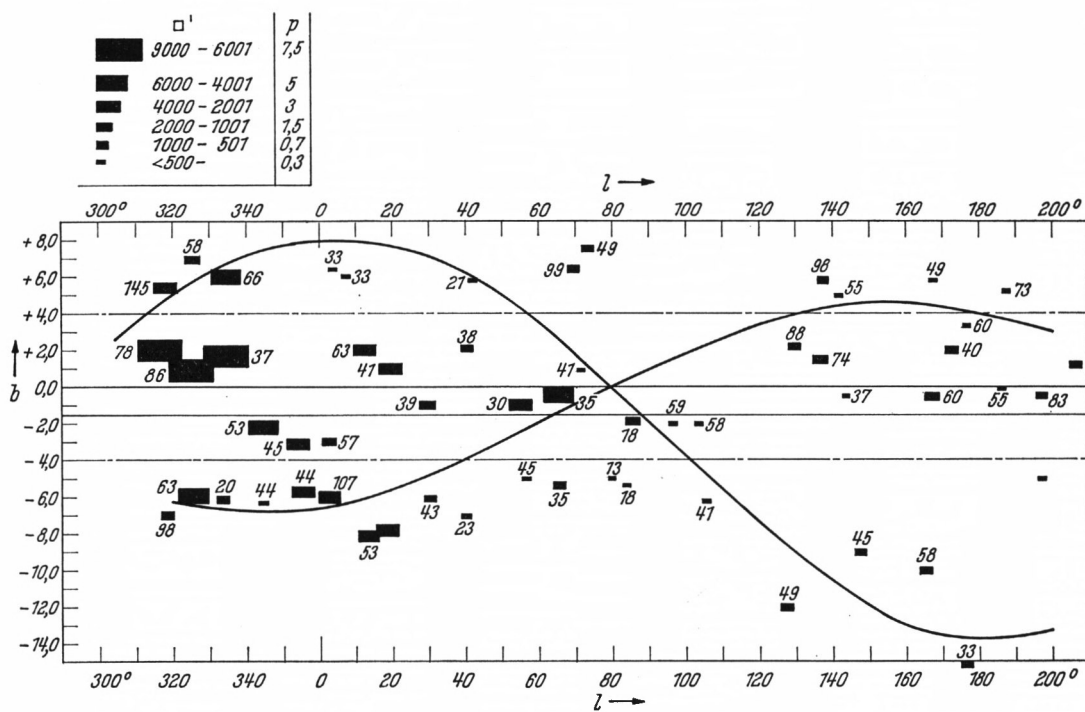
XIV. Die scheinbaren Flächen der DW in \square'

Wir wenden uns jetzt der Frage nach den scheinbaren mittleren Flächen der DW zu.

Die folgende Tabelle enthält die aus dem Katalog entnommenen Gesamtflächen, ihre Anzahl N für die 10° -Längenzonen. Die Spalten 5 und 6 enthalten die sich aus diesen Zahlen ergebenden mittleren Flächen, und zwar in Spalte 5 für alle (N) DW der Zone, die Spalten 7—12 bzw. 13—18 die entsprechenden Zahlen für die nördliche und die südlische Zone.

Tabelle 14
Flächensummen in \square' für 10° -Längenzonen

Zentrale Zone				Nördliche Zone						Südliche Zone							
l	b	Gesamtfläche	N	mittl. Fläche in \square' für alle	< als 400	l	b	Gesamtfläche	N	mittl. Fläche in \square' für alle	< als 400	l	b	Gesamtfläche	N	mittl. Fläche in \square' für alle	< als 400
316.3	+2.0	6967	55	127	78	318.0	+5.4	2587	10	259	145	318.3	-7.0	588	6	98	98
325.0	+0.9	7465	87	86	86	325.2	+6.9	1455	25	58	58	325.5	-5.9	4024	64	63	63
334.3	+1.7	8569	189	45	37	334.5	+6.0	4095	56	73	66	333.6	-6.1	974	49	20	20
344.3	-2.2	4303	33	130	53							344.1	-6.3	437	10	44	44
354.0	-3.1	2902	23	126	45							355.5	-5.7	2674	61	44	44
3.5	-3.0	1654	12	138	57	3.6	+6.4	440	13	33	33	2.2	-6.0	2780	12	232	107
12.6	-2.0	3143	50	63	63	7.2	+6.0					13.8	-8.1	2406	37	65	53
19.6	+1.0	2791	27	103	41							18.8	-7.8				
29.9	-1.0	1113	29	39	39							30.8	-6.1	693	16	43	43
40.4	+2.1	797	21	38	38	42.0	+5.8	107	5	21	21	40.1	-7.1	186	8	23	23
55.0	-1.0	3333	69	48	30							55.9	-5.0	358	8	45	45
63.3	-0.5	5709	101	57	35	69.2	+6.4	793	8	99	99	65.7	-5.4	976	11	89	35
71.3	+0.9	410	10	41	41	73.7	+7.5	684	14	49	49	80.0	-5.0	40	3	13	13
85.1	-1.9	1017	56	18	18							84.0	-5.4	197	11	18	18
96.8	-2.0	235	4	59	59							105.7	-6.2	246	6	41	41
103.4	-2.0	460	8	58	58							127.9	-12.0	585	12	49	49
129.5	-2.2	875	10	88	88							147.1	-9.0	770	17	45	45
136.5	+1.5	1256	17	74	74	137.8	+5.8	785	8	98	98	165.6	-10.0	820	14	58	58
143.4	-0.5	449	12	37	37	141.5	+5.0	111	2	55	55	175.6	-15.3	530	16	33	33
166.8	-0.5	1691	28	60	60	167.2	+5.8	198	4	49	49	197.0	-5.0	148	2	74	74
172.5	+2.0	593	15	40	40	176.3	+3.5	239	4	60	60						
186.0	-0.1	444	8	55	55	187.7	+5.3	293	4	73	73						
197.3	-0.5	992	12	83	83												
206.7	+1.2	481															

Fig. IV: Flächensummen in \square' für 10° -Längenzonen

Die Verhältnisse sind auch in Fig. IV anschaulich dargestellt. Sie enthält die Gesamtflächen durch Rechtecke verschiedener Größe (Spalte 3 der Tabelle) nach den galaktischen Koordinaten eingetragen und auch durch eine, bei jedem Rechteck stehende Zahl, die durchschnittlichen Flächen der kleineren DW. Die Figur zeigt die starke Anhäufung der DW im Kern der Milchstraße ($l = 330^\circ$), als Zentrallinie den Breitengrad ($b = -1^\circ 6$), im übrigen aber eine große Unregelmäßigkeit in der Verteilung und den Flächen. Eine gröbere Aufteilung des Materials in acht Längenzonen von 30° und die Analyse der Flächeninhalte der DW wird uns noch einige Schlüsse über ihre räumliche Verteilung gestatten.

XV. Die mittleren Radien und die Entfernungen der DW

Wir teilen das Material in acht Zonen, mit Längenintervallen von 30° , und bilden die Mittelwerte für die durchschnittlichen Flächen der kleineren DW (Spalten 6, 12, 18 unserer Tabelle 14), wobei wir die Anzahlen N (Spalten 4, 10, 16) berücksichtigen.

So ergibt sich die

Tabelle 15
Die mittleren, scheinbaren Flächen f_i' in \square'

	l	Nördl. Zone		Aequ. Zone		Südl. Zone		Alle Zonen	
		N	mittl. Fläche	N	mittl. Fläche	N	mittl. Fläche	N	mittl. Fläche
I	325.0°	89	72 \square'	326	57 \square'	119	47 \square'	534	57 \square'
II	355.3	13	33	64	51	83	53	160	51
III	27.7	5	21	126	49	61	46	192	47
IV	63.9	22	69	175	33	22	36	219	37
V	95.8	—	—	68	25	17	26	85	25
VI	136.5	10	78	39	66	29	47	78	60
VII	169.6	8	55	43	53	30	45	81	50
VIII	196.6	4	73	20	72	2	74	26	72

Die Lagen der acht Wolkengruppen sind auf Fig. V dargestellt, wobei wieder nur die Längen l berücksichtigt sind. Da nach den vorigen Abschnitten eine flache Form der

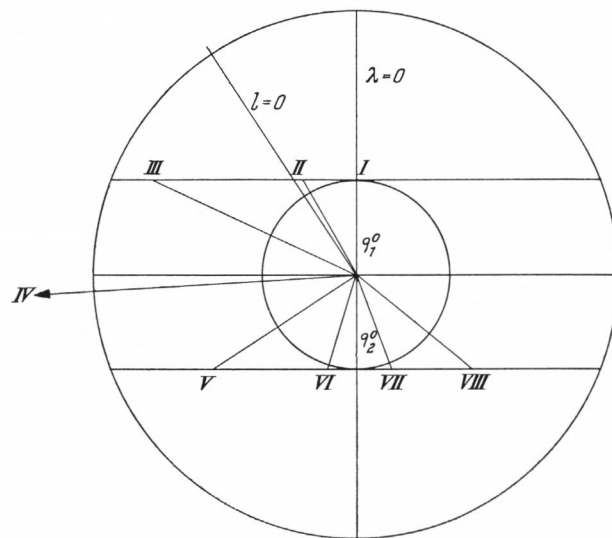


Fig. V: Die Lage der 8 Wolkengruppen bei $q_1^0 = q_2^0 = 250$ pc

Wolken und ihre Ausrichtung längs der galaktischen Rotation nachgewiesen sind, so ist es naheliegend, sie räumlich auf konzentrischen Kreisen um das galaktische Zentrum angeordnet zu denken. Innerhalb der Sichtbarkeitsgrenze der DW von 750 pc und einem Abstande der Sonne von 9000 pc können wir die konzentrischen Kreise als parallele Gerade ansehen, die senkrecht auf der Verbindungslinie zum galaktischen Zentrum ($\lambda = 0^\circ I = 326^\circ$) stehen. Wir denken uns zunächst zwei solche Wolkenzüge mit den Entfernungen q_1 und q_2 von der Sonne. Wir nehmen weiter an, daß die wahren Halbmesser der flachen Wolkenscheiben gleich groß sind, ihre scheinbaren Halbmesser aber von der Entfernung abhängen. Die wahren Längen vom galaktischen Zentrum aus gerechnet seien λ_i . Bei der Annahme zweier Wolkenzüge mit den Abständen q_1^0 und q_2^0 sind die wahren Abstände von der Sonne (siehe Fig. V) für die acht Wolkengruppen

$$\begin{aligned} q_i &= q_1^0 \sec \lambda_i \text{ mit } i = 1, 2, 3 \\ q_i &= q_2^0 \sec \lambda_i \text{ mit } i = 4 - 8 \end{aligned}$$

in pc ausgedrückt.

Die scheinbaren Halbmesser in \square' werden bezeichnet durch Θ'_i . Wenn sie als kreisförmige flache Scheiben angenommen werden, so ist der mittlere scheinbare Radius für die acht Gruppen

$$\Theta'_i = \sqrt{\frac{f'_i}{\pi}}.$$

Der wahre Halbmesser Θ_i ,

$$\Theta = \Theta_i = q_i \sec \lambda_i \Theta'_i \sin 1' = q_i \sec \lambda_i \sqrt{\frac{f'_i}{\pi}} \sin 1' = q^0 \sqrt{\frac{f'_i}{\pi}} \sec^2 \lambda_i \sin 1'.$$

Wären die Bedingungen gleicher absoluter Größe für die acht Gruppen der DW erfüllt und sie längs zwei konzentrischen Kreisen um das Zentrum der Milchstraße mit den Abständen q_1^0 und q_2^0 von der Sonne aufgereiht, so müßten die Verhältnisse $\frac{\Theta}{q_1}$ bzw. $\frac{\Theta}{q_2}$ (das erste für die Gruppen I, II, III, das zweite für die Gruppen IV, V, VI, VII, VIII) identisch sein. In Fig. V sind die Abstände q_1^0 und q_2^0 gleich groß gezeichnet, was natürlich nicht notwendig ist. Die Dimensionen von Θ und q sind parsec.

Tabelle 16

$$\frac{\Theta}{q^0} = \sqrt{\frac{f'_i}{\pi}} \sec^2 \lambda_i \sin 1' \text{ bei } q_0 = 250 \text{ pc}$$

	λ	Nördliche Zone	Südliche Zone	Zentrale Zone
I	359°6	0.39	0.33	0.32
II	27.8	0.30	0.38	0.42
III	59.4	0.72	1.07	1.01
V	128.9		0.70	0.57
VI	171.9	0.36	0.34	0.28
VII	204.6	0.37	0.35	0.33
VIII	227.8	0.77	0.75	0.77

Die Gruppen I, II, VI und VII zeigen eine gute Übereinstimmung untereinander. Die Gleichheit der wahren Halbmesser dieser Gruppen kann so gedeutet werden, daß das Sonnensystem beiderseits von einem Wolkenzuge umhüllt ist, der sich in beiden Richtungen, zum galaktischen Zentrum und zu dessen Gegenpunkte gleich weit erstreckt, und für den die mittlere Größe der Einzelwolken bei 0.4 pc liegt. Die Wolkengruppen III, V und VIII haben entweder größere Dimensionen oder liegen in geringeren Abständen

als der erstgenannte Arm. Der Abstand $q^{\circ} = 250$ pc ist natürlich willkürlich gewählt und beeinflußt die errechneten wahren Halbmesser entsprechend. Zu beachten ist, daß die Wolken von großen Dimensionen aus dieser Statistik ausgeschlossen sind, in die nur DW, deren Fläche kleiner ist als $400 \square' = 0.10 \square^{\circ}$ eingehen. Die Anzahl der größeren DW ist aber sehr gering und beträgt im ganzen Katalog nur 20. Sie liegen voraussichtlich in Entfernungen < 100 pc. Zu beachten ist auch noch, daß wir die galaktischen Breiten (δ) unserer acht Gruppen nicht berücksichtigt haben.

Das ganze Band der DW ist, wie unsere Fig. IV zeigt, gegen den galaktischen Äquator um etwa 2° südlich verschoben. In unserer Gruppe V gehen überhaupt keine DW in die nördl. Zone ein. Die Absolutwerte der Halbmesser sind bei den Gruppen V und VIII nur wenig abweichend, so daß hier vielleicht ein anderer Arm der DW angedeutet ist.

Die Gruppe IV haben wir aus der Betrachtung ausgeschlossen, weil für sie die Abweichung der DW von der Annahme planparalleler Scheiben sich sehr stark auswirken muß, da die Gesichtslinie bei ihr in der Ebene der größten Ausdehnung liegt.

XVI. Die Massen und die Dichten der DW

Mit einem Wert für die mittleren Halbmesser der DW kann jetzt auch ihre mittlere Dichte und auch die mittlere Masse abgeleitet werden. Dabei wird, wie üblich, die beobachtete Absorption dem staubförmigen festen Anteil dieser Masse zugeschrieben. Nach Schalén¹ kann dieser Anteil als das Produkt einer von der Wellenlänge unabhängigen Größe C und der Verfärbungsfunktion $\psi_{\lambda}(d)$ dargestellt werden

$$\Delta m_{\lambda} = C \psi_{\lambda}(d) \quad (1)$$

$$\text{wo } C = 2.5 \lg e \pi^2 d^3 NH. \quad (2)$$

Hier ist N die Anzahl der Teilchen pro cm^3 , H die Länge der Strecke innerhalb der DW und d der Durchmesser der Teilchen.

Die Werte der Funktion $\psi_{\lambda}(d)$ sind von Schalén für die Metalle Eisen und Nickel und verschiedene Größen der beugenden Partikel (d) berechnet worden. Wir entnehmen Schaléns Rechnungen für die photographische Wellenlänge $\lambda = 0.425 \mu$ und $d = 80 \mu\mu$ den Wert

$$\psi_{425}(d) = 2.02.$$

Bei den gemachten Voraussetzungen über die Zusammensetzung der DW aus Eisen- und Nickelpartikeln obiger mittlerer Größe kann damit aus (1) die Konstante C und aus (2) die Anzahl der Teilchen berechnet werden:

$$N = \frac{C}{2.5 \lg e \pi^2 d^3 H}.$$

Bezeichnet noch s das spezifische Gewicht der Teilchen, so erhält man einen Ausdruck für die mittlere Dichte $\bar{\rho}$

$$\bar{\rho} = \frac{1}{6} \pi d^3 N s = \frac{C s}{15 \pi \log e H} = \frac{\Delta m s}{\psi_{\lambda}(d) 15 \pi \log e H}. \quad (3)$$

¹ C. Schalén, Beiträge zur Theorie der interstellaren Absorption. Uppsala Astron. Observatory Annal. B I, N 2 (1939).

Vergleicht man nun DW verschiedener absoluter Größe (Θ) und findet die Absorption Δm von dieser Größe unabhängig (siehe hierzu die Fig. VI auf S. 28), so kann das Ergebnis

$$\bar{\varrho}H = \text{const.}$$

am einfachsten durch *gleiche Höhen und gleiche Dichten der DW verschiedener Ausdehnung* erklärt werden, d. h. der Zug der DW mit der Form einer durchbrochenen Stratuswolkenschicht unserer Atmosphäre verglichen werden.

Ist aber bei DW verschiedener absoluter Größe die Höhe H der vom Sehstrahl durchlaufenen Schicht verschieden, so folgt aus konstantem Δm eine zur Höhe umgekehrt proportionale Änderung der Dichte.

Die Massen der DW ergeben sich bei zylindrischer Form zu

$$M = \pi \Theta^2 H \bar{\varrho} = \frac{\Delta ms \Theta^2}{15 \psi(d) \lg e} \quad (\text{C})$$

und bei kugelförmiger Form

$$M = \frac{1}{6} \pi \Theta^3 \bar{\varrho} = \frac{1}{90} \frac{\Theta^3 \Delta ms}{\psi(d) \lg e H}.$$

Da die mittlere die Kugel schneidende Sehne $H = \frac{2}{3} \Theta$,

$$M = \frac{1}{60} \frac{\Theta^2 \Delta ms}{\psi(d) \lg e},$$

d. h. in beiden Fällen proportional zum Quadrate des Halbmessers.

Da wir uns nach den Ergebnissen der früheren Kapitel für die Annahme flacher Scheiben als Form der DW entschlossen haben, berechnen wir nun auch die Masse einer typischen DW unseres Kataloges bei dieser Annahme (C). Wir nehmen für den Abstand q_0 , entsprechend unserer Tabelle einer typischen DW, $q_0 = 250$ pc. Für die mittlere Absorption setzen wir $\Delta m = 0.75$, für das spez. Gewicht $s = 8$ und als wahre Größe $\Theta = 0.5$ pc $= 1.5 \times 10^{18}$ cm.

Dann ergibt sich für die Masse

$$M = 1.0 \times 10^{23} \text{ gm.}$$

Um dieses Ergebnis für die Masse mit demjenigen meiner ersten Arbeit über die Massen von 28 DW der südl. Milchstraße zu vergleichen, tragen wir unsere Zahlen in die logarithmische Gleichung (C)

$$\lg M = \lg \frac{\Delta ms}{15 \psi(d) \lg e} + 2 \lg \Theta$$

ein und erhalten dann

$$\lg M = -0.34 + 2 \lg \Theta.$$

Sie stimmt mit der in jener Arbeit (Seite 38) erhaltenen

$$\log M = 1.90 \log r - 0.34$$

sehr gut überein. Dabei erstrecken sich die Durchmesser der dort vermessenen DW von 0.8 bis 7.6 pc, während die typische DW unseres Kataloges den Halbmesser von 0.5 pc hat. Das Ergebnis: Die quadratische Abhängigkeit der Massen von dem Halbmesser der DW ist damit für ein Gebiet von 0.1 bis 7.6 pc bestätigt.

Die Dichte einer typischen DW unseres Kataloges berechnen wir nach (3) bei denselben Voraussetzungen wie oben zu

$$\bar{\varrho} = 1.1 \times 10^{-24} \text{ g/cm}^3.$$

Wir bringen noch die beiden Diagramme der ersten Arbeit für Δm_b und $\log M$, nachdem wir in dieselben als Kreuze den Wert der Masse M und die mittlere Absorption der typischen DW unseres Kataloges eingetragen haben. Diese Kreuze haben natürlich ein ganz anderes Gewicht als die Einzelwerte der 28 DW, passen aber in den Verlauf der Punkte der ersten Arbeit sehr gut.

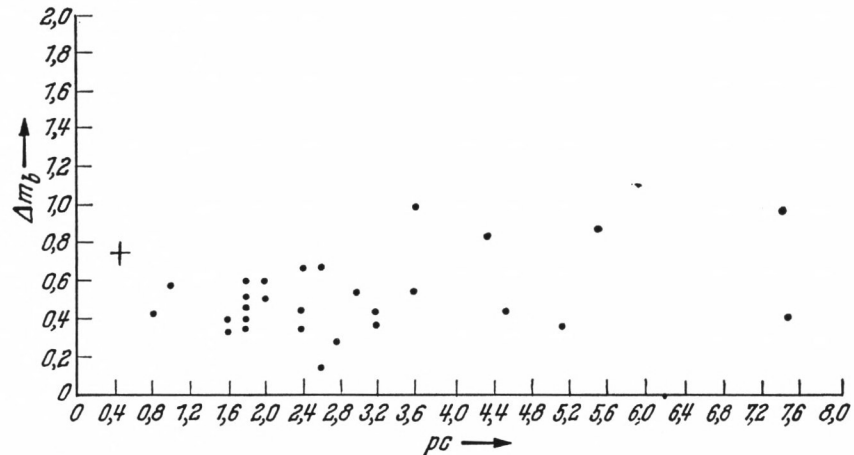


Fig. VI: Die Absorption (Δm_b) als Funktion des Halbmessers (pc)

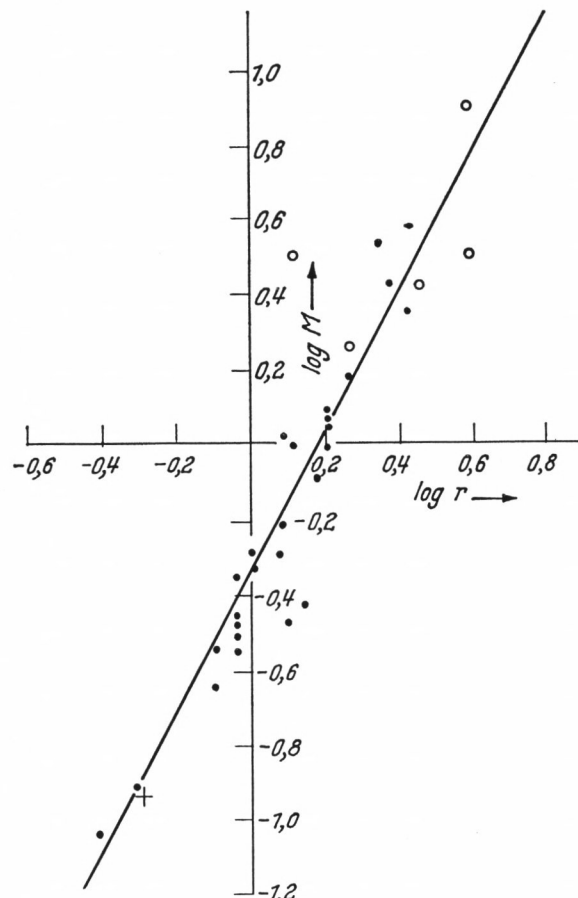


Fig. VII: Die Beziehung zwischen Massen (M) und Halbmesser der DW (r)

XVII. Die Anzahl der DW als Funktion der scheinbaren Ausdehnung

Die scheinbaren Flächen der DW sind im Katalog in \square' ausgedrückt. Sie beziehen sich, wie ein Vergleich mit dem Katalog von Barnard und dem Katalog von Chawtasi² zeigt, auf den zentralen, dichtesten Teil der DW. Barnard,¹ der die Originalplatten in Durchsicht benutzte, hat auch die äußereren, schwächeren Teile der DW erfaßt. Leider gibt es nur wenige DW, die unseren Katalogen gemeinsam sind. Das liegt zum Teil daran, daß bei meinen Messungen die sehr stark anwachsende Zahl der kleinsten DW bis zu Flächen von $0.01 \square'$ mit vermessen sind, wenn sie in den Atlanten von Roß und Lick in derselben Form feststellbar waren. Das entsprach einem linearen Durchmesser in beiden Atlanten von 1 mm und war bei fünffacher Vergrößerung gut von Sternlücken zu unterscheiden. Die beiden genannten Kataloge beziehen sich auf größere DW, derjenige von Chawtasi sogar nur auf DW, die $> 0.1 \square'$. Dadurch ist die Zahl der identischen DW bei Barnard und mir nur 26, für die das Verhältnis der Flächen sich zu

$$B : S = 1.98 \text{ in linearem Maße zu 1.4}$$

ergab. Wegen der größeren Zuverlässigkeit der Durchmessermessungen von Barnard habe ich durch den Faktor 2 meine Flächenmessungen auf diejenigen von Barnard reduziert. Die Auszählung der Anzahl der DW verschiedenen Flächeninhalts meines Kataloges ergab folgende Zahlen.

Tabelle 17

Mittelwerte für die Anzahl der DW verschiedenen Flächeninhalts

Grenzen der Fläche in \square'	Mittl. Fläche	Anzahl N
0–40	$20 \square' = 0.0055 \square'$	469
40–80	$60 = 0.0167$	452
80–120	$70 = 0.0278$	208
120–160	$140 = 0.0398$	104
160–200	$180 = 0.0500$	86
200–240	$200 = 0.0555$	41
240–280	$260 = 0.0722$	38
280–320	$300 = 0.0833$	20
320–360	$340 = 0.0944$	12
360–400	$380 = 0.1056$	11
400–500	$450 = 0.1250$	17
500–600	$546 = 0.1516$	13
600–700	$668 = 0.1856$	1
700–800	$760 = 0.2111$	5
800–1000	$858 = 0.2383$	5
1000–1200	$1040 = 0.2889$	4
1200–1400	$1308 = 0.3634$	3
1400–1600	$1436 = 0.3989$	1
1600–1800	$1676 = 0.4656$	3
2000–3000	$2500 = 0.6945$	2
3000–4000	$3146 = 0.8740$	3
4000–6000	$5212 = 1.4478$	1

¹ A Photographie Atlas of selected regions of the Milky Way. Public. Carnegie Institution Nr. 207 (1927).

² Д. М. Хавтаси. К статистическому изучению темках туманностей. Бюллетень Абасту манской Астрофизической Обсерватории №. 19, 1955.

Der plötzliche Sprung der Anzahl N bei den kleinsten DW ist nicht reell. Bei den kleinsten war es sehr schwer, dieselben von den Lücken des Sterngrundes zu unterscheiden. Daher ist die Anzahl derselben wesentlich zu klein gezählt. Unter Weglassung der ersten Zahl zeigt das graphische Bild eine glatt verlaufende Kurve, die man sehr genau durch eine Hyperbel von der Form

$$\frac{K}{\sigma - \sigma_0} = \frac{K}{s} = N(s) \quad (\text{A})$$

bei $K = 1.404$, $\sigma_0 = 0.023$, wo $\sigma - \sigma_0 = s$ gesetzt ist, darstellen kann. Letztere ist in Fig. VIII durch Punkte, die beobachteten Anzahlen durch Kreuze bezeichnet. Der Punkt der größten Krümmung der Hyperbel ist stark von dem Vergrößerungsfaktor der gemeinsamen Flächen der DW abhängig, für den wir 2.0 aus dem Vergleich mit dem Barnard-Katalog angenommen haben. Chawtasi, der nur DW, die $> 0.10 \square^{\circ}$ sind, gemessen hat, findet als Frequenzkurve ebenfalls eine Hyperbel von wesentlich flacherer Form.

XVIII. Die Frequenzkurve der wahren Flächen der DW

Man kann die Frequenzkurve der wahren Flächen

$$\varphi(r^2 s)$$

aus der Frequenzkurve der scheinbaren $N(s)$ mit Hilfe der Integralgleichung der Stellarstatistik ableiten. Die Dichte in der Raumeinheit ω sei durch $D(r)$ bezeichnet. Dann ist die Gleichung der Stellarstatistik

$$N(s) = \omega \int_0^\infty r^4 D(r) \varphi(r^2 s) dr = \frac{K}{s}. \quad (\text{B})$$

Als obere Grenze des Integrals setzen wir $R = 700$ pc und führen die neue Variable

$$\begin{aligned} r^2 s &= x \text{ ein, wobei dann die obere Grenze} \\ R^2 s &= X \text{ wird.} \end{aligned}$$

Die Dichte auf der kleinen Strecke R soll als konstant betrachtet werden D_0 . Dann ist

$$r^4 dr = \frac{x^{3/2} dx}{2 s^{3/2}} \text{ und}$$

$$\frac{K}{s} = \omega D_0 \int_0^X \frac{x^{3/2}}{2 s^{3/2}} \varphi(x) dx$$

$$s^{3/2} = \frac{\omega D_0}{2 K} \int_0^X x^{3/2} \varphi(x) dx = \frac{X^{3/2}}{R^3}.$$

Differenziert man beide Seiten dieser Gleichung nach X

$$\frac{3}{2} X^{\frac{1}{2}} = \frac{\omega D_0 R^3}{2 K} X^{\frac{3}{2}} \varphi(X) \text{ und löst man nach } \varphi(X)$$

auf

$$\varphi(X) = \frac{1}{X} \cdot \frac{3K}{\omega D_0 R^3};$$

$$\varphi(r^2 s) = \frac{3K}{\omega D_0 R^3} \cdot \frac{1}{r^2 s}. \quad (\text{C})$$

Die Gleichung zeigt, daß auch die Frequenzkurve der absoluten Größen der DW hyperbolische Form hat.

Für eine numerische Auswertung der Formel (B) und (C) brauchen wir einen Wert für die Raumdichte D_0 . Wir approximieren den Milchstraßengürtel durch ein Band, das sich über die galaktischen Längen von 225° erstreckt und eine Breite von 12° besitzt. Diese Zahlen entsprechen im Durchschnitt den galaktischen Längen und Breiten des Gebietes, in dem die DW des Kataloges liegen. Der Radius dieser Zone wird zu $R = 700 \text{ pc}$ angenommen und die Anzahl der in diese Statistik aufgenommenen DW zu $N = 1000$. Dann ergibt sich

$$D_0 = \frac{N}{0.625 \pi R^2 2 R \operatorname{tg} 6^\circ} = 7.1 \times 10^{-6} \quad (\text{C})$$

$$D_0 \omega R^3 = 7.1 \times 10^{-6} \times 3.045 \times 10^{-4} \times 343 \times 10^6 = 0.74 \quad (\text{D})$$

$$\varphi(sr^2) = \frac{4.2}{D_0 \omega R^3} \cdot \frac{1}{sr^2} = \frac{5.68}{sr^2}. \quad (\text{E})$$

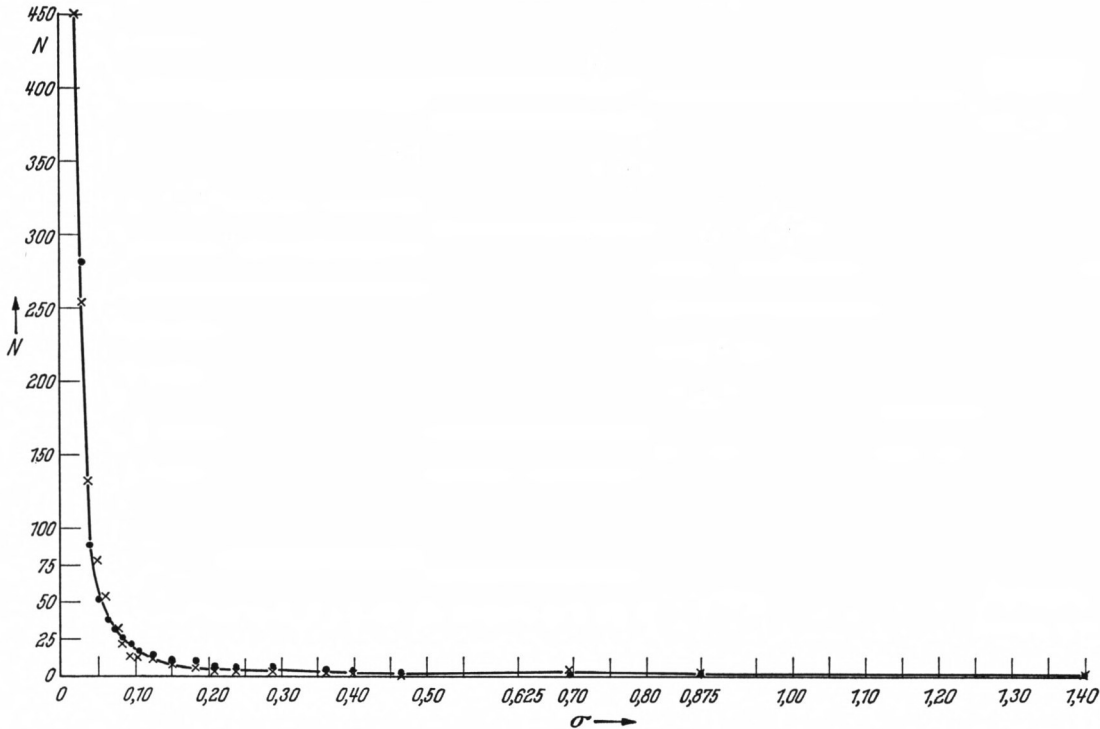


Fig. VIII: Anzahl der DW N als Funktion der Flächen σ

Wir berechnen die Anzahl der DW auf $1 \square^\circ$ des Milchstraßengürtels, der $2700 \square^\circ$ enthält, aus (A) zu

$$N(s) = \frac{1.4}{2700 s} = \frac{5.2 \cdot 10^{-4}}{s}$$

durch Integration über die Flächen s von $0^{\circ}.001$ bis $1.0 \square^\circ$

$$N(1 \square^\circ) = \int_{0.001}^{1.0} N(s) ds = 1.56 \times 10^{-3}. \quad (\text{F})$$

Die folgenden zwei Tabellen veranschaulichen den Verlauf der Funktionen sr^2 für die wahren Flächen in $(\text{pc})^2$ und für die Frequenz der wahren Flächen $\varphi(sr)^2$ in verschiedenen Abständen von der Sonne in der ganzen beobachteten Zone.

r	sr^2									
	$S = 1 \square^\circ$	$0^{\circ}.5$	0.25	0.10	0.075	0.05	0.025	0.01	0.005	
100 pc	3.0	1.5	0.8	0.3	0.2	0.2	0.08	0.03	0.01	
200 pc	12.2	6.1	3.1	1.2	0.9	0.6	0.3	0.1	0.1	
300 pc	27.3	13.7	6.9	2.7	2.1	1.4	0.7	0.3	0.1	
400 pc	48.7	24.4	12.2	4.9	3.7	2.4	1.2	0.5	0.2	
500 pc	76.0	38.0	19.0	7.6	5.7	3.8	1.9	0.8	0.4	
600 pc	119.6	59.8	29.9	12.0	9.0	6.0	3.0	1.2	0.6	
700 pc	144.2	72.1	36.1	14.4	10.8	7.2	3.6	1.4	0.7	

$$\varphi(sr^2) = \frac{5.68}{sr^2}$$

r	$\varphi(sr^2)$									
	$S = 1 \square^\circ$	$0^{\circ}.5$	0.25	0.1	0.075	0.05	0.025	0.01	0.005	
100 pc	1.9	3.8	7.6	18.9	25.8	37.8	75.7	189.3	378.0	
200 pc	0.5	0.9	1.9	4.7	6.2	9.3	18.6	46.5	93.0	
300 pc	0.2	0.4	0.8	2.1	2.8	4.1	8.3	20.8	41.0	
400 pc	0.1	0.2	0.5	1.2	1.6	2.4	4.7	12.1	24.0	
500 pc	0.1	0.1	0.3	0.8	1.0	1.4	3.0	7.5	14.0	
600 pc	0.1	0.1	0.2	0.5	0.6	0.9	1.9	4.7	9.0	
700 pc	0.0	0.1	0.2	0.4	0.5	0.8	1.6	3.9	8.0	

Die Konstanten der Roß- und Lickblätter, die für die Ortsbestimmung der DW benutzt wurden

Die Konstanten a, b, c, d, e, f in der Turnerschen Formel

$$X = ax + by + cz,$$

$$Y = dx + ey + fz,$$

wo x und y die gemessenen linearen Koordinaten der DW sind, mit deren Hilfe die sphärischen Koordinaten $\alpha_{1950}, \delta_{1950}$ abgeleitet wurden. Die Koordinaten des Zentralpunktes jedes Blattes A und P (Rektaszension und Poldistanz), sowie die 6 Konstanten a, b, c, d, e, f , werden hier für jedes vermessene Blatt angeführt. Es stehen immer die Konstanten derjenigen Blätter beider Atlanten untereinander, die für die Ortsbestimmung derselben DW benutzt wurden.

Unter den Konstanten und den Koordinaten der Plattenzentren A und P sind noch die systematischen Korrekturen der sphärischen Koordinaten $\Delta R_\alpha, \Delta R_\delta, \Delta L_\alpha, \Delta L_\delta$ angeführt (R und L bezeichnen Roß- und Lickblätter), die sich aus der Reduktion der unabhängig gefundenen Werte von α und δ auf einen Mittelwert ergaben. Diese systematischen Korrekturen sind in den Katalogörtern schon angebracht. Zusammengestellt sind die Konstanten derjenigen Roß- und Lick-Blätter, die gemeinsame DW enthalten, deren Örter im Katalog neben ihrem Mittelwert angeführt sind.

Da die Roß- und Lick-Blätter bis zu 40° in δ umfassen, ist bei hohen $> 50^\circ$ Deklinationen das Turnersche Verfahren für randnahe DW bei der erstrebten Genauigkeit von $\pm 1'$ ungenügend. Das ist bei den Gruppen I, II, III, IV, XVII und XVIII der Fall. Hier wurde ein graphisches Verfahren für die Korrektion der nach den obigen Formeln abgeleiteten Örter angewandt.

Die systematischen Korrekturen ΔR und ΔL sind Reduktionen der einzelnen Blätter auf den Mittelwert aus allen, auf denen die DW vermessen waren. In Fällen, wo nur 2 Örter vorlagen, wie bei den Gruppen II, III und IV, ist einfach der Mittelwert aus dem Roß- und dem Lick-Ort gebildet, weshalb keine systematischen Korrekturen möglich waren.

I

<i>a</i>	<i>b</i>	<i>c</i>	<i>d</i>	<i>e</i>	<i>f</i>
$A = 358^{\circ}15'0$	$P = 31^{\circ}48'0$				
R_{20} 0.001125	0.000013	-0.179026	0.000010	0.001133	-0.179351
$A = 354^{\circ}45'0$	$P = 27^{\circ}24'0$				
L_{87} 0.001101	0.000031	-0.095089	0.000029	0.001100	-0.104991
$A = 358^{\circ}30'0$	$P = 30^{\circ}42'0$				
L_{89} 0.001092	0.000035	-0.086098	0.000033	0.001091	-0.102348
$(\Delta R_{20})^\alpha = -3'80$		$(\Delta L_{87})^\alpha = -0'97$		$(\Delta L_{89})^\alpha = +0'96$	
$(\Delta R_{20})^\delta = +0'13$		$(\Delta L_{87})^\delta = +0'33$		$(\Delta L_{89})^\delta = -0'33$	

II

<i>a</i>	<i>b</i>	<i>c</i>	<i>d</i>	<i>e</i>	<i>f</i>
$A = 41^{\circ}15'0$	$P = 37^{\circ}36'0$				
R_{27} 0.001122	0.000003	-0.172415	0.000002	0.001133	-0.181981
$A = 29^{\circ}30'0$	$P = 33^{\circ}0'0$				
L_9 0.001266	0.000009	-0.090284	0.000001	0.001286	-0.135946

keine systematischen Korrekturen

III

<i>a</i>	<i>b</i>	<i>c</i>	<i>d</i>	<i>e</i>	<i>f</i>
$A = 57^{\circ}0'0$	$P = 50^{\circ}0'0$				
R_{29} 0.001124	-0.000008	-0.167563	-0.000003	0.001126	0.182991
$A = 56^{\circ}45'0$	$P = 54^{\circ}6'0$				
L_{16} 0.001084	0.000022	-0.069100	0.000021	0.001077	0.124803

keine systematischen Korrekturen

IV

<i>a</i>	<i>b</i>	<i>c</i>	<i>d</i>	<i>e</i>	<i>f</i>
$A = 70^{\circ}30'0$	$P = 46^{\circ}0'0$				
R_{28} 0.001105	0.000008	-0.167484	-0.000004	0.001104	-0.027531
$A = 73^{\circ}0'0$	$P = 45^{\circ}0'0$				
L_{19} 0.001053	0.000007	-0.063843	0.000001	0.001064	-0.182548

keine systematischen Korrekturen

V

<i>a</i>	<i>b</i>	<i>c</i>	<i>d</i>	<i>e</i>	<i>f</i>
A = $70^{\circ}30'0$	P = $58^{\circ}24'0$				
R ₃₀ 0.001145	-0.000006	-0.170998	+0.000018	0.001111	-0.185661
A = $68^{\circ}30'0$	P = $67^{\circ}0'0$				
R ₃₁ 0.001144	-0.000010	-0.143106	+0.000006	0.001111	-0.167907
A = $88^{\circ}15'0$	P = $57^{\circ}12'0$				
R ₃₂ 0.001124	-0.000002	-0.167468	+0.000007	0.001129	-0.187820
A = $73^{\circ}0'0$	P = $49^{\circ}6'0$				
L ₁₉ 0.001081	0.000002	-0.065198	+0.000006	0.001074	-0.112281
$(\Delta R_{30})^\alpha = +3'63$	$(\Delta L_{19})^\alpha = +3'05$	$(\Delta R_{31})^\alpha = +2'00$	$(\Delta R_{32})^\alpha = -5'06$		
$(\Delta R_{30})^\delta = +5'68$	$(\Delta L_{19})^\delta = +7'45$	$(\Delta R_{31})^\delta = -6'33$	$(\Delta R_{32})^\delta = -1'11$		

VI

<i>a</i>	<i>b</i>	<i>c</i>	<i>d</i>	<i>e</i>	<i>f</i>
A = $82^{\circ}15'0$	P = $80^{\circ}30'0$				
R ₃₃ 0.001146	-0.000009	-0.167250	-0.000008	-0.183301	0.001086
A = $81^{\circ}30'0$	P = $91^{\circ}18'0$				
R ₃₄ 0.001146	0.000014	-0.169981	-0.000014	-0.182265	0.001147
A = $86^{\circ}0'0$	P = $82^{\circ}0'0$				
L ₂₁ 0.001089	-0.000005	-0.079974	+0.000001	-0.124631	0.001086
A = $82^{\circ}0'0$	P = $95^{\circ}0'0$				
L ₂₀ 0.001055	-0.000009	-0.070332	-0.000012	-0.115082	0.001052
$(\Delta R_{33})^\alpha = -0'03$	$(\Delta R_{34})^\alpha = +1'14$	$(\Delta L_{21})^\alpha = -1'14$	$(\Delta L_{20})^\alpha = -17'39$		
$(\Delta R_{33})^\delta = +4'26$	$(\Delta R_{34})^\delta = -1'64$	$(\Delta L_{21})^\delta = +0'83$	$(\Delta L_{20})^\delta = -3'48$		

VII

<i>a</i>	<i>b</i>	<i>c</i>	<i>d</i>	<i>e</i>	<i>f</i>
A = $98^{\circ}0'0$	P = $79^{\circ}48'0$				
R ₃₅ 0.001117	-0.000010	-0.133169	-0.000020	0.001132	-0.194734
A = $106^{\circ}0'0$	P = $90^{\circ}42'0$				
R ₃₆ 0.001131	0.000000	-0.158897	+0.000006	0.001121	-0.187651
A = $91^{\circ}0'0$	P = $78^{\circ}0'0$				
L ₂₄ 0.001077	+0.000014	-0.076166	-0.000024	0.001075	-0.117855
A = $95^{\circ}30'0$	P = $85^{\circ}0'0$				
L ₂₆ 0.001087	-0.000015	-0.076255	+0.000034	0.001056	-0.122180
A = $97^{\circ}30'0$	P = $180^{\circ}0'0$				
L ₂₈ 0.000686	0.000018	-0.031098	-0.000014	0.000686	-0.080206
A = $98^{\circ}30'0$	P = $77^{\circ}0'0$				
L ₂₉ 0.001077	0.000004	-0.070617	-0.000008	0.001072	-0.115394
$(\Delta R_{35})^\alpha = +7'42$	$(\Delta R_{36})^\alpha = -4'40$	$(\Delta L_{24})^\alpha = +5'00$			
$(\Delta R_{35})^\delta = +1'25$	$(\Delta R_{36})^\delta = +1'49$	$(\Delta L_{24})^\delta = +0'81$			
$(\Delta L_{26})^\alpha = -2'07$	$(\Delta L_{28})^\alpha = +2'09$	$(\Delta L_{26})^\delta = -1'01$	$(\Delta L_{28})^\delta = -1'80$		
$(\Delta L_{26})^\delta = +0'49$					

5*

VIII

	<i>a</i>	<i>b</i>	<i>c</i>	<i>d</i>	<i>e</i>	<i>f</i>
A = $110^{\circ}15'0$		P = $101^{\circ}0'0$				
R ₃₇	0.001128	0.000031	-0.171145	-0.000036	0.001115	-0.182932
A = $106^{\circ}0'0$		P = $90^{\circ}42'0$				
R ₃₆	0.001131	0.000000	-0.158897	0.000006	0.001121	-0.187651
A = $104^{\circ}15'0$		P = $113^{\circ}24'0$				
R ₃₈	0.001139	0.000031	-0.156860	-0.000004	0.001114	-0.184485
A = $120^{\circ}0'0$		P = $113^{\circ}36'0$				
R ₃₉	0.001130	0.000046	-0.106039	-0.000040	0.001111	-0.197373
$(\Delta R_{37})^\alpha = +1'.15$		$(\Delta R_{36})^\alpha = +1'.87$		$(\Delta R_{38})^\alpha = -0'.79$		$(\Delta R_{39})^\alpha = -1'.08$
$(\Delta R_{37})^\delta = +5'.17$		$(\Delta R_{36})^\delta = +4'.54$		$(\Delta R_{38})^\delta = -2'.05$		$(\Delta R_{39})^\delta = -2'.50$

IX

	<i>a</i>	<i>b</i>	<i>c</i>	<i>d</i>	<i>e</i>	<i>f</i>
A = $254^{\circ}0'0$		P = $124^{\circ}12'0$				
R ₁	0.001128	0.000023	-0.174260	-0.000013	0.001140	-0.192750
A = $256^{\circ}0'0$		P = $118^{\circ}0'0$				
R ₃	0.001119	0.000018	-0.170239	-0.000015	0.001137	-0.184060
$(\Delta R_1)^\alpha = -2'.0$		$(\Delta R_3)^\alpha = -0'.9$				
$(\Delta R_1)^\delta = -0'.3$		$(\Delta R_3)^\delta = -2'.7$				
A = $252^{\circ}0'0$		P = $128^{\circ}0'0$				
L ₃₇	0.001082	-0.000022	-0.105170	0.000039	0.001090	-0.080020
A = $256^{\circ}0'0$		P = $116^{\circ}0'0$				
L ₃₈	0.001284	0.000037	-0.056860	-0.000028	0.001283	-0.121320
A = $260^{\circ}0'0$		P = $110^{\circ}0'0$				
L ₃₉	0.001267	0.000003	-0.113840	-0.000006	0.001280	-0.157400
A = $265^{\circ}0'0$		P = $112^{\circ}0'0$				
L ₄₄	0.000969	0.000097	0.067530	-0.000043	0.001126	-0.102370
A = $270^{\circ}0'0$		P = $120^{\circ}0'0$				
L ₄₉	0.001076	-0.000003	-0.104770	0.000002	0.001084	-0.102510
A = $265^{\circ}0'0$		P = $125^{\circ}0'0$				
L ₄₆	0.001076	0.000006	-0.082980	0.000004	0.001083	-0.115040

zu R₁

$$\begin{aligned} (\Delta L_{37})^\alpha &= -1'.53 & (\Delta L_{38})^\alpha &= -2'.68 & (\Delta L_{46})^\alpha &= -2'.10 & (\Delta L_{49})^\alpha &= -2'.11 \\ (\Delta L_{37})^\delta &= -2'.34 & (\Delta L_{38})^\delta &= +1'.68 & (\Delta L_{46})^\delta &= +0'.30 & (\Delta L_{49})^\delta &= +0'.32 \end{aligned}$$

zu R₃

$$\begin{aligned} (\Delta L_{46})^\alpha &= 6'.78 & (\Delta L_{39})^\alpha &= -1'.36 & (\Delta L_{38})^\alpha &= -1'.62 & (\Delta L_{44})^\alpha &= 0'.13 \\ (\Delta L_{46})^\delta &= -2'.50 & (\Delta L_{39})^\delta &= +0'.96 & (\Delta L_{38})^\delta &= -2'.13 & (\Delta L_{44})^\delta &= +0'.21 \end{aligned}$$

X

α	b	c	d	e	f
$A = 264^\circ 45' 0$	$P = 105^\circ 25' 0$				
$R_6 \quad 0.001116$	0.000016	-0.188060	-0.000017	0.001126	-0.186417
$A = 263^\circ 15' 0$	$P = 105^\circ 15' 0$				
$L_{41} \quad 0.001096$	0.000017	-0.088850	0.000019	0.001090	-0.112755
$A = 263^\circ 30' 0$	$P = 111^\circ 18' 0$				
$L_{42} \quad 0.001076$	0.000004	-0.069582	0.000004	0.001070	-0.120481
$A = 266^\circ 30' 0$	$P = 112^\circ 0' 0$				
$L_{44} \quad 0.001066$	-0.000023	-0.085193	0.000009	0.001075	-0.100478
$(\Delta R_6)^\alpha = -2'30$	$(\Delta L_{41})^\alpha = +0'36$	$(\Delta L_{42})^\alpha = +0'42$	$(\Delta L_{44})^\alpha = -0'79$		
$(\Delta R_6)^\delta = +0'77$	$(\Delta L_{41})^\delta = +0'77$	$(\Delta L_{42})^\delta = -0'79$	$(\Delta L_{44})^\delta = -0'03$		

XI

α	b	c	d	e	f
$A = 269^\circ 45' 0$	$P = 118^\circ 36' 0$				
$R_4 \quad 0.001128$	0.000008	-0.172470	-0.000013	0.001134	-0.188310
$A = 273^\circ 0' 0$	$P = 105^\circ 18' 0$				
$R_7 \quad 0.001114$	0.000030	-0.163488	-0.000026	0.001126	-0.183072
$A = 267^\circ 0' 0$	$P = 105^\circ 48' 0$				
$L_{48} \quad 0.001080$	-0.000008	-0.067481	0.000012	0.001080	-0.120435
$A = 269^\circ 45' 0$	$P = 119^\circ 0' 0$				
$L_{49} \quad 0.001081$	-0.000007	-0.101288	-0.000003	0.001085	-0.117829
$A = 274^\circ 0' 0$	$P = 115^\circ 0' 0$				
$L_{56} \quad 0.001144$	-0.000012	-0.063873	0.000008	0.001147	-0.103713
$A = 278^\circ 15' 0$	$P = 96^\circ 54' 0$				
$L_{62} \quad 0.001023$	0.000024	-0.081350	-0.000018	0.001031	-0.131165
$A = 275^\circ 45' 0$	$P = 104^\circ 30' 0$				
$L_{57} \quad 0.001142$	-0.000011	-0.062120	0.000018	0.001161	-0.112620
$(\Delta R_4)^\alpha = -1'00$	$(\Delta R_7)^\alpha = +1'00$	$(\Delta L_{48})^\alpha = +3'7$	$(\Delta L_{49})^\alpha = +3'1$		
$(\Delta R_4)^\delta = +2'40$	$(\Delta R_7)^\delta = -2'40$	$(\Delta L_{48})^\delta = +7'4$	$(\Delta L_{49})^\delta = +4'3$		
$(\Delta L_{56})^\alpha = +0'6$	$(\Delta L_{62})^\alpha = +15'5$	$(\Delta L_{57})^\alpha = +8'0$			
$(\Delta L_{56})^\delta = +0'1$	$(\Delta L_{62})^\delta = +3'6$	$(\Delta L_{57})^\delta = -2'3$			

XII

α	b	c	d	e	f
$A = 287^\circ 15' 0$	$P = 75^\circ 0' 0$				
$R_{13} \quad 0.001126$	0.000017	-0.169552	-0.000017	0.001128	-0.183234
$A = 283^\circ 30' 0$	$P = 75^\circ 42' 0$				
$L_{66} \quad 0.001071$	-0.000007	-0.063387	0.000014	0.001067	-0.103934

<i>a</i>	<i>b</i>	<i>c</i>	<i>d</i>	<i>e</i>	<i>f</i>
A = $291^{\circ}30'0$ L ₆₉ 0.001272	P = $81^{\circ}36'0$ -0.000014	-0.082787	0.000013	0.001278	-0.141348
A = $292^{\circ}30'0$ L ₇₀ 0.001277	P = $61^{\circ}0'0$ -0.000011	-0.084135	0.000008	0.001267	-0.161980
A = $294^{\circ}15'0$ L ₇₁ 0.001278	P = $78^{\circ}0'0$ -0.000023	-0.088911	0.000025	0.001270	-0.135930
A = $299^{\circ}0'0$ L ₇₃ 0.001055	P = $70^{\circ}24'0$ 0.000010	-0.081637	0.000001	0.001064	-0.115984
$(\Delta R_{13})^{\alpha} = -1'93$ $(\Delta R_{13})^{\delta} = -0'48$	$(\Delta L_{69})^{\alpha} = -0'46$ $(\Delta L_{69})^{\delta} = -0'66$	$(\Delta L_{70})^{\alpha} = +0'40$ $(\Delta L_{70})^{\delta} = +4'00$			
$(\Delta L_{69})^{\alpha} = +1'07$ $(\Delta L_{69})^{\delta} = -0'19$	$(\Delta L_{71})^{\alpha} = -1'07$ $(\Delta L_{71})^{\delta} = -1'72$	$(\Delta L_{73})^{\alpha} = +0'46$ $(\Delta L_{73})^{\delta} = +1.13$			

XIII

<i>a</i>	<i>b</i>	<i>c</i>	<i>d</i>	<i>e</i>	<i>f</i>
A = $299^{\circ}0'0$ R ₁₆ 0.001124	P = $60^{\circ}24'0$ -0.000005	-0.162621	-0.000010	0.001126	-0.178453
A = $304^{\circ}15'0$ R ₁₇ 0.001136	P = $50^{\circ}42'0$ -0.000002	-0.168276	0.000007	0.001140	-0.183796
A = $299^{\circ}30'0$ L ₇₄ 0.001056	P = $52^{\circ}30'0$ -0.000042	-0.068121	0.000049	0.001061	-0.141391
A = $303^{\circ}0'0$ L ₇₅ 0.001085	P = $63^{\circ}18'0$ -0.000036	0.082264	0.000033	0.001083	-0.126483
A = $310^{\circ}30'0$ L ₇₉ 0.001077	P = $55^{\circ}12'0$ -0.000010	-0.079124	0.000021	0.001079	-0.127195
A = $299^{\circ}0'0$ L ₇₃ 0.001057	P = $70^{\circ}24'0$ -0.000005	-0.079079	0.000000	0.001065	-0.116016
$(\Delta R_{16})^{\alpha} = +0'87$ $(\Delta R_{16})^{\delta} = -1'19$	$(\Delta R_{17})^{\alpha} = +0'16$ $(\Delta R_{17})^{\delta} = -1'18$	$(\Delta L_{74})^{\alpha} = +3'33$ $(\Delta L_{74})^{\delta} = +1'00$			
$(\Delta L_{75})^{\alpha} = -2'53$ $(\Delta L_{75})^{\delta} = +0'81$	$(\Delta L_{79})^{\alpha} = -0'38$ $(\Delta L_{79})^{\delta} = -0'75$	$(\Delta L_{73})^{\alpha} = -4'05$ $(\Delta L_{73})^{\delta} = -1'19$			

XIV

<i>a</i>	<i>b</i>	<i>c</i>	<i>d</i>	<i>e</i>	<i>f</i>
A = $324^{\circ}0'0$ R ₁₈ 0.001116	P = $39^{\circ}48'0$ -0.000003	-0.176425	0.000002	0.001133	-0.174098
A = $333^{\circ}0'0$ R ₁₉ 0.001120	P = $34^{\circ}6'0$ 0.000003	-0.171514	0.000012	0.001125	-0.172066
A = $309^{\circ}30'0$ L ₇₇ 0.001106	P = $44^{\circ}30'0$ -0.000016	-0.084640	0.000027	0.001108	-0.109848

<i>a</i>	<i>b</i>	<i>c</i>	<i>d</i>	<i>e</i>	<i>f</i>
A = $314^{\circ}15'0$ L ₇₈ 0.001255	P = $47^{\circ}24'0$ -0.000035	-0.076288	0.000036	0.001270	-0.118449
A = $325^{\circ}15'0$ L ₈₁ 0.001060	P = $40^{\circ}0'0$ -0.000018	-0.068575	0.000005	0.001056	-0.093319
A = $326^{\circ}0'0$ L ₈₂ 0.001065	P = $32^{\circ}0'0$ -0.000018	-0.089715	0.000010	0.001061	-0.112420
$(\Delta R_{18})^\alpha = -2'.62$ $(\Delta R_{18})^\delta = +0'.69$	$(\Delta R_{19})^\alpha = -1'.68$ $(\Delta R_{19})^\delta = -0'.19$	$(\Delta L_{77})^\alpha = +1'.03$ $(\Delta L_{77})^\delta = +1'.13$			
$(\Delta L_{78})^\alpha = +1'.25$ $(\Delta L_{78})^\delta = +0'.05$	$(\Delta L_{81})^\alpha = -0'.29$ $(\Delta L_{81})^\delta = -1'.03$	$(\Delta L_{82})^\alpha = -0'.31$ $(\Delta L_{82})^\delta = +0'.03$			

XV

<i>a</i>	<i>b</i>	<i>c</i>	<i>d</i>	<i>e</i>	<i>f</i>
A = $342^{\circ}0'0$ R ₂₃ 0.001122	P = $45^{\circ}54'0$ -0.000006	-0.176923	-0.000005	0.001135	-0.178382
A = $331^{\circ}45'0$ L ₈₄ 0.001271	P = $36^{\circ}48'0$ 0.000038	-0.105659	0.000037	0.001261	-0.122857
A = $341^{\circ}0'0$ L ₈₅ 0.001075	P = $36^{\circ}18'0$ 0.000041	-0.099557	0.000047	0.001073	-0.128735
$(\Delta R_{23})^\alpha = -2'.01$ $(\Delta R_{23})^\delta = +2'.10$	$(\Delta L_{84})^\alpha = -1'.84$ $(\Delta L_{84})^\delta = +0'.40$	$(\Delta L_{85})^\alpha = +1'.83$ $(\Delta L_{85})^\delta = -0'.41$			

XVI

<i>a</i>	<i>b</i>	<i>c</i>	<i>d</i>	<i>e</i>	<i>f</i>
A = $311^{\circ}0'0$ R ₂₂ 0.001104	P = $28^{\circ}36'0$ -0.000025	-0.174345	0.000002	0.001135	-0.181954
A = $326^{\circ}0'0$ L ₈₂ 0.001057	P = $32^{\circ}0'0$ +0.000019	-0.094482	0.000019	0.001062	-0.113435
A = $330^{\circ}0'0$ L ₈₃ 0.001057	P = $24^{\circ}36'0$ +0.000028	+0.093083	0.000034	0.001070	-0.106934
$(\Delta R_{22})^\alpha = -3'.81$ $(\Delta R_{22})^\delta = -1'.97$	$(\Delta L_{82})^\alpha = -4'.06$ $(\Delta L_{82})^\delta = -0'.30$	$(\Delta L_{83})^\alpha = +4.08$ $(\Delta L_{83})^\delta = +0'.30$			

Katalog von 1456
isolierten Dunkelwolken der Milchstraße

Nr.	Roß Lick	α_{1950}	δ_{1950}	Fläche	A_m	Form	l. b. gal.	Barnard Chawtasi
1	R ₂₂	359°59'9	61°29'7	21	0.8			
	L ₈₇	o 5.8	31.3	29	0.7			
	L ₈₉	o 3.2	30.5	17	1.1			
		o 3.0	61 30.5	22	0.9	lggl. NS	85,0°	
2	R ₂₀	o 2.4	61 58.8	15	0.6			
	L ₈₇	5.6	57.7	12	0.5			
	L ₈₉	6.7	56.7	14	0.7			
		o 4.9	61 57.7	14	0.6	rd.	85,0	
3	R ₂₀	o 14.2	59 46.1	18	0.6			
	L ₈₇	12.1	45.7	14	1.1			
	L ₈₉	13.4	47.0	15	1.1			
		o 13.2	59 46.3	16	0.9	lggl. NS	85,-2	
4	R ₂₀	o 25.5	62 41.8	20	0.6			
	L ₈₇	22.6	42.8	16	0.7			
	L ₈₉	22.5	41.6	25	0.7			
		o 23.5	62 42.1	20	0.7	lggl. SO-NW	86,1	
5	R ₂₀	o 24.8	58 21.6	11	0.6			
	L ₈₇	21.7	17.1	19	0.7			
	L ₈₉	24.3	21.1	13	1.1			
		o 23.6	58 19.9	14	0.8	rd.	85,-3	
6	R ₂₀	o 32.7	58 52.5	18	0.8			
	L ₈₇	30.8	50.7	20	0.7			
	L ₈₉	32.3	49.3	14	0.7			
		o 31.9	58 50.8	17	0.7	rd.	85,-3	
7	R ₂₀	o 36.8	57 17.1	8	0.5			
	L ₈₇	40.8	16.3	14	0.7			
	L ₈₉	41.0	19.3	11	1.0			
		o 39.5	57 17.6	11	0.7	lggl. O-W	85,-4	
8	R ₂₀	o 41.2	56 12.0	12	0.5			
	L ₈₉	40.9	12.2	17	1.0			
		o 41.0	56 12.1	15	0.8	lggl. O-W	85,-5	
9	R ₂₀	o 44.8	58 56.3	5	0.6			
	L ₈₇	44.4	55.3	12	0.7			
	L ₈₉	36.0	56.9	11	0.7			
		o 41.7	58 56.2	9	0.7	rd.	85,-3	
10	R ₂₀	o 44.2	57 36.5	6	0.8			
	L ₈₇	45.4	36.5	10	1.1			
	L ₈₉	46.5	38.0	6	1.1			
		o 45.4	57 37.0	7	1.0	Δ SW-NO	85,-4	
11	R ₂₀	1 30.9	59 22.4	5	0.6			
	L ₈₇	30.7	20.7	14	0.7			
	L ₈₉	29.5	20.2	11	0.9			
		1 30.4	59 21.1	10	0.7	lggl. O-W	86,-2	
12	R ₂₀	1 38.9	59 26.6	11	0.5			
	L ₈₇	36.8	25.6	13	0.5			
	L ₈₉	26.7	24.1	7	0.7			
		1 34.1	59 23.4	10	0.6	lggl. O-W	86,-2	

Nr.	Roß Lick	α_{1950}	δ_{1950}	Fläche	A_m	Form	l. b. gal.	Barnard Chawtasi
13	R ₂₀ L ₈₇ L ₈₉	1° 54' 2 56.1 58.5	63° 59' 7 64 0.0 63 57.6	23 26 22	0.8 1.1 1.1			
		1 56.3	63 59.1	24	1.0	rd.	86°, 2°	
14	R ₂₀ L ₈₇ L ₈₉	2 17.0 16.9 14.4	57 16.7 16.3 14.8	12 13 13	0.8 1.1 1.1			
		2 16.1	57 15.9	13	1.0	lg. N-S	86,-4	
15	R ₂₀ L ₈₇ L ₈₉	2 32.3 34.4 27.3	56 40.8 40.6 39.7	14 12 11	1.2 1.1 0.7			
		3 31.3	56 40.4	12	1.0	ell. SW-NO	86,-5	
16	R ₂₀ L ₈₇ L ₈₉	3 0.8 2 57.8 58.1	56 50.8 50.0 50.9	9 14 13	0.6 0.7 0.7			
		2 58.9	56 50.6	12	0.7	lg. O-W	86,-5	
17	R ₂₀ L ₈₇ L ₈₉	3 17.7 13.7 21.5	60 4.8 5.3 5.8	15 17 11	0.6 1.1 1.1			
		3 17.6	60 5.3	15	0.9	rd.	87,-2	
18	R ₂₀ L ₈₇ L ₈₉	3 18.1 20.3 15.7	60 45.6 44.7 45.3	15 9 20	0.6 0.7 0.7			
		3 18.0	60 45.2	15	0.7	lg. SW-NO	87,-1	
19	R ₂₀ L ₈₇ L ₈₉	3 22.4 18.3 19.6	59 16.3 13.6 15.5	11 13 14	0.8 0.7 1.1			
		3 20.1	15.1	13	0.9	rd.	87,-3	
20	R ₂₀ L ₈₉	3 23.8 21.9	62 12.9 13.8	18 15	0.6 0.9			
		3 22.8	62 13.4	17	0.8	rd	87,0	
21	R ₂₀ L ₈₇ L ₈₉	3 41.8 43.8 38.0	60 38.9 39.0 37.6	11 13 14	0.6 0.7 0.7			
		3 41.2	60 38.5	13	0.7	rd.	87,0	
22	R ₂₀ L ₈₇ L ₈₉	3 46.1 48.1 46.4	58 10.6 11.9 11.1	5 10 9	0.6 0.7 0.7			
		3 46.9	58 11.2	8	0.7	lg. SO-NW	87,-4	
23	R ₂₀ L ₈₇ L ₈₉	4 12.5 16.9 12.1	57 50.1 53.2 50.6	12 39 15	0.8 1.1 1.1			
		4 13.8	51.3	22	1.0	rd.	87,-4	
24	R ₂₀ L ₈₇ L ₈₉	4 20.7 18.6 18.6	58 26.5 29.0 27.3	18 27 14	0.6 0.5 0.7			
		4 18.6	58 27.6	20	0.6	lg. SW-NO	87,-4	

Nr.	Roß Lick	α_{1950}	δ_{1950}	Fläche	A_m	Form	l. b. gal.	Barnard Chawtasi
25	R ₂₀	4°21'.9	61°37'8	15	0.8			
	L ₈₇	19.0	38.0	13	1.1			
	L ₈₉	26.6	37.7	11	0.7			
		4 22.5	61 37.8	13	0.9	rd.	87°,-1°	
26	R ₂₀	4 39.5	61 2.0	14	0.8			
	L ₈₇	32.0	1.2	9	0.7			
	L ₈₉	33.0	1.3	8	0.7			
		4 34.8	61 1.5	10	0.7	ell. SO-NW	87,-1	
27	R ₂₀	4 35.3	61 7.7	12	0.8			
	L ₈₇	37.3	8.1	12	0.7			
	L ₈₉	36.0	6.9	13	0.7			
		4 36.2	61 7.6	12	0.7	rd.	87,-1	
28	R ₂₀	4 39.2	58 27.2	17	0.4			
	L ₈₇	39.7	29.5	13	0.5			
	L ₈₉	31.9	29.0	13	0.9			
		4 36.9	58 28.6	15	0.6	rd.	87,-3	
29	R ₂₀	4 40.4	61 13.7	10	0.8			
	L ₈₇	42.2	12.8	13	0.7			
	L ₈₉	40.7	12.4	13	0.7			
		4 41.1	61 13.0	12	0.7	rd.	87,0	
30	R ₂₀	4 52.8	60 29.9	20	0.8			
	L ₈₇	54.4	30.6	14	1.1			
	L ₈₉	52.2	30.3	11	0.7			
		4 53.1	60 30.3	15	0.9	rd.	87,-1	
31	R ₂₀	5 9.8	62 20.5	5	0.8			
	L ₈₇	9.7	21.0	12	0.5			
	L ₈₉	10.7	19.2	8	0.9			
		5 10.1	62 20.2	8	0.7	rd.	88,0	
32	R ₂₀	5 18.9	62 20.5	5	0.8			
	L ₈₇	18.8	21.5	8	0.5			
	L ₈₉	20.5	20.8	8	0.9			
		5 19.4	62 20.9	7	0.7	rd.	88,0	
33	R ₂₀	5 32.9	62 20.1	9	0.8			
	L ₈₇	30.0	23.9	8	0.6			
	L ₈₉	31.1	21.1	7	1.0			
		5 31.3	62 21.7	8	0.8	rd.	88,0	
34	R ₂₀	5 45.1	62 59.5	24	0.8			
	L ₈₇	48.9	57.7	22				
	L ₈₉	42.0	63 1.9	26	1.1			
		5 45.3	62 59.7	24	1.0	herzförmig	88,1	
35	R ₂₀	6 2.0	57 34.1	15	0.5			
	L ₈₉	5 59.7	36.5	16	0.7			
		6 0.8	57 35.3	16	0.6	lg. SO-NW	88,-5	
36	R ₂₀	6 41.0	58 56.7	40	0.6			
	L ₈₇	43.1	57.1	29	0.7			
	L ₈₉	38.2	57.4	31	1.1			
		6 40.8	58 57.1	33	0.8	lg. SW-NO	88,-3	
37	R ₂₀	7 55.2	61 56.5	20	0.8			
	L ₈₉	52.4	54.1	15	1.1			
		7 53.8	61 55.3	18	0.9	ell. SO-NW	89,0	

Nr.	Roß Lick	α_{1950}	δ_{1950}	Fläche	A_m	Form	l. b. gal.	Barnard Chawtasi
38	R ₂₇ L ₉	22° 3'6	60° 29'.8	73	0.8	rd.	96°,-1°	
		21 58.3	27.1	59	0.7			
39	R ₂₇ L ₉	22 1.0	60 28.4	66	0.8	Stab SO-NW	96,-1	
		22 36.0	60 19.0	44	0.6			
40	R ₂₇ L ₉	31.4	17.5	47	0.5	herzförmig N-S	97,-1	
		22 33.7	60 18.2	45	0.6			
41	R ₂₇ L ₉	24 35.5	60 11.3	107	1.2	rd.	98,0	
		24 30.8	12.1	88	1.1			
42	R ₂₇ L ₉	24 33.2	60 11.7	98	1.2	rd.	102,-7	
		25 27.5	60 59.4	31	1.2			
43	R ₂₇ L ₉	23.3	57.4	22	1.1	rd.	102,-6	
		25 25.4	60 58.4	26	1.2			
44	R ₂₇ L ₉	29 18.9	52 52.1	58	0.8	lgl. SW-NO	102,-6	
		15.7	45.6	66	0.7			
45	R ₂₇ L ₉	29 17.3	52 48.8	62	0.8	lgl. NS	102,-2	
		29 58.6	54 33.1	70	0.8			
46	R ₂₇ L ₉	55.0	29.0	80	0.7	ell. SW-NO	102,-4	
		29 56.8	54 31.0	75	0.8			
47	R ₂₇ L ₉	30 32.3	54 38.6	46	0.8	ell. N-S	102,-2	
		28.8	33.4	49	1.1			
48	R ₂₇ L ₉	30 30.6	54 36.0	48	1.0	lgl. SW-NO	102,-2	
		32 24.5	58 8.2	76	0.8			
49	R ₂₇ L ₉	22.0	3.8	74	0.7	rd.	103,-2	
		32 23.2	58 6.0	75	0.8			
50	R ₂₇ L ₉	32 27.7	56 47.2	92	1.2	ell. NS	105,-7	
		29.4	43.6	97	1.1			
51	R ₂₇ L ₉	32 28.5	56 45.4	95	1.2	rd.	105,-6	
		32 59.6	58 40.0	35	0.8			
52	R ₂₇ L ₉	58.0	32.5	22	0.7	ell. N-S	103,-2	
		32 58.8	58 36.2	29	0.8			
53	R ₂₇ L ₉	33 27.9	57 43.8	114	1.2	Stab SO-NW	103,-2	
		18.4	42.4	147	0.7			
54	R ₂₇ L ₉	33 23.2	57 43.1	130	1.0	rd.	106,-5	
		33 59.4	57 8.0	46	0.8			
55	R ₂₇ L ₉	54.7	1.8	44	0.7	ell. NS	105,-6	
		33 57.0	57 4.9	45	0.8			
56	R ₂₇ L ₉	34 12.3	52 3.7	29	1.2	rd.	103,-2	
		8.7	51 58.9	26	1.1			
57	R ₂₇ L ₉	34 10.5	52 1.3	27	1.2	ell. NS	105,-7	
		35 35.9	53 22.9	18	0.8			
58	R ₂₇ L ₉	33.1	18.8	20	0.5	ell. N-S	103,-2	
		35 34.5	53 20.8	19	0.7			
59	R ₂₇ L ₉	35 47.7	56 28.2	31	1.2	rd.	106,-5	
		43.1	25.7	37	1.1			
60	R ₂₇ L ₉	35 45.4	56 27.0	34	1.2	rd.	106,-5	
		37 9.3	53 58.3	18	1.2			
61	R ₂₇ L ₉	4.4	55.1	15	1.1	rd.	106,-5	
		37 6.8	53 56.7	16	1.2			

Nr.	Roß Lick	α_{1950}	δ_{1950}	Fläche	A_m	Form	l. b. gal.	Barnard Chawtasi
54	R ₂₇ L ₉	37°27'7 22.3	55°42'8 40.0	35 44	0.6 0.7			
		37 25.0	55 41.4	40	0.7	ell. O-W	105°,-3°	
55	R ₂₇ L ₉	38 36.6 32.1	53 35.3 31.4	31 25	0.8 0.7			
		38 34.3	53 33.4	28	0.8	lgl. O-W	106,-3	
56	R ₂₉ L ₁₆	52 16.0 11.1	37 59.1 57.4	30 27	1.2 0.7			
		52 13.6	37 58.2	28	1.0	lgl. SO-NW	123,-13	
57	R ₂₉ L ₁₆	52 21.2 16.2	36 49.9 48.9	108 117	1.2 0.7			
		52 18.7	36 49.4	113	1.0	lgl. NS	124,-14	
58	R ₂₉ L ₁₆	52 29.0 34.0	39 34.3 43.9	36 48	0.8 1.1			
		52 31.5	39 39.1	42	1.0	rd.	122,-12	
59	R ₂₉ L ₁₆	53 46.9 46.4	39 21.3 21.0	36 33	0.8 1.1			
		53 46.6	39 21.2	35	1.0	rd.	124,-11	
60	R ₂₉ L ₁₆	53 49.3 51.0	38 30.6 30.7	30 29	1.2 0.8			
		53 50.2	38 30.6	30	1.0	lgl. SO-NW	124,-11	
61	R ₂₉ L ₁₆	54 39.9 38.6	37 11.0 7.6	101 94	1.2 1.1			
		54 39.2	37 9.3	98	1.2	lgl. SW-NO	125,-13	
62	R ₂₉ L ₁₆	57 2.9 3.1	36 59.7 59.1	33 33	0.8 0.7			
		57 3.0	36 59.4	33	0.8	Δ N-S	127,-11	
63	R ₂₉ L ₁₆	57 30.1 28.2	34 59.0 57.2	35 30	0.8 1.1			
		57 29.1	34 58.1	35	1.0	ell. N-S	128,-12	
64	R ₂₉ L ₁₆	58 18.6 12.6	34 6.5 4.9	38 40	0.8 0.7			
		58 15.6	34 5.7	39	0.8	lgl. SO-NW	129,-13	
65	R ₂₉ L ₁₆	58 34.6 35.0	36 55.8 53.8	32 35	1.2 0.7			
		58 34.8	54.8	34	0.9	rd.	127,-11	
66	R ₂₉ L ₁₆	59 24.7 23.6	36 33.6 32.8	30 24	0.8 0.7			
		59 24.2	36 33.2	27	0.8	rd.	128,-10	
67	R ₂₈ L ₁₉	69 56.2 70 0.5	43 12.6 11.5	65 81	0.8 1.1			
		69 58.4	43 12.0	73	1.0	lgl. NS	129,0	
68	R ₃₀ L ₁₉	71 20.9 17.8	44 7.3 6.8	43 57	0.6 0.7			
		71 19.4	44 7.0	50	0.7	Stab O-W	129,1	
69	R ₂₈ L ₁₉	71 56.2 55.6	45 51.3 49.0	152 120	0.8 1.1			
		71 55.9	45 50.2	136	1.0	lgl. SW-NO	128,3	

Nr.	Roß Lick	α_{1950}	δ_{1950}	Fläche	A_m	Form	l. b. gal.	Barnard Chawtasi
70	R ₂₈	72° 24'.0	43° 56'.6	17	1.2			
	L ₁₉	21.8	51.8	28	1.0			
		72 22.9	43 54.2	22	1.1	Stab O-W	130°, 2°	
71	R ₂₈	72 46.3	43 26.1	29	0.8			
	L ₁₉	42.8	25.2	50	1.1			
		72 44.6	43 25.7	40	1.0	Δ SW-NO	130, 2	
72	R ₃₀	72 53.6	37 50.7	57	1.2			
	L ₁₉	52.7	51.2	47	1.1			
		72 53.2	37 51.0	52	1.2	rd.	135,-1	
73	R ₃₀	72 55.1	37 38.3	59	0.8			
	L ₁₉	59.3	42.4	60	0.7			
		72 57.2	37 40.4	60	0.8	lg. SW-NO	134, 1	
74	R ₃₀	73 11.8	37 38.6	23	0.8			
	L ₁₉	9.2	38.1	39	1.1			
		73 10.5	37 38.4	31	1.0	lg. O-W	135,-1	
75	R ₃₀	73 34.3	23 59.9	110	0.8			
	R ₃₁	36.7	58.2	101	0.8			
		73 35.5	56.5	106	0.8	lg. N-S	146,-10	
76	R ₃₀	73 44.4	22 55.5	47	0.8			
	R ₃₁	48.2	53.9	64	0.8			
		73 46.3	54.7	56	0.8	rd.	147,-10	
77	R ₃₀	73 55.4	22 56.5	40	0.8			
	R ₃₁	57.2	56.8	33	1.2			
		73 56.3	22 56.7	36	1.0	lg. SO-NW	147,-10	
78	R ₃₀	74 2.3	37 35.2	45	0.8			
	L ₁₉	1.6	35.7	43	0.7			
		74 2.0	37 35.5	44	0.8	Δ N-S	136,-1	
79	R ₃₀	74 4.1	37 36.5	19	1.2			
	L ₁₉	3.1	35.2	15	1.1			
		74 3.6	37 35.8	17	1.2	rd.	136,-1	
80	R ₃₀	74 8.7	23 50.8	31	0.8			
	R ₃₁	4.8	53.6	21	0.8			
		74 6.8	23 52.2	26	0.8	rd.	146,-9	
81	R ₃₀	74 8.9	36 34.1	15	1.2			
	L ₁₉	9.5	45.0		0.7			
		74 9.2	36 39.6		1.0	lg. N-S	136,-1	
82	R ₃₀	74 17.4	24 4.7	54	1.2			
	L ₃₁	8.7	23 59.9	37	1.2			
		74 13.0	24 2.3	45	1.2	lg. O-W	146,-9	
83	R ₃₀	74 19.2	23 8.2	35	0.8			
	R ₃₁	22.3	8.1	35	1.2			
		74 20.7	23 8.2	35	1.0	rd.	147,-10	
84	R ₃₀	74 22.9	23 13.7	28	1.2			
	R ₃₁	24.1	11.9	22	1.2			
		74 23.5	23 12.8	25	1.2	lg. SO-NW	147,-9	
85	R ₂₈	74 23.7	45 55.0	32	0.8			
	L ₁₉	24.8	52.9	33	0.8			
		74 24.3	45 54.0	33	0.8	rd.	129, 4	

Nr.	Roß Lick	α_{1950}	δ_{1950}	Fläche	A_m	Form	I. b. gal.	Barnard Chawtasi
86	R ₃₀	74°26'1	23°19'5	32	0.8			
	R ₃₁	27.4	17.2	21	0.8			
		74 26.7	23 18.4	26	0.8	lgl. N-S	147°-9°	
87	R ₂₈	74 40.1	44 17.7	130	0.8			
	L ₁₉	40.8	17.2	120	1.1			
		74 40.5	44 17.5	125	1.0	ell. NO-SW	130,3	
88	R ₃₀	74 42.7	23 51.9	51	0.8			
	R ₃₁	40.3	51.2	37	0.8			
		74 41.5	23 51.5	44	0.8	lgl. N-S	147,-9	
89	R ₂₈	74 54.0	45 33.0	16	0.6			
	L ₁₉	52.1	31.3	17	0.7			
		74 53.0	45 32.2	17	0.7	lgl. SO-NW	129,4	
90	R ₃₀	74 57.0	23 55.9	41	0.8			
	R ₃₁	54.7	55.0	67	0.8			
		74 55.8	23 55.5	54	0.8	ov. N-S	147,-9	
91	R ₂₈	75 2.0	43 53.9	304	0.8			
	L ₁₉	74 57.3	49.5	277	0.7			
		74 59.6	43 51.7	291	0.8	lgl. O-W	131,3	
92	R ₃₀	75 4.8	23 56.2	70	0.6			
	R ₃₁	4.0	55.3	40	0.6			
		75 4.4	23 55.8	55	0.6	Δ SO-NW	147,-9	
93	R ₃₀	75 10.4	32 38.7	54	0.8			
	R ₃₁	10.1	47.9	56	1.2			
		75 10.3	32 43.3	55	1.0	unrgm.	140,-3	
94	R ₃₀	75 14.5	23 22.8	44	0.8			
	R ₃₁	23.9	25.7	71	1.2			
		75 19.2	23 24.2	57	1.0	rd.	148,-9	
95	R ₂₈	75 38.1	43 35.3	123	0.8			
	L ₁₉	39.1	34.2	135	1.1			
		75 38.6	43 34.8	129	1.0	rd.	131,3	
96	R ₃₀	75 44.7	23 6.7	48	0.6			
	R ₃₁	43.7	4.7	42	0.8			
		75 44.7	23 5.7	45	0.7	lgl. O-W	147,-8	
97	R ₃₀	75 45.2	23 26.7	48	0.8			
	R ₃₁	44.0	23.4	39	1.2			
		75 44.6	23 25.0	44	1.0	Δ	148,-8	
98	R ₃₀	75 45.0	24 26.1	29	0.8			
	R ₃₁	45.8	25.2	46	0.8			
		75 45.4	24 25.7	38	0.8	ov. O-W	147,-7	
99	R ₃₀	75 46.7	22 58.1	35	0.8			
	R ₃₁	47.0	55.1	37	0.8			
		75 46.8	22 56.6	36	0.8	ell. N-S	148,-9	
100	R ₃₀	75 52.3	24 33.9	54	0.6			
	R ₃₁	52.9	30.2	50	0.8			
		75 52.6	24 32.0	52	0.7	rhom. N-S	147,-7	
101	R ₂₈	75 53.2	44 42.8	36	0.6			
	L ₁₉	56.7	43.9	28	1.1			
		75 55.0	44 43.4	32	0.9	lgl. SO-NW	130,4	

Nr.	Roß Lick	α_{1950}	δ_{1950}	Fläche	A_m	Form	l. b. gal.	Barnard Chawtasi
102	R_{30} L_{19}	76° 58'.0	38° 9'.2	56	0.8	lg. O-W	136° 1°	
		59.7	37	54	0.7			
103	R_{30} L_{19} R_{32}	76 58.8	38 6.5	55	0.8	lg. SO-NW	134,3	
		77 52.8	40 51.8		1.2			
		57.6	53.4	50	0.7			
104	R_{30} R_{31}	78 1.9	41 0.6	56	0.8	A N-S	141,-1	
		77 57.4	40 55.3	53	0.9			
		78 7.5	32 47.9	35	0.5			
105	R_{30} R_{32}	2.0	55.1			Sichel n. SO	138,1	
		78 45.0	36 53.7	62	0.6			
		44.5	59.1	61	1.2			
106	R_{30} L_{19}	78 44.8	36 57.4	62	0.9	lg. SO-NW	135,4	
		78 47.5	40 54.5	22	1.2			
		48.6	52.3	27	1.1			
107	R_{30} R_{32}	78 48.0	40 53.4	25	1.2	lg. O-W	145,-3	
		79 2.2	29 4.8	47	0.6			
		1.8	28 56.8	35	1.2			
108	R_{30} L_{19} R_{32}	79 2.0	29 0.8	41	0.9	A	138,1	
		79 9.0	36 33.0	37	1.2			
		5.4	27.6	38	1.2			
109	R_{30} R_{32}	13.9	34.5	44	1.1	A O-W	142,0	
		79 9.6	36 31.7	40	1.2			
		79 29.9	33 24.4	59	0.6			
110	R_{30} R_{32}	31.3	22.5	38	0.8	A	142,0	
		79 30.6	33 23.5	49	0.7			
		79 32.0	32 32.7	16	0.8			
111	R_{30} R_{32}	47.3	35.3	16	1.2	A	142,0	
		79 39.6	32 34.3	16	1.0			
		79 49.3	33 18.5	52	0.6			
112	R_{30} R_{32}	50.6	20.9	32	0.8	A SO-NW	142,0	
		79 50.0	33 19.7	42	0.7			
		79 52.2	33 20.0	19	0.8			
113	R_{30} R_{32}	53.1	24.1	21	1.2	A	142,0	
		52.7	33 22.0	20	1.0			
		79 59.8	29 3.3	54	0.6			
114	R_{30} R_{32}	55.6	28 53.7	64	0.8	lg. NO-SW	145,-2	
		79 57.7	28 58.5	59	0.7			
		80 13.2	31 14.1	26	0.8			
115	R_{30} R_{32}	11.9	7.9	24	1.2	rd.	144,-1	
		80 12.6	31 11.0	25	1.0			
		80 24.5	31 12.6	18	0.8			
116	R_{30} R_{32}	18.2	6.4	21	1.2	ell. O-W	147,-1	
		80 21.3	31 9.5	20	1.0			
		80 40.0	34 44.1	35	0.8			
	R_{30} R_{32}	37.1	44.6	56	1.2	lg. O-W	141,1	
		80 38.6	34 44.4	45	1.0			

Nr.	Roß Lick	α_{1950}	δ_{1950}	Fläche	Δm	Form	l. b. gal.	Barnard Chawtasi
117	R ₃₀	81°12'2	30°22'8	45	0.8			
	R ₃₂	12.2	11.9	64	0.8			
		81 12.2	30 17.4	55	0.8	Sichel n. W	145°0°	
118	R ₃₀	81 29.9	37 39.7	95	0.8			
	R ₃₂	31.0	40 2	105	1.2			
		81 30.5	37 40.0	100	1.0	unrgm.	138,4	
119	R ₃₀	81 36.2	37 8.9	66	0.8			
	R ₃₂	35.0	9.7	56	1.2			
		81 35.6	37 9.3	61	1.0	ov. NS	139,3	
120	R ₃₀	81 40.7	37 3.4	59	0.8			
	R ₃₂	40.1	5.4	46	1.2			
		81 40.4	37 4.4	53	1.0	ell. SW-NO	139,4	
121	R ₃₃	81 43.8	3 37.0	28	1.2			
	R ₃₄	44.5	36.4	30	1.2			
		81 44.1	3 36.7	29	1.2	lgI. O-W	168,-14	
122	R ₃₃	81 55.4	3 18.8	91	1.2			
	R ₃₄	55.2	17.6	83	1.2			
		81 55.3	3 18.2	87	1.2	Keule NO-SW	168,-14	
123	R ₃₀	82 0.5	37 41.0	114	0.6			
	R ₃₂	3.2	42.1	108	0.8			
		82 1.9	37 41.6	111	0.7	unrgm.	139,4	
124	R ₃₀	82 5.8	39 39.8	103	0.6			
	R ₃₂	5.9	43.9	80	0.8			
		82 5.9	39 41.8	92	0.7	lgI. N-S	137,5	
125	R ₃₀	82 17.8	38 6.8	82	1.2			
	R ₃₂	16.7	9.5	64	1.2			
		82 17.3	38 8.2	73	1.2	ov. SO-NW	139,4	
126	R ₃₀	82 16.6	39 52.5	103	0.8			
	R ₃₂	18.2	57.9	72	1.2			
		82 17.4	39 55.2	87	1.0	ov. NS	137,5	
127	R ₃₀	82 18.6	40 4.9	54	0.8			
	R ₃₂	14.4	8.4	96	0.8			
		82 16.5	40 6.6	75	0.8	A SW-NO	137,5	
128	R ₃₀	82 37.9	36 22.3	59	0.8			
	R ₃₂	38.0	20.9	47	0.8			
		82 38.0	36 21.6	53	0.8	ov. SW-NO	140,3	
129	R ₃₃	82 38.3	9 52.9	49	1.2			
	L ₂₁	38.1	57.1	48	1.1			
		82 38.2	9 55.0	49	1.2	lgI. SO-NW	163,-10	
130	R ₃₀	82 58.0	31 42.6	44	0.8			
	R ₃₂	55.0	33.2	40	1.2			
		82 56.5	31 37.9	42	1.0	rd.	144,1	
131	R ₃₄	83 1.0	— 0 20.7	35	1.2			
	L ₂₀	6.0	21.9	36	1.1			
		83 3.5	— 0 21.3	36	1.2	rd.	172,-15	
132	R ₃₄	83 6.8	— 5 38.1	12	0.6			
	L ₂₀	6.4	34.2	9	1.1			
		83 6.6	— 5 36.1	11	0.9	unrgm.	177,-17	

Nr.	Roß Lick	α_{1950}	δ_{1950}	Fläche	Δm	Form	l. b. gal.	Barnard Chawtasi
133	R_{33} L_{21}	83° 7'6	10° 33'6	56	0.8	rd.	163°-10°	
		6.6	21.2	67	0.7			
134	R_{30} R_{32}	83 7.1	10 28.4	62	0.8	lgl. NS	137,6	
		83 7.0	40 29.3	51	0.8			
135	R_{33} R_{34} L_{21}	8.2	33.3	35	0.6	ov. NS	167,-12	
		83 7.6	40 31.3	43	0.7			
136	R_{34} L_{20}	83 11.1	5 38.8	171	0.8	rd.	177,-17	
		9.2	38.4	144	0.7			
137	R_{33} R_{34}	11.4	35.8	121	1.1	rd.	165,-11	
		83 10.6	5 37.7	145	0.9			
138	R_{33} R_{34}	83 14.2	— 5 38.0	4	0.6	rd.	174,-16	
		11.9	33.8	9	1.1			
139	R_{34} L_{20}	83 13.0	— 5 35.9	7	0.9	lgl. NS	177,-17	
		83 9.4	7 16.9	14	0.8			
140	R_{34} L_{20}	20.3	21.4	16	0.8	rd.	176,-17	
		83 14.8	7 19.2	15	0.8			
141	R_{34}	83 16.9	7 11.0	18	0.8	lgl. O-W	176,-17	
		13.5	13.4	25	0.7			
142	R_{34}	83 15.2	7 12.2	22	0.8	ell. SW-NO	176,-17	
		83 15.4	— 2 15.2	84	0.8			
143	R_{34} L_{20}	17.0	11.9	79	1.1	rd.	176,-16	
		83 16.2	— 2 13.6	82	1.0			
144	R_{33}	83 18.7	— 5 47.3	25	0.8	rd.	177,-18	
		17.6	43.6	36	0.7			
145	R_{34}	83 18.1	— 5 45.5	31	0.8	lgl. O-W	176,-17	
		83 23.9	— 4 35.5	11	0.8			
146	R_{34} L_{20}	83 25.1	— 4 27.6	21	0.8	rd.	176,-16	
		28.3	26.7		1.1			
147	R_{34} L_{20}	83 26.7	— 4 27.1		1.0	rd.	177,-17	
		83 28.7	— 4 55.1	26	0.8			
148	R_{33} R_{34} L_{21}	28.3	36.1	17	0.7	lgl. SO-NW	176,-16	
		83 28.5	— 4 45.6	22	0.8			
149	R_{33} R_{34} L_{20}	83 28.8	— 10 29.8	28	0.8	rd.	177,-17	
		83 32.2	— 4 34.9	12	1.1			
150	R_{34} L_{20}	83 33.6	— 5 1.6	29	0.8	rd.	176,-16	
		33.6	— 4 58.2	26	0.7			
151	R_{34} L_{20}	83 33.6	— 4 59.9	28	0.8	rd.	177,-17	
		83 40.8	37 31.2	59	0.6			
152	R_{33} R_{34} L_{21}	41.3	29.8	61	0.6	rd.	176,-16	
		83 41.0	37 30.5	60	0.6			
153	R_{33} R_{34} L_{21}	83 44.1	7 29.0	49	1.2	rd.	177,-17	
		39.7	33.0	46	1.2			
154	R_{34} L_{20}	43.2	27.4	36	1.1	Stab O-W	177,-16	
		83 42.3	7 29.8	44	1.2			
155	R_{34} L_{20}	83 46.6	— 4 50.7	27	0.6	rd.	176,-10	
		42.7	47.8	31	0.7			
156	R_{34} L_{20}	83 44.7	— 4 49.2	29	0.7	rd.	177,-16	

Nr.	Roß Lick	α_{1950}	δ_{1950}	Fläche	Δm	Form	l. b. gal.	Barnard Chawtasi
150	R ₃₃	83° 44' 6	9° 11' 2	48	0.8	Sichel n. O	164°,-9°	
151	R ₃₄	83 48.8	— 5 23.6	44	0.8			
	L ₂₀	43.3	20.4	44	0.5			
		83 46.0	— 5 22.0	44	0.7	lg. O-W	177,-17	
152	R ₃₃	83 51.7	9 6.7	10	1.2	rd.	164,-10	
153	R ₃₀	83 55.1	35 35.3	45	1.2			
	R ₃₂	52.7	30.6	53	1.2			
		83 53.9	33.0	49	1.2	ell. NS	142,5	
154	R ₃₀	83 55.3	36 16.5	56	0.8			
	R ₃₂	55.5	15.9	68	1.2			
		83 55.4	36 16.2	62	1.0	lg. SW-NO	141,5	
155	R ₃₄	83 55.3	— 6 28.3	40	1.2			
	L ₂₀	55.3	22.3	67	1.1			
		55.3	— 6 25.3	53	1.2	ov. NS	178,-17	
156	R ₃₃	84 18.3	8 58.5	42	0.6	ov. O-W	164,-10	
157	R ₃₀	84 36.4	40 13.8	19	1.2			
	R ₃₂	36.9	16.2	19	0.8			
		84 36.6	40 15.0	19	1.0	lg. SW-NO	138,7	
158	R ₃₀	85 0.0	40 21.1	50	0.8			
	R ₃₂	84 58.7	22.3	71	0.8			
		84 59.3	40 21.7	61	0.8	lg. O-W	138,7	
159	R ₃₄	84 59.7	— 2 24.7	78	0.8			
	L ₂₀	85 3.1	21.9	71	1.1			
		85 1.4	— 2 23.3	75	1.0	stab O-W	175,-14	
160	R ₃₀	85 10.6	40 12.4	72	0.8			
	R ₃₂	9.7	11.4	72	0.8			
		10.2	40 11.9	72	0.8	Δ N-S	138,7	
161	R ₃₃	85 38.0	9 2.8	224	1.2			
	L ₂₁	41.6	2.3	200	1.5			B. 6, 35
		85 39.8	2.5	212	1.4	lg. O-W	165,-8	Ch. Nr. 137
162	R ₃₃	88 0.4	11 8.0	25	0.8	ov. NS	164,-5	
163	R ₃₃	88 3.3	10 59.1	27	0.8			
	L ₂₁	2.6	11 3.2	29	0.7			
		88 3.0	11 1.2	28	0.8	lg. NS	165,-5	
164	R ₃₃	88 9.9	2 4.5	59	1.6			
	R ₃₄	8.7	1 55.8	88	1.2			
		88 9.3	2 0.2	74	1.4	Δ	173,-10	Ch. Nr. 147
165	R ₃₃	88 20.9	12 20.1	17	0.8			
	L ₂₁	21.0	24.8	36	0.7			
		88 21.0	22.5	26	0.8	lg. SW-NO	164,-4	
166	R ₃₃	88 37.1	12 14.1	21	0.6			
	L ₂₁	38.8	20.5	39	0.7			
		88 37.9	17.3	30	0.7	ov. O-W	164,-4	
167	R ₃₃	89 14.5	11 3.3	17	0.6			
	L ₂₁	15.2	6.8	22	0.7			
		88 14.9	5.0	20	0.7	lg. SW-NO	165,-4	

Nr.	Roß Lick	α_{1950}	δ_{1950}	Fläche	Δm	Form	l. b. gal.	Barnard Chawtasi
168	R ₃₃	90° 13'.6	11° 0'.0	39	0.6			
	L ₂₁	13.6	3.4	36	0.7			
		90 13.6	11 1.7	38	0.7	ov. NS	166,-3°	
169	R ₃₅	91 40.8	7 49.8	76	1.2			
	L ₂₄	36.2	49.9	135	0.7			
	L ₂₆	35.6	44.2					
		91 37.5	7 48.0	105	1.0	ov. NS	169,-3	
170	R ₃₃	91 39.0	8 22.5	18	0.8	lgl. SO-NW	169,-3	
171	R ₃₃	91 39.5	5 15.1	17	1.2	rd.	171,-5	
172	R ₃₅	91 37.6	14 32.7	131	1.2			
	L ₂₄	42.2	28.6	85	0.7			
		91 39.9	14 30.6	108	1.0	lgl. NS	163,0	
173	R ₃₃	91 41.5	8 28.4	46	0.8			
	L ₂₁	40.3	27.7		1.1			
		91 40.9	8 28.0		1.0	lgl. NS	169,-4	
174	R ₃₅	91 43.1	10 22.5	125	0.8			
	L ₂₄	39.8	22.1	107	0.7			
		91 41.4	10 22.3	116	0.8	ov. NS	167,-2	
175	R ₃₃	91 43.9	10 27.3	46	0.8			
	L ₂₁	45.1	21.2		0.7			
		91 44.5	24.3		0.8	rd.	167,-2	
176	R ₃₃	91 46.6	10 14.6	28	0.8	lgl. S-N	167,-2	
177	R ₃₅	91 55.5	8 29.2	88	0.8			
	L ₂₄	43.9	30.2	61	0.7			
	L ₂₆	49.1	21.9	104	0.5			
		91 49.5	8 27.1	84	0.7	lgl. NS	169,-3	
178	R ₃₃	91 54.5	4 50.4	17	1.2	lgl. NS	172,-4	
179	R ₃₅	91 55.8	10 22.9	87	0.8			
	L ₂₄	53.7	21.4	76	0.7			
		54.8	22.2	82	0.8	ov. NS	167,-2	
180	R ₃₃	91 58.0	10 18.2	35	1.2			
	L ₂₁	57.9	22.9	51	1.1			
		58.0	20.5	43	1.2	lgl. NS	167,-2	
181	R ₃₃	92 11.0	12 18.7	28	0.8	lgl. SO-NW	166,-1	
182	R ₃₅	92 9.6	15 44.3	53	0.8			
	L ₂₄	15.3	45.7	55	0.7			
		12.5	15 45.0	54	0.8	Rechteck NS	163,1	
183	R ₃₃	92 24.0	12 1.6	49	1.2	Stab N-S	166,-1	
184	R ₃₅	92 30.5	15 43.1	46	0.8			
	L ₂₄	35.2	44.1	47	1.1			
		32.8	43.6	47	1.0	ell. O-W	162,1	
185	R ₃₅	92 33.4	12 22.6	259	0.8			
	L ₂₄	32.8	22.3	271	0.7			
		33.1	22.5	265	0.8	lgl. SO-NW	166,0	Ch. Nr. 159
186	R ₃₃	92 41.7	12 23.2	56	1.2			
	L ₂₁	38.0	19.0					
		92 39.8	21.1		1.2	unrglm. N-S	166,-1	

Nr.	Roß Lick	α_{1950}	δ_{1950}	Fläche	Δm	Form	I. b. gal.	Barnard Chawtasi
187	R ₃₅	93°25'8	9°43'6	20	0.8			
	L ₂₆	30.0	42.3	21	0.7			
		27.9	43.0	21	0.8	rd.	169°1°	
188	R ₃₅	93 30.2	9 36.9	17	1.2			
	L ₂₆	29.2	29.8	21	0.7			
		29.7	33.4	19	1.0	rd.	168,1	
189	R ₃₅	94 2.4	11 7.6	56	0.6			
	L ₂₄	1.8	8.6	60	0.5			
		2.1	8.1	58	0.6	A N-S	167,0	
190	R ₃₅	95 45.3	7 56.8	50	0.6			
	L ₂₆	41.6	54.0	40	0.5			
	L ₂₉	43.3	8 0.2	63	0.5			
		43.4	7 57.0	51	0.5	rd.	171,0	
191	R ₃₅	95 46.8	15 7.1	99	0.8			
	L ₂₄	50.4	6.1	73	0.7			
	L ₂₉	58.0	10.6	65	0.7			
		51.7	15 7.9	79	0.7	lgl. SW-NO	165,4	
192	R ₃₅	95 59.8	11 11.6	30	0.6			
	L ₂₄	58.1	12.7	36	0.5			
		58.9	12.2	33	0.6	lgl. SO-NW	168,2	
193	R ₃₅	96 24.8	7 52.9	50	1.2			
	L ₂₆	22.7	50.1	33	1.1			
	L ₂₉	22.3	56.1	47	0.7			
		96 23.3	7 53.1	43	1.0	rd.	171,0	
194	R ₃₅	96 52.2	9 44.3	46	0.6			
	L ₂₆	58.8	34.5	52	0.7			
		55.5	39.4	49	0.7	lgl. N-S	170,2	
195	R ₃₅	97 7.3	15 33.6	37	1.2			
	L ₂₄	13.1	34.2	50	0.7			
		10.2	15 33.9	44	1.0	Rhomb. N-S	165,5	
196	R ₃₅	97 25.3	4 39.4	17	0.8			
	R ₃₆	22.6	44.9	23	0.6			
	L ₂₆	20.6	47.2	—	—			
		97 22.8	43.8	20	0.7	lgl. SW-NO	174,0	
197	R ₃₅	97 21.6	15 33.9	79	0.8			
	L ₂₄	21.5	33.9	80	0.7			
	L ₂₉	28.0	37.1	107	1.1			
		97 23.7	35.0	89	0.9	lgl. N-S	165,5	
198	R ₃₅	97 52.5	4 44.4	18	0.8			
	R ₃₆	49.6	43.4	21	0.6			
	L ₂₆	47.6	46.5	—	—			
		49.9	44.8	20	0.7	rd.	175,0	
199	R ₃₅	97 59.5	7 39.2	15	1.2			
	R ₃₆	98 3.2	35.8	21	1.2			
	L ₂₆	4.4	46.8	22	1.1			
	L ₂₉	97 53.8	33.5	30	0.7			
		98 0.2	7 38.8	22	1.1	lgl. SW-NO	172,2	
200	R ₃₅	98 7.6	7 34.4	17	1.2			
	R ₃₆	9.6	36.1	15	0.6			
	L ₂₈	3.7	35.8	23	0.7			
	L ₂₉	2.4	27.9	15	0.5			
		98 5.8	7 33.6	18	0.8	rd.	172,2	

Nr.	Roß Lick	α_{1950}	δ_{1950}	Fläche	A_m	Form	l. b. gal.	Barnard Chawtasi
201	R ₃₅	98° 15'.9	7° 36'.6	30	0.8			
	R ₃₄	18.1	36.6	34	0.6			
	L ₂₆	24.4	42.3	20	0.7			
	L ₂₈	9.1	37.2	31	0.7			
	L ₂₉	13.0	30.1	—	0.7			
		98 16.1	7 36.6	29	0.7	rd.	172°, 2°	
202	R ₃₅	98 15.3	12 49.6	32	0.5			
	L ₂₈	21.0	52.5	31	—			
	L ₂₉	22.4	56.6	18	0.5			
		98 19.6	12 52.9	27	0.5	lg. NS	168,4	
203	R ₃₅	98 15.9	13 1.1	35	0.5			
	L ₂₈	22.8	2.8	47	—			
	L ₂₉	21.6	5.5	53	0.5			
		98 20.1	13 3.1	45	0.5	lg. NS	168.5	
204	R ₃₅	98 43.6	10 33.3	50	0.8			
	L ₂₈	47.6	33.2	20	0.7			
		98 45.6	10 33.3	35	0.8	Δ	170,4	
205	R ₃₅	98 50.4	10 17.6	102	0.8			
	L ₂₈	47.8	16.9	—	1.1			
		98 49.1	10 17.3	102	1.0	lg. SO-NW	170,4	
206	R ₃₅	99 10.6	3 59.7	27	0.8			
	R ₃₆	7.8	59.5	36	0.8			
	L ₂₆	5.0	4 6.5	—	—			
		99 7.8	4 1.7	31	0.8	rd.	176,1	
207	R ₃₅	99 27.7	7 43.8	30	1.2			
	L ₂₆	28.0	46.4	42	0.6			
		99 27.9	7 45.1	36	0.9	Δ NS	173.3	Ch. Nr. 176
208	R ₃₅	99 31.2	9 2.1	76	1.2			
	L ₂₆	30.3	2.0	74	1.1			
	L ₂₈	28.7	0.5	122	1.1			
	L ₂₉	26.2	8 58.1	85	1.1			
		99 29.1	9 0.7	89	1.1	lg. NS	172,4	
209	R ₃₅	99 38.2	9 20.6	55	1.2			
	L ₂₆	39.8	19.5	57	0.7			
		39.0	9 20.0	56	0.9	ov. SO-NW	172,4	
210	R ₃₅	99 45.5	9 38.3	64	1.2			
	L ₂₆	47.3	39.2	55	1.1			
	L ₂₈	36.9	32.6	44	1.1			
	L ₂₉	39.0	32.4	26	0.7			
		99 42.2	9 35.6	47	1.1	lg. SO-NW	171,4	
211	R ₃₅	99 50.0	9 21.9	87	1.2			
	L ₂₆	53.3	22.3	74	1.1			
	L ₂₉	45.2	23.5	68	1.1			
		99 49.5	22.6	76	1.1	lg. N-S	172,4	
212	R ₃₅	100 2.6	9 36.0	94	1.2			
	L ₂₆	4.9	39.0	173	0.7			
		100 3.8	9 37.5	133	1.0	ov. NS	172,5	
213	R ₃₅	100 11.2	12 47.8	30	0.6			
	L ₂₉	11.6	46.1	55	0.5			
		100 11.4	47.0	42	0.6	lg. N-S	169,7	

Nr.	Roß Lick	α_{1950}	δ_{1950}	Fläche	A_m	Form	I. b. gal.	Barnard Chawtasi
214	R ₃₅	100° 58' 9	8° 29' 8	59	0.6			
	R ₃₆	101 5.6	32.4	52	0.6			
	L ₂₆	101 1.5	33.1	81	0.7			
	L ₂₉	101 0.0	33.1	86	0.7			
		101 1.5	8 32.1	69	0.7	lgI. SW-NW	173° 5°	
215	R ₃₅	101 33.5	12 38.1	27	0.5			
	L ₂₈	39.0	39.1	14	0.7			
		101 36.2	12 38.6	20	0.6	ell. SO-NW	169,7	
216	R ₃₇	101 57.2	-13 58.0	53	1.2			
	R ₃₈	55.1	-14 4.5	62	0.8			
		101 56.2	-14 1.3	58	1.0	lgI. O-W	193,-5	
217	R ₃₅	102 11.2	0 3.3	91	0.6			
	R ₃₆	2.2	0.5	90	0.6			
		102 6.7	0 1.9	91	0.6	unrglm. lgI. O-W	181,2	
218	R ₃₇	103 7.8	-15 8.5	59	1.2			
	R ₃₈	9.2	11.1	60	1.2			
		103 8.5	-15 9.8	60	1.2	rd.	195,-4	
219	R ₃₇	103 12.1	-15 3.3	67	1.2			
	R ₃₈	18.2	4.8	45	0.8			
		103 15.1	-15 4.0	56	1.0	lgI. SO-NW	195,-4	
220	R ₃₇	103 43.9	-16 52.1	96	1.2			
	R ₃₈	37.8	56.0	84	1.2			
		103 40.8	-16 54.0	90	1.2	rd.	197,-5	
221	R ₃₆	104 11.4	- 4 15.1	103	1.2			
	R ₃₇	10.8	15.8	46	1.8			
		104 11.1	- 4 15.5	75	1.0	rd.	195,2	
222	R ₃₅	104 50.3	2 8.1	17	0.6			
	R ₃₆	46.7	4.4	10	0.8			
		104 48.5	2 6.3	14	0.7	rd.	180,5	
223	R ₃₅	104 57.3	2 2.0	29	1.2			
	R ₃₆	53.3	0.0	17	0.8			
		104 53.3	2 1.0	23	1.0	rd.	180,5	
224	R ₃₅	105 2.5	- 4 1.6	106	0.8			
	R ₃₆	1.7	1.8	67	0.6			
		105 2.1	- 4 1.7	87	0.7	Sichel n. W	186,2	
225	R ₃₇	105 9.2	- 8 32.5	40	1.2			
	R ₃₆	8.3	35.7	25	1.2			
		105 8.8	- 8 34.1	33	1.2	lgI. N-S	189,0	
226	R ₃₇	105 21.6	- 4 28.4	46	0.8			
	R ₃₆	20.8	28.1	56	0.8			
		105 21.2	- 4 28.3	51	0.8	ell. SO-NW	186,3	
227	R ₃₇	105 25.3	- 1 13.8	22	0.6			
	R ₃₆	25.9	13.4	58	1.2			
		105 25.6	- 1 13.6	40	0.9	ell. SO-NW	187,4	
228	R ₃₇	105 29.6	- 4 20.9	38	0.8			
	R ₃₆	30.5	20.8	44	0.8			
		105 30.0	- 4 20.8	41	0.8	Δ	186,3	
229	R ₃₇	105 43.5	- 1 15.0	18	1.2			
	R ₃₆	44.5	16.8	35	1.2			
		105 44.0	- 1 15.9	27	1.2	Δ SO-NW	184,4	

Nr.	Röß Lick	α_{1950}	δ_{1950}	Fläche	Δm	Form	l. b. gal.	Barnard Chawtasi
230	R ₃₇	105°49'2	— 3°26'9	50	0.6	ell. O-W	186°3°	
	R ₃₆	49.2	25.0	89	0.8			
231	R ₃₇	105 49.2	— 3 26.0	70	0.7	A	187,3	
	R ₃₆	106 25.4	— 4 12.3	101	0.6			
232	R ₃₇	106 27.7	— 4 12.5	89	0.6	ell. N-S	195,1	
	R ₃₈	106 26.6	— 4 12.4	95	0.6			
233	R ₃₇	106 42.6	— 14 0.3	46	1.2	ell. N-S	198,-2	
	R ₃₈	42.8	2.1	67	1.2			
234	R ₃₇	106 42.7	— 14 1.2	57	1.2	ell. SO-NW	200,-3	
	R ₃₈	107 17.9	— 19 30.4	81	1.2			
235	R ₃₇	107 14.1	— 19 31.5	80	1.2	ell. O-W	188,5	
	R ₃₆	107 16.0	— 19 31.0	81	1.2			
236	R ₃₇	107 41.0	— 4 40.7	115	0.6	ell. SO-NW	186,5	
	R ₃₆	40.1	40.0	62	0.6			
237	R ₃₇	107 40.5	— 4 40.4	88	0.6	A N-S	196,1	
	R ₃₈	107 44.9	— 3 36.3	69	0.6			
238	R ₃₇	45.4	37.0	59	0.8	ell. SW-NO	196,0	
	R ₃₈	107 45.2	— 3 36.6	64	0.7			
239	R ₃₇	108 6.8	— 13 47.9	101	1.2	ell. SW-NO	201, 2	
	R ₃₆	7.4	50.1	80	1.2			
240	R ₃₇	108 7.1	— 13 49.0	91	1.2	ell. O-W	202,-2	
	R ₃₆	108 10.2	— 14 1.5	90	0.8			
241	R ₃₇	108 10.9	— 14 2.7	77	1.2	ell. SW-NO	188,5	
	R ₃₆	108 10.5	— 14 2.1	84	1.0			
242	R ₃₇	108 13.3	— 19 41.2	45	1.0	ov. N-S	189,6	
	R ₃₆	108 40.1	— 4 52.3	32	0.8			
243	R ₃₇	42.2	49.8	53	1.2	ov. N-S	198,-1	
	R ₃₆	108 41.2	— 4 51.0	43	1.0			
244	R ₃₇	109 22.9	— 4 45.0	96	0.8	Sichel n. NW	199,1	
	R ₃₆	22.2	44.0	56	0.8			
245	R ₃₇	109 22.6	— 4 44.5	76	0.8	ell. N-S	199,2	
	R ₃₆	31.5	43.0	73	0.6			
246	R ₃₇	32.3	42.4	56	0.6	ell. N-S		
	R ₃₆	109 31.9	— 4 42.7	65	0.6			
247	R ₃₇	109 33.2	— 15 33.0	111	0.8	ell. N-S		
	R ₃₆	34.1	31.9	125	0.6			
248	R ₃₇	109 33.6	— 15 32.5	118	0.7	ell. N-S		
	R ₃₆	40.1	50.2	37	0.8			
249	R ₃₇	40.5	49.6	60	0.8	ell. N-S		
	R ₃₆	109 40.3	— 16 49.9	49	0.8			
250	R ₃₇	110 42.9	— 15 55.1	62	0.8	ell. N-S		
	R ₃₆	45.1	51.8	50	0.6			
251	R ₃₇	110 44.0	— 15 53.5	56	0.7	ell. N-S		
	R ₃₆	44.0	53.5	56	0.7			

Nr.	Roß Lick	α_{1950}	δ_{1950}	Fläche	A_m	Form	l. b. gal.	Barnard Chawtasi
246	R ₃₇	111° 3'.3	-17° 45'.4	37	1.2	Stab O-W	201°, 1°	
		1.3	42.6	36	0.8			
247	R ₃₇	111 2.3	-17 44.0	37	1.0	unrglm. N-S	200, 1	
		111 7.4	-17 27.3	111	0.8			
248	R ₃₇	6.6	25.0	108	0.8	unrglm. N-S	200, 1	
		111 7.0	-17 26.2	110	0.8			
249	R ₃₇	112 24.8	-14 37.9	37	0.5	lgl. O-W	199, 4	
		25.8	34.6	53	0.6			
250	R ₃₈	112 25.3	-14 36.2	45	0.6	lgl. N-S	204, 2	
		113 46.5	-20 5.3	68	1.2			
251	R ₃₈	43.1	1.3	63	0.8	A SW-NO	211, -1	
		113 44.8	-20 3.3	66	1.0			
252	R ₃₇	115 0.8	-27 57.3	32	0.8	lgl. SO-NW	214, -2	
		1.4	56.9	41	0.8			
253	R ₃₈	115 1.1	-27 57.1	36	0.8	lgl. SO-NW	201, 5	
		115 12.0	-30 34.2	18	0.6			
254	R ₃₉	14.7	34.6	16	1.2	ov. SO-NW	206, 3	
		115 13.3	-30 34.4	17	0.9			
255	R ₃₇	115 20.1	-16 33.5	47	0.6	ell. O-W	208, 2	
		21.4	24.2	80	0.6			
256	R ₃₈	115 20.8	-16 28.8	64	0.6	rd.	208, 2	
		115 29.9	-21 7.1	24	0.8			
257	R ₃₉	30.6	4.4	26	1.2	rd.	208, 2	
		115 30.3	-21 5.7	25	1.0			
258	R ₃₈	115 36.3	-23 49.3	6	0.5	lgl. O-W	209, 1	
		37.3	49.8	7	0.6			
259	R ₃₉	115 36.8	23 49.6	7	0.6	A	206, 3	
		115 38.2	-23 45.9	12	0.5			
260	R ₃₈	38.9	45.7	6	0.5	lgl. NO-SW	211, 0	
		115 38.5	-23 45.8	9	0.5			
261	R ₃₉	115 38.6	-24 37.1	13	0.8	ell. SO-NW	206, 4	
		39.2	35.9	13	0.8			
262	R ₃₈	115 38.9	-24 36.5	13	0.8	rd.	208, 2	
		115 50.2	-20 45.4	12	0.6			
263	R ₃₉	48.7	45.0	13	0.6	rd.	208, 2	
		115 49.5	-20 45.2	13	0.6			
264	R ₃₈	116 0.2	-27 44.8	22	1.2	lgl. N-S	211, 0	
		2.8	46.7	21	1.2			
265	R ₃₉	116 1.5	-27 45.8	22	1.2	lgl. NO-SW	211, 0	
		2.4	-20 46.1	89	0.6			
266	R ₃₈	1.9	44.8	60	0.6	lgl. O-W	211, 1	
		116 2.1	-20 45.5	75	0.6			
267	R ₃₉	116 15.4	-27 22.4	18	0.8	lgl. O-W	211, 1	
		16.4	21.9	25	0.6			
268	R ₃₈	116 15.8	-27 22.1	22	0.7	lgl. O-W	211, 1	
		124.1	-27 7.1	15	0.8			
269	R ₃₉	28.7	9.0	21	0.8	lgl. O-W	211, 1	
		116 26.4	-27 8.0	18	0.8			

Nr.	Roß Lick	α_{1950}	δ_{1950}	Fläche	A_m	Form	l. b. gal.	Barnard Chawtasi
262	R ₃₈ R ₃₉	116°30'4	-20°10'4	13	0.8	Δ SW-NO	205°4°	
		29.2	12.0	18	0.8			
263	R ₃₈ R ₃₉	116 29.8	-20 11.2	16	0.8	Δ NO-SW	205,4	
		116 33.4	-20 6.9	18	0.6			
264	R ₁ L ₃₇	30.7	8.3	16	1.2	Sichel n. S	316,8	
		116 32.1	-20 7.6	17	0.9			
265	R ₁ L ₃₇	249 16.6	-33 12.4	138	0.5	unrglm. lgl. SW- NO	311,1	
		17.0	9.3	194	0.7			
266	R ₁ L ₃₇	249 16.8	-33 10.8	166	0.6	großes Δ n. NO	315,5	B 16,233
		250 2.6	-41 18.1	1695	0.4			
267	R ₁ L ₃₇	0.3	11.3	1485	0.5	ellipt. NO	314,4	
		250 1.5	-41 14.7	1590	0.5			
268	R ₁ L ₃₇	250 12.7	-35 12.5	1428	0.6	Trapez n. O	313,2	
		10.1	12.5	1129	1.0			
269	R ₁ L ₃₇	250 11.4	-35 12.5	1279	0.8	Band SW-NO	318,6	
		250 14.0	-37 11.9	415	0.8			
270	R ₁ L ₃₇	10.0	9.7	480	0.4	lg. O-W	314,3	
		250 12.0	-37 10.8	448	0.6			
271	R ₁ L ₃₇	250 50.5	-39 0.3	682	0.5	ellipt. N-S	318,5	
		38.9	-38 59.9	670	0.5			
272	R ₁ L ₃₇	250 44.7	-39 0.1	676	0.5	lg. O-W	316,4	
		251 59.0	-33 19.3	197	0.3			
273	R ₁ L ₃₇	251 4.9	20.8	201	0.5	rd.	313,1	
		251 2.0	-33 20.0	199	0.4			
274	R ₁ L ₃₇	251 12.0	-37 57.3	254	0.6	rd.	314,2	
		250 57.5	50.2	216	0.4			
275	R ₁ L ₃₇	251 4.7	-37 53.8	235	0.5	rd.	311,-1	
		251 24.6	-33 41.1	138	0.5			
276	R ₁ L ₃₇	28.1	40.6	207	0.4	ell. SO-NW	313,1	
		251 26.4	-33 40.8	173	0.5			
277	R ₁ L ₃₇	251 50.0	-35 5.3	569	0.5	ell.	311,0	
		49.9	9.3	759	0.7			
278	R ₁ L ₃₇	251 50.0	-35 7.3	664	0.6	SO-NW	314,3	
		251 54.0	-39 23.3	215	0.5			
279	R ₁ L ₃₇	51.1	17.1	159	0.4	rd.	313,1	
		251 52.6	-39 20.2	187	0.5			
280	R ₁ L ₃₇	252 11.8	-38 32.0	26	1.2	rd.	314,2	
		9.1	45.0	43	0.7			
281	R ₁ L ₃₇	252 10.4	-38 38.5	35	1.0	rd.	311,-1	
		252 17.2	-41 42.1	38	0.8			
282	R ₁ L ₃₇	11.9	37.0	34	1.1	rd.	313,1	
		252 14.6	-41 39.6	36	1.0			
283	R ₁ L ₃₇	252 19.0	-38 49.3	37	1.2	rd.	314,3	
		14.2	46.5	34	0.7			
284	R ₁ L ₃₇	252 16.6	-38 47.9	36	1.0	rd.	313,1	
		252 28.0	-41 48.3	20	0.8			
285	R ₁ L ₃₇	17.1	44.3	17	1.1	ell. SO-NW	311,0	
		252 22.6	-41 46.3	18	1.0			

Nr.	Roß Lick	α_{1950}	δ_{1950}	Fläche	A_m	Form	l. b. gal.	Barnard Chawtasi
278	R ₁	252°29'7	-41°53'9	15	0.8			
	L ₃₇	17.3	51.7	15	1.1			
		252 23.5	-41 52.8	15	1.0	rd.	311°,0°	
279	R ₁	252 33.9	-38 32.5	31	1.2			
	L ₃₇	28.2	44.4	31	0.7			
		252 31.0	-32 38.5	31	1.0	rd.	319,5	
280	R ₁	252 32.5	-36 17.6	49	0.6			
	L ₃₇	34.5	16.0	65	0.7			
		252 33.5	-36 16.8	57	0.7	rd.	316,3	
281	R ₁	252 37.2	-39 29.1	25	1.2			
	L ₃₇	36.8	27.3	22	1.1			
		252 37.0	-39 28.2	24	1.2	ell. SW-NO	313,1	
282	R ₁	252 45.6	-41 44.6	31	0.8			
	L ₃₇	34.5	41.9	31	1.1			
		252 40.0	-41 43.3	31	1.0	ell. SW-NO	312,-1	
283	R ₁	252 59.0	-32 1.5	170	0.2			
	L ₃₇	58.4	6.8	174	0.5			
		252 58.7	-32 1.2	172	0.4	Sichel n. W	319,5	
284	R ₁	253 3.4	-31 3.0	25	0.6			
	L ₃₇	4.7	3.5	20	0.7			
		253 4.0	-31 3.3	23	0.7	Δ n. NW	320,6	B 18,239
285	R ₁	253 17.5	-40 57.0	31				
	L ₃₇	7.2	54.0	30	1.1			
		253 12.3	-40 55.5	31	1.1	lggl. N-S	313,0	
286	R ₁	253 26.0	-36 48.3	116	0.6			
	L ₃₇	22.8	44.0	103	0.5			
		253 24.4	-36 46.2	110	0.6	ov. NS	316,2	
287	R ₁	253 30.3	-37 31.1	71	0.6			
	L ₃₇	24.9	30.8	72	0.7			
		253 27.6	-37 31.0	72	0.7	ell. N-S	315,2	
288	R ₁	253 37.7	-29 29.9	34	0.7			
	L ₃₇	30.9	34.3	28	0.5			
		253 34.3	-29 32.1	31	0.6	ell. n. O	321,6	
289	R ₁	253 46.0	-29 19.3	34	0.6			
	L ₃₇	42.4	2 8.3	73	0.4	krummes Stäbchen		
		253 44.2	-29 13.8	53	0.5	n. NO	322,6	
290	R ₁	253 47.1	-34 50.8	95	0.5			
	L ₃₇	42.9	50.7	82	0.7			
		253 45.0	-34 50.8	86	0.6	ell. SO-NW	317,3	
291	R ₁	253 45.5	-32 55.1	17	0.6			
	L ₃₇	51.0	58.4	26	0.5			
		253 48.3	-32 56.7	22	0.6	lggl. n. NO	319,4	
292	R ₁	253 52.6	-34 21.5	20	0.5			
	L ₃₇	55.0	20.3	19	0.7			
		253 53.8	-34 20.9	20	0.6	ell. O-W	318,3	
293	R ₁	253 56.0	-35 10.3	63	0.6			
	L ₃₇	53.0	12.8	44	0.7			B. 16, 240
		253 54.5	-35 11.6	54	0.7	unrglm. lgl. O-W	317,3	Ch. Nr. 297

Nr.	Roß Lick	α_{1950}	δ_{1950}	Fläche	Δm	Form	I. b. gal.	Barnard Chawtasi
294	R_1 L_{37} L_{38}	253°55'6	-30°55'7	36	0.5	ell. N-S	320°5°	
		57.8	57.5	42	0.7			
		51.9	58.3	40	0.4			
295	R_1 L_{37}	253 55.1	-30 57.2	39	0.5	ell. SO-NW	318,3	
		254 4.0	-34 33.3	80	0.6			
296	R_1 L_{37}	254 2.4	33.1	75	0.7	ell. n. NW	321,5	B. 16, 241
		254 3.2	-34 33.2	78	0.7			
		254 0.0	-30 38.3	41	0.3			
297	R_1 L_{37}	10.2	36.5	24	0.5	ov. O-W	318,3	
		254 5.1	-30 37.4	32	0.4			
		254 9.4	-34 9.9	28	0.7			
298	R_1 L_{37} L_{38}	7.9	8.5	15	0.7	ell. O-W	320,5	
		254 8.6	-34 9.2	21	0.7			
		254 8.1	-31 35.1	68	0.3			
299	R_1 L_{37} L_{38}	13.0	32.0	54	0.6	ell. O-W	321,6	B. 17, 241
		2.8	33.7	49	0.6			
		254 8.0	-31 33.6	57	0.5			
300	R_1 L_{37}	254 5.6	-30 13.1	122	0.5	Kolben O-W	316,2	
		15.4	10.6	108	0.5			
		4.6	10.5	92	0.5			
301	R_1 L_{37}	254 8.5	-30 11.4	107	0.5	Sichel n. W	318,3	
		254 12.0	-37 4.3	163	0.6			
		10.1	0.7	300	0.5			
302	R_1 L_{37}	254 11.1	-37 2.5	231	0.6	lgl. O-W	322,6	
		254 16.0	-34 21.5	40	0.6			
		10.7	19.6	46	0.5			
303	R_1 L_{37}	254 13.4	-34 20.5	43	0.6	krummes Stäbchen n. SO	313,-1	
		254 12.4	-28 57.2	15	0.8			
		20.5	-29 3.0	53	0.5			
304	R_1 L_{37}	254 16.5	-29 0.1	34	0.7	Bogen n. SO	312,-2	
		254 22.3	-40 47.9	49	1.2			
		18.1	45.4	42	1.1			
305	R_1 L_{37} L_{38}	254 20.2	-40 46.6	46	1.2	lgl. O-W	319,4	
		254 18.9	-31 58.3	196	0.3			
		23.1	57.4	171	0.6			
306	R_1 L_{37}	254 21.0	-31 57.9	183	0.5	ov. O-W	321,5	
		254 20.0	-31 26.3	28	0.3			
		23.5	25.9	28	0.6			
307	R_1 L_{37}	254 18.7	25.4	29	0.4	rd.	320,4	
		254 20.7	-31 25.9	28	0.4			
		254 28.8	-41 40.4	203	0.6			
308	R_1 L_{37}	21.5	41.4	331	1.1	rd.	321,6	
		254 25.2	-41 40.9	267	0.9			
		254 29.6	-32 49.6	18	0.8			
309	R_1 L_{37}	30.3	49.4	19	0.5	Rhomb. O-W	321,5	
		254 30.0	-32 49.5	19	0.7			
		254 39.0	-30 44.3	15	0.6			
310	R_1 L_{37}	29.9	44.9	15	0.8			
		254 34.4	-30 44.6	15	0.7			

Nr.	Roß Lick	α_{1950}	δ_{1950}	Fläche	Δm	Form	l. b. gal.	Barnard Chawtasi
309	R ₁	254°35'0	-34°36'3	91	0.6			
	L ₃₇	34.1	33.4	87	0.7			
		254 34.6	-34 34.8	89	0.7	Band SO-NW	318°3°	
310	R ₁	254 34.1	-30 46.4	31	0.6			
	L ₃₇	38.4	48.2	26	0.6			
	L ₃₈	33.5	46.5	23	0.8			
		254 35.3	-30 47.0	27	0.7	ell. O-W	321,5	
311	R ₁	254 36.0	-30 20.3	20	1.2			
	L ₃₇	43.7	22.0	23	0.7			
	L ₃₈	34.6	22.5	31	0.7			
		254 38.1	-30 21.6	25	0.9	ell. NO-SW	322,5	
312	R ₁	254 38.0	-36 9.3	388	0.6			
	L ₃₇	39.3	4.9	377	0.7			
		254 38.6	-36 7.1	383	0.7	Keule O-W	317,2	
313	R ₁	254 40.0	-30 16.3	80	0.3			
	L ₃₇	44.8	19.2	56	0.5			
	L ₃₈	37.1	17.3	57	0.5			
		254 40.6	-30 17.6	64	0.4	ov. O-W	322,5	
314	R ₁	254 42.0	-33 29.3	224	0.6			
	L ₃₇	44.1	35.4	202	0.7			
		254 43.0	-33 32.4	213	0.7	Sichel N-S	319,3	
315	R ₁	254 47.0	-36 33.3	116				
	L ₃₇	43.3	32.8	86	0.5			
		254 45.2	-36 33.0	101	0.5	Knie n. SW	317,1	
316	R ₁	254 54.0	-34 21.3	32	1.2			
	L ₃₇	49.1	21.0	44	1.1			
		254 51.5	-34 21.2	38	1.2	unrglm. lgl. O-W	319,3	B. 16, 316
317	R ₁	254 53.0	-32 26.4	20	0.1			
	L ₃₇	50.9	27.3	26	0.3			
		254 52.0	-32 26.8	23	0.2	rd	320,4	
318	R ₁	254 45.0	-33 31.3	20	0.8			
	L ₃₇	59.7	35.7	28	0.4			
		254 52.3	-33 33.5	24	0.6	ell. N-S	319,3	
319	R ₁	254 54.7	-33 15.2	28	1.6			
	L ₃₇	53.8	15.0	20	1.3			
		254 54.3	-33 15.1	24	1.5	lgl. N-S	319,3	B. 17, 49
320	R ₁	254 56.0	-31 57.3	77	0.4			
	L ₃₇	255 0.9	57.4	72	0.4			
	L ₃₈	254 56.0	57.2	44	0.4			
		254 57.6	-31 57.3	64	0.4	Sichel n. NO	320,4	
321	R ₁	254 59.0	-30 38.7	166	0.6			
	L ₃₇	255 4.1	41.3	199	0.7			
	L ₃₈	254 59.3	40.8	—	0.7			
		255 0.8	-31 40.3	182	0.7	Δ N-S	321,4	
322	R ₁	255 2.4	-35 12.8	32	0.5			
	L ₃₇	1.3	13.2	38	—			
		255 1.8	-35 13.0	35	0.5	lgl. n. NO	318,2	
323	R ₁	255 7.6	-38 3.0	54	—			
	L ₃₇	0.5	0.2	62	0.4			
		255 4.0	-38 1.6	58	0.4	lgl. SO-NW	315,0	

Nr.	Roß Lick	α_{1950}	δ_{1950}	Fläche	A_m	Form	I. b. gal.	Barnard Chawtasi
324	R ₁	255° 6'.4	-36° 23'.3	60	1.2	rd.	317°, 1°	
	L ₃₇	5.9	24.1	77	0.7			
325	R ₁	255 6.2	-36 23.7	69	1.0	lgl. O-W	319,3	
	L ₃₇	16.0	-34 12.3	25	0.6			
326	R ₁	255 15.5	-34 9.3	32	0.6	A n. NO	327,9	
	L ₃₇	11.2	-23 42.3	40	0.5			
327	R ₁	255 21.3	45.8	22	0.5	rd.	318,2	
	L ₃₇	15.0	-23 44.0	31	0.5			
328	R ₁	255 18.9	-35 1.2	22	0.6	Hantel O-W	317,2	B. 15, 242
	L ₃₇	18.6	1.0	17	0.5			
329	R ₁	255 18.8	-35 11.1	20	0.6	Breites Band O-W	320,4	
	L ₃₇	24.0	-35 52.3	154	0.6			
330	R ₁	255 21.9	49.4	171	0.7	ell. NO-SW	319,2	
	L ₃₇	23.0	-35 50.8	162	0.7			
331	R ₁	255 27.0	-32 22.3	95	0.3	ell. N-S	321,4	
	L ₃₇	34.6	23.3	134	0.4			
332	R ₁	255 23.3	26.2	187	0.5	Halbmond n. SO	322,4	
	L ₃₇	28.3	-32 23.9	139	0.4			
333	R ₁	255 29.0	-34 19.9	23	0.6	herzförmig n. S	321,4	
	L ₃₇	29.2	17.3	26	0.7			
334	R ₁	255 29.1	-34 18.6	25	0.7	Stäbchen O-W	319,2	
	L ₃₇	34.7	-31 23.7	34	0.5			
335	R ₁	255 39.1	23.7	43	0.5	ov. O-W	317,1	
	L ₃₈	36.1	21.0	40	0.7			
336	R ₁	255 36.6	-31 22.8	39	0.6	Stäbchen N-S	319,2	
	L ₃₇	42.0	-30 42.3	89	1.2			
337	R ₁	255 44.9	42.7	47	0.7	ell. O-W	322,4	B. 15, 55
	L ₃₈	42.8	39.5	73	1.1			
338	R ₁	255 43.2	-30 41.5	70	1.0	ell. n. NO	321,3	
	L ₃₇	43.7	-31 45.2	108	0.6			
339	R ₁	255 47.1	43.6	106	0.5			
	L ₃₈	45.1	43.1	103	0.5			
340	R ₁	255 45.3	-31 44.0	106	0.5			
	L ₃₇	50.0	-34 14.3	23	0.7			
341	R ₁	255 51.2	12.3	19	0.7			
	L ₃₇	50.6	-34 13.3	21	0.6			
342	R ₁	255 49.7	-36 23.2	126	0.6			
	L ₃₇	54.2	21.3	124	0.5			
343	R ₁	255 52.0	-36 22.2	125	0.6			
	L ₃₇	55.0	-34 2.1	23	0.6			
344	R ₁	255 52.7	1.1	28	0.7			
	L ₃₈	53.8	-34 1.6	26	0.7			
345	R ₁	255 59.0	-30 49.3	89	0.8			
	L ₃₇	58.4	51.2	88	0.7			
346	R ₁	255 49.6	50.7	49	1.1			
	L ₃₈	55.7	-30 50.4	75	0.9			
347	R ₁	255 57.0	-31 49.3	32	0.6			
	L ₃₇	60.6	50.2	33	0.5			
348	R ₁	256 0.3	54.3	28	0.7			
	L ₃₈	59.3	-31 51.3	31	0.6			

Nr.	Roß Lick	α_{1950}	δ_{1950}	Fläche	Δm	Form	l. b. gal.	Barnard Chawtasi
339	R ₁	255°59'4	-30°24'9	31	1.2	ov. SW-NO	322°4°	
	L ₃₇	256 1.0	28.7	19	0.7			
	L ₃₈	256 0.6	29.0	46	0.7			
340	R ₁	256 0.3	-30 27.5	32	0.9	Δ n. S	321,3	
		256 4.0	-31 59.3	61	0.3			
		10.4	-32 4.4	93	0.5			
		7.6	-32 7.6	33	0.5			
341	R ₁	256 7.3	-32 3.8	62	0.4	kl. Bogen NS	319,2	
		256 11.1	-33 48.4	43	0.4			
		11.8	48.7	32	0.5			
342	R ₁	256 11.5	-33 48.5	38	0.5	rd.	321,3	
		256 11.0	-31 37.3	23	0.2			
		12.7	38.3	23	0.7			
343	R ₁	256 11.8	-31 37.8	23	0.5	Stäbchen O-W	320,2	B. 19, 57
		256 13.4	-33 6.3	37	0.5			
		15.7	12.9	54	0.5			
344	R ₃	256 14.6	-33 9.1	46	0.5	Sichel n. SO	328,8	
		256 18.6	-23 10.6	55				
		16.2	6.0	153	0.5			
		14.0	11.7	86	0.7			
345	R ₁	256 16.3	-23 9.4	98	0.6	ov. n. NO	322,4	
		256 24.6	-31 33.2	23	0.3			
		27.7	35.5	26	0.7			
346	R ₁	256 26.2	-31 34.3	25	0.5	Quadrat	322,3	B. 19, 60
		256 26.7	-30 56.1	41	0.6			
		25.9	55.7	25	0.7			
347	R ₁	256 26.3	-30 55.9	33	0.7	Knie n. SO	328,9	B. 15, 56 Ch. Nr. 318
		256 25.0	-22 46.7	146	0.6			
		26.1	44.4	212	0.5			
		29.1	42.0	128	0.7			
348	R ₁	256 26.7	-22 44.4	163	0.6	lg. spitz n. S	321,3	B. 15, 243
		256 24.7	-32 4.5	12	1.2			
		28.0	7.0	14	1.1			
		28.2	10.1	19	0.7			
349	R ₁	256 27.0	-32 7.2	15	1.0	Trapez N-S	324,4	
		256 44.0	-29 30.3	424	0.3			
		43.6	22.6	373	0.7			
350	R ₁	256 43.8	-29 26.5	398	0.5	lg. n. O	319,1	
		256 44.0	-34 25.3	43	0.2			
		57.9	28.3	—				
351	R ₃	256 51.0	-34 26.8	43	0.2	lg. n. NO	329,8	B. 15, 244
		256 55.5	-23 10.1	63	0.5			
		51.5	9.2	57	0.3			
		47.5	13.1	41	0.5			
352	R ₁	256 51.5	-23 10.8	54	0.4	3 Spitzen	325,4	B. 14, 60
		256 59.0	-28 22.0	254	0.6			
		57.3	22.4	306	0.7			
353	R ₃	256 58.2	-28 22.2	280	0.7	Knie n. N schmaler Schlauch O-W	329,8	B. 18, 245
		257 5.0	-22 26.3	100	0.8			
		6.5	25.7	194	1.1			
		7.8	25.1	57	0.7			
		257 6.4	-22 25.7	117	0.9			

Nr.	Roß Lick	α_{1950}	δ_{1950}	Fläche	Δm	Form	l. b. gal.	Barnard Chawtasi
354	R_1 L_{38}	257° 8'.0	-29° 26'.3	55	0.3	rd.	323° 4°	
		9.0	26.3	69	0.5			
355	R_1 L_{38}	257 8.5	-29 26.3	62	0.4	Sichel n. O	322,3	
		257 14.5	-31 46.2	154	0.3			
356	R_1 L_{38}	5.7	48.7	111	0.5			
		257 10.1	-31 47.5	132	0.4			
357	R_1 L_{38}	257 17.0	-31 16.3	77	0.3	ell. NS	322,3	
		9.1	13.8	72	0.5			
358	R_3 L_{39}	257 13.0	-31 15.0	75	0.4	Rechteck O-W	321,2	
		257 15.4	-32 37.2	12	0.6			
359	R_1 L_{38}	12.3	38.9	29	0.7	rd.	329,7	B. 19, 246 Ch. Nr. 324
		257 13.8	-32 38.0	20	0.7			
360	R_1 L_{38}	257 14.4	-22 36.2	34	0.6	A n. S	324,4	
		20.4	37.1	44	0.4			
361	R_1 L_{38}	257 17.4	-22 36.7	39	0.5	krummer Stab NO	324,4	B. 18, 248
		257 25.3	-28 54.7	23	0.8			
362	R_1 L_{38}	26.0	51.3	21	0.5	rd.	325,4	B. 15, 250 Ch. Nr. 328
		257 25.6	-28 53.0	22	0.7			
363	R_1 L_{39}	257 30.0	-29 2.3	58	0.3	schmales Band SW-NO	322,2	
		32.4	-28 57.9	57	0.4			
364	R_1 L_{38}	257 31.2	-29 0.1	58	0.4	schmales Oval N-S	322,9	B. 19, 251
		257 34.0	-28 25.3	262	0.3			
365	R_1	33.0	25.0	144	0.7	Halbmond n. S	325,4	
		257 33.5	-28 25.2	203	0.5			
366	R_1 L_{38}	257 38.0	-32 1.3	46	0.3	ell. SW-NO	323,2	
		36.4	-31 59.9	52	0.4			
367	R_1 L_{39}	257 37.2	-32 0.6	49	0.4	ell. N-S	324,3	
		44.6	-20 7.9	54	0.6			
368	R_3 L_{39}	41.9	5.5	51	0.4	Stäbchen n. SO	328,6	
		257 43.2	-20 6.7	53	0.5			
369	R_3 L_{39}	257 44.9	-28 21.4	38	0.8	krummer Stab SW-NO	331,8	B. 19, 61 Ch. Nr. 335
		43.1	20.7	29	0.5			
370	R_1	257 44.0	-28 21.0	34	0.7			
		257 52.0	-30 50.3	231	0.3			
371	R_1	53.1	54.3	323	0.5			
		257 52.6	-30 52.3	282	0.4			
372	R_1 L_{38}	258 2.0	-28 56.3	69	0.3			
		2.6	55.9	59	0.4			
373	R_1 L_{39}	258 2.3	-28 56.1	64	0.4	ell. SW-NO	331,8	
		7.5	-25 0.4	34				
374	R_1 L_{39}	257 58.3	-24 55.6	49	0.1	Stäbchen n. SO	331,8	
		258 2.9	-24 58.0	41				
375	R_3 L_{39}	258 4.9	-20 25.7	46	0.8	krummer Stab SW-NO	331,8	
		2.4	25.9	25	0.5			
376	R_3 L_{39}	258 3.6	-20 25.8	36	0.7			
		21.4	-20 55.9	123	0.7			
377	R_3 L_{39}	20.6	54.7	86	0.7	krummer Stab SW-NO	331,8	
		21.0	-20 55.3	105	0.7			

Nr.	Roß Lick	α_{1950}	δ_{1950}	Fläche	A_m	Form	l. b. gal.	Barnard Chawtasi
370	R_1 L_{38}	258° 30'.2 21.7	-30° 20'.6 21.6	49	0.6	ell. SO-NW	324°, 2°	
		258 26.0	-30 21.1	51	0.5			
371	R_1 L_{38}	258 30.0 24.5	-29 57.3 55.4	62	0.5	rd.	324, 2	
		258 27.3	-29 56.4	53	0.5			
372	R_1 L_{38}	258 30.4 27.4	-29 26.5 31.2	122	0.5	Halbmond n. NO	325, 2	
		258 28.9	-29 28.8	154	0.5			
373	R_1 L_{38}	258 26.5 35.3	-29 5.3 7.0	80	0.4	Stab n. NO	325, 3	
		258 30.9	-29 6.2	76	0.4			
374	R_3 L_{39}	258 40.5 40.3	-32 49.8 51.4	61	0.6	krummer Stab SW-NO	321, 1	
		258 40.4	-32 50.6	47	0.7			
375	R_1 L_{38}	258 42.0 44.9	-29 51.3 51.0	54	0.7	rd.	324, 3	
		258 43.5	-29 51.2	31	0.6			
376	R_1 L_{38}	258 46.0 44.0	-31 19.3 22.7	177	0.3	Sichel n. NO	323, 2	
		258 45.0	-31 21.0	191	0.4			
377	R_1 L_{38}	258 48.0 45.3	-29 12.8 13.6	58	0.6	Stäbchen n. NO	324, 3	
		258 46.6	-29 13.2	51	0.3			
378	R_3 L_{39}	258 48.9 47.7	-18 38.2 33.7	453	1.2	Trapez N-S	333, 9	B. 19, 64
		258 48.3	-18 36.0	433	0.7			
379	R_1 L_{38}	258 48.7 48.1	-28 37.5 34.0	443	0.9	Kolben SW-NO	Ch. Nr. 338	
		258 48.4	-28 35.8	93	0.4			
380	R_3 L_{39}	258 52.9 52.2	-22 46.7 47.3	28	0.6	ell. SO-NW	330, 6	
		258 52.5	-22 47.0	29	0.7			
381	R_3 L_{39}	258 55.4 56.4	-19 25.8 27.2	46	0.6	rd.	333, 8	
		258 55.9	-19 26.5	57	0.3			
382	R_3 L_{39} L_{38}	258 58.7 57.5 59.8	-21 45.9 45.8 44.1	44	0.5	Knie n. W	331.7	
		258 58.7	-21 45.3	46	—			
383	R_3 L_{39}	259 1.9 258 58.6	-19 40.7 42.6	26	0.5	lgl. O-W	332, 8	
		259 0.3	-19 41.6	23	0.5			
384	R_1 L_{38}	259 0.8 5.0	-30 18.2 17.2	108	0.6	zwei	B. 254	
		259 2.9	-30 17.7	105	0.4			
385	R_1 L_{38}	259 3.0 4.9	-32 6.9 4.4	84	0.6	Flügel n. NW	Ch. Nr. 342	
		259 4.0	-32 5.6	48	0.5			
				66	0.6	Sichel n. W	322, 1	

Nr.	Roß Lick	α_{1950}	δ_{1950}	Fläche	A_m	Form	l. b. gal.	Barnard Chawtasi
386	R_3 L_{39}	259° 6'.9	-21° 53'.7	15	0.6	rd.	331°,7°	
		2.0	54.7	23	0.5			
387	R_3 L_{39}	259 4.5	-21 54.2	19	0.6	Igl. N-S	331,7	
		259 11.2	-22 9.0	77	0.6			
388	R_3 L_{39}	13.7	3.6	78	1.1	Igl. NS	330,6	
		259 12.5	-22 6.3	78	0.9			
389	R_3 L_{34}	259 13.9	-22 43.7	53	0.5	Igl. O-W	332,8	
		11.1	40.9	76	0.5			
390	R_1 L_{38}	259 12.5	-22 42.3	65	0.5	Haken n. S	322,1	
		259 13.9	-19 54.4	20	0.7			
391	R_1 L_{38}	14.6	53.8	19	0.5	Stäbchen n. N	325,2	B. 19,255
		259 14.3	-19 54.1	20	0.6			
392	R_3 L_{39} L_{38}	259 17.4	-31 48.0	154	0.3	rd.	330,6	
		17.4	40.2	312	0.4			
393	R_1 L_{38} L_{39}	259 17.4	-31 44.1	233	0.4	langer Stab N-S	328,5	
		259 22.9	-29 15.4	49	0.8			
394	R_1 L_{38} L_{39}	28.1	15.6	59	0.7	Knie n. SO	328,4	
		259 25.5	-29 15.5	54	0.7			
395	R_1 L_{39}	259 26.7	-23 26.4	18	0.6	Igl. O-W	333,8	
		25.0	27.1	25	0.5			
396	R_1 L_{38} L_{46}	25.6	27.3	21	0.5	krummer	324,2	
		259 25.8	-23 26.9	21	0.5			
397	R_3 L_{39} L_{38}	259 31.8	-25 31.7	162	0.6	Stab O-W	329,5	B. 19,68
		25.7	30.0	131	0.5			
398	R_3 L_{39} L_{38}	29.9	39.2	96	0.5	kleines Kreuz	331,6	B. 19,67a
		259 29.1	-25 33.6	130	0.5			
399	R_3 L_{39} L_{38}	259 29.3	-26 17.7	86	0.8	krummer	329,5	B. 19,68 Ch. Nr. 352
		31.0	19.6	80	0.7			
399	R_3 L_{39} L_{38}	27.4	10.4	67	0.7			
		259 29.2	-26 15.9	78	0.7			
399	R_3 L_{39} L_{38}	259 33.9	-19 49.7	38	0.6		329,5	
		33.2	54.0	55	0.4			
399	R_3 L_{39} L_{38}	259 33.6	-19 51.9	47	0.5	Ellipse mit Kern	329,5	
		259 40.0	-29 59.3	124	0.6			
399	R_3 L_{39} L_{38}	40.7	55.0	239	0.5		329,5	
		43.3	57.2		0.5			
399	R_3 L_{39} L_{38}	259 41.3	-29 57.2	181	0.5	Stab O-W	329,5	
		259 48.9	-23 47.5	5	1.6			
399	R_3 L_{39} L_{38}	53.3	47.0	10	1.5	Stab n. SO	329,5	
		54.3	49.2	15	1.1			
399	R_3 L_{39} L_{38}	259 52.2	-23 47.9	13	1.4	Ellipse mit Kern	329,5	
		259 56.7	-21 59.5	109	1.2			
399	R_3 L_{39} L_{38}	51.4	52.9	96	0.7			
		54.1	55.1	49	1.1			
399	R_3 L_{39} L_{38}	259 54.1	-21 55.8	85	1.0			
		259 54.9	-23 54.7	15	0.8			
399	R_3 L_{39} L_{38}	260 0.4	55.8	17	0.5			
		259 59.1	58.0	14	0.7			
399	R_3 L_{39} L_{38}	259 58.1	-23 56.2	15	0.7			

Nr.	Roß Lick	α_{1950}	δ_{1950}	Fläche	A_m	Form	l. b. gal.	Barnard Chawtasi
400	R ₃	260° 11'.3	-24° 0'.7	18	0.6	Δ N-S	329°,5°	B. 19, 71
	L ₃₈	10.0	0.2	19	0.5			
	L ₃₉	8.8	2.3	19	0.9			
401	R ₁	260 10.0	-24 1.1	19	0.7	S-förmig	330,5	B. 18, 72
	L ₃₈	10.6	-23 31.1	116	1.2			
	L ₃₉	12.1	32.1	134	0.8			
402	R ₃	260 8.6	32.7	78	1.1	lg. NS	333,7	
	L ₃₉	10.4	-23 32.0	109	1.0			
	R ₃	260 10.6	-19 59.7	54	0.6			
403	L ₃₉	10.3	-20 0.8	63	0.5	Stab N-S	330,5	
	R ₃	260 10.5	-20 0.2	58	0.6			
	L ₃₉	9.9	-22 54.7	61	0.3			
404	R ₁	260 12.4	54.4	107	0.4	ell. N-S	330,4	B. 18, 73
	L ₃₈	11.2	-22 54.5	84	0.4			
	L ₃₉	10.0	-24 14.3	268	0.8			
405	R ₁	260 12.3	22.7	187	1.1	lg. n. SO	325,2	
	L ₃₈	13.3	18.8	78	1.1			
	R ₁	260 11.9	-24 18.6	178	1.0			
406	L ₃₈	17.0	-29 26.3	25	0.8	lg. N-S	325,1	
	R ₁	18.5	21.7	21	0.5			
	L ₃₈	17.8	-29 24.0	23	0.7			
407	R ₃	260 21.1	-29 42.6	31	0.8	ell. n. N	332,6	
	L ₃₉	19.2	39.2	19	0.5			
	R ₃	260 20.2	-29 40.9	25	0.7			
408	L ₃₈	23.8	-20 40.5	31	0.5	lg. O-W	325,1	
	R ₃	21.8	29.4	37	0.5			
	L ₃₉	22.8	-20 35.0	34	0.5			
409	R ₃	260 26.4	-29 40.5	43	1.2	lg. NS	328,4	B. 18, 260
	L ₃₉	24.1	36.2	57	0.8			
	R ₁	260 25.2	-29 38.3	50	1.0			
410	L ₃₈	27.0	-25 34.3	46	0.8	ell. NS	328,4	B. 20, 261 Ch. Nr. 356
	R ₁	27.2	30.7	73	0.7			
	L ₃₉	25.2	32.2	29	0.7			
411	R ₃	260 26.5	-25 32.4	49	0.7	Stab n. SO	331,5	B. 20, 261 Ch. Nr. 356
	L ₃₉	32.9	-22 59.3	69				
	R ₁	31.5	-23 1.0		0.8			
412	L ₃₈	32.4	2.9	53	0.7	ell. SW-NO	330,4	B. 19, 74
	R ₁	32.2	-23 1.1	61	0.8			
	L ₃₈	34.0	-24 4.3	92	1.2			
413	L ₃₉	34.1	8.5	96	0.8	schmales krummes Band	331,5	
	R ₁	32.3	7.9	33	1.1			
	L ₃₈	33.5	-24 6.9	74	1.0			
414	R ₃	260 38.2	-22 19.7	187	0.8	ell. O-W	323,0	
	L ₃₉	35.0	21.6	96	0.7			
	L ₃₈	46.3	12.3	138	0.5			
415	R ₁	260 39.8	-22 17.9	140	0.7			
	L ₃₈	50.4	-31 49.7	136	0.6			
	L ₄₆	52.1	47.3	124	0.5			
416	L ₄₆	51.3	52.3	226	0.7			
	R ₁	51.3	-31 49.8	162	0.6			

Nr.	Roß Lick	α_{1950}	δ_{1950}	Fläche	A_m	Form	l. b. gal.	Barnard Chawtasi
414	R_3 L_{39}	260° 52' 9	-20° 49' 7	35	0.5	rd.	332° 6°	
		54.4	42.7	40	1.1			
415	R_3 L_{39} L_{38}	260 53.7	-20 46.2	38	0.8	langes krummes Band	332,6	
		261 7.0	-21 4.1	199	0.6			
		260 59.1	11.3	100	0.7			
416	R_1 L_{38} L_{46}	260 59.8	8.8	157		ell. O-W	325,1	
		261 2.0	-21 8.1	152	0.7			
		261 2.9	-30 17.7	31	0.6			
		4.4	20.1	53	0.3			
417	R_1 L_{38} L_{39}	5.0	16.4	70	0.7	ov. N-S	329,3	
		261 4.1	-30 18.1	51	0.6			
		261 7.3	-25 5.7	80	0.8			
		10.7	3.5	78	0.7			
418	R_3 L_{39}	3.7	6.8	39	0.7	rd.	329,3	
		261 7.2	-25 5.3	66	0.7			
		261 12.3	-25 19.3	20	0.6			
		12.2	16.7	23	0.7			
419	R_1 L_{38}	261 12.3	-25 18.0	22	0.7	rd.	325,1	
		261 15.0	-29 44.3	20	0.8			
		16.5	38.4	23	0.5			
		261 15.8	-29 41.3	22	0.7			
420	R_1 L_{38} L_{46}	261 19.0	-32 17.3	304	0.6	nach S gekrümmter Bogen	323,0	
		13.5	15.5	267	0.7			
		22.5	21.0	204				
		261 18.3	-32 17.9	258	0.7			
421	R_6 L_{41} L_{42} L_{44}	261 17.7	-20 51.2	128	1.2	Sichel n. NW	333,5	B. 18, 266
		13.2	45.0	—	1.1			
		21.2	46.7	184	1.1			
		21.6	44.2	139	1.1			
422	R_3 L_{39}	261 18.7	-20 46.8	150	1.1	Igl. SO-NW	329,3	B. 18, 267
		261 24.8	-25 15.1	31	0.6			
		29.0	16.6	44	0.7			
		261 26.9	-25 15.8	38	0.7			
423	R_1 L_{38}	261 27.8	-29 45.6	17	0.8	kl. Ellipse NO	325,0	
		31.8	46.7	15	0.5			
424	R_6 L_{41} L_{42} L_{44}	261 29.8	-29 46.2	16	0.7	A	333,5	
		32.0	-21 4.4	20	0.8			
		29.4	4.6					
		32.4	6.4	22	0.7			
425	R_6 L_{41} L_{42} L_{44}	34.0	2.6	24	0.7	2 Flügel O-W	334,5	
		31.9	-21 4.5	22	0.7			
		52.2	-19 49.1	121	1.6			
		48.7	52.1	116	1.5			
426	R_3 L_{39}	47.9	49.9	246	1.1	rd.	335,6	
		54.3	44.8	124	1.5			
		50.8	-19 49.0	152	1.4			
		56.0	-18 48.7	18	0.6			
		54.2	48.0	23	0.7			
		55.1	-18 48.4	21	0.7			

Nr.	Roß Lick	α_{1950}	δ_{1950}	Fläche	A_m	Form	l. b. gal.	Barnard Chawtasi
427	R ₆	261°59'5	-21°27'1	143	0.5			
	L ₄₂	59.8	27.4	139	0.5			
	L ₄₄	262 1.0	28.2	131	0.7			
		262 0.1	-21 27.6	138	0.6	lgl. O-W	333,5°	
428	R ₆	262 5.7	-18 33.6	33	0.8			
	L ₄₁	1.9	31.7	52	0.7			
	L ₄₂	5.7	32.5	61	1.1			
	L ₄₄	6.5	29.7	46	0.7			
		262 4.9	-18 31.9	48	0.8	Bogen n. N	335,6	
429	R ₆	262 20.9	-19 40.0	196	2.0			
	L ₄₁	14.2	39.5	178	1.5			
	L ₄₂	21.9	39.0	200	1.5			
	L ₄₄	21.4	38.0	215	1.5			
		262 19.6	-19 39.1	197	1.6	Δ	335,6	
430	R ₁	262 18.0	-30 59.3	123	0.6			
	L ₄₆	24.7	53.3	108	0.7			
		262 20.3	-30 56.3	116	0.7	lgl. O-W	325,-1	
431	R ₁	262 22.6	-32 18.3	39	0.6			
	L ₄₆	24.4	16.7	51	0.5			
		262 23.5	-32 17.5	45	0.6	ell. O-W	324,-1	
432	R ₁	262 26.3	-33 8.7	74	0.7			
	L ₄₆	15.2	10.3	110	0.5			
		262 20.7	-33 9.5	92	0.6	ell. NS	323,-2	
433	R ₆	262 24.2	-22 19.8	15	0.8			
	L ₄₂	22.8	20.5	30	0.5			
	L ₄₄	24.2	16.5	16	0.7			
		262 23.7	-22 18.9	20	0.7	ell. NS	322,4	
434	R ₆	262 25.7	-22 6.1	9	0.8			
	L ₄₂	22.9	6.1	12	0.7			
	L ₄₄	26.2	3.3	11	1.1			
		262 24.9	-22 5.2	11	0.9	rd.	322,4	
435	R ₁	262 28.0	-32 29.7	46	0.6			
	L ₄₆	25.7	29.7	38	0.9			
		262 26.9	-32 29.7	42	0.8	ell. O-W	324,-1	
436	R ₃	262 27.9	-18 43.7	108	0.5			
	L ₃₉	26.1	45.6	168	0.7	lang schmal		
		262 27.0	-18 44.6	138	0.6	n. NW	335,6	
437	R ₆	262 27.2	-22 0.4	12	0.8			
	L ₄₂	27.2	0.6	14	0.5			
	L ₄₄	26.8	21 58.5	16	0.7			
		262 27.1	-21 59.8	14	0.6	rd.	322,4	
438	R ₆	262 27.4	-18 36.6	17	0.6			
	L ₄₁	29.7	35.5	16	0.5			
	L ₄₂	29.6	34.8	26	0.5			
	L ₄₄	29.4	32.2	17	0.7			
		262 29.0	-18 34.8	19	0.6	rd.	333,6	
439	R ₆	262 33.9	-22 59.3	48	0.8			
	L ₄₂	31.9	57.5	80	1.1			
	L ₄₄	32.0	56.1	74	1.1			
		262 32.6	-22 57.6	67	1.0	Sichel n. S	332,3	B. 20, 260

Nr.	Roß Lick	α_{1950}	δ_{1950}	Fläche	Δm	Form	l. b. gal.	Barnard Chawtasi
440	R ₁	262°33'0	-32°11'3	35	0.8			
	L ₄₆	33.2	7.5	41	0.7			
		262 33.1	-32 9.4	38	0.8	ell. NS	324°,-1°	
441	R ₁	262 28.0	-32 24.3	46	0.6			
	L ₄₆	38.8	26.1	18	0.9			
		262 33.4	-32 25.2	32	0.8	rd.	324,-2	
442	R ₃	262 30.4	-18 15.8	34	0.8			
	L ₃₉	32.5	17.0	60	0.5			
		262 31.5	-18 16.4	47	0.7			
443	R ₆	262 31.1	-18 18.7	68	0.8			
	L ₄₁	31.5	18.3	54	0.5			
	L ₄₂	33.4	16.8	65	0.5			
	L ₄₄	33.4	14.3	70	0.7			
		262 32.4	-18 17.0	64	0.6	Bogen n. S	336,6	
444	R ₆	262 36.5	-14 46.3	30	1.2			
	L ₄₁	36.9	44.9	56	0.7			
		262 36.7	-14 45.6	43	1.0		338,8	
445	R ₃	262 31.9	-19 35.7	46	0.3			
	L ₃₉	41.7	24.7	122	0.4	lang		
		262 36.8	-19 30.2	84	0.4	schmal NW	334,5	B. 19, 270
446	R ₆	262 46.9	-18 0.7	87	1.2			
	L ₄₁	48.6	-17 59.3	59	0.7			
	L ₄₂	50.0	58.1	46	0.7			
	L ₄₄	41.5	58.8	77	1.1			
		262 46.8	-17 59.2	67	0.9	Bogen n. NW	336,6	
447	R ₃	262 47.5	-17 58.5	38	0.6			
	L ₃₉	48.2	18 1.6	71	0.7			
		262 47.8	-18 0.0	55	0.7	Stab SO-NW	336,6	
448	R ₁	262 50.0	-31 27.3	100	0.6			
	L ₄₆	44.9	23.3	101	0.7			
		262 47.5	-31 25.5	101	0.7	ov. SO-NW	324,-1	
449	R ₆	262 47.8	-16 33.7	14	0.6			
	L ₄₁	49.2	32.2	11	0.4			
		262 48.5	-16 33.0	13	0.5	rd.	337,6	
450	R ₆	262 51.1	-16 27.9	14	0.6			
	L ₄₁	52.8	26.5	8	0.4			
		262 52.0	-16 27.2	11	0.5	rd.	337,7	
451	R ₆	262 54.5	-19 6.8	20	0.6			
	L ₄₁	56.0	9.2	17	0.5			
	L ₄₂	56.0	7.8	16	0.5			
	L ₄₄	54.4	7.1	14	0.7			
		262 55.3	-19 7.7	19	0.6	rd.	335,5	
452	R ₁	262 56.8	-32 22.1	46	0.7			
	L ₄₆	54.2	22.7	41	0.7			
		262 55.5	-32 22.4	44	0.7	ell. NS	324,-2	
453	R ₁	262 56.0	-32 0.3	28	0.8			
	L ₄₆	57.0	2.4	37	0.5			
		262 56.5	-32 1.4	33	0.7	rd.	324,-2	
454	R ₃	262 56.5	-20 57.9	15	.			
	L ₃₉	58.0	57.2	19	0.4			
		262 57.2	-20 57.5	17	0.4	rd.	334,4	

Nr.	Roß Lick	α_{1950}	δ_{1950}	Fläche	Δm	Form	l. b. gal.	Barnard Chawtasi
455	R ₆	262° 57' 9	-22° 6' 6	32	0.6			
	L ₄₂	58.6	4.3	38	0.5			
	L ₄₄	57.9	3.0	30	0.7			
		262 58.1	-22 4.6	33	0.6	ell. NS	333° 4°	
456	R ₆	262 59.5	-19 19.7	38	0.6			
	L ₄₁	263 0.9	22.4	24	0.5			
	L ₄₂	2.1	21.5	54	0.5			
	L ₄₄	262 59.0	19.6	46	0.7			
		263 0.4	-19 20.8	43	0.6	Δ N-S	333,4	
457	R ₆	262 57.4	-22 5.0	18	0.8			
	L ₄₄	263 5.1	-21 58.9	27	0.7			
		263 1.0	-22 2.0	22	0.8	rd.	333,3	
458	R ₃	263 3.9	-19 56.5	22	0.6			
	L ₃₉	1.6	-20 0.0	23	0.5			
		263 2.7	-19 58.2	23	0.6	rd.	335,4	
459	R ₃	263 2.3	-20 8.1	6	0.8			
	L ₃₉	4.4	13.2	19	0.4			
		263 3.3	-20 10.6	12	0.6	rd.	335,4	
460	R ₁	263 8.7	-32 0.0	43	0.8			
	L ₄₆	12.1	2.4	49	0.7			
	L ₄₉	4.7	1.4	—	0.4			
		263 8.5	-32 1.8	46	0.6	ell. NO-SW	324,-9	
461	R ₆	263 6.3	-19 7.9	75	0.8			
	L ₄₁	8.9	-19 10.1	96	0.5			
	L ₄₂	11.5	11.5	107	0.5			
	L ₄₄	9.8	9.1	92	0.5	Stäbchen SO-NW	335,5	
462	R ₃	263 9.1	-19 9.7	92	0.6			
	L ₃₉	11.8	-19 12.1	154	0.6			
		10.2	11.5	147	0.5	lang krumm n. NW	335,5	
463	R ₁	263 11.0	-19 11.8	151	0.6			
	L ₄₆	16.0	-33 25.3	21	0.7			
	L ₄₉	12.5	25.7	108	1.1			
		5.2	29.8	90	0.7	krummer Stab O-W	323,-3	
464	R ₆	263 11.2	-33 26.9	93	0.8			
	L ₄₁	14.0	-20 51.6	30	0.6			
	L ₄₂	13.6	52.0	30	0.7			
	L ₄₄	15.7	51.1	22	0.5			
		15.6	50.5	18	0.9			
		263 14.7	-20 51.3	25	0.9	ov. SO-NW	334,4	
465	R ₃	263 14.3	-20 50.6	18	0.5			
	L ₃₉	17.8	52.5	23	0.5			
		263 16.0	-20 51.6	21	0.5	rd.	334,4	
466	R ₃	263 16.3	-20 54.7	28	0.7			
	L ₃₉	17.8	57.6	27	0.5			
		263 17.3	-19 56.2	28	0.6	lg. l. n. NW	334,5	
467	R ₃	263 18.9	-19 25.7	54	0.6			
	L ₃₉	19.3	17.9	69	0.5			
		263 19.1	-19 21.9	61	0.6	rd.	335,5	
468	R ₃	263 11.5	-21 44.2	18	0.6			
	L ₄₄	27.1	38.7	14	0.7			
		263 19.3	-21 41.5	16	0.7	rd.	333,4	

Nr.	Roß Lick	α_{1950}	δ_{1950}	Fläche	A_m	Form	l. b. gal.	Barnard Chawtasi
469	R ₆	263°21'4	—20°32'8	18	0.6	rd.	336°5°	
	L ₄₁	19.4	35.5	16	0.5			
	L ₄₂	20.8	33.0	18	0.5			
	L ₄₄	21.5	32.5	18	0.9			
470	R ₆	263 20.8	—20 33.5	18	0.6	rd.	336°5°	
	L ₄₁	263 22.0	—20 23.0	38	0.8			
	L ₄₂	21.1	22.5	26	1.1			
	L ₄₄	21.6	23.1	28	0.5			
		23.4	18.8	34	0.9			
471	R ₃	263 22.0	—20 21.9	32	0.8	lgl. NNO	334,4	
	L ₃₉	263 24.9	—21 1.7	83	0.3			
	L ₄₄	24.2	5.7	59	—			
		37.0	54.5	95	0.5			
472	R ₃	263 28.7	—21 0.6	79	0.4	lgl. n. SO	334,4	
	L ₃₉	263 30.2	—21 1.6	54	0.6			
	L ₄₄	34.1	5.9	67	0.5			
		32.2	—21 3.8	60	0.6			
473	R ₃	263 31.6	—23 15.2	100	0.6	Knie n. SW	333,3	
	L ₃₉	33.4	17.1	164	0.5			
	L ₄₄	31.7	14.2	138	0.7			
		32.2	—23 15.5	134	0.6			
474	R ₆	263 33.3	—23 37.2	60	0.8	Halbkreis n. O	332,3	B. 272 Ch. Nr. 378
	L ₄₂	32.8	37.6	64	1.1			
	L ₄₄	31.2	36.8	74	1.1			
		32.4	—23 37.2	63	1.0			
475	R ₃	263 36.3	—21 53.1	58	0.6	Stäbchen O-W	331,2	Ch. Nr. 378
	L ₃₉	29.3	56.1	72	0.7			
	L ₄₄	33.2	48.7	57	1.0			
		32.9	—21 52.6	62	0.8			
476	R ₆	263 37.0	—16 36.8	18	0.6	Knie n. S	333,3	
	L ₄₁	36.2	37.8	16	0.5			
		36.6	—16 37.3	17	0.6			
477	R ₃	263 38.6	—19 21.4	72	0.6	ell. SW-NO	337,6	
	L ₃₉	37.6	11.0	61	0.7			
		38.1	—19 16.2	66	0.7			
478	R ₆	263 38.1	—19 37.2	83	1.2	Knie n. SO	335,5	
	L ₄₁	40.2	32.8	39	1.1			
	L ₄₂	42.5	38.2	43	1.1			
	L ₄₄	40.8	35.9	54	1.1			
		40.4	—19 36.0	55	1.1			
479	R ₃	263 44.1	—22 38.1	54	0.6	Stäbchen SO-NW	335,4	
	L ₃₉	41.9	37.4	82	0.7			
	L ₄₄	44.6	36.0	47	0.5			
		43.5	—22 37.2	61	0.6			
480	R ₁	263 40.6	—34 39.3	77	1.2	Stab n. S	332,3	
	L ₄₆	52.8	37.1	53	0.7			
	L ₄₉	38.3	36.3	86	0.7			
		44.9	—34 37.6	72	0.9			
481	R ₁	263 46.0	—33 15.3	212	0.6	Stab NO-SW	323,3	
	L ₄₆	45.5	14.7	—	0.7			
	L ₄₉	43.4	15.1	310	0.7			
		45.0	—33 15.0	261	0.7			
						S-Form N-S	324,3	B. 18, 273

Nr.	Roß Lick	α_{1950}	δ_{1950}	Fläche	Δm	Form	l. b. gal.	Barnard Chawtasi
482	R ₆	263°47'4	-23°17'8	30	1.2	rd.	332°2°	
	L ₄₂	42.9	17.7	30	1.1			
	L ₄₄	45.4	18.2	30	0.7			
483	R ₆	263 45.2	-23 17.9	30	1.0	Stäbchen N-S	332,3	B. 20, 274
	L ₄₂	263 46.2	-22 39.0	48	1.2			
	L ₄₄	44.0	37.3	34	1.1			
484	R ₆	263 45.7	38.3	34	0.7	Stäbchen O-W	333,3	
	L ₄₂	263 49.7	-22 38.2	39	1.0			
	L ₄₄	46.0	21.8	59	0.5			
485	R ₇	263 45.3	23.1	58	0.7	Knie gekr. n. S	334,3	B. 20, 80
	L ₄₈	263 47.0	-22 23.0	52	0.7			
	L ₄₈	47.8	20.0	49	0.7			
486	R ₃	263 51.5	-23 46.3	11	0.8	Stäbchen gekr. n. O.	332,2	
	L ₃₉	54.2	47.4	14	1.1			
	L ₄₄	48.0	46.5	9	0.7			
487	R ₆	263 50.8	-23 46.7	11	0.9	Δ O-W	337,6	
	L ₄₁	51.7	-16 37.1	17	0.8			
	L ₄₁	50.3	36.1	23	0.7			
488	R ₆	263 51.0	-16 36.6	20	0.8	Knie n. SW	334,3	
	L ₄₂	51.7	-21 11.2	17	1.2			
	L ₄₄	51.3	12.3	33	0.7			
489	R ₇	263 52.1	15.5	30	0.7	rd.	334,3	
	L ₄₈	51.7	-21 11.7	27	0.9			
	L ₄₈	56.3	15.0	18	0.5			
490	R ₆	263 53.9	-21 11.0	16	0.6	Igl. N-S	334,3	
	L ₄₂	55.2	-23 44.9	17	0.6			
	L ₄₄	53.6	43.4	18	0.7			
491	R ₇	263 54.9	46.6	20	0.9	Winkel n. W	331,2	
	R ₇	263 54.8	-23 45.0	18	0.7			
	R ₇	55.0	-24 21.0	27	0.6			
492	R ₃	263 56.8	-24 7.2	18	0.6	unrglm.	331,2	
	L ₃₉	58.8	9.2	25	1.1			
	L ₄₄	49.3	13.3	27	0.7			
493	R ₃	263 55.0	-24 9.9	33	0.8	S-förmig N-S	331,2	B. 20, 83 Ch. Nr. 382
	R ₃	263 54.9	-21 45.9	37	0.3			
	L ₃₉	59.6	46.8	42	0.5			
494	R ₆	263 57.3	-21 46.3	40	0.4	Igl. O-W	333,3	
	L ₄₁	264 0.1	-18 25.9	38	0.6			
	L ₄₂	263 56.8	25.5	29	0.7			
495	R ₆	264 2.7	25.3	30	0.5	ell. N-S	336,5	
	L ₄₂	263 59.8	25.3	34	0.4			
	L ₄₄	263 59.9	-18 25.5	33	0.6			
495	R ₆	264 1.4	-24 6.6	30	0.8	Sichel n. W	331,2	B. 20, 83
	L ₄₂	263 58.6	9.0	30	0.7			
	L ₄₄	59.7	7.7	38	1.1			
		263 59.9	-24 7.7	39	0.9			

Nr.	Röß Lick	α_{1950}	δ_{1950}	Fläche	Δm	Form	l. b. gal.	Barnard Chawtasi
496	R_3 L_{39}	264° 0'.9 1.6	-21° 35'.7 35.7	20 19	0.3 0.5	rd.	334° 3°	
		264 1.2	-21 35.7	20	0.4			
497	R_7 L_{48}	263 57.5 264 5.0	-21 20.0 13.0	13 20	0.6 0.5	lg. SO-NW	334.3	
		264 1.3	-21 16.0	16	0.6			
498	L_{41} R_6 L_{42} L_{44}	264 5.6 1.3 1.9 0.0	-19 9.0 7.9 6.6 4.3	24 18 30 12	1.6 0.9 1.0 1.1	rd. ell. SO-NW	336.4 331.2	
		264 2.2	-19 6.9	21	1.1			
		264 2.5	-24 37.0	42	—			
		264 6.4 3.6	-21 18.7 20.3	18 19	0.3 0.7			
		264 5.0	-21 19.5	19	0.5			
501	R_6 L_{42} L_{44}	264 4.7 5.9 6.7	-21 15.7 19.8 18.4	27 28 20	0.6 0.4 0.7	rd.	334.3	
		264 5.8	-21 18.0	25	0.6			
		264 6.3 9.8	-16 52.0 51.0	42 46	0.7 0.5			
502	R_7 L_{48}	264 8.0	-16 52.0	44	0.6	A N-S ell. SO-NW	334.3 338.6	
		264 10.6 5.9 9.8	-24 21.5 23.6 23.2	90 54 100	0.6 0.7 0.7			
		264 8.8	-24 22.8	81	0.7			
504	R_6 L_{42} L_{44}	264 14.1 13.1 11.6	-23 51.2 51.7 52.8	18 38 28	0.6 0.7 1.1	unrglm. O-W Stäbchen SO-NW	331.2 332.2	
		264 12.9	-23 51.9	28	0.8			
		264 11.8 16.6 17.7 15.0	-16 59.5 52.3 57.5 50.0	38 34 — 42	0.6 0.7 1.1 0.7			
505	R_6 L_{41} L_{42} L_{44}	264 15.3	-16 54.8	38	0.8	Sichel n. SO	337.6	
		264 18.2 15.7 17.8	-33 57.8 -34 7.5 -33 52.2	72 58 102	0.6 0.4 0.7			
		264 17.2	-33 59.2	77	0.6			
507	R_3 L_{39}	264 15.9 18.8	-21 32.4 33.9	20 23	0.8 0.5	ell. N-S	323,-4	
		264 17.3	-21 33.2	22	0.7			
508	R_7 L_{48}	264 16.0 20.0	-17 8.0 6.0	26	0.6 0.4	rd.	334.4	B. 14, 97
		264 18.0	-17 7.0	26	0.5			
509	R_6 L_{42} L_{44}	264 21.4 14.7 20.0	-24 45.9 49.2 49.1	219 300 199	16 11 15	A langer Bogen n. SO	338.5 331.1	
		264 18.7	-24 48.1	239	14			

Nr.	Roß Lick	α_{1950}	δ_{1950}	Fläche	Δm	Form	I. b. gal.	Barnard Chawtasi
510	R ₃	264°19'0	-22° 4'2	57	0.5			
	L ₃₉	18.7	6.2	29	0.7			
	L ₄₄	22.4	2.7	32	0.5			
		264 20.0	-22 4.4	39	0.6	Knie n. N	333°2°	
511	R ₇	264 20.5	-20 30.0	18	0.6			
	L ₄₈	21.0	25.0	28	0.7			
		264 20.8	-20 27.0	23	0.7	oval n. S	335,3	
512	R ₇	264 27.3	-20 44.0	22	0.6			
	L ₄₈	15.3	40.0	31	0.5			
		264 21.3	-20 42.0	26	0.6	rd.	334,3	
513	R ₇	264 21.0	-21 58.0	45	1.2			
	L ₄₈	23.0	53.0	49				
		264 22.0	-21 56.0	47	1.2	oval OW	333,3	
514	R ₇	264 20.3	-21 48.0	90	0.8			
	L ₄₈	24.3	46.0	74	1.1			
		264 22.3	-21 47.0	82	1.0	oval OW	333,3	
515	R ₇	264 22.5	-24 31.0	30	0.7	lgl. N-S	333,1	
516	R ₃	264 20.4	-21 24.7	18	0.6			
	L ₃₉	22.4	26.5	39	0.5			
	L ₄₄	26.5	20.2	19	0.7			
		264 23.1	-21 23.8	26	0.6	Bogen n. S	333,2	
517	R ₆	264 24.9	-24 16.1	57	1.2			
	L ₄₂	21.9	17.7	46	0.8			
	L ₄₄	25.8	17.8	36	0.7	ell.		
		264 24.2	-24 17.2	46	0.9	SO-NW	332,1	
518	R ₃	264 23.9	-22 58.7	69	0.8			
	L ₃₉	29.2	-23 2.7	46	0.7			
	L ₄₄	21.9	-23 2.9	54	1.1			
		264 25.0	-23 1.4	56	0.9	Stab O-W	333,2	B. 18, 277
519	R ₇	264 23.8	-20 15.0	27	0.6			
	L ₄₈	27.3	14.0	28	0.5			
		264 25.6	-20 14.0	27	0.6	lgl. SW-NO	335,3	
520	R ₆	264 29.5	-23 2.5	54	1.2			
	L ₄₂	23.8	3.6	61	1.1			
	L ₄₄	25.2	0.7	46	1.1			
		264 26.2	-23 2.3	54	1.1	Stab O-W	333,2	
521	R ₃	264 26.9	-21 45.7	66	0.6			
	L ₃₉	27.5	46.2	108	0.7			
	L ₄₄	25.8	45.2	95	0.5			
		264 26.7	-21 45.7	90	0.6	Knie n. W	333,2	
522	R ₇	264 23.5	-17 16	45	0.6			
	L ₄₈	30.3	14	27	0.5			
		264 26.9	-17 15	36	0.6	lgl. NS	338,5	
523	R ₆	264 28.7	-21 22.2	83	0.6			
	R ₄₂	27.1	23.8	85	0.5			
	R ₄₄	24.8	22.4	77	0.7			
		264 26.9	-21 22.8	82	0.6	Sichel n. SO	334,3	
524	R ₃	264 32.3	-18 46.5	28	0.6			
	L ₃₉	30.2	41.8	21	0.5			
		264 31.2	-18 44.2	25	0.6	oval O-W	336,4	

Nr.	Roß Lick	α_{1950}	δ_{1950}	Fläche	A_m	Form	I. b. gal.	Barnard Chawtasi
525	R ₆	264°33'4	-23°13'4	14	0.8	rd.	333°2°	
	L ₄₂	31.4	14.5	9	0.4			
	L ₄₄	33.2	13.8	12	0.5			
526	R ₇	264 32.7	-23 13.9	12	0.6	rd.	333,3	
		264 31.3	-21 46.0	18	0.8			
	L ₄₈	36.0	41.0	22	1.1			
527	R ₆	264 33.7	-21 43.5	20	1.0	rd.	338,5	
		264 32.9	-17 5.6	33	0.5			
		35.0	5.1	27	0.7			
		36.0	6.8	—	0.5			
		31.5	5.0	37	0.5			
528	R ₇	264 33.8	-17 5.6	32	0.6	ell. SO-NW	337,5	
		264 31.3	-17 33.0	60	0.6			
	L ₄₈	36.3	29.0	41	0.4			
529	R ₃	264 33.8	-17 31.0	50	0.5	rd.	334,3	
		264 33.9	-20 29.7	20	0.6			
	L ₃₉	35.0	35.7	23	0.4			
530	R ₃	264 34.5	-20 32.7	22	0.5	rd.	333,3	
		264 28.9	-21 34.7	18	0.7			
		36.6	37.2	21	0.7			
		39.5	32.4	14	0.7			
		264 35.0	-21 34.8	18	0.7			
531	R ₃	264 34.9	-22 1.7	26	0.6	Stäbchen O-W	333,2	
		35.0	-22 3.5	21	1.1			
		35.3	-21 59.4	24	0.6			
		264 35.1	-22 1.5	24	0.8			
532	R ₆	264 40.0	-23 17.6	9	0.6	ell. SW-NO	338,4	
		37.8	17.3	16	0.5			
		39.3	17.3	12	0.7			
		264 39.0	-23 17.4	12	0.6			
533	R ₆	264 37.5	-17 21.2	18	0.6	unrglm.	337,5	
		40.9	22.1	20	0.7			
		42.2	20.9	—	0.5			
		42.3	20.8	38	0.4			
		264 40.7	-17 21.2	25	0.6			
534	R ₇	264 39.0	-17 40.0	41	0.6	rd.	336,4	Ch. Nr. 390
		45.5	39.0	42	0.4			
		264 42.3	-17 40.0	42	0.5			
535	R ₆	264 41.3	-19 23.6	98	1.2	lgl. SO-NW	335,3	
		41.4	24.7	71	0.7			
		46.7	25.9	50	0.7			
		43.2	25.4	92	0.7			
		264 43.2	-19 24.9	78	0.8			
536	R ₃	264 45.1	-17 30.9	161	0.6	rd.	332,1	
		43.7	31.3	149	0.7			
		264 44.4	-17 31.1	155	0.7			
537	R ₇	264 44.5	-19 50.0	5		rd.	334,3	
		264 45.3	-24 28.0	16	0.7			
538	R ₇	264 44.9	-21 7.7	104	0.5	groß. Knie n. S	334,3	
		47.5	10.6	79	0.5			
		54.7	5.8	—	0.7			
		264 49.0	-21 8.0	91	0.6			

Nr.	Roß Lick	α_{1950}	δ_{1950}	Fläche	Δm	Form	l. b. gal.	Barnard Chawtasi
540	R ₆	264°48'3	-34°22'6	122	0.6			
	L ₄₆	51.1	22.4	70	0.4			
	L ₄₉	48.1	22.7	84	0.7			
541	R ₆	264 49.2	-34 22.6	93	0.6	kl. Knie n. S	323°4°	
	L ₄₂	264 51.2	-24 13.4	9	0.6			
	L ₄₄	46.8	15.2	17	0.5			
	L ₄₄	49.9	16.2	18	0.7			
542	R ₆	264 49.3	-24 14.9	15	0.6	Δ	332,1	
	L ₄₁	264 49.0	-17 30.2	57	1.2			
	L ₄₂	49.0	31.6	37	0.7			
	L ₄₄	49.9	28.8	—	0.7			
	L ₄₄	49.3	30.4	54	1.1			
543	R ₇	264 49.3	-17 30.2	49	0.9	unregelm. SW-NO	337,4	
	R ₄₈	264 49.8	-21 27.0	26	0.6			
		59.5	20.0	29	0.4			
544	R ₆	264 54.7	-21 24.0	27	0.5	rund	334,2	
	L ₄₂	264 59.9	-21 41.3	14	0.8			
	L ₄₄	56.4	43.3	12	0.7			
	L ₄₄	56.1	44.3	17	1.1			
545	R ₃	264 56.1	-21 43.0	14	0.9	Stäbchen SW-NO	334,2	
	L ₃₉	263 53.9	-21 12.7	45	0.3			
	L ₄₄	54.1	14.0	31	0.5			
	L ₄₄	2.8	5.4	35	0.4			
546	R ₁	264 56.9	-21 10.7	37	0.4	Knie n. S	334,2	
	L ₄₆	264 53.0	-34 45.3	220	0.7			
	L ₄₉	265 2.5	48.4	134	0.5			
	L ₄₉	264 58.0	47.2	92	0.7	krummer		
547	R ₁	264 57.8	-34 47.0	149	0.6	Stab O-W	323,-5	
	L ₄₆	264 56.1	-37 26.7	157	0.6			
	L ₄₆	265 1.3	24.7	296	0.7			
548	R ₃	264 58.7	-37 25.7	227	0.7	Stab SW-NO	320,-6	
	L ₃₉	264 58.3	-21 41.6	49	0.5			
	L ₄₄	264 57.8	43.2	27	0.7			
	L ₄₄	0.5	41.0	47	0.5			
549	R ₆	264 58.9	-21 41.9	41	0.6	Knie n. NW	334,2	
	L ₄₂	265 0.8	-21 46.0	15	0.8			
	L ₄₄	1.1	46.9	13	0.5			
	L ₄₄	6.4	46.2	16	0.5			
550	R ₆	265 2.8	-21 46.4	15	0.6	ell. N-S	334,2	
	L ₄₂	265 2.7	-21 39.6	9	1.6			
	L ₄₂	5.4	39.1	11	0.8			
	L ₄₄	1.9	40.6	16	1.5			
551	R ₇	265 3.3	-21 39.8	12	1.3	rd.	334,2	
	L ₄₂	265 3.5	-24 35.0	20	—	lg. SO-NW	331,1	
552	R ₁	265 6.0	-32 32.3	214	0.6			
	L ₄₆	2.8	-33 45.1	219	0.4			
	L ₄₉	3.6	-33 39.6	181	0.7			
553	R ₆	265 4.1	-33 39.0	203	0.6	langer Stab N-S	324,4	
	L ₄₂	265 5.3	-22 11.2	69	1.2			
	L ₄₂	5.4	11.1	46	0.7			
	L ₄₄	6.3	12.4	50	1.1			
	L ₄₄	5.7	-22 11.6	55	1.0	oval O-W	333,2	

Nr.	Roß Lick	α_{1950}	δ_{1950}	Fläche	Δm	Form	l. b. gal.	Barnard Chawtasi	
554	R ₇	265° 5'5	-17° 34'0	379	0.6	Δ N-S	337°,4°		
	L ₄₈	8.5	33.0	288	0.5				
555	R ₁	265 7.0	-17 34.0	334	0.6	ell. N-S	322,-5		
	L ₄₆	9.8	-35 15.3	15	0.8				
	L ₄₉	6.8	23.8	26	0.7				
556	R ₃	265 9.7	22.8	23	1.1	krummer Stab O-W	335,3		
		265 8.8	-35 20.6	21	0.9				
		265 5.9	-20 24.9	46	0.8				
557	R ₃	265 9.5	24.4	128	0.5	Δ n. N	338,4		
		165 11.8	16.0	—	—				
		265 9.1	20 21.8	87	0.7				
558	R ₃	165 10.2	-17 27.4	31	0.8	lg. l. SW	334,2		
		11.0	28.6	33	0.7				
		265 10.6	-17 28.0	32	0.8				
559	R ₆	265 15.9	-21 7.7	32	0.6	Δ N-S	337,4		
		265 8.5	12.3	71	0.5				
		265 12.2	-21 10.0	51	0.6				
560	R ₆	265 13.2	-17 25.6	39	1.1	ell. N-S	332,1		
		L ₄₁	13.0	26.5	0.7				
		L ₄₂	14.7	26.0	0.7				
561	R ₆	L ₄₄	12.2	24.8	0.7	Δ N-S	336,3		
		265 13.3	-17 25.7	36	0.8				
		265 14.5	-23 34.0	14	0.8				
562	R ₇	L ₄₂	14.2	36.0	0.4	ell. O-W	337,4		
		L ₄₄	14.2	34.8	0.7				
		265 14.3	-23 34.9	16	0.6				
563	R ₈	R ₆	265 15.9	-19 15.2	30	1.1	unrglm.	333,1	
		L ₄₁	15.8	14.7	43	0.7			
		L ₄₂	17.6	14.9	46	0.7			
564	R ₈	L ₄₄	16.1	16.0	37	0.7	rd.	336,3	
		265 16.3	-19 15.2	39	0.8				
		265 17.0	-17 46.0	20	0.6				
565	R ₈	L ₄₈	18.5	46.0	24	0.5	sternförmig	335,3	
		265 17.8	-17 46.0	22	0.6				
		R ₆	265 23.7	-23 25.3	35	0.6			
566	R ₆	L ₄₄	12.2	28.5	20	0.7	Bogen gekr. n. N.	336,3	
		265 18.0	-23 26.9	27	0.7				
		265 17.5	-19 43.7	48	0.8				
567	R ₈	L ₄₁	18.2	44.6	27	0.7	ell. N-S	333,1	
		L ₄₂	19.0	43.9	61	0.7			
		L ₄₄	18.0	44.3	54	0.5			
568	R ₈	265 18.2	-19 44.1	48	0.7	ell. N-S	336,3		
		265 16.9	-19 44.7	98	0.5				
		L ₄₈	19.7	44.4	77	0.4			
569	R ₆	265 18.3	-19 44.5	87	0.5	ell. N-S	335,3		
		265 25.0	-23 25.3	15	0.6				
		L ₄₂	23.7	25.9	17	0.7			
570	R ₆	L ₄₄	25.2	26.3	17	1.1	ell. N-S	333,1	
		265 24.5	-23 25.8	16	0.8				

Nr.	Roß Lick	α_{1950}	δ_{1950}	Fläche	Δm	Form	l. b. gal.	Barnard Chawtasi
567	R ₆	205°27'.3	-19°42'.3	23	0.8	ell. N-S	335°3°	Ch. Nr. 394
	L ₄₁	28.2	43.4	16	0.5			
	L ₄₂	27.6	42.3	18	0.5			
	L ₄₄	27.4	45.2	18	0.5			
568	R ₁	265 27.6	-19 43.3	19	0.6	Stab SW-NO	320,-7	Ch. Nr. 394
	L ₄₆	265 28.3	-38 0.3	130	0.6			
		27.0	-37 58.0	164	0.5			
569	R ₆	265 27.6	-37 59.2	147	0.6	rd.	336,3	Ch. Nr. 394
	L ₄₁	265 29.9	-19 26.5	15	0.4			
	L ₄₂	27.7	27.4	20	0.7			
	L ₄₃	26.9	27.5	17	0.5			
	L ₄₄	27.5	28.0	16	0.5			
570	R ₆	265 28.0	-19 27.4	17	0.5	ell. SW-NO	336,3	Ch. Nr. 394
	L ₄₁	265 31.4	-19 34.3	15	0.6			
	L ₄₂	27.8	33.7	17	0.7			
	L ₄₃	27.5	34.3	14	0.5			
	L ₄₄	29.5	34.1	18	0.4			
571	R ₃	265 29.0	-19 34.1	16	0.6	rd.	333,1	Ch. Nr. 394
	L ₄₄	265 34.8	-23 14.0	15	0.6			
		24.2	19.2	14	0.7			
572	R ₁	265 29.5	-23 16.6	15	0.7	ell. SW-NO	320,-7	Ch. Nr. 394
	L ₄₆	265 31.0	-38 16.3	38	0.7			
		29.4	12.8	42	0.7			
573	R ₁	265 30.2	-38 14.5	40	0.7	S-förm. N-S	324,-5	Ch. Nr. 394
	L ₄₆	265 35.0	-33 54.3	71	0.2			
	L ₄₉	34.0	58.0	66	0.4			
		28.5	55.3	158	0.4			
574	R ₆	265 32.5	-33 55.9	98	0.3	ell. N-S	332,1	Ch. Nr. 394
	L ₄₂	265 34.0	-23 39.1	14	0.5			
	L ₄₃	31.5	38.6	14	0.4			
	L ₄₄	32.7	43.1	12	0.5			
575	R ₃	265 32.7	-23 40.3	13	0.5	rd.	332,1	Ch. Nr. 394
	L ₄₄	265 40.9	-23 37.3	31	0.6			
		25.2	46.4	14	0.7			
576	R ₁	265 33.0	-23 41.8	22	0.7	A N-S	332,1	Ch. Nr. 394
	L ₄₆	265 36.2	-38 42.6	71	0.7			
		34.1	38.7	49	0.7			
577	L ₄₂	265 35.2	-38 40.6	60	0.7	Knie n. SO	319,-7	Ch. Nr. 394
	R ₆	265 35.6	-20 2.0	30	—			
		34.8	-19 59.7	8	1.6			
	L ₄₁	36.6	-20 0.7	14	1.5			
	L ₄₄	35.0	-19 59.8	18	1.1			
578	R ₆	265 35.5	-20 0.6	25	1.4	rd.	336,3	Ch. Nr. 394
	L ₄₁	265 35.9	-19 43.6	17	0.6			
	L ₄₂	36.1	43.4	13	0.5			
	L ₄₃	36.1	41.5	16	0.5			
	L ₄₄	34.2	42.9	18	0.4			
579	R ₆	265 35.8	-19 42.8	16	0.5	ell. O-W	336,3	Ch. Nr. 394
	L ₄₁	265 36.7	-23 14.0	17	0.6			
	L ₄₂	36.4	12.8	18	0.5			
	L ₄₃	37.0	9.5	18	0.7			
		265 36.7	-23 12.1	18	0.6			

Nr.	Roß Lick	α_{1950}	δ_{1950}	Fläche	Δm	Form	l. b. gal.	Barnard Chawtasi
580	R ₁ L ₄₆	265°42'0 31.7	-38°24'3 22.0	40 33	0.6 0.7			
581	R ₃ L ₃₉	265 36.8 265 35.2 40.2	-38 23.2 -21 50.4 49.5	36 54 71	0.7 0.6 0.7	ell. SW-NO	320°,-7°	
582	R ₃ L ₄₄	265 37.7 265 44.1 31.9	-21 50.0 -23 23.9 33.1	62 15 14	0.7 0.6 0.7	Halbmond NS	334,2	
583	R ₇	265 38.0 265 39.0	--23 28.5 --23 51.0	15	0.7 —	rd.	333,1 332,1	
584	R ₁ L ₄₆	265 41.0 38.6	-36 7.3 9.9	123 188	— 0.4			
585	R ₆ L ₄₂ L ₄₄	265 39.8 265 42.6 42.2 41.8	-36 8.6 -23 39.2 38.5 39.2	156	0.4	Knie n. S	322,-6	
586	R ₁ L ₄₆ L ₄₉	265 42.2 265 43.1 43.0 43.1	-23 39.0 -34 41.6 40.7 36.0	15 61 34 78	0.6 0.7 0.7 0.7	lg. SW-NO	332,1	
587	R ₁ L ₄₆ L ₄₉	265 43.1 265 44.0 41.7 43.6	--34 39.4 -34 27.3 27.7 24.8	58	0.7	lg. SO-NW	323,-5	
588	R ₆ L ₄₁ L ₄₂ L ₄₄	265 42.6 44.5 44.8 43.5	-19 55.5 55.8 56.0 55.7	38 14 30 18	1.6 1.1 1.0 1.1	rd.	322,-5	
589	R ₁ L ₄₆ L ₄₉	265 43.8 265 45.0 47.3 39.6	-19 55.8 -34 19.3 14.7 14.1	25	1.2	ell. N-S	336,3	
590	R ₇	265 44.0 265 44.0	-34 16.0 -23 42.0	42 9	0.5 —	ell. SW-NO	324,-5 332,0	
591	R ₁ L ₄₆ L ₄₉	265 42.4 43.1 49.2	-35 34.1 30.9 33.4	48 25 82	0.6 0.7 0.7			
592	R ₁ L ₄₆	265 44.9 265 45.8 45.6	--35 32.8 -37 3.1 2.1	52 154 148	0.7 0.6 0.7	Sichel n. W	322,-5	
593	R ₆ L ₄₂ L ₄₄	265 45.7 265 45.0 45.6 48.3	-37 2.6 -23 17.5 16.3 17.4	151	0.7	Knie n. N	321,-6	
594	R ₇ L ₄₈	265 46.3 265 50.0 46.8	--23 17.1 -21 9.0 9.0	14 20 20	0.7 0.6 0.7	rd.	333,1	
		265 48.4	--21 9.0	20	0.7	oval O-W	335,2	

Nr.	Roß Lick	α_{1950}	δ_{1950}	Fläche	Δm	Form	l. b. gal.	Barnard Chawtasi
595	R ₇ L ₄₈	265°47'3 53.5	-17°14'0 13.0	68 84	0.6 0.4	Δ	338°,4°	
		265 50.4	-17 14.0	76	0.5			
596	R ₆ L ₄₁ L ₄₂ L ₄₄	266 0.4 265 51.4 265 47.0 265 50.6	-19 17.2 13.8 10.0 15.0	1266 1570 998 1047	0.6 1.1 0.7 0.7	S-förmig N-S	337,3	
		265 52.3	-19 14.0	1220	0.8			
		265 57.9 53.9 56.8	-23 45.0 45.5 46.5	30 23 20	0.6 0.7 1.1			
		265 56.2	-23 45.7	24	0.8	ell. SW-NO	332,0	B. 21, 281
		265 57.2 56.6 59.2 54.8	-17 47.7 47.8 45.6 47.9	121 123 107 123	0.6 0.4 0.4 0.5			
598	R ₆ L ₄₁ L ₄₂ L ₄₄	265 58.9	-17 47.2	118	0.5	krumme Gabel	338,3	
		265 59.0 59.4	-36 47.3 47.0	20 33	1.2 0.9			
		265 59.2	-36 47.2	26	1.1			
		266 0.2 265 59.0 59.2	-35 26.3 25.3 24.6	46 24 40	— 0.7 1.1			
600	R ₁ L ₄₆ L ₄₉	265 59.5	-35 25.4	37	0.9	Knie n. O	321,-6	
		266 0.0 266 1.3 265 58.5	-35 40.3 47.6 42.9	48 46 39	— 0.8 1.0			
		265 59.9	-35 43.6	45	0.9			
		266 2.9 265 57.0	-36 28.6 24.8	77 82	0.6 0.5			
601	R ₁ L ₄₆ L ₄₉	266 0.0	-36 26.7	79	0.6	Stab N-S	323,-6	
		266 4.0 3.8	-21 10.0 6.0	20 20	0.3 0.5			
		266 3.9	-21 8.0	20	0.4			
		266 7.0 3.1 5.9	-34 24.3 27.4 24.7	64 57 74	0.5 0.5 0.5			
602	R ₁ L ₄₆	266 5.3	-34 25.5	65	0.5	oval O-W	322,-6	
		266 6.7 4.9 6.9	-33 47.0 46.5 44.8	142 144 162	0.3 0.4 0.7			
		266 6.2	-33 46.1	149	0.5			
		266 23.0 3.8	-33 27.8 43.9	100 68	0.6 0.4			
603	R ₇ L ₄₈	266 13.4	-33 35.8	84	0.5	schmale ell. NS	322,-6	
		266 16.9 13.8 17.3	-23 11.3 11.8 14.0	15 8 9	0.5 0.7 0.7			
		266 16.0	-23 12.4	11	0.6			
		rd.						
604	R ₁ L ₄₆ L ₄₉	266 13.4	-33 35.8	84	0.5	herzförmig O-W	323,-5	
		266 16.9 13.8 17.3	-23 11.3 11.8 14.0	15 8 9	0.5 0.7 0.7			
		266 16.0	-23 12.4	11	0.6			
		rd.						
605	R ₁ L ₄₆ L ₄₉	266 13.4	-33 35.8	84	0.5	z Δ über- einander	324,-5	
		266 16.9 13.8 17.3	-23 11.3 11.8 14.0	15 8 9	0.5 0.7 0.7			
		266 16.0	-23 12.4	11	0.6			
		rd.						
606	R ₃ L ₄₄	266 13.4	-33 35.8	84	0.5	herzförmig O-W	324,-5	
		266 16.9 13.8 17.3	-23 11.3 11.8 14.0	15 8 9	0.5 0.7 0.7			
		266 16.0	-23 12.4	11	0.6			
		rd.						
607	R ₆ L ₄₂ L ₄₄	266 13.4	-33 35.8	84	0.5	z Δ über- einander	324,-5	
		266 16.9 13.8 17.3	-23 11.3 11.8 14.0	15 8 9	0.5 0.7 0.7			
		266 16.0	-23 12.4	11	0.6			
		rd.						

Nr.	Roß Lick	α_{1950}	δ_{1950}	Fläche	Δm	Form	l. b. gal.	Barnard Chawtasi
608	R ₁	266°19'.0	-36°49'.3	31	0.8			
	L ₄₆	20.2	48.6	20	1.1			
		266 19.6	-36 49.0	26	1.0	rd.	321°,-6°	
609	R ₁	266 22.0	-33 22.3	28	0.8			
	L ₄₆	22.6	24.0	26	0.7			
	L ₄₉	23.1	13.8	29	0.9			
		266 22.6	-33 20.0	28	0.8	rd.	325,-5	
610	R ₆	266 22.2	-17 40.0	32	0.5			
	L ₄₁	23.2	40.1	47	0.4			
	L ₄₂	24.8	40.7	46	0.4			
	L ₄₄	21.9	41.0	28	0.4			
		266 23.0	-17 40.4	38	0.4	A	338.3	
611	R ₆	266 23.8	-23 27.2	30	0.8			
	L ₄₂	24.8	26.6	77	0.5			
	L ₄₄	25.2	28.8	46	0.4			
		266 24.6	-23 27.5	51	0.6	Stab SW-NO	333,0	B. 18, 282
612	R ₁	266 31.0	-35 28.3	148	0.6			
	L ₄₆	28.5	24.8	99	0.4	krummer		
	L ₄₉	26.0	29.0	110	0.7	Stab N-S	323,-6	
		266 28.5	-35 27.4	119	0.6			
613	R ₁	266 29.0	-36 10.3	20	1.2			
	L ₄₆	29.0	9.8	20	0.8			
		266 29.0	-36 10.0	20	1.0	ell. SO-NW	322,-6	
614	R ₁	266 26.0	-33 26.3	18	1.2			
	L ₄₆	31.5	23.8	20	0.7			
	L ₄₉	32.7	15.8	19	0.7			
		266 30.1	-33 22.0	19	0.9	ell. N-S	324,-5	
615	R ₁	266 40.0	-36 5.6	28	1.2			
	L ₄₆	38.1	7.6	18	0.7			
		266 39.0	-36 6.6	23	1.0	rd.	322,-6	
616	R ₁	266 40.0	-34 44.3	62	0.3			
	L ₄₆	34.7	43.8	62	0.5			
	L ₄₉	43.2	45.1	51	0.7			
		266 39.3	-34 44.4	58	0.5	S-förmig N-S	323,-6	
617	R ₁	266 42.1	-32 45.7	73	1.2			
	L ₄₆	42.0	46.5	74	0.7			
	L ₄₉	40.2	46.3	59	0.7			
		266 41.4	-32 46.2	69	0.9	Knie n. NO	325,-5	
618	R ₁	266 40.0	-34 12.3	86	0.5			
	L ₄₆	43.3	14.0	86	0.7			
	L ₄₉	44.2	11.8	72	0.9			
		266 42.5	-34 12.7	81	0.7	ell. SO-NW	324,-5	
619	R ₁	266 40.0	-36 35.3	48	0.8			
	L ₄₆	47.7	33.4	21	0.7			
		266 43.8	-36 34.4	35	0.8	Igl. SO-NW	321,-7	
620	R ₆	266 50.5	-19 59.0	97	0.7			
	L ₄₁	49.6	-20 0.2	96	0.6			
	L ₄₂	49.2	-19 59.2	73	0.4			
	L ₄₄	49.7	-19 54.8	100	0.7			
		266 49.8	-19 58.3	82	0.6	rd.	336,2	

Nr.	Roß Lick	α_{1950}	δ_{1950}	Fläche	Δm	Form	l. b. gal.	Barnard Chawtasi
621	R ₁	266° 53' 9	-38° 7' 2	84	0.6	oval NO	320°,-8°	
	L ₄₉	52.5	7.3	73	0.7			
622	R ₆	266 53.2	-38 7.3	78	0.7	oval O-W	337.4	
	L ₄₁	55.3	-18 38.6	57	0.8			
	L ₄₂	56.1	38.1	52	0.5			
	L ₄₃	53.8	37.7	33	0.4			
	L ₄₄	55.5	38.2	62	0.7			
623	R ₁	266 54.9	-18 38.2	51	0.6	Knie n. O	329,-3	
	L ₄₉	56.8	-29 23.6	77	0.5			
		56.9	20.1		0.7			
624	R ₁	266 56.8	-29 21.8	77	0.6	ell. n. SO	327,-3	
	L ₄₉	57.0	-29 46.3	68	0.6			
		58.4	47.2	56	0.5			
625	R ₆	266 57.7	-29 46.8	62	0.6	Stab O-W	338,2	
	L ₄₁	57.3	-18 3.3	75	0.6			
	L ₄₂	0.3	3.9	54	0.4			
	L ₄₃	58.9	2.7	92	0.5			
	L ₄₄	56.6	2.8	58	0.9			
626	R ₆	266 58.3	-18 3.2	70	0.6	rd.	337,2	
	L ₄₁	52.5	41	1.2				
	L ₄₂	59.6	53.2	20	0.7			
	L ₄₃	1.1	54.0	43	0.7			
	L ₄₄	0.1	53.1	33	0.7			
627	R ₆	267 0.7	-18 53.2	34	0.8	Knie offen n. N	337,2	
	L ₄₁	3.2	-19 41.0	53	0.6			
	L ₄₂	0.7	37.0	41	0.5			
	L ₄₃	3.9	39.0	46	0.4			
	L ₄₄	59.0	40.5	45	0.5			
628	R ₁	267 1.7	-19 39.4	46	0.5	ell. SW-NO	324,-6	
	L ₄₆	1.7	-34 44.0	31	0.2			
	L ₄₉	3.5	45.1	33	0.4			
			40.0	45	0.4			
			267 2.3	39	0.3			
629	R ₁	267 8.6	-34 43.0	39	0.3	Igl. O-W	323,-7	
	L ₄₆	5.6	-36 10.5	88	0.3			
			10.7	45	0.7			
630	R ₆	267 7.1	-36 10.6	67	0.5	Stab N-S anschließend an Nr. 628	338,3	
	L ₄₁	6.0	-17 56.5	45	0.6			
	L ₄₂	8.5	56.6	64	0.4			
	L ₄₃	10.6	55.1	46	0.5			
	L ₄₄	8.3	55.3	62	0.9			
631	R ₁	267 8.3	-17 55.9	54	0.6	rd.	328,-4	
	L ₄₆	7.6	-29 59.2	38	0.5			
	L ₄₉	11.7	59.1	41	0.5			
		6.5	1.3	24	0.3			
632	R ₁	267 8.6	-29 59.8	35	0.4	Knie n. S	329,-3	
	L ₄₆	9.6	-27 58.2	49	0.6			
	L ₄₉	9.5	58.3	56	0.7			
		267 9.5	-27 58.2	52	0.7			

Nr.	Roß Lick	α_{1950}	δ_{1950}	Fläche	A_m	Form	l. b. gal.	Barnard Chawtasi
633	R ₆	267°10'3	-18°35'.1	45	0.8	oval O-W	338°2°	
	L ₄₁	11.0	35.2	37	0.5			
	L ₄₂	10.9	—	33	0.7			
	L ₄₄	9.0	35.8	38	0.9			
634	R ₆	267 10.3	-18 35.4	38	0.7	rd.	339,3	
		267 17.6	-16 47.4	18	0.8			
		20.0	48.9	11	0.5			
635	R ₁	267 18.8	-16 48.1	15	0.7	lgl. O-W	324,-6	
		267 18.0	-34 11.3	83	0.6			
		19.0	13.2	95	0.4			
		19.8	14.4	70	0.7			
636	R ₁	267 19.9	-34 13.0	83	0.6	Stab SO-NW	324,-6	
		267 21.3	-33 55.6	128	0.6			
		16.5	57.2	128	0.5			
		24.6	-34 1.5	89	0.7			
637	R ₄	267 20.8	-33 58.1	115	0.6	A	325,-5	
		267 22.3	-32 50.0	16	0.7			
		20.3	54.0	10	0.5			
638	R ₁	267 21.3	-32 52.0	13	0.6	lgl. SW-NO	323,-7	
		267 24.0	-36 26.3	110	0.3			
		24.2	25.1	49	0.7			
639	R ₁	267 24.1	-36 25.7	80	0.5	lgl. SW-NO	326,-5	
		267 21.0	-32 12.3	123	0.8			
		27.3	10.3	184	0.7			
		27.1	10.1	101	0.5			
640	R ₁	267 25.1	-32 10.9	136	0.7	Knie n. SW	324,-6	
		267 27.0	-34 54.3	77	0.2			
		26.7	54.0	99	0.4			
		23.4	51.5	47	0.7			
641	R ₁	267 25.7	-34 53.3	74	0.4	Stäbchen SO-NW	323,-7	
		267 27.1	-35 35.7	46	0.3			
		25.4	34.9	71	0.3			
642	R ₄	267 26.3	-35 35.3	59	0.3	lgl. NS	325,-6	
		267 30.3	-32 24.0	20	0.6			
		26.3	30.0	16	0.7			
643	R ₄	267 28.3	-32 27.0	18	0.7	rd.	325,-5	
		267 29.0	-32 36.0	13	0.7			
		28.3	40.0	14	0.5			
644	R ₄	267 28.7	-32 38.0	14	0.6	lgl. NS	325,-6	
		267 29.8	-32 42.0	13	0.6			
		28.3	48.0	14	0.7			
645	R ₄	267 29.0	-32 45.0	14	0.7	ell. SW-NO	324,-6	
		267 34.0	-34 42.0	22	0.6			
		29.0	48.0	14	0.7			
646	R ₁	267 31.5	-34 45.0	18	0.7	oval O-W	327,-5	
		267 36.0	-31 5.3	61	0.8			
		32.3	5.3	77	1.1			
		28.5	6.8	70	0.7			
		267 32.3	-31 5.8	69	0.9			

Nr.	Roß Lick	α_{1950}	δ_{1950}	Fläche	Δm	Form	l. b. gal.	Barnard Chawtasi
647	R ₄	267°37'.5	-34°51'0	37	1.2	Δ	324°,-6°	
	L ₄₉	30.8	62.0	44	0.7			
648	R ₁	267 34.2	-34 56.0	41	1.0	Rechteck SW-NO	324,-6	
	L ₄₆	267 37.8	-34 40.4	31	0.3			
649	L ₄₉	37.6	38.8	33	0.4	krummes Band O-W	327,-5	
	L ₄₉	34.9	38.8	37	0.5			
650	R ₁	267 36.8	-34 39.3	34	0.4	unrglm. lgl. SO-NW	323,-7	
	L ₄₆	267 37.8	-31 21.1	85	0.3			
651	L ₄₉	39.5	27.5	115	0.7	Stab SW-NO	327,-4	
	L ₄₉	36.9	20.0	93	0.5			
652	R ₁	267 38.1	-31 22.9	98	0.5	Knie n. SO	325,-6	
	L ₄₆	267 43.8	-35 11.0	43	1.2			
653	L ₄₉	39.5	15.0	35	0.7	Stab SO-NW	323,-7	
	R ₁	267 41.7	-35 13.0	39	1.0			
654	L ₄₆	267 43.0	-30 38.3	92	0.3	oval N-S	322,-7	
	L ₄₉	45.1	37.2	137	0.5			
655	L ₄₉	42.0	39.0	141	0.4	Stäbchen SO-NW	326,-5	
	R ₁	267 43.4	-30 38.2	123	0.4			
656	R ₁	267 43.0	-33 20.3			oval NS	324,-7	
	L ₄₆	46.6	18.6	151	0.3			
657	L ₄₉	45.6	15.6	85	0.7	krummer Stab O-W	323,-7	
	R ₁	267 45.1	-33 18.2	118	0.5			
658	R ₁	267 48.0	-35 9.3	104	0.5	Stab O-W	323,-7	
	L ₄₆	42.9	8.4	74	0.5			
659	L ₄₉	45.5	8.6	29	0.7	lgl. O-W	324,-7	
	R ₄	267 45.5	-35 8.8	69	0.6			
660	R ₁	267 49.5	-36 40.2	62	0.6	schmaler Bogen SO-NW	330,3	
	L ₄₆	49.8	33.8	39	0.7			
661	R ₄	267 49.6	-36 37.0	51	0.7	oval NS	324,-7	
	L ₄₉	50.5	42.0	25	0.8			
662	R ₄	267 52.5	-32 42.0	33	0.8	Stäbchen SO-NW	326,-5	
	L ₄₉	59.8	32	13	0.6			
663	R ₄	267 59.8	-35 28	28	0.7	oval NS	324,-7	
	L ₄₉	53.0	15					
664	R ₁	267 56.4	-35 30	14	0.7	krummer Stab O-W	323,-7	
	L ₄₆	58.4	28.6	70	0.2			
665	L ₄₉	57.0	28.5	25	0.5	Stab O-W	323,-7	
	R ₁	267 56.4	29.3	70	0.7			
666	R ₁	267 57.3	-35 28.8	55	0.5	oval NS	324,-7	
	L ₄₆	58.0	48	48	0.6			
667	L ₄₉	58.6	58.7	38	0.5	Stab O-W	323,-7	
	R ₁	267 56.9	57.7	48	0.7			
668	R ₁	267 57.3	-34 57.9	45	0.6	lgl. O-W	324,-7	
	L ₄₆	59.0	45.0	83	0.6			
669	L ₄₉	58.6	22.0	105	0.7	schmaler Bogen SO-NW	330,3	
	R ₄	268 1.5	-28 15.0	83	0.6			
670	L ₄₉	1.8	22.0	105	0.7	oval NS	324,-7	
	R ₁	268 1.7	-28 18.0	94	0.7			
671	R ₆	267 59.9	-17 43.4	23	0.6	oval NS	324,-7	
	L ₄₁	268 2.7	47.0	41	0.5			
672	L ₄₂	3.7	46.5	44	0.5	oval NS	324,-7	
	L ₄₄	1.4	47.7	30	0.5			
673	R ₁	268 1.9	-17 46.2	34	0.5	rd.	329,2	
	R ₆							

Nr.	Roß Lick	α_{1950}	δ_{1950}	Fläche	Δm	Form	l. b. gal.	Barnard Chawtasi
661	R ₁	268° 3'0	-32°35'8	77	0.6			
	L ₄₆	2.9	38.7	115	0.5			
	L ₄₉	3.8	36.7	167	0.7			
		268 3.2	-32 37.1	120	0.6		326°,-6°	
662	R ₆	268 5.9	-18 8.1	14	0.6			
	L ₄₁	3.2	0.0	49	0.5			
	L ₄₂	4.4	1.1	37	0.5			
	L ₄₄	1.9	4.8	30	0.9			
		268 3.8	-18 3.5	32	0.6	lgl. SW-NO		
663	R ₁	268 4.0	-35 53.3	105	0.3			
	L ₄₆	6.9	-34 54.2	66	0.7		323,-7	
		268 5.5	-35 53.7	86	0.5			
664	R ₄	268 8.8	-32 41.0	124	0.7	Bogen lgl.		
	L ₄₉	2.8	40.0	84	0.5	SO-NW	325,-6	
		268 5.8	-32 40.0	104	0.6			
665	R ₁	268 8.0	-36 18.3	126	0.5			
	L ₄₆	5.4	18.6	132	0.4			
		268 6.7	-36 18.5	129	0.5		323,-7	
666	R ₁	268 9.0	-35 7.8	114	0.3			
	L ₄₆	9.9	7.7	127	0.5			
	L ₄₉	12.6	5.3	44	0.7			
		268 10.5	-35 6.9	95	0.5		324,-7	
667	R ₆	268 10.0	-18 13.1	35	0.6			
	L ₄₁	11.7	15.7	26	0.7			
	L ₄₂	12.1	15.5	34	1.1			
	L ₄₄	10.0	16.4	28	0.7			
		268 10.9	-18 15.2	31	0.8	rd.	339,1	
668	R ₄	268 12.5	-28 34.0	11	1.2			
	L ₄₉	12.0	38.0	7	1.1			
		268 12.3	-28 36.0	9	1.2	kantig	329,-4	
669	R ₆	268 14.3	-17 37.6	27	0.6			
	L ₄₁	15.0	36.1	29	0.5			
	L ₄₂	15.0	40.8	46	0.7			
	L ₄₄	10.9	43.4	30	0.7			
		268 13.8	-17 39.5	33	0.6	lgl. O-W	339,2	
670	R ₄	268 18.0	-29 0.0	193	0.6			
	L ₄₉	14.0	3.0	207	0.4			
		268 16.0	-29 2.0	200	0.5	oval NS	329,-4	Ch. Nr. 422
671	R ₃	268 17.2	-29 2.3	223	0.3			
	L ₄₉	17.7	0.7	258	0.7			
		268 17.5	-29 1.5	240	0.5		329,-4	
672	R ₆	268 17.6	-18 16.6	21	0.6			
	L ₄₁	18.1	19.9	29	0.7			
	L ₄₂	19.9	19.0	46	0.7			
	L ₄₄	17.9	21.5	33	0.5			
		268 18.4	-18 19.3	32	0.6	ell. SO-NW	339,1	
673	R ₁	268 23.0	-36 53.3	35	0.8			
	L ₄₆	20.5	51.5	20	0.7			
		268 21.8	-36 52.4	27	0.8		322,-8	

Nr.	Roß Lick	α_{1950}	δ_{1950}	Fläche	A_m	Form	l, b, gal.	Barnard Chawtasi
674	R ₁ L ₄₆	268°27'0 20.9	-37°10'3 8.0	46 37	0.8 0.7			B. 18, 288
		268 22.5	-37 9.2	42	0.8		322°-8°	
675	R ₁ L ₄₆	268 27.2 25.4	-36 8.0 3.0	64 31	0.5 0.5			
		268 26.3	-36 5.5	48	0.5		323,-8	
676	R ₃ L ₄₉	268 27.9 27.9	-29 41.7 40.0	15 20	0.3 0.5			
		268 27.9	-29 40.8	17	0.4		328,-5	
677	R ₃ L ₄₆ L ₄₉	268 26.7 27.4 29.8	-29 55.4 54.4 54.9	25 25 24	0.5 0.9 0.5			
		268 28.0	-29 54.9	25	0.6		328,-5	Ch. Nr. 428
678	R ₄ L ₄₉	268 31.0 30.3	-29 23.0 27.0	63 46	0.6 0.4	unrglm. 3 Spitzen		
		268 30.7	-29 25.0	55	0.5		329,-4	
679	R ₃ L ₄₉	268 31.9 32.3	-29 21.7 21.5	74 77	0.3 0.5			
		268 32.1	-29 21.6	75	0.4		329,-4	
680	R ₃ L ₄₉	268 30.9 34.3	-29 33.7 32.6	12 15	0.7 0.5			
		268 32.6	-29 33.1	14	0.6		328,-4	
681	R ₄ L ₄₉	268 34.8 30.5	-31 25.0 34.0	16 17	0.7 0.7			
		268 32.7	-31 30.0	17	0.7	unrglm. 2 Kerne	327,-5	
682	R ₇ L ₄₈	268 32.8 36.5	-17 54.0 52.0	21 28	0.6 0.4			B. 84a Ch. Nr. 430
		268 34.7	-17 53.0	25	0.5			
683	R ₃ L ₄₆ L ₄₉	268 32.6 34.3 38.2	-30 12.3 9.0 8.1	43 51 41	0.2 0.7 0.5	lgl. NS	339,1	
		268 35.0	-30 9.7	45	0.5		328,-5	
684	R ₆ L ₄₁ L ₄₂ L ₄₄	268 34.9 36.0 35.9 34.9	-18 30.2 33.9 30.3 31.9	29 29 33 25	0.8 0.5 0.5 0.7			
		268 35.4	-18 31.6	29	0.6	ell. SO-NW	338,0	
685	R ₄ L ₄₉	268 38.0 35.0	-29 3.0 4.0	27 24	0.6 0.4	unrglm.		
		268 36.5	-29 4.0	26	0.5	lgl. OW	329,-4	
686	R ₄ L ₄₉	268 38.0 36.0	-31 20.0 24.0	13 12	0.6 0.7			
		268 37.0	-31 22.0	13	0.7	lgl. NS	327,-5	
687	R ₃ L ₄₉	268 36.4 38.8	-29 2.6 0.9	25 28	0.2 0.5			
		268 37.6	-29 1.7	27	0.4		329,-4	
688	R ₃ L ₄₆ L ₄₉	268 34.9 35.6 38.3	-29 53.7 48.6 51.3	14 12 11	0.2 0.7 0.5			
		268 38.3	-29 51.2	12	0.5		328,-5	

Nr.	Roß Lick	α_{1950}	δ_{1950}	Fläche	A_m	Form	l. b. gal.	Barnard Chawtasi
689	R ₄	268°46'0	-31°22'0	13	0.7	Rhombus m. 2 Kernen	327°-5°	
	L ₄₉	36.5	25.0	12	0.7			
690	R ₃	268 41.3	-31 24.0	13	0.7		330,-4	
	L ₄₉	39.5	-28 28.8	38	0.2			
691	R ₆	268 43.3	29.4	37	0.5		330,-4	
	L ₄₁	41.4	-28 29.1	38	0.4			
692	R ₆	268 42.4	-17 45.2	437	1.6		338,1	Ch. Nr. 432
	L ₄₁	42.0	49.0	314	1.1			
693	R ₄	268 42.0	40.9	230	1.5		330,-4	
	L ₄₂	40.9	43.6	616	0.9			
694	R ₆	268 44.0	—				325,-7	
	L ₄₄	44.0	—					
695	R ₄	268 42.3	-17 45.9	419	1.3		325,-7	
	L ₄₉	51.3	-28 3.0	13	0.3			
696	R ₄	268 53.0	8.0	15	0.7		325,-7	
	L ₄₉	52.2	-28 5.0	14	0.5			
697	R ₄	268 55.0	-27 48.0	29	0.5		325,-7	
	L ₄₉	54.5	55.0	14	—			
698	R ₃	268 54.8	-27 52.0	22	0.5		325,-7	
	L ₄₆	58.9	-33 18.7	112	0.3			
699	R ₃	268 54.8	21.2	160	0.7		325,-7	
	L ₄₉	56.1	18.2	133	—			
700	R ₄	268 56.6	-33 19.4	135	0.5		325,-7	
	L ₄₉	1.0	-33 24.0	27	1.2			
701	R ₄	268 52.3	31.0	25	1.5		325,-7	
	L ₄₉	56.7	-33 28.0	26	1.4			
702	R ₄	268 56.5	-28 6.0	16	0.6		325,-7	
	L ₄₉	57.0	11.0	13	0.7			
703	R ₄	268 56.8	-28 8.0	15	0.7		325,-7	
	L ₄₉	58.3	-29 35.0	48	0.6			
704	R ₄	268 56.8	37.0	43	0.4		325,-7	
	L ₄₉	57.6	-29 36.0	46	0.5			
705	R ₃	268 57.9	-29 33.7	31	0.5		325,-7	
	L ₄₉	1.9	30.9	44	0.4			
706	R ₄	268 59.9	-29 32.3	37	0.5		325,-7	
	L ₄₉	4.8	-33 54.0	17	0.7			
707	R ₄	268 56.3	-34 1.0	25	0.5		325,-7	
	L ₄₉	0.6	-33 58.0	21	0.6			
708	R ₄	269 4.0	-34 4.0	15	0.6		325,-7	
	L ₄₉	57.8	10.0	13	0.7			
709	R ₃	269 1.0	-34 7.0	14	0.7		325,-7	
	L ₄₆	2.5	-33 53.9	28	0.3			
710	R ₄	269 0.5	54.3	31	0.7		325,-7	
	L ₄₉	2.5	51.7	24	0.7			
711	R ₇	269 1.8	-33 53.3	28	0.6		325,-7	
	L ₄₈	2.5	-16 48.0	30	0.6			
712	R ₃	269 5.8	48.0	34	0.4		325,-7	
	L ₄₉	7.4	26.1	65	0.5			
713	R ₃	269 6.5	-32 28.0	43	0.6		326,-6	
	L ₄₉	6.4	—					
714	R ₃	269 5.8	30.5	28	0.7		326,-6	
	L ₄₉	7.4	26.1	65	0.5			
715	R ₃	269 6.5	-32 28.0	43	0.6		326,-6	
	L ₄₉	6.4	—					

Nr.	Roß Lick	α_{1950}	δ_{1950}	Fläche	A_m	Form	l. b. gal.	Barnard Chawtasi
704	R ₃ L ₄₉	269° 6'.9 12.5	-29° 33'.7 31.0	17 15	0.2 0.5			
705	R ₃ L ₄₆ L ₄₉	269 9.7 8.4 11.5	-29 32.3 31.9 27.6	16 32 24	0.4 0.6 0.9		329°-5°	
706	R ₄ L ₄₉	269 15.0 5.8	-33 22.0 28.0	19 25	0.7 1.1		326,-7	
707	R ₄ L ₄₉	269 10.4 18.0 12.8	-33 25.0 18.0 22.0	22 16 15	1.0 0.6 0.7	ell. OW lgl. OW Globule im Zentr.	326,-7 324,-8	
708	R ₄ L ₄₉	269 15.4 18.3 12.8	-35 20.0 28.0 35.0	16 19 13	0.7 0.6 0.7			
709	R ₃ L ₄₉	269 14.9 16.8	-29 24.3 23.6	11 35	0.3 0.4		324,-8	
710	R ₆ L ₄₂ L ₄₄	269 15.8 21.0 19.0 20.8	-29 24.0 18.3 18.7 20.7	23 33 34 34	0.4 0.7 0.7		329,-5	
711	R ₄ L ₄₉	269 24.0 17.0	-33 43.0 47.0	72 69	0.6 0.4		340,1	
712	R ₄ L ₄₉	269 20.5 20.0 23.5	-33 45.0 38.0 46.0	71 15 13	0.5 0.7 0.6	stumpfer Winkel n. NW	325,-7	
713	R ₄ L ₄₉	269 21.8 25.0 20.8	-31 42.0 52.0 57.0	14 19 19	0.7 0.7 0.7		327,-6	
714	R ₄ L ₄₉	269 22.9 24.8 22.0	-32 55.0 23.0 26.0	19 22 20	0.7 0.8 0.7	ell. SW-NO	326,-7	
715	R ₄ L ₄₉	269 23.4 27.3 23.0	-31 24.0 33.0 36.0	21 13 12	0.8 0.6 0.5		328,-6	
716	R ₄ L ₄₉	269 25.2 28.0 23.0	-31 34.0 2.0 6.0	13 27 32	0.6 0.6 1.1	rd. m. Kern	327,-6	
717	R ₃ L ₄₆ L ₄₉	269 25.5 24.9 26.5 27.1	-33 4.0 52.7 53.8 50.4	29 55 75 28	0.9 0.5 0.7 —	Stäbchen SW-NO	326,-7	
718	R ₄ L ₄₉	269 26.2 31.0 34.5	-32 52.3 54.0 60.0	53 49 76	0.6 0.6 0.5		326,-7	
		269 32.8	-26 57.0	63	0.6	Sichel SW-NO	331,-4	

Nr.	Roß Lick	α_{1950}	δ_{1950}	Fläche	A_m	Form	l. b. gal.	Barnard Chawtasi
719	R ₄ L ₄₉	269°36'0	-31°29'0	17	0.6	lg. SW-NO	327°,-6°	
		32.3	34.0	15	0.5			
720	R ₄ L ₄₉	269 34.2	-31 32.0	16	0.6	Stäbchen SW-NO	326,-6	
		269 36.3	-32 34.0	32	0.6			
721	R ₄ L ₄₉	269 32.0	40.0	35	1.1	lg. OW	326,-7	
		269 34.2	-32 36.0	34	0.9			
722	R ₄ L ₄₉	269 37.3	-33 5.0	20	0.6	oval NS	324,-8	
		31.5	10.0	13	1.1			
723	R ₃ L ₄₉	269 34.4	-33 8.0	17	0.9	lg. OW	330,-5	B. 294
		269 38.3	-35 25.0	66	0.1			
724	R ₃ L ₄₆ L ₄₉	30.5	34.0	44	0.5	krummer	326,-7	
		269 34.4	-35 30.0	55	0.3			
725	R ₆ L ₄₂ L ₄₄	269 35.6	-28 34.3	6	1.2	Stab NW-SO	340,1	
		33.8	35.1	8	0.7			
726	R ₆ L ₄₄	269 34.7	-28 34.7	7	1.0	lg. SO-NW	340,1	
		269 33.6	-32 34.7	74	0.5			
727	R ₃ L ₄₉	36.5	35.0	75	0.7	rd.	329,-5	
		35.9	33.8	47	0.7			
728	R ₄ L ₄₉	269 35.3	-32 34.5	66	0.6	unrglm.	326,-7	
		269 37.7	-17 13.7	26	0.5			
729	R ₄ L ₄₉	39.8	16.2	23	0.5	lg. NS	324,-8	
		34.1	19.0	24				
730	R ₆ L ₄₄	269 37.2	-17 16.3	24	0.5	lg. SO-NW	340,1	
		269 37.6	-16 48.9	24	0.6			
731	R ₄ L ₄₉	38.7	53.7	28	0.7	unrglm.	331,-4	
		269 38.1	-16 51.3	26	0.7			
732	R ₄ L ₄₉	269 38.1	-29 22.3	25	0.6	lg. NS	326,-7	
		40.2	21.8	25	0.4			
733	R ₄ L ₄₉	269 39.2	-29 22.0	25	0.5	unrglm.	326,-7	
		269 44.5	-33 26.0	16	0.6			
734	R ₄ L ₄₉	34.8	30.0	13	0.7	A n. N	331,-5	
		269 49.2	-33 28.0	15	0.7			
735	R ₄ L ₄₉	46.8	13.0	20	0.3	m. Globule	325,-8	
		35.5	16.0	15	0.4			
736	R ₆ L ₄₄	269 41.2	-35 15.0	18	0.4	schmales A NS	326,-7	
		269 43.2	-16 58.1	36	0.6			
737	R ₄ L ₄₉	42.9	-17 3.0	30	0.7	unrglm.	326,-7	
		269 43.0	-17 0.6	33	0.7			
738	R ₄ L ₄₉	269 41.3	-27 23.0	13	0.6	unrglm.	326,-7	
		46.8	30.0	16	0.4			
739	R ₄ L ₄₉	269 44.0	-27 26.0	15	0.5	A n. N	325,-8	
		269 51.0	-33 30.0	16	0.6			
740	R ₄ L ₄₉	45.5	33.0	15	0.5	m. Globule	326,-7	
		269 48.2	-33 32.0	16	0.6			
741	R ₄ L ₄₉	53.8	-27 54.0	19	1.5	schmales A NS	326,-7	
		54.5	58.0	15	0.9			
742	R ₄ L ₄₉	269 54.2	-27 56.0	17	1.2	unrglm.	326,-7	
		270 9.5	-35 7.0	22	0.3			
743	R ₄ L ₄₉	48.5	7.0	15	0.7	unrglm.	326,-7	
		269 59.0	-35 7.0	19	0.5			

Nr.	Roß Lick	α_{1950}	δ_{1950}	Fläche	Δm	Form	l. b. gal.	Barnard Chawtasi
735	R ₄ L ₄₉	270° 0'.5 0.3	-27° 24'.0 30.0	13 13	0.6 0.4			
736	R ₇ L ₄₈	270 0.4 1.5 1.8	-27 27.0 -17 2.0 0.0	13 173 128	0.5 0.6 0.4	Δ	331°,-5°	
737	R ₄ L ₄₉	270 1.7 10.5 5.3	-17 1.0 -32 34.0 40.0	150 83 82	0.5 0.7 0.7	ell. SO-NW unrglm. lg. OW	340,1 327,-7	
738	R ₄ L ₄₉	270 7.9 24.0 4.3	-32 37.0 -35 1.0 1.0	83 16 13	0.7 0.3 0.4	lg. NS	325,-8	
739	R ₄ L ₄₉	270 14.2 23.3 22.8	-35 1.0 -30 46.0 52.0	15 22 20	0.4 0.6 0.4			
740	R ₄ L ₄₉	270 23.0 27.3 21.3	-30 49.0 -30 9.0 14.0	21 22 20	0.5 0.6 0.5	Δ	328,-6	
741	R ₄ L ₄₉	270 24.3 26.5 26.5	-30 12.0 -28 26.0 34.0	21 34 44	0.6 0.2 0.3	rd.	329,-6	B. 18, 298
742	R ₄ L ₄₉	270 26.5 28.3 27.5	-28 30.0 -30 50.0 58.0	39 21 19	0.3 0.6 0.5	Stäbchen SO-NW	330,-5	
743	R ₄ L ₄₉	270 27.9 35.8 34.0	-30 54.0 -30 47.0 54.0	20 19 17	0.6 0.6 0.5	rd.	328,-7	
744	R ₄ L ₄₉ L ₅₆	270 34.9 40.3 36.5 37.3	-30 50.0 -26 45.0 49 47	18 13 12 19	0.6 0.8 0.3 1.1	Δ	328,-7	
745	R ₄ L ₄₉	270 38.0 39.5 36.8	-26 47 -30 54 -31 1	15 40 36	0.7 0.6 0.5	Igl. SO m. Kern	332,-5	
746	R ₄ L ₄₉ L ₅₆	270 38.2 42 40.8 39.8	-30 58.0 -27 16 21 17	38 13 13 14	0.6 0.6 0.5 0.7	Igl. SO-NW	328,-7	
747	R ₇ L ₄₈	270 40.9 45.3 44.8	-27 18 -16 45 47	13 62 70	0.6 0.6 0.5	3 Zacken	332,-5	
748	R ₄ L ₄₉ L ₅₆	270 45.0 48.5 46.0 44.0	-16 46 -27 24.0 29.0 25.0	66 6 1.1 —	0.6 0.6 1.1 —	Sichel N-S	341,0	
749	R ₄ L ₄₉	270 46.2 49.5 49.3 49.4	-27 26.0 -32 43 46 -32 44	6 311 148 230	0.9 0.6 0.7 0.7	Igl. n. SW unrglm. 3. Flügel	332,-5 327,-8	B. 18, 300

Nr.	Roß Lick	α_{1950}	δ_{1950}	Fläche	Δm	Form	I. b. gal.	Barnard Chawtasi
750	R ₄	270°56'8	-30°32'	24	0.6			
	L ₄₉	50.0	41	22	0.4			
		270 53.4	-30 36	23	0.5	Δ NS	329°-7°	
751	R ₄	270 54.5	-29 25	49	0.1			
	L ₄₉	53.8	31	44	0.3	Stäbchen		
		270 54.2	-29 28	46	0.2	SW-NO	330,-6	Ch. Nr. 448
752	R ₄	270 55.5	-26 32	20	0.7			
	L ₄₉	55.5	30	21	0.7			
	L ₅₆	53.3	26	28	1.1			
		270 54.8	-26 29	23	0.8	Δ n. NO	332,-5	
753	R ₄	270 55.0	-24 37	17	0.8			
	L ₅₆	54.8	37	27	0.7			
		270 54.9	-24 37	22	0.8	rd.	334,-4	
754	R ₄	271 2.3	-27 52	10	0.8			
	L ₄₉		58	10	0.5	rd. m.		
		270 58.9	-27 55	10	0.7	Globule i. Zentr.	331,-6	
755	R ₄	270 59.3	-24 31.0	13	1.2			
	L ₇	271 0.2	32.0	16	0.8			
	L ₅₆	270 59.5	29.0	30	0.7			
		270 59.7	-24 31.0	20	0.9	rd.	334,-4	
756	R ₄	271 5.3	-26 10	17	1.2			
	L ₄₉	4.0	17	15	0.4			
	L ₅₆	1.8	13	17	0.7			
		271 3.7	-26 13	16	0.9	Rhombus	333,-5	
757	R ₄	271 8.3	-27 44	13	0.6			
	L ₄₉	7.0	51	13	0.5			
		271 7.7	-27 48	13	0.6	lgl. NS m. Kern	331,-6	
758	R ₄	271 8.0	-24 23	15	0.6			
	R ₇	8.8	25	24	0.8			
	L ₅₆	7.0	24	14	0.7			
		271 7.9	-24 24	18	0.7	rd. m. Kern	334,-4	
759	R ₄	271 12.8	-26 21	19	0.6			
	L ₄₉	17.3	24	19	0.5			
	L ₅₆	10.5	22	25	0.7			
		271 13.5	-26 22	21	0.6	Δ	332,-5	
760	R ₄	271 14.0	-24 13	15	0.8			
	R ₇	13.8	13	24	0.8			
		271 13.9	-24 13	20	0.8	Rhombus	335,-4	
761	R ₄	271 15.5	-28 7	13	0.6			
	L ₄₉	14.3	14	13	0.5			
		271 14.9	-28 10	13	0.6	lgl. NS	331,-6	
762	R ₄	271 15.0	-27 19	13	0.6			
	L ₄₉	15.5	27.0	13	0.3			
		271 15.3	-27 23	13	0.5	Δ	332,-5	
763	R ₄	271 16.0	-24 0	16	1.2			
	R ₇	15.0	3	20	0.8			
	L ₅₆	16.8	1	22	1.1			
		271 15.9	-24 1	19	1.0	lgl. NS	334,-5	

Nr.	Roß Lick	α_{1950}	δ_{1950}	Fläche	Δm	Form	l. b. gal.	Barnard Chawtasi
764	R ₄	271°15'3	-25°32'	10	1.2			
	L ₄₉	15.5	40	12	0.7			
	L ₅₆	17.5	27	12	0.7			
		271 16.1	-25 33	11	0.9	rd.	333°-4°	
765	R ₄	271 17.5	-27 38	7	0.8			
	L ₄₉	15.3	43	13	0.5			
		271 16.4	-27 40	10	0.7	lg. OW	331,-5	
766	R ₄	271 19.0	-27 57	10	0.6			
	L ₄₉	15.8	-28 4	16	0.5			
		271 17.4	-28 0	13	0.6	rd.	331,-6	
767	R ₄	271 20.5	-26 45	13	0.8			
	L ₄₉	18.0	50	12	0.4			
	L ₅₆	18.8	46	17	0.7			
		271 19.1	-26 47	14	0.6	lg. SO-NW	332,-5	
768	R ₄	271 26.3	-27 49	16	0.6			
	L ₄₉	25.0	56	13	0.5			
		271 25.7	-27 52	15	0.6	rd.	331,-6	
769	R ₄	271 29.8	-30 6	16	0.6			
	L ₄₉	25.5	12	14	0.4	lg. SW-NO (Kern)	330,-7	
		271 27.7	-30 9	15	0.5			
770	R ₇	271 32.3	-21 37	22	1.2	Kreuz		
	L ₄₉	24.3	37	25	0.8	m. Kern i. Zentr.	337,-3	
		271 28.3	-21 37	24	1.0			
771	R ₄	271 34.0	-27 39	12	0.6			
	L ₄₉	33.5	47	10	0.3			
		271 33.8	-27 43	11	0.5	rd.	331,-6	
772	R ₇	271 35.0	-20 50	24	1.2			
	L ₄₈	34.3	40	39	0.8			
		271 34.7	-20 45	31	1.0	lg. OW	338,-2	
773	R ₄	271 34.5	-26 56	16	0.6			
	L ₄₉	33.8	60	15	0.4			
	L ₅₆	37.0	52	20	0.5			
		271 35.1	-26 56	17	0.5	lg. SO-NW	332,-5	Ch. Nr. 455
774	R ₄	271 38.3	-30 19	27	0.6			
	L ₄₉	34.0	24	24	0.5	Stäbchen		
		271 36.2	-30 22	25	0.6	SO-NW	329,-7	
775	R ₄	271 39.0	-30 7	16	0.2			
	L ₄₉	36.5	14	14	0.4			
		271 37.8	-30 10	15	0.3	rd.	330,-7	
776	R ₄	271 42.8	-32 28	15	0.6			
	L ₄₉	41.0	36	13	0.7			
		271 41.9	-32 32	14	0.7	unrglm. OW	327,-8	
777	R ₇	271 45.3	-18 47	27	1.2			
	L ₄₈	42.0	49	28	1.1			
		271 43.7	-18 48	28	1.2	lg. n. NO	339,-2	B. 18, 301
778	R ₄	271 45.5	-23 44	16	1.3			
	R ₇	45.0	47	21	0.8			
	L ₅₆	44.0	45	28	1.1			
		271 44.8	-23 45	21	1.1	A	335,-4	

Nr.	Roß Lick	α_{1950}	δ_{1950}	Fläche	Δm	Form	l. b. gal.	Barnard Chawtasi
779	R_4 L_{49}	$271^{\circ}48'3$	$-32^{\circ}37'$	43	0.6	Knie gekr. n. S	$327^{\circ}, -8^{\circ}$	
		47.0	45	39	0.7			
780	R_4 L_{49}	$271\ 47.7$	$-32\ 41$	41	0.7	unrglm. m. Kern (Globule)	$331,-6$	
		50.8	21	64	0.6			
781	R_7 L_{48} L_{57}	45.5	30	47	0.3		$340,-2$	
		48.2	26	56	0.5			
		59.5	39	17	0.6			
		59.0	41	22	0.4			
782	R_4 L_{49}	58.5	37	21	—	lgl. SW-NO	$329,-8$	
		59.0	39	20	0.5			
		272 3.0	21	15	0.6			
		0.8	29	13	0.4			
783	R_7 L_{48} L_{57}	272 1.9	25	14	0.5	Δ unrglm. m. 2 Globulen	$340,-2$	
		16.5	32	18	0.2			
		10.5	37	15	0.5			
		11.3	31	16	—			
784	R_4 R_7 L_{49} L_{56}	272 12.8	33	16	0.4	Δ n. NO	$334,-5$	
		13.5	4	—	—			
		15.0	5	21	0.8			
		17.7	10	15	0.7			
785	R_4 L_{49}	16.3	6	19	0.7	lgl. NS	$328,-9$	
		272 15.6	6	18	0.7			
		24.0	23	22	0.7			
		19.8	29	23	1.1			
786	R_4 L_{49}	272 21.9	26	23	0.9	lgl. NS	$328,-9$	
		24.3	14	19	0.6			
		21.8	22	20	0.5			
		272 23.0	18	20	0.6			
787	R_7 L_{48} L_{57}	272 25.0	28	17	1.2	lgl. N-S	$340,2$	
		24.3	30	15	0.7			
		22.0	25	21	0.5			
		272 23.8	28	18	0.8			
788	R_4 R_7 L_{49} L_{56}	272 22.8	17	—	0.6	rd.	$334,-5$	
		25.8	13	20	0.6			
		29.3	19	19	0.5			
		27.5	13	18	0.7			
789	R_7 L_{48}	272 26.4	16	19	0.6	lgl. n. NO	$337,-3$	
		25.8	48	18	1.2			
		31.0	41	18	1.2			
		272 28.4	44	18	1.2			
790	R_4 R_7 L_{49} L_{56}	272 29.0	1	—	—	Δ NS m. Kern	$334,-5$	
		27.3	0	21	0.8			
		30.8	4	15	0.5			
		28.0	59	13	0.5			
791	R_4 L_{49}	272 28.8	1	16	0.6	lgl. NS	$328,-9$	
		34.5	59	16	0.3			
		29.0	3	17	0.5			
		272 31.8	1	17	0.4			

Nr.	Roß Lick	α_{1950}	δ_{1950}	Fläche	A_m	Form	l. b. gal.	Barnard Chawtasi
792	R ₄	272°31'5	-25°19'	—	1.2			
	R ₇	31.3	24	20	0.6			
	L ₄₉	32.0	30	13	0.7			
	L ₅₆	32.8	22	16	0.7			
		272 31.9	-25 24	16	0.8	Δ	334°,-5°	
793	R ₄	272 34.0	-31 34	81	0.5			
	L ₄₉	31.8	41	83	0.7			
		272 32.9	-31 38	82	0.6	Δ	328,-9	
794	R ₄	272 34.5	-22 23	10	0.8			
	R ₇	34.5	24	12	1.2			
	L ₅₆	32.8	25	19	0.7			
		272 33.9	-22 34	14	0.9	rd.	337,-4	
795	R ₄	272 43.0	-22 21	13	0.8			
	R ₇	37.8	21	15	1.2			
	L ₅₆	38.0	20	16	0.7			
		272 39.6	-22 21	15	0.9	lg. NS	337,-4	
796	R ₄	272 39.5	-25 21		0.8			
	R ₇	38.5	22	15	0.5			
	L ₄₉	42.8	29	13	0.5			
	L ₅₆	40.0	23	13	0.7			
		272 40.2	-25 24	14	0.6	lg. NS	334,-6	
797	R ₄	272 43.3	-24 5	26	1.2			
	R ₇	42.0	5	21	0.8			
	L ₅₆	42.0	5	16	0.7			
		272 42.5	-24 5	21	0.9	oval OW	335,-5	
798	R ₄	272 44.5	-23 50	76	0.8			
	R ₇	43.3	50	50	0.6			
	L ₅₆	44.5	50	63	0.7			
		272 44.1	-23 50	63	0.7	rd.	336,-5	
799	R ₄	272 44.0	-25 7	15	—			
	R ₇	46.8	9	22	0.8			
	L ₄₉	47.0	15	13	0.8			
	L ₅₆	45.0	9	16	1.1			
		272 45.7	-25 10	17	0.9	Δ	335,-6	
800	R ₄	272 46.8	-25 34		0.6			
	R ₇	47.0	38	16	0.5			
	L ₄₉	48.0	41	15	0.3			
	L ₅₆	46.8	38	19	0.5			
		272 47.1	-25 38	17	0.5	rd.	334,-6	
801	R ₄	272 50.3	-31 54	11	1.2			
	L ₄₉	49.5	57	12	1.1			
		272 49.9	-31 56	12	1.2	lg. NS	328,-9	B. 305
802	R ₇	272 53.3	-18 14	13	0.6			
	L ₄₈	49.3	25	14	0.4			
	L ₅₇	49.0	19	19	0.5			
		272 50.5	-18 19	15	0.5	rd.	341,-3	
803	R ₄	272 50.8	-25 26		0.6			
	R ₇	51.0	31	18	0.6			
	L ₄₉	53.8	29	15	0.4			
	L ₅₆	50.8	31	19	0.7			
		272 51.6	-25 29	17	0.6	lg. NS	334,-6	

Nr.	Röß Lick	α_{1950}	δ_{1950}	Fläche	Δm	Form	I. b. gal.	Barnard Chawtasi
804	R ₇	272°54'3	-18°16'	480	0.5			
	L ₅₇	56.5	21	450	0.2			
	L ₄₈	53.0	18	280	—			
		272 54.6	-18 18	403	0.4	großer Winkel n. NO	341°,-3°	
805	R ₄	272 55.5	-23 46	17	0.8			
	R ₇	54.5	49	21	0.6			
	L ₅₆	54.8	46	18	0.7			
		272 54.9	-23 47	19	0.7	rd.	336,-5	
806	R ₄	272 59.3	-22 7	12	1.0			
	R ₇	54.5	8	21	0.6			
	L ₅₆	58.3	5	14	0.7			
		272 57.4	-22 7	15	0.8	lgl. SO-NW	337,-4	
807	R ₄	273 4.0	-23 51	13	0.6			
	R ₇	272 59.3	55	15	0.6			
	L ₅₆	59.5	53	18	0.5			
		273 1.0	-23 53	15	0.6	rd.	335,-5	
808	R ₇	273 4.5	-18 14	84	1.8			
	L ₄₈	0.3	19	85	1.5			
	L ₅₇	272 59.5	9	80	1.5	unrglm. Stern i. d. Mitte lgl. NS	341,-3	
		272 1.5	-18 14	83	1.6			
809	R ₄	273 5.8	-31 53	16	0.3			
	L ₄₉	5.3	-32 1	17	0.7			
		273 5.6	-31 57	17	0.5	rd.	328,-9	
810	R ₄	273 6.8	-32 2	13	0.6			
	L ₄₉	8.3	9	13	0.7			
		273 7.6	-32 6	13	0.7	rd.	328,-9	
811	R ₇	273 15.0	-18 14	15	0.3			
	L ₄₈	15.5	13	15	0.3			
	L ₅₇	14.0	13	14	0.5			
		273 14.8	-18 13	15	0.4	lgl. NS	341,-3	
812	R ₇	273 15.3	-18 22	18	0.3			
	L ₄₈	15.8	22	15	0.4			
	L ₅₇	13.3	22	19	0.5			
		273 14.8	-18 22	17	0.4			
813	R ₇	273 24.0	-18 6	30	1.2			
	L ₄₈	20.5	6	28	0.7			
	L ₅₇	21.0	-17 57	35	0.7			
		273 21.8	-18 3	31	0.9	schmal lgl. NS	341,-2	
814	R ₇	273 29.5	-18 2	17	0.1			
	L ₄₈	29.3	5	18	0.5			
	L ₅₇	29.8	-17 58	18	0.5			
		273 29.5	-18 2	18	0.4			
815	R ₇	273 37.0	-17 59	15	0.7			
	L ₄₈	37.8	-18 2	15	0.4			
	L ₅₇	37.5	-17 58	16	0.5			
		273 37.4	-18 0	15	0.5	lgl. NS	341,-3	
816	R ₇	273 47.8	-17 56	12	0.6			
	L ₄₈	43.3	-18 2	14	0.7			
	L ₅₇	46.5	-17 56	16	0.5			
		273 45.9	-17 58	14	0.6	lgl. m. Kern n. NNO	341,-3	

Nr.	Roß Lick	α_{1950}	δ_{1950}	Fläche	Δm	Form	l. b. gal.	Barnard Chawtasi
817	R ₇	273°46'8	-14°26'	23	0.6			
	L ₅₇	49.0	23	45	0.4			
		273 47.9	-14 24	34	0.5	lgl. N-S	344°-1°	
818	R ₇	273 52.8	-15 48	15	0.6			
	L ₅₇	52.5	47	24	0.4			
		273 52.7	-15 48	20	0.5	lgl. NS	343,-2	
819	R ₄	273 53.3	-22 12	108	0.6			
	R ₇	55.3	13	54	0.8			
	L ₅₆	51.0	6	86	0.4			
		273 53.2	-22 10	83	0.6	gekr. Stab	338,-5	
820	R ₇	273 56.3	-17 50	12	0.6			
	L ₅₇	54.3	50	16	1.1			
		273 55.3	-17 50	14	0.9	lgl. NS	341,-3	
821	R ₄	274 1.8	-26 26	16	0.2			
	L ₅₆	273 57.0	31	17	0.5			
		273 59.4	-26 29	17	0.4	rd.	334,-7	
822	R ₇	274 5.8	-15 12	6	0.6			
	L ₅₇	6.3	11	14	0.5	Rechteck m. Glo-		
		274 6.1	-15 12	10	0.6	bule i. Zentrum	344,-2	
823	R ₇	274 7.0	-16 11	59	0.6			
	L ₅₇	6.5	9	50	0.7			
		274 6.8	-16 10	55	0.7	lgl. n. NO	343,-2	
824	R ₇	274 14.3	-15 13	13	0.6			
	L ₅₇	14.8	12	19	0.5			
		274 14.6	-15 12	16	0.6	lgl. n. NW	344,-2	
825	R ₇	274 14.3	-11 45	56	—			
	L ₅₇	21.3	42	27	0.5			
	L ₆₂	13.5	44	14	0.7			
		274 16.4	-11 44	32	0.6	lgl. n. NO	347.0	
826	R ₄	274 22	-26 37	17	0.3			
	L ₅₆	23.3	42	23	0.5			
		274 22.7	-26 40	20	0.4	rd.	334,-8	
827	R ₇	274 26.8	11 24	178	0.5			
	L ₅₇	25.5	23	150	0.4			
	L ₆₂	20.3	23	142	0.7			
		274 24.2	-11 23	157	0.5	lgl. Stab O-W	348.0	
828	R ₄	274 27.8	-26 38	11	0.3			
	L ₅₆	27.8	42	13	0.5			
		274 27.8	-26 40	12	0.4	rd. ringf.	334,-8	
829	R ₁₀	274 31.7	+ 5 50.3	34	1.2			
	L ₅₉	31.3	51.6	33	0.7			
	L ₆₀	32.9	48.7	32	0.7			
		274 32.0	+ 5 50.2	33	0.9		3.7	
830	R ₄	274 33.8	-26 36	7	0.3			
	L ₅₆	33.0	-26 42	8	0.5			
		274 33.4	-26 39	8	0.4	rd. ringf.	334,-8	
831	R ₆	274 33.8	-13 43.4	15	1.2	lgl. NS	345,-2	
832	R ₄	274 39.5	-26 37	11	0.3			
	L ₅₆	40.0	42	13	0.5			
		274 39.8	-26 40	12	0.4	rd. ringf.	334,-8	

Nr.	Röß Lick	α_{1950}	δ_{1950}	Fläche	Δm	Form	l. b. gal.	Barnard Chawtasi
833	R ₇ L ₅₇	274° 49' 5 50.8	-14° 48' 49	30 45	0.6 0.5			
834	R ₁₀ L ₅₉ L ₆₀	274 50.2 52.1 53.3	-14 48 + 4 58.7 59.2 58.8	38 61 56 52	0.6 0.6 0.7 1.1	Sichel n. NO	344°,-2°	
835	R ₄ R ₇ L ₅₆	274 53.4 275 1.0 274 59.3 275 0.5	+ 4 58.9 -24 5 0 4	56	0.8		2,7	
836	R ₆	275 0.3 275 2.7	-24 3 -15 35.5	19 30	0.9 0.6	lgl. NS Δ NO	336,-7 344,-3	B. 309
837	R ₁₀ L ₅₉ L ₆₀	275 2.7 4.7 3.9	+ 7 26.8 26.7 22.1	67 44 54	0.5 0.2 0.3			
838	R ₄ L ₅₆	275 3.8 275 4.8	+ 7 25.2 -24 32 34	55	0.3	lgl. SO-NW	3,8	
839	R ₄ L ₅₆	275 4.8 275 0.5 11.3	-24 33 -25 36 39	30	0.3	Δ NS	336,-7	
840	R ₁₀ L ₅₉ L ₆₀	275 8.5 8.1 7.8	+ 5 24.5 22.8 23.2	15 23 18	0.6 0.5 0.5	Spitze eines gr. Bogens	335,-8	
841	R ₁₀ L ₅₉ L ₆₀	275 8.1 12.4 15.3 13.3	5 23.5 + 5 33.3 32.7 32.7	19 30 31 24	0.5 0.6 0.5 0.7	ell. SW-NO	2,7	
842	R ₄ L ₅₇ L ₆₂	275 13.7 13.8 15.0 16.3	5 32.9 -10 5.5 5.7 5.4	28	0.6	ell. SW-NO	3,7	
843	R ₄ L ₅₆	275 15.0 24.3 26.5	-10 5.5 -24 43 43	30	0.7	NS-OW	349,0	
844	R ₄ L ₅₆	275 25.4 26.0 27.8	-24 43 -24 56 -25 1	21 10 12	0.4 0.3 0.5	rd.	336,-8	
845	R ₄ L ₅₆	275 26.9 31.0 34.0	-24 58 -25 2 5	11 15 17	0.4 0.1 0.5	rd.	336,-8	
846	R ₇ L ₃₇ L ₆₂	275 32.5 36.3 35.0 30.8	-25 4 -10 46 48 54	16 200 240 368	0.3 0.6 1.1 1.1	lgl. NS	336,-8	
847	R ₄ L ₅₆	275 34.0 34.0 35.8	-11 49 -24 37 52	269 15 17	0.9 0.6 0.5	großes Δ O-W	347,-2	
		275 34.9	-24 45	16	0.6	lgl. NS	336,-8	

Nr.	Roß Lick	α_{1950}	δ_{1950}	Fläche	A_m	Form	l. b. gal.	Barnard Chawtasi
848	R ₇	275°36'5	-10°40'	150	0.6			
	L ₅₇	38.3	38	126	0.7			
	L ₆₂	32.5	33	168	0.7			
849	R ₇	275 35.8	-10 37	148	0.7	ell. O-W	348°,-1°	
	L ₅₇	275 44.8	-10 22	142	0.6			
	L ₆₂	46.8	18	113	0.7			
850	R ₇	275 41.8	18	151	0.5			
	R ₁₀	275 44.5	-10 19	138	0.6	ell. ONO	349,-1	
	L ₅₉	275 55.0	+ 7 53.0	30	0.5			
851	L ₆₀	55.9	56.4	44	0.3			
	R ₁₀	275 54.4	51.8	30	0.4			
	L ₅₉	275 55.1	+ 7 53.7	36	0.4	lg. SW-NO	5,7	
852	L ₆₀	276 1.1	+ 6 17.8	18	0.6			
	R ₇	276 2.1	19.8	16	0.4			
	L ₅₇	3.3	17.6	16	0.7			
853	276 2.2	6 18.4	17	0.6	lg. SW-NO	4,6		
	R ₇	276 4.5	-15 14.0	30	0.4			
	L ₅₇	6.8	14.0	26	0.7	krummer Stab		
854	276 5.7	-15 14.0	28	0.6	n. ONO	345,-4		
	R ₁₀	276 5.7	+ 9 37.6	38	0.6			
	L ₅₉	9.0	42.2	52	0.2			
855	L ₆₀	8.1	37.4	41	0.5			
	276 7.6	+ 9 39.1	44	0.4	ell. NS	350,-1		
	R ₁₀	276 8.9	+ 6 26.2	9	0.6			
856	L ₅₉	7.9	26.7	9	0.4			
	R ₆₀	8.9	25.5	11	0.3			
	276 8.6	6 26.1	10	0.4	lg. SW-NO	4,6		
857	R ₁₀	276 9.4	+ 9 15.3	34	0.5			
	L ₅₉	10.3	20.0	44	0.3			
	L ₆₀	9.6	14.7	44	0.7			
858	276 9.8	9 16.7	41	0.5	rd.	6,7		
	R ₁₀	276 18.0	+ 6 50.6	46	0.6			
	R ₅₉	13.3	45.0	30	0.2			
859	R ₆₀	16.1	42.8	34	0.2			
	276 15.8	6 46.1	37	0.3	lg. SO-NW	5,6		
	R ₇	276 27.3	-10 9	2686	0.6			
860	L ₅₇	32.8	9 53	2252	0.7			
	L ₆₂	23.5	56	2886	0.5	ganz unrglm.		
	276 27.9	-9 59	2606	0.6	m. 7 Zacken	350,-2		
861	R ₇	276 28.8	-16 40	32	0.3			
	L ₅₇	29.0	40	27	0.7			
	276 28.9	-16 40	30	0.5	rd.	344,-4		
862	R ₁₀	276 39.0	+ 4 58.9	37	0.8			
	L ₅₉	36.9	52.3	37	1.1			
	L ₆₀	37.0	5 0.3	65	0.6			
863	276 37.6	+ 4 57.2	46	0.8	ell. NS	3,5		
	R ₇	276 39.5	-16 45	13	0.2			
	L ₅₇	38.0	48	18	0.7			
864	276 38.8	-16 46	15	0.5	rd. m. Kern	343,-5		

Nr.	Roß Lick	α_{1950}	δ_{1950}	Fläche	A_m	Form	l. b. gal.	Barnard Chawtasi
861	R ₁₀	276° 45' 5	+ 4° 40' 8	87	1.2			
	L ₅₉	43.2	37.1	82	0.7			
	L ₆₀	47.8	45.5	109	0.7			
		276 45.5	+ 4 41.1	93	0.9	ell. SO-NW	3°4°	
862	R ₇	276 54.5	-17 38	90	0.6			
	L ₅₇	52.0	39	136	0.7			
		276 53.3	-17 39	113	0.7	ell. NS	343,-5	B. 311
863	R ₄	276 54.3	-23 48	20	0.6			
	R ₇	59.0	42	16	0.6			
	L ₅₆	277 1.0	49	20	1.1			
		276 58.1	-23 46	19	0.8	Knie n. SO	337,-8	
864	R ₁₀	277 10.5	+ 8 3.6	8	0.6			
	L ₅₉	10.5	4.9	23	0.5			
	L ₆₀	11.8	2.4	30	0.5			
		277 10.9	+ 8 3.6	20	0.5	Δ n. S.	6,6	
865	R ₇	277 14.8	- 8 53	72	0.6			
	L ₅₇	7.5	52	90	0.7			
	L ₆₂	12.5	54	104	0.7			
		277 11.6	- 8 53	98	0.7	Keule n. NW	351,-1	
866	R ₇	277 15.0	-11 51	33	0.5	lgl. n. NO	348,-3	
867	R ₇	277 17.8	- 9 13	135	0.6			
	L ₅₇	21.5	10	112	0.7			
	L ₆₂	11.3	9	152	0.7			
		277 16.9	- 9 11	133	0.7	Δ n. NW	351,-2	
868	R ₇	277 41.8	-13 15	18	0.3			
	L ₆₂	44.3	13	14	0.7			
		277 43.0	-13 14	16	0.5	ell. OW	347,-4	
869	R ₇	277 48.5	-17 23	13	0.6			
	L ₅₇	45.0	27	16	0.5	lgl. schmal		
		277 46.8	-17 25	15	0.6	n. NO	343,-6	
870	R ₇	277 52.8	-13 12	21	0.3			
	L ₅₇	47.3	17	21	0.7			
	L ₆₂	42.0	9	13	0.5			
		277 47.4	-13 13	19	0.5	lgl. OW	347,-4	
871	R ₇	277 50.5	-17 32	12	0.7			
	L ₅₇	47.5	37	18	0.5			
		277 49.0	-17 34	15	0.6	Δ spitz n. S	343,-6	
872	R ₇	277 47.0	-13 22	23	0.3			
	L ₅₇	52.5	34	18	0.5			
	L ₆₂				0.7			
		277 49.8	-13 29	21	0.5	lgl. NS	347,-4	
873	R ₁₀	277 50.4	+ 8 10.6	38	0.6			
	L ₅₉	51.1	11.6	47	0.4			
	L ₆₀	51.5	12.3	41	0.5			
		277 51.0	+ 8 11.5	42	0.5	lgl. N-S	6,6	Ch. Nr. 515
874	R ₇	277 51.3	-13 33	17	0.3			
	L ₅₇	278 0.0	45	19	0.5			
	L ₆₂	277 49.3	30	13	0.5			
		277 53.5	-13 36	16	0.4	rd.	347,-5	

Nr.	Roß Lick	α_{1950}	δ_{1950}	Fläche	Δm	Form	1. b. gal.	Barnard Chawtasi
875	R ₇	277° 59'.8	-13° 15'	22	0.3	Rhombus	347°-4°	
	L ₅₇	56.5	16	21	0.7			
	L ₆₂	52.3	10	14	0.7			
		277 56.2	-13 14	19	0.6			
876	R ₇	278 11.5	-18 36	21	0.7	rd.	343,-7	
	L ₅₇	3.3	40	19	0.5			
		278 7.4	-18 38	20	0.6			
877	R ₇	278 16.3	-18 36	17	0.6	lgl. NS	343,-7	
	L ₅₇	11.5	40	18	0.7			
		278 13.9	-18 38	18	0.7			
878	R ₇	278 21.0	-13 30	18	0.4	rd.	348,-5	
	L ₅₇	25.8	30	19	0.5			
	L ₆₂	22.0	25	20	0.5			
879	R ₇	278 22.9	-13 28	19	0.5	lgl. NS	347,-5	Ch. Nr. 520
	L ₅₇	278 38.8	-13 46	39	0.6			
	L ₆₂	40.8	50	34	0.7			
		39.3	43	16	1.1			
880	R ₇	278 39.6	-13 46	30	0.8	unrglm. lgl. NS	354,-2	
	L ₆₂	279 3.3	-6 16	1655	1.2			
		5.8	14	1410	1.1			
881	R ₁₀	279 4.5	-6 15	1532	1.2	lgl. SW-NO	355,-2	
	L ₆₃	16.0	-5 13.4	23	0.8			
	L ₆₄	13.2	12.5	29	1.1			
		11.6	12.1	22	0.7			
882	R ₇	279 13.6	-5 12.7	25	0.9	lgl. SO-NW	353,-2	
	L ₆₂	279 27.5	-7 24	21	1.2			
		29.5	26	14	0.7			
883	R ₁₀	279 28.5	-7 25	17	1.0	unrglm. lgl. O-W	354,-3	
	L ₆₃	35.1	-6 44.7	69	0.6			
	L ₆₄	32.4	43.4	93	1.1			
		28.9	39.4	51	1.1			
884	R ₁₀	279 32.1	-6 42.5	71	0.9	Schlinge SO-NW	7,4	
	L ₅₉	35.1	+ 8 20.1	155	0.6			
	L ₆₀	34.9	19.3	178	0.4			
		28.9	24.6	147	0.5			
885	R ₁₀	279 33.0	+ 8 21.6	160	0.5	unrglm. lgl. SW-NO	354,-2	
	L ₆₃	31.9	-6 2.4	114	2.0			
	L ₆₄	33.8	-5 58.7	105	1.5			
		34.9	56.8	89	1.5			
886	R ₇	279 33.5	-5 59.3	103	1.7	Sichel SO-NW	351,-4	
	L ₅₇	35.3	-9 35	26	0.6			
	L ₆₂	39.5	38	35	0.7			
		33.5	36	21	0.7			
887	R ₇	279 36.1	-9 36	27	0.7	Δ NS	353,-3	
	L ₆₂	39.5	-7 20	223	0.1			
		40.5	22	268	0.3			
888	R ₁₀	279 40.0	-7 21	246	0.2	lgl. SW-NO	354,-3	
	L ₆₃	41.0	-6 19.5	24	0.6			
	L ₆₄	38.0	19.5	29	1.1			
		41.5	20.2	28	1.1			
		279 40.2	-6 19.7	27	0.9			

Nr.	Röß Lick	α_{1950}	δ_{1950}	Fläche	Δm	Form	l. b. gal.	Barnard Chawtasi
889	R ₇ L ₅₇	279°47'.3 41.8	-19°58' -20 3	42 27	0.6 0.5			
		279 44.6	-20 0	34	0.6	rd.	342°,-9°	
890	R ₁₀ L ₆₃ L ₆₄	279 54.1 50.5 50.4	- 7 32.6 30.0 30.4	60 85 68	0.5 0.4 0.5	schmaler Stab NS	353,-3	
891	R ₇ L ₅₇ L ₆₂	279 51.7 279 57.3 280 6.3 279 55.5	- 7 31.0 - 9 35 40 38	71 30 51 12	0.5 0.6 0.5 0.7			
892	R ₁₀ L ₆₃ L ₆₄	279 59.7 280 17.5 17.2 16.0	- 9 38 - 7 4.3 3.3 2.9	31 20 58 33	0.6 0.6 0.3 0.5	rd.	351,-5	
893	R ₇ L ₅₇ L ₆₂	280 16.9 280 15.0 19.8 17.3	- 7 3.5 - 9 14 18 18	37 26 19 26	0.5 0.3 0.5 0.7	S-förmig	354,-4	
894	R ₁₀ L ₆₃ L ₆₄	280 17.4 280 33.4 31.5 29.8	- 9 17 - 9 17.4 20.3 19.5	24 34 15 18	0.5 0.6 0.5 0.5	Δ NS	352,-4	
895	R ₁₀ L ₆₃ L ₆₄	280 31.6 280 34.4 33.0 33.6	- 9 20.1 - 7 6.4 6.3 7.4	16 9 24 13	0.5 0.3 0.4 0.5	Igl. SO-NW	351,-5	
896	R ₁₀ L ₆₃ L ₆₄	280 33.7 280 41.2 38.7 38.7	- 7 6.7 - 5 58.9 57.7 57.8	15 9 13 13	0.4 0.3 0.5 0.5	Igl. OW	354,-4	
897	R ₇ L ₆₂	280 39.5 280 41.3 43.0	- 5 58.1 - 5 43 41	11 18 13	0.4 0.3 0.7	Δ	355,-3	
898	R ₁₀ L ₆₃ L ₆₄	280 42.2 280 48.2 46.2 46.8	- 5 42 - 5 52.9 53.2 53.5	16 8 7	0.5 0.3 0.5 0.5	rd.	355,-3	
899	R ₁₀ L ₆₃ L ₆₄	280 47.3 280 51.2 46.7 45.4	- 5 53.2 - 8 26.4 27.8 28.6	8 27 16 18	0.4 1.2 1.1 —	kl. Δ	352,-5	
900	R ₁₀ L ₅₉ L ₆₀	280 47.8 280 47.1 47.7 49.1	- 8 27.6 + 9 54.0 55.7 58.5	20 32 30 44	1.2 0.8 0.4 0.5	Stäbchen OW	353,-5	
901	R ₁₀ L ₆₃ L ₆₄	280 48.0 280 58.7 56.2 57.0	+ 9 56.1 - 5 46.3 46.3 46.0	35 11 13	0.6 0.5 0.5 0.7	Knie n. W	9,4	
		280 57.3	- 5 46.2	12	0.6	Δ	355,-4	

Nr.	Roß Lick	α_{1950}	δ_{1950}	Fläche	Δm	Form	l. b. gal.	Barnard Chawtasi
902	R ₁₀	280° 59'.2	— 8° 1'.8	23	0.6			
	L ₆₃	57.1	0.4	25	0.7			
	L ₆₄	55.2	— 7 59.3	20	0.5			
		280 57.5	— 8 0.5	23	0.6	Igl. SO-NW	353°-5°	
903	R ₁₀	281 2.3	+ 9 38.0	130	0.8			
	L ₅₉	2.0	34.8	126	0.4			
	L ₆₀	2.4	41.7	111	0.5	Sichel gekrümmt n. SW	352,-5	
		271 2.2	+ 9 38.1	122	0.5			
904	R ₁₀	281 4.7	— 8 23.2	30	0.6			
	L ₆₃	1.5	22.3	33	1.1			
	L ₆₄	1.2	24.6	36	0.7			
		281 2.5	— 8 23.2	33	0.8	Stäbchen NS	353,-5	
905	R ₁₀	281 5.0	— 4 55.8	20	0.6			
	L ₆₃	3.8	56.0		1.1			
	L ₆₄	6.6	55.6	18	0.7			
		281 5.1	— 4 55.8	19	0.8	A	356,-3	
906	R ₁₀	281 9.9	— 6 14.1	12	0.5			
	L ₆₃	7.7	12.1		0.5			
	L ₆₄	6.8	13.7	27	0.5			
		281 8.1	— 6 13.3	15	0.5	Igl. NS	355,-4	
907	R ₁₀	281 11.0	— 4 23.4	26	1.6			
	L ₆₃	11.6	23.6		0.7			
	L ₆₄	10.5	22.4	30	1.1			
		281 11.0	— 4 23.1	28	1.1	ell. NS	357,-3	
908	R ₁₀	281 10.9	— 4 35.8	18	1.2			
	L ₆₃	11.1	33.7		0.7			
	L ₆₄	11.7	33.1	16	0.7			
		281 11.2	— 4 34.2	17	0.9	Igl. NS	357,-3	
909	R ₇	281 13.8	— 9 5	98	0.4			
	L ₅₇	19.5	9	148	0.5			
	L ₆₂	10.0	6	174	0.5			
		281 14.4	— 9 7	136	0.5	unrglm. lgl. NS	353,-5	Ch. Nr. 547
910	R ₁₀	281 17.6	— 6 14.3	9	0.5			
	L ₆₃	16.2	12.3	23	0.5			
	L ₆₄	15.8	12.3	18	0.5			
		281 16.5	— 6 13.0	17	0.5	Igl. SW-NO	355,-4	
911	R ₁₀	281 29.8	— 6 20.8	9	0.3			
	L ₆₃	28.3	18.8		0.5			
	L ₆₄	28.3	19.3	10	0.4			
		281 28.8	— 6 19.6	10	0.4	Igl. SO-NW	355,-4	
912	R ₇	281 27.0	— 6 17	15	1.2			
	L ₆₂	31.0	16	12	1.1			
		281 29.0	— 6 17	14	1.2	rd.	355,-4	
913	R ₁₀	281 31.1	— 9 12.1	119	1.2			
	L ₆₃	28.5	9.1	133	1.1			
	L ₆₄	28.4	11.3	124	1.1	Sichel gekrümmt n. W	353,-6	
		281 29.3	— 9 10.8	125	1.1			
914	R ₁₀	281 46.3	— 6 22.2	8	0.6			
	L ₆₃	43.9	22.6		1.1			
	L ₆₄	44.0	23.0	10	0.7			
		281 44.7	— 6 22.6	9	0.8	Igl. SW-NO	355,-5	

Nr.	Roß Lick	α_{1950}	δ_{1950}	Fläche	A_m	Form	I. b. gal.	Barnard Chawtasi
915	R ₁₀ L ₅₉ L ₆₀	281°46'5 45.3 46.0	+ 10°12'.4 10.9 11.7	20 14 24	1.6 1.1 1.5			
916	R ₁₀ L ₅₉ L ₆₀	281 45.9 281 46.8 49.3 46.0	+ 10 11.7 + 10 5.3 2.5 6.0	19 38 19 32	1.4 1.6 1.1 1.1	ell. SO-NW	11°4°	
917	R ₁₃ L ₆₆	281 47.4 281 48.2 48.6	+ 10 4.6 + 10 11.7 12.4	30 8 12	1.3 1.2 0.7	ell. SO-NW	10,3	
918	R ₁₃ L ₆₆	281 48.4 281 50.1 50.0	+ 10 12.0 10 4.1 5.5	10 18 29	1.0 1.2 0.7	spitzes Δ SO-NW	10,3	
919	R ₁₀ L ₅₉ L ₆₀	281 50.3 281 50.9 51.6 49.8	10 4.8 10 25.8 26.9 26.7	23 43 23 26	1.0 1.6 1.1 1.1	lgl. SO-NW	10,3	
920	R ₇ L ₆₂	281 50.8 281 55.8 58.5	10 26.5 — 6 36 34	31 57 60	1.3 0.8 0.5	Knie n. Ost	10,3	
921	R ₁₃ L ₆₆	281 57.2 282 5.2 5.3	— 6 35 10 13.7 15.3	58 23 30	0.6 0.6 0.5	lgl. NS	355,-5	
922	R ₁₀ L ₆₃ L ₆₄	282 5.3 282 7.1 6.7 4.5	10 14.5 — 9 57.3 57.7 59.5	27 18 20 13	0.6 0.8 0.5 0.5	lgl. SO-NW	10,3	
923	R ₁₀ L ₆₃ L ₆₄	282 6.1 282 14.7 13.7 11.9	— 9 58.2 — 6 56.4 55.5 55.9	17 23 20 25	0.7 0.5 0.5 0.5	lgl. OW	352,-6	
924	R ₁₀ L ₆₃ L ₆₄	282 13.4 282 12.9 14.3 13.4	— 6 55.9 — 6 42.1 42.3 43.0	23 45 39 47	0.5 0.8 0.7 0.7	ell. NS	355,-5	Ch. Nr. 553
925	R ₁₀ L ₆₃ L ₆₄	282 13.5 282 14.4 13.1 13.1	— 6 42.5 — 4 22.1 23.4 21.9	44 525 378 400	0.7 2.0 2.0 2.0	ell. NS	355,-5	
926	R ₁₃ L ₆₆	282 13.5 282 14.1 12.8	— 4 22.5 11 12.2 13.8	434 15 29	2.0 0.8 0.7	groß, unregelm.	357,-4	
927	R ₇ L ₆₂	282 13.5 282 15.0 13.3	11 13.0 — 5 52 47	22 265 190	0.8 0.8 0.4	Stäbchen OW	11,4	
928	R ₇ L ₆₂	282 14.2 282 20.8 25.3	— 5 50 — 7 4 2	227 98 70	0.6 1.2 0.7	sternfg. 5 Zacken	356,-5	
		282 23.0	— 7 3	84	1.0		355,-5	

Nr.	Roß Lick	α_{1950}	δ_{1950}	Fläche	A_m	Form	l. b. gal.	Barnard Chawtasi
929	R ₁₃	282°23'.9	11°14'.0	9	0.8			
	L ₆₆	23.3	15.5	19	0.5			
		282 23.6	11 14.8	14	0.7	Δ	11°,3°	
930	R ₇	282 23.8	— 6 47	27	0.8			
	L ₆₂	27.5	46	13	0.7			
		282 25.7	— 6 46	20	0.8	lgl. NS	355,-5	
931	R ₁₀	282 24.8	— 5 41.0	23	0.8			
	L ₆₃	30.5	46.3	12	0.7			
	L ₆₄	24.9	43.7	13	1.1			
		282 26.7	— 5 43.7	16	0.9	lgl. NS	356,-5	
932	R ₇	282 25.0	— 6 39	30	1.6			
	L ₆₂	29.0	39	19	0.7			
		282 27.0	— 6 39	25	1.2	lgl. SW-NO	355,-5	
933	R ₇	282 26.5	— 7 23	8	1.2			
	L ₆₂	29.5	24	15	0.7			
		282 28.0	— 7 24	12	1.0	lgl. NS	355,-5	
934	R ₁₃	282 30.8	11 32.6	15	0.8			
	L ₆₆	30.6	32.8	25	0.4			
		282 30.7	11 32.7	20	0.6	Δ	11,3	
935	R ₇	282 32.5	— 7 24	8	1.6			
	L ₆₂	36.5	24	8	1.1			
		282 34.5	— 7 24	8	1.4	rd.	355,-6	
936	R ₁₀	282 34.5	— 5 58.3	38	0.8			
	L ₆₃	37.6	56.0	89	0.7			
	L ₆₄	34.7	57.0	47	0.5			
		282 35.6	— 5 57.1	58	0.6	Gabel OW	356,-5	
937	R ₇	282 35.5	— 7 6	12	0.6			
	L ₆₂	39.0	8	14	0.5			
		282 37.3	— 7 7	13	0.6	rd.	355,-5	
938	R ₁₀	282 37.1	— 7 5.2	26	1.6			
	L ₆₃	39.3	3.6	21	1.1			
	L ₆₄	36.3	5.4	27	1.5			
		282 37.6	— 7 4.7	25	1.4	Δ	355,-6	
939	R ₇	282 36.5	— 6 45	18	0.6			
	L ₆₂	39.0	43	11	1.1			
		282 37.8	— 6 44	15	0.9	lgl. SO-NW	355,-5	
940	R ₁₀	282 38.6	— 7 15.7	11	0.6			
	L ₆₃	40.5	11.5	17	1.1			
	L ₆₄	39.1	16.6	27	0.7			
		282 39.4	— 7 14.6	18	0.8	Stäbchen SO-NW	355,-6	
941	R ₁₃	282 39.9	11 15.3	12	0.8			
	L ₆₆	39.8	16.8	16	0.4			
		282 39.8	11 16.0	14	0.6	Δ	11,3	
942	R ₇	282 41.0	— 7 8	15	0.6			
	L ₆₂	40.8	10	12	0.5			
		282 40.9	— 7 9	14	0.6	rd.	355,-6	
943	R ₁₀	282 41.5	— 6 51.9	23	0.6			
	L ₆₃	42.3	52.4	16	0.7			
	L ₆₄	40.1	52.3	28	0.7			
		282 41.3	— 6 52.2	22	0.7	lgl. SW-NO	355,-5	

Nr.	Röß Lick	α_{1950}	δ_{1950}	Fläche	Δm	Form	l. b. gal.	Barnard Chawtasi
944	R ₁₀	282°41'.6	— 6°44'3	18	0.8			
	L ₆₃	43.7	43.3	16	1.1			
	L ₆₄	41.2	43.9	18	0.7			
		282 42.2	— 6 43.8	17	0.9	Igl. NS	355°,-6°	
945	R ₁₀	282 43.1	— 7 30.0	15	0.6			
	L ₆₃	44.9	30.4	20	0.7			
	L ₆₄	43.1	30.6	10	0.5			
		282 43.7	— 7 30.3	15	0.6	W-Form	355,-6	
946	R ₁₃	282 45.7	11 32.2	18	0.6			
	L ₆₆	45.2	32.7	30	0.5			
		282 45.5	11 32.5	24	0.6	A	11,3	
947	R ₁₀	282 50.6	— 7 14.8	9	0.6			
	L ₆₃	51.4	15.0	35	0.5			
	L ₆₄	50.8	16.8	30	0.5			
		282 50.9	— 7 15.5	25	0.5	Stäbchen SW-NO	355,-6	
948	R ₁₀	282 55.7	— 7 30.0	11	1.6			
	L ₆₃	51.0	30.5	8	1.1			
	L ₆₄	50.9	30.8	13	1.1			
		282 52.5	— 7 30.4	11	1.3	A NS	355,-6	
949	R ₇	282 51.5	— 6 18	18	0.8			
	L ₆₂	55.5	17	20	0.5			
		282 53.5	— 6 18	19	0.7	Igl. NS	356,-5	
950	R ₁₀	282 54.6	— 7 18.6	12	0.3			
	L ₆₃	55.1	18.4	8	0.7			
	L ₆₄	53.3	21.5	8	0.5			
		282 54.3	— 7 19.5	9	0.5	unrglm. Igl. NS	355,-6	
951	R ₁₀	282 55.5	— 4 41.3	26	0.5			
	L ₆₃	56.4	44.3	20	0.4			
	L ₆₄	283 0.7	40.8	25	0.4			
		282 57.5	— 4 42.1	24	0.4	unrglm. Igl. NS	358,-5	
952	R ₇	282 56.8	— 6 26	26	0.6			
	L ₆₂	283 0.0	26	14	0.5			
		282 58.4	— 6 26	20	0.6	Igl. SO-NW	356,-6	
953	R ₁₀	282 57.8	— 7 19.7	11	0.3			
	L ₆₃	59.7	19.3	12	0.7			
	L ₆₄	59.5	26.5	10	0.4			
		282 59.0	— 7 21.8	11	0.5	A	355,-6	
954	R ₁₀	282 58.1	— 7 14.7	12	0.3			
	L ₆₃	283 0.1	14.2	8	0.7			
	L ₆₄	282 57.9	16.3	10	0.7			
		282 58.7	— 7 15.1	10	0.6	Igl. NS	355,-6	
955	R ₁₀	283 0.9	— 4 37.9	9	0.5			
	L ₆₃	1.4	39.7	8	0.5			
	L ₆₄	1.1	37.9	13	0.7			
		283 1.1	— 4 38.5	10	0.6	A	357,-5	
956	R ₁₀	282 59.7	— 5 16.0	168	0.8			
	L ₆₃	283 3.0	12.8	210	1.1			
	L ₆₄	1.4	16.0	169	1.1			
		283 1.4	— 5 14.9	182	1.0	unrglm.		
957	R ₇	283 0.3	— 6 22	21	0.8	m. 4 Zacken	357,-5	
	L ₆₂	3.8	22	13	0.5			
		283 2.0	— 6 22	17	0.7	Igl. NS	356,-6	

Nr.	Roß Lick	α_{1950}	δ_{1950}	Fläche	A_m	Form	l. b. gal.	Barnard Chawtasi
958	R ₁₀	283° 4'7	- 4° 39'3	12	0.6			
	L ₆₃	6.5	41.1	12	0.5			
	L ₆₄	8.3	34.9	8	0.5			
		283 6.5	- 4 39.3	11	0.5	rd.	358°,-5°	
959	R ₁₃	283 9.0	11 0.6	15	0.8			
	L ₆₆	10.2	3.8	19	0.5			
		283 9.6	11 2.2	17	0.7	□	11,3	
960	R ₁₀	283 11.8	- 4 22.6	69	0.6			
	L ₆₄	11.9	19.8	61	1.1			
		283 11.9	- 4 21.2	65	0.9	Stab SO-NW	358,-5	
961	R ₁₀	283 19.7	- 9 54.3	29	0.6			
	L ₆₃	20.2	55.6	16	0.7			
	L ₆₄	15.0	56.5	16	0.5			
		283 18.3	- 9 55.5	20	0.6	lgl. OW	353,-7	Ch. Nr. 564
962	R ₁₃	283 20.9	11 50.3	14	0.6			
	L ₆₆	19.6	51.5	22	0.4			
		283 20.3	11 50.9	18	0.5	lgl. SO-NW	12,2	
963	R ₁₃	283 25.1	15 27.8	45	1.6			
	L ₆₆	27.1	29.7	62	1.1			
		283 26.1	15 28.8	53	1.4	ell. SW-NO	15,4	
964	R ₁₃	283 27.6	- 9 27.3	18	0.6			
	L ₆₃	28.8	26.7	12	0.7			
	L ₆₄	25.1	28.7	16	0.5			
		283 27.2	- 9 27.6	15	0.5	lgl. SO-NW	354,-8	
965	R ₁₃	283 30.3	+ 14 53.6	71	1.2			
	L ₆₆	30.7	53.7	74	0.7			
		283 30.5	+ 14 53.7	72	1.0	△	15,4	
966	R ₁₃	283 34.6	12 34.3	12	0.8			
	L ₆₆	34.0	35.6	16	0.5			
		283 34.3	12 35.0	14	0.7	rd.	13,3	
967	R ₁₀	283 32.5	- 4 47.7	43	1.2			
	L ₆₃	35.3	49.3	23	1.5			
	L ₆₄	38.5	46.1	27	2.-			
		283 35.4	- 4 47.7	31	1.6	lgl. NS	358,-5	
968	R ₁₀	283 37.2	- 9 23.4	30	0.6			
	L ₆₃	37.4	28.7	58	1.1			
	L ₆₄	32.9	27.0	27	0.7			
		283 35.8	- 9 26.4	38	0.8	unrglm. lgl. NS	353,-7	
969	R ₁₃	283 38.6	12 30.8	14	0.8			
	L ₆₆	37.7	34.7	11	0.5			
		283 38.2	12 32.8	13	0.7	rd.	13,3	
970	R ₁₃	283 40.9	12 27.0	9	0.8			
	L ₆₆	40.0	28.4	12	0.5			
		283 40.5	12 27.7	11	0.7	△	13,2	
971	R ₁₃	283 38.3	11 57.1	227	0.8			
	L ₆₆	43.8	12 14.9	185	0.5			
		283 41.0	12 6.0	206	0.7	S-Form NS	12,2	
972	R ₁₀	283 43.6	- 3 28.9	46	1.2			
	L ₆₄	45.6	26.4	81	0.7			
		283 44.6	- 3 27.7	64	1.0	unrglm. lgl. NS	359,-5	

Nr.	Roß Lick	α_{1950}	δ_{1950}	Fläche	A_m	Form	l. b. gal.	Barnard Chawtasi
973	R ₁₀	283°45'3	— 3°48'9	12	0.8			
	L ₆₃	46.3	49.0	15	1.1			
	L ₆₄	46.3	47.9	13	1.1			
		283 46.0	— 3 48.6	13	1.0	Δ	358°,-5°	
974	R ₁₃	283 52.5	10 15.4	129	0.8			
	L ₆₆	52.7	18.7	138	0.7	Bogen n. O gekrümmt	11,1	
		283 52.6	10 17.0	134	0.8			
975	R ₁₀	283 56.0	— 0 50.5	84	0.6			
	L ₆₇	55.1	48.9	109	0.7			
		283 55.6	— 0 49.7	96	0.7	Stab SW-NO	361,-4	Ch. Nr. 567
976	R ₁₀	283 54.2	— 4 31.7	69	0.8			
	L ₆₃	57.6	31.5	39	1.1			
	L ₆₄	55.8	30.4	70	0.7			
		283 55.9	— 4 31.2	59	0.9	ell. SW-NO	358,-6	
977	R ₁₀	284 8.9	— 4 32.0	72	1.8			
	L ₆₃	12.2	32.6		1.5			
	L ₆₄	14.8	32.0	128	1.2			
		284 12.0	— 4 32.2	100	1.5	Keule SW-NO	358,-6	
978	R ₁₀	284 18.7	— 1 3.9	84	0.8			
	L ₆₇	17.0	6.1	192	0.5	unrglm.		
		284 17.8	— 1 5.0	138	0.7	lgl. SW-NO	360,-5	
979	R ₁₃	284 23.8	10 32.6	204	1.6			
	L ₆₆	23.3	35.5	186	1.1	unrglm.		
		284 23.5	10 34.0	195	1.4	lgl. O-W	11,1	
980	R ₁₃	284 24.1	13 29.4	11	1.2			
	L ₆₆	24.7	30.0	15	0.7			
		284 24.4	13 29.7	13	0.9	Δ NS	14,2	
981	R ₁₃	284 28.0	12 40.3	197	1.6			
	L ₆₆	21.1	42.0	96	1.1	schmales Band OW	13,2	
		284 24.6	12 41.2	147	1.4			
982	R ₁₀	284 24.8	— 7 2.0	18	0.3			
	L ₆₃	28.4	4.8	27	0.4			
	L ₆₄	26.9	2.9	16	—			
		284 26.7	— 7 3.2	20	0.4	□	355,-7	
983	R ₁₃	284 30.5	13 26.2	15	1.6			
	L ₆₆	30.4	28.7	19	1.1			
		284 30.5	13 27.5	17	1.4	Δ	14,2	
984	R ₁₀	284 36.0	— 0 47.7	18	0.5			
	L ₆₇	34.3	46.2	37	0.7			
		284 35.2	— 0 47.0	27	0.6	lgl. NS	361,-5	
985	R ₁₃	284 36.8	17 45.7	68	1.2			
	L ₆₆	37.5	43.0	59	0.7	unrglm.		
		284 37.1	17 44.4	63	1.0	lgl. SO-NW	18,4	
986	R ₁₀	284 42.5	— 5 32.0	18	0.6			
	L ₆₃	47.4	31.9	16	0.7			
	L ₆₄	44.9	30.0	15	1.1			
		284 44.9	— 5 31.3	16	0.8	lgl. NS	357,-7	
987	R ₁₀	284 49.2	— 0 52.0	17	0.5			
	L ₆₇	45.3	54.8	34	0.7			
		284 47.3	— 0 53.4	25	0.6	lgl. SW-NO	361,-4	

Nr.	Roß Lick	α_{1950}	δ_{1950}	Fläche	A_m	Form	I. b. gal.	Barnard Chawtasi
988	R ₁₀ L ₆₄	284°48'8 54.0	— 4°32'9 33.3	110 149	0.8 0.5			
		284 51.4	— 4 33.1	130	0.7	Stab SW-NO	358°-6°	
989	R ₁₀ L ₆₃ L ₆₄	284 48.1 53.5 52.8	— 5 34.4 40.0 38.4	15 17 13	0.6 0.5 0.7			
		284 51.4	— 5 37.6	15	0.6	lgl. SO-NW	357,-7	16, 14
990	R ₁₃ L ₆₆	284 53.0 52.9	17 36.0 33.1	30 33	0.6 1.1	rd.		18,4
		284 53.0	17 34.6	32	0.9			
991	R ₁₀ L ₆₄	284 53.9 58.4	— 5 24.7 21.9	43 40	0.8 1.1	ell. OW	358,-7	
		284 56.2	— 5 23.3	42	1.0			
992	R ₁₃ L ₆₆	285 1.7 3.7	18 6.6 5.0	242 167	0.6 0.5			
		285 2.7	18 5.8	205	0.6	lgl. NS		18,4
993	R ₁₃ L ₆₆	285 1.9 4.5	17 39.9 35.1	109 85	0.6 0.5	Bogen n. W gekr.		
		285 3.2	17 17.5	97	0.6			17,4
994	R ₁₀ L ₆₄	285 6.5 9.3	— 7 1.7 3.0	34 27	0.3 0.4	Stäbchen SO-NW	356,-8	
		285 7.7	— 7 2.4	31	0.4			
995	R ₁₀ L ₆₄	285 7.7 9.1	— 3 54.8 58.3	206 203	1.2 1.1			
		285 8.4	— 3 56.6	205	1.2	Keule NS	359,-6	
996	R ₁₀ L ₆₄	285 12.2 15.7	— 3 36.3 35.0	23 27	1.2 0.7			
		285 14.0	— 3 35.6	25	1.0	ell. NS	360,-6	
997	R ₁₀ L ₆₇	285 19.0 16.1	— 1 46.2 46.8	84 140	0.6 0.5			
		285 17.5	— 1 46.5	112	0.6	lgl. OW	361,-5	
998	R ₁₃ L ₆₆	285 23.3 19.1	17 20.5 27.1	17 27	0.8 0.5			
		285 21.2	17 23.8	22	0.7	ell. SO-NW		18,4
999	R ₁₀ L ₆₄	285 21.0 24.9	— 4 31.5 33.0	87 136	1.6 1.0	Stab		
		285 23.0	— 4 32.3	111	1.3	ONO-WSW	359,-7	
1000	R ₁₃ L ₆₆	285 23.5 23.3	13 3.7 6.0	106 111	0.6 0.5			
		285 23.4	13 4.8	108	0.6	schmales krummes Band SW-NO		14,1
1001	R ₁₃ L ₆₆	285 29.7 32.1	16 20.1 19.5	18 22	0.8 0.4			
		285 30.9	16 19.8	20	0.6	□ NS	17,3	
1002	R ₁₃ L ₆₆	285 32.1 33 .4	17 12.8 15.9	124	1.2 0.8			
		285 32.7	17 14.4	124	1.0	rd.		18,3
1003	R ₁₃ L ₆₆	285 52.8 50.3	15 43.4 43.7	32 69	0.8 0.5			
		285 51.6	15 43.6	50	0.7	Stäbchen OW		17,2

Nr.	Roß Lick	α_{1950}	δ_{1950}	Fläche	Δm	Form	l. b. gal.	Barnard Chawtasi
1004	R_{10} L_{64}	285°52'8	- 6°53'6	50	1.2	lgl. SO-NW	357°-8°	
		55.9	54.7	51	1.1			
1005	R_{13} L_{66}	285 54.4	- 6 54.2	51	1.2	Knie n. O	18,3	
		285 54.0	17 10.6	64	0.6			
1006	R_{13} L_{66}	285 55.2	8.5	59	0.5	Sichel	17,2	
		285 54.6	17 9.6	62	0.6			
1007	R_{10} L_{59}	285 53.0	16 11.7	38	0.8	lgl. SW-NO	6,4	
		285 58.1	13.0	59	0.5			
1008	R_{10} L_{64}	285 55.5	16 12.4	48	0.7	Δ	357,-8	
		285 57.6	3 36.3	34	0.5			
1009	R_{13} L_{66}	286 0.3	37.1	43	0.5	lgl. OW	18,3	
		285 58.9	3 36.7	38	0.5			
1010	R_{13} L_{66}	286 4.1	- 6 18.7	12	0.6	schmaler Bogen n. SW gekr.	13,1	
		5.1	19.3	13	0.7			
1011	R_{13} L_{66}	286 4.6	- 6 19.0	13	0.7	lgl. NNO-SSW	17,3	
		286 5.2	17 6.6	33	1.2			
1012	R_{10} L_{67}	6.0	4.9	33	0.8	lgl. SW-NO	363,-5	
		286 5.6	17 5.7	33	1.0			
1013	R_{10} L_{67}	286 5.7	11 33.5	121	0.8	unrglm. lgl. OW	362,-6	
		8.2	31.5	111	0.5			
1014	R_{10} L_{67}	286 7.0	11 32.4	116	0.7	lgl. NS	7,-4	
		286 12.5	16 26.1	30	1.2			
1015	R_{10} L_{67}	11.5	22.1	74	0.8	lgl. SW-NO	6,-4	
		286 12.0	16 24.1	52	1.0			
1016	R_{13} L_{66}	286 13.0	- 0 10.2	41	0.3	unrglm. lgl. NS	18,2	
		12.4	12.4	58	0.4			
1017	R_{13} L_{66}	286 12.7	- 0 11.3	50	0.4	Δ	17,2	
		286 10.7	- 0 46.8	84	0.5			
1018	R_{10} L_{67}	14.9	49.5	140	0.7	Stäbchen SW-NO	363,-5	
		286 12.8	- 0 48.2	112	0.6			
1019	R_{10} L_{67}	286 13.7	4 1.4	32	0.6	lgl. SW-NO	6,4	
		15.5	3.6	45	0.7			
1020	R_{10} L_{67}	286 14.6	4 2.5	38	0.7	lgl. SW-NO	6,-4	
		286 17.9	+ 3 29.7	23	0.6			
1021	R_{13} L_{66}	286 18.3	17 14.2	106	1.1	unrglm. lgl. NS	18,2	
		19.5	15.1	108	0.7			
1022	R_{13} L_{66}	286 18.9	17 14.7	107	0.9	Δ	363,-5	
		286 22.3	16 32.4	27	1.2			
1023	R_{10} L_{67}	23.0	31.2	48	0.7	lgl. SW-NO	6,4	
		286 22.6	16 31.8	37	1.0			
1024	R_{10} L_{67}	286 25.1	- 0 3.2	23	0.3	lgl. SW-NO	18,2	
		23.3	4.8	43	0.5			
1025	R_{10} L_{67}	286 24.2	- 0 4.0	33	0.4	unrglm. lgl. NS	363,-5	
		286 23.2	4 3.5	53	0.6			
1026	R_{10} L_{67}	26.4	3.8	52	0.7	lgl. SW-NO	6,4	
		286 24.8	4 3.7	53	0.7			

Nr.	Roß Lick	α_{1950}	δ_{1950}	Fläche	Δm	Form	l. b. gal.	Barnard Chawtasi
1020	R ₁₃	286°29'8	17°28'1	61	0.5	lgl. SSW-NNO	18°3°	
	L ₆₆	33.0	27.9	108	0.5			
1021	R ₁₃	286 31.4	17 28.0	85	0.5	Stäbchen OW	16,1	
	L ₆₆	31.8	14 38.3	27	0.6			
1022	R ₁₃	286 31.8	35.8	37	0.5	Δ OW	17,1	
	L ₆₆	35.9	14 37.0	32	0.6			
1023	R ₁₃	286 36.0	15 25.9	33	0.6	Δ NS	19,2	
	L ₆₆	48.5	25.3	30	0.7			
1024	R ₁₀	286 42.8	17 47.6	42	0.6	schmales Band SO-NW	361,-7	
	L ₆₇	52.3	43.8	74	1.0			
1025	R ₁₃	286 45.6	17 45.7	58	0.8	ell. OW	16,1	
	L ₆₆	51.8	— 1 58.4	549	0.6			
1026	R ₁₀	286 51.3	— 2 1.0	203	1.1	Knie n. W gekrümmt	5,-5	
	L ₆₇	58.0	— 1 59.7	376	0.9			
1027	R ₁₀	286 54.9	14 36.0	35	0.6	Stäbchen SW-NO	3,-6	
	L ₆₇	58.3	34.8	66	0.5			
1028	R ₁₃	286 55.2	14 35.4	50	0.6	lgl. SSO-NNW	17,1	
	L ₆₆	58.9	1 3.9	99	0.6			
1029	R ₁₃	286 58.9	4.7	140	0.7	rd.	14,-1	
	L ₆₆	59.1	1 4.3	120	0.7			
1030	R ₁₀	286 58.4	0 16.0	38	0.6	Propeller WSW-ONO	363,-6	
	L ₆₇	58.3	16.6	43	0.5			
1031	R ₁₃	286 58.4	0 16.3	41	0.6	lgl. OW	14,-1	
	L ₆₆	58.9	15 55.9	13	0.6			
1032	R ₁₃	286 59.0	54.6	22	0.5	rd.	16,0	
	L ₆₆	59.0	15 55.2	18	0.6			
1033	R ₁₃	287 3.7	11 50.2	8	1.2	Δ OW	15,0	
	L ₆₆	58.1	49.3	22	0.5			
1034	R ₁₀	287 0.9	11 49.8	15	0.9	Stäbchen SSO-NNW	363,-7	
	L ₆₇	11.1	— 0 26.6	72	1.2			
1035	R ₁₃	287 11.4	27.0	134	1.1	unregelm. lgl. NO-SW	Ch. Nr. 597	
	L ₆₆	11.6	— 0 26.8	103	1.2			
1036	R ₁₃	287 13.7	11 55.8	9	0.6	rd.	16,0	
	L ₆₆	15.0	57.0	27	0.5			
1037	R ₁₃	287 14.4	11 56.4	18	0.6	lgl. OW	15,0	
	L ₆₆	30.4	14 15.0	15	0.8			
1038	R ₁₃	287 30.9	15.3	22	0.5	Δ OW	363,-7	
	L ₆₆	31.7	14 15.2	18	0.7			
1039	R ₁₃	287 32.4	13 32.0	73	0.6	Stäbchen SSO-NNW	Ch. Nr. 597	
	L ₆₆	31.7	29.9	93	0.7			
1040	R ₁₀	287 32.4	13 31.0	83	0.7	unregelm. lgl. NO-SW	Ch. Nr. 597	
	L ₆₇	31.4	— 0 53.5	107	0.6			
1041	R ₁₃	287 32.4	48.6	143	0.7	rd.	16,0	
	L ₆₆	49.7	— 0 51.0	125	0.7			
1042	R ₁₃	287 52.1	17 28.5	338	1.2	lgl. OW	15,0	
	L ₆₆	49.7	20.8	232	1.5			
1043	R ₁₃	287 50.9	17 24.7	287	1.4	lgl. OW	363,-7	
	L ₆₆	50.9	17 24.7	287	1.4			

Nr.	Roß Lick	α_{1950}	δ_{1950}	Fläche	A_m	Form	l. b. gal.	Barnard Chawtasi
1036	R ₁₃ L ₆₆	287° 56' 2	16° 24' 5	30	0.8	ell. NO-SW	18°, 1°	
		56.6	23.5	67	1.1			
1037	R ₁₃ L ₇₀	287 56.4	16 24.0	48	1.0	Bogen n. W gekr. langer, schmaler n. W. gekr.	26,5	Ch. Nr. 598
		287 58.6	25 30.0	280	1.2			
1038	R ₁₀ L ₆₇	287 59.8	32.7	215	0.7	Bogen	4,-7	
		287 59.2	25 31.4	248	1.0			
1039	R ₁₃ L ₆₆	288 15.3	0 1.1	1676	0.6	langer, schmaler n. W. gekr.		
		18.5	2.2	1521	0.7			
1040	R ₁₃ L ₆₆	288 16.9	0 1.7	1598	0.7	Bogen	4,-7	
		288 18.8	13 30.8	76	0.8			
1041	R ₁₃ L ₆₉	288 16.9	29.7	65	0.5	Δ NS	17,0	
		288 17.8	13 30.3	70	0.7			
1042	R ₁₃ L ₇₀	288 36.3	15 33.9	53	1.2	rd.	18,1	
		36.9	36.5	56	0.8			
1043	R ₁₃ L ₆₉	288 36.6	15 35.2	55	1.0	ell. NS	11,-4	
		288 52.5	8 20.5	79	1.6			
1044	R ₁₃ L ₇₀	288 53.0	20.3	70	1.1	oval OW	11,-5	B. 141, 330
		288 52.8	8 20.4	75	1.4			
1045	R ₁₃ L ₇₀	289 11.1	23 21.3	61	1.2	lgl. NS	25,3	
		10.8	16.6	85	1.1			
1046	R ₁₃ L ₇₀	289 11.0	23 18.9	73	1.2	oval OW	11,-5	B. 141, 330
		289 17.4	7 28.4	575	1.6			
1047	R ₁₃ L ₇₀	16.0	30.1	430	1.1	ell. NO-SW	25,3	Ch. Nr. 614
		289 16.7	7 29.2	502	1.4			
1048	R ₁₃ L ₇₁ L ₆₉	289 23.7	23 25.4	79	1.2	Sichel gekr. n. WSW	24,2	
		25.8	21.3	112	0.8			
1049	R ₁₃ L ₇₀	289 24.8	23 23.4	96	1.0	lgl. NO-SW	24,2	
		289 31.9	22 3.4	73	0.8			
1050	R ₁₃ L ₇₁ L ₆₉	30.2	4.0	77	0.7	unrglm. m. 4 Armen	24,2	
		298 31.1	22 3.7	75	0.8			
1051	R ₁₃ L ₇₀	290 4.7	21 54.9	129	0.6	lgl. OW	13,-6	
		289 58.6	55.6	122	0.7			
1052	R ₁₃ L ₇₀	290 1.6	21 55.3	126	0.7	Bogen gekr. n. NNW	26,2	Ch. Nr. 619
		290 41.9	22 56.5	666	1.6			
1053	R ₁₃ L ₇₀	39.0	23 5.6	770	1.1	Sichel gekr. n. O	13,-6	B. 141, 332
		290 40.4	23 1.1	718	1.4			
1054	R ₁₃ L ₇₁ L ₆₉	291 11.2	8 34.7	30	0.8	lgl. OW	13,-6	
		7.2	36.1	32	1.1			
1055	R ₁₃ L ₇₀	8.9	35.3	36	1.1	Bogen gekr. n. NNW	26,2	Ch. Nr. 619
		291 9.1	8 35.7	33	1.0			
1056	R ₁₃ L ₇₀	291 14.1	23 59.2	260	1.6	Sichel gekr. n. O	27,1	
		16.0	53.6	257	1.1			
1057	R ₁₃ L ₇₁ L ₆₉	291 15.0	23 56.4	259	1.4	lgl. NS	27,1	
		291 27.6	8 49.6	53	1.6			
1058	R ₁₃ L ₇₁ L ₆₉	31.1	49.8	46	1.1	lgl. NS	27,1	
		28.2	48.7	58	1.1			
1059	R ₁₃ L ₇₀	291 29.0	8 49.4	52	1.3	Sichel gekr. n. O	27,1	
		291 58.9	24 16.0	30	0.8			
1060	R ₁₃ L ₇₀	58.7	18.0	22	0.7	lgl. NS	27,1	
		291 58.8	24 17.0	26	0.8			

Nr.	Roß Lick	α_{1950}	δ_{1950}	Fläche	A_m	Form	l. b. gal.	Barnard Chawtasi
1052	R ₁₃	292° 4'3	9° 18'1	39	0.8			
	L ₇₁	3.6	17.9	46	0.7			
	L ₆₉	4.7	17.2	50	1.1			
		292 4.2	9 17.7	45	0.9	ell. NO-SW	14°-6°	
1053	R ₁₃	292 11.4	7 40.1	15	1.2			
	L ₇₁	9.3	37.7	18	0.7			
	L ₆₉	10.0	38.8	18	0.7			
		292 10.2	7 38.9	17	0.9	Δ n. NO	13,-7	
1054	R ₁₃	292 14.1	24 15.3	39	1.2			
	L ₇₀	14.1	15.5	34	0.8			
		292 14.1	24 15.4	37	1.0	ell. OW	27,1	
1055	R ₁₃	292 26.6	9 3.2	42	0.6			
	L ₇₁	28.4	4.3	37	0.7			
	L ₆₉	29.1	3.2	40	1.1			
		292 28.0	9 3.6	40	0.8	lgl. SW-NO	14,-7	
1056	R ₁₃	292 32.7	7 43.4	11	0.6			
	L ₇₁	26.4	46.0	16	0.7			
	L ₆₉	32.0	42.0	8	0.5			
		292 30.4	7 43.8	12	0.6	lgl. SW-NO	13,-7	
1057	R ₁₃	292 38.4	7 41.7	6	0.5			
	L ₇₁	33.5	43.9	8	0.4			
	L ₆₉	38.7	40.3	8	0.5			
		292 36.9	7 42.0	7	0.5	rd.	13,-8	
1058	R ₁₃	292 50.1	7 36.8	13	0.5			
	L ₇₁	51.3	37.8	14	0.7			
	L ₆₉	49.7	36.9	36	0.5			
		292 50.4	7 37.2	21	0.6	Δ n. NO		
1059	R ₁₃	292 50.1	7 44.0	15	0.6			
	L ₇₁	51.5	7 46.6	9	0.7			
	L ₆₉	51.9	45.9	10	0.7	kl. Bogen		
		292 51.1	7 45.5	11	0.7	gekr. n. N	13,-8	
1060	R ₁₃	292 50.0	9 7.9	23	0.6			
	L ₇₁	50.6	5.2	27	0.7			
	L ₆₉	53.5	4.7	36	1.1			
		292 51.4	9 5.9	29	0.8	rd.	14,-7	
1061	R ₁₃	293 9.0	12 13.9	38	0.8			
	L ₇₁	13.0	16.9	37	0.7			
	L ₆₉	12.1	16.0	46	0.5			
		293 11.4	12 15.6	40	0.7	Bogen n. NW	17,-5	B. 334 Ch. Nr. 631
1062	R ₁₃	293 28.2	12 23.5	9	1.2			
	L ₇₁	24.1	24.9	16	0.8			
	L ₆₉	26.8	24.6	16	0.7			
		293 26.4	12 24.3	14	0.9	lgl. NNW	17,-6	
1063	R ₁₃	293 28.4	7 42.3	9	0.8			
	L ₇₁	26.2	38.1	16	0.7			
	L ₆₉	29.3	45.9	10	0.7			
		293 28.0	7 42.1	12	0.7	lgl. NS	13,-8	
1064	R ₁₃	293 28.7	7 33.2	11	1.2			
	L ₇₁	26.0	29.9	16	0.7			
	L ₆₉	30.8	32.7	10	0.7			
		293 28.5	7 31.9	12	0.9	lgl. NS	13,-8	

Nr.	Roß Lick	α_{1950}	δ_{1950}	Fläche	Δm	Form	l. b. gal.	Barnard Chawtasi
1065	R ₁₃	293°36'.3	12°29'.5	15	0.8	rd.	17°-6°	
	L ₇₁	33.8	33.0	15	1.1			
	L ₆₉	34.2	28.7	18	0.7			
1066	R ₁₃	293 34.8	12 30.4	16	0.9	rd.	17°-6°	B. 41, 336 Ch. Nr. 632
	L ₇₁	36.4	12 12.8	8	1.2			
	L ₆₉	37.3	13.4	9	1.2			
1067	R ₁₃	293 36.7	12 13.5	28	1.1	kl. Bogen n. NO	17,-6	
	L ₇₁	36.8	12 13.2	15	1.2			
	L ₆₉	39.3	7 29.8	33	1.6			
1068	R ₁₃	293 40.5	7 29.5	45	1.3	unrglm.	14,-8	B. 14, 335
	L ₇₁	40.8	12 20.9	15	1.2			
	L ₆₉	43.9	22.0	26	0.7			
1069	R ₁₃	293 42.4	12 21.7	32	1.0	lgI. SO-NW	17,-6	B. 41, 337
	L ₇₁	42.4	8 6.5	30	0.5			
	L ₆₉	21.9	5.8	37	0.4			
1070	R ₁₃	294 20.4	8 8.1	36	0.7	lgI. SW-NO	14,-9	B. 41, 142 Ch. Nr. 644
	L ₇₁	20.5	8 6.8	34	0.5			
	L ₆₉	21.9	10 23.7	204	1.2			
1071	R ₁₃	294 21.7	10 24.2	156	1.1	Bogen gekr. n. NO	16,-8	
	L ₇₃	32.2	24.7	138	1.5			
	R ₁₃	294 21.3	17 22.7	28	0.7			
1072	R ₁₃	294 24.1	10 24.2	166	1.3	lgI. OW	22,-4	
	L ₇₃	25.5	17 19.5	29	1.0			
	R ₁₃	294 30.4	17 28.4	45	1.2			
1073	R ₁₃	294 31.9	17 27.6	40	0.7	lgI. SO-NW	22,-4	
	L ₇₁	31.9	17 28.0	43	1.0			
	L ₆₉	31.2	7 48.8	91	0.6			
1074	R ₁₃	294 36.8	7 48.7	111	0.5	Bogen gekr. n. NO	14,-9	
	L ₇₃	37.7	46.2	83	0.7			
	R ₁₃	294 37.1	7 47.6	95	0.6			
1075	R ₁₃	294 36.8	18 46.9	21	0.6	lgI. NS	23,-3	
	L ₇₁	37.7	44.2	19	0.5			
	L ₆₉	37.2	18 45.6	20	0.6			
1076	R ₁₃	294 38.5	10 5.3	27	1.2	ell. SW-NO	16,-8	
	L ₇₁	41.5	10.2	47	0.7			
	L ₆₉	37.2	7.9	40	1.1			
1077	R ₁₃	294 43.0	10 53.1	277	1.5	Bogen gekr. n. O	17,-8	B. 41, 143
	L ₇₁	43.5	18 51.9	20	1.2			
	L ₆₉	45.2	50.0	15	0.7			
1078	R ₁₃	294 44.4	18 51.0	18	1.0	rd.	23,-4	
	L ₇₁	48.5	11 8.7	20	1.2			
	L ₆₉	49.0	9.4	22	0.7			
	R ₁₃	37.9	8.3	14	0.7	rd.	17,-8	
	R ₁₃	45.1	11 8.8	19	0.9			

Nr.	Roß Lick	α_{1950}	δ_{1950}	Fläche	Δm	Form	I. b. gal.	Barnard Chawtasi
1079	R ₁₃	294° 52' 1	7° 35' 0	61	0.6	Stäbchen SO-NW	14°,-9°	
	L ₇₁	52.1	33.8	74	0.4			
	L ₆₉	50.8	35.2	46	0.7			
1080	R ₁₃	294 51.7	7 34.7	60	0.6	Δ SW-NO	17,-8	
	L ₇₁	294 58.6	11 17.0	14	0.5			
	L ₆₉	295 0.9	18.3	27	0.5			
1081	R ₁₃	294 58.3	18.8	24	0.7	ell. OW	17,-8	
	R ₁₃	294 59.3	11 18.0	22	0.6			
	L ₇₁	295 0.6	11 2.4	20	1.2			
1082	R ₁₃	5.7	1.8	33	0.7	lgl. SSO-NNW	42,7	
	L ₇₁	2.3	1.3	22	0.7			
	L ₆₉	295 2.9	11 1.8	25	0.9			
1083	R ₁₆	295 5.0	39 51.1	17	0.6		17,-8	
	R ₁₇	5.4	50.1	17	0.8			
	L ₇₄	7.7	49.1	16	0.5			
1084	R ₁₃	295 6.0	39 50.1	17	0.6	R-eck NS	14,-10	B. 141, 338
	R ₁₃	295 9.5	7 25.0	48	1.8			
	L ₇₁	9.9	25.4	46	0.7			
1085	L ₆₉	9.3	25.4	55	1.1	pilzf. NO-SW	28,-1	
	R ₁₃	295 9.6	7 25.3	50	1.0			
	R ₁₃	295 15.6	23 52.7	409	0.6			
1086	L ₇₀	15.2	54.2	412		lgl. NS	15,-9	Ch. Nr. 653
	L ₇₃	15.5	56.1	350	0.7			
	R ₁₃	295 15.4	23 54.3	390	0.7			
1087	R ₁₃	295 21.8	8 40.4	33	0.8	ell. SO-NW	22,-5	
	L ₇₁	22.0	39.5	24	0.7			
	L ₆₉	21.5	40.6	46	1.1			
1088	R ₁₃	295 21.8	8 40.2	34	0.9	ell. NS	15,-10	B. 141, 339 Ch. Nr. 653 ?
	R ₁₃	295 22.9	16 55.0	18	0.5			
	L ₇₃	24.4	53.7	15	0.7			
1089	R ₁₃	295 23.6	16 54.4	17	0.6		24,-4	
	R ₁₃	295 24.9	8 27.4	35	1.2			
	L ₇₁	23.6	26.5	33	0.7			
1090	L ₆₉	23.7	27.9	48	0.7	Δ	15,-9	
	R ₁₃	295 24.1	8 27.3	39	0.9			
	R ₁₃	295 29.2	18 34.8	18	0.8			
1091	L ₇₃	28.9	30.0	32	0.5	Δ SW-NO	24,-4	
	R ₁₃	295 29.0	18 32.6	25	0.7			
	R ₁₃	295 31.1	9 4.5	30	0.6			
1092	L ₇₁	28.0	8 58.7	24	0.4	ell. NS	24,-4	
	L ₆₉	31.2	9 5.2	22	0.5			
	R ₁₃	295 30.1	9 2.8	25	0.5			
1093	R ₁₃	295 31.1	18 41.9	23	0.8	Stäbchen NS	24,-4	
	L ₇₃	33.1	38.2	24	0.5			
	R ₁₃	295 32.1	18 40.0	24	0.7			
1094	R ₁₃	295 35.5	18 55.1	18	0.8		22,-5	
	L ₇₃	37.1	56.6	28	0.7			
	R ₁₃	295 36.3	18 55.8	23	0.8			
1095	R ₁₃	295 37.2	16 46.5	27	0.5	ell. OW	22,-5	
	L ₇₃	37.0	46.3	28	0.7			
		295 37.1	16 46.4	28	0.6			

Nr.	Roß Lick	α_{1950}	δ_{1950}	Fläche	Δm	Form	l. b. gal.	Barnard Chawtasi
1093	R ₁₃	295°40'1	23°15'3	101	0.6			
	L ₇₀	47.7	16.7	172				
	L ₇₃	38.8	19.3	104	0.7			
		295 42.2	23 17.1	129	0.7	Stab SO-NW	28°,-2°	
1094	R ₁₆	295 47.5	32 44.5	22	0.8			
	R ₁₇	44.4	37.5	18	1.2			
	L ₇₄	46.0	41.0	16	0.7			
		295 46.0	32 41.0	19	0.9	lg. SW-NO	36,3	
1095	R ₁₆	295 49.0	30 39.1	22	0.8			
	R ₁₇	47.6	31.1	16	1.2			
	L ₇₄	43.9	34.5		0.7			
		295 46.8	30 34.5	19	0.9	Δ	34,2	
1096	R ₁₃	295 56.8	7 36.6	33	0.8			
	L ₇₁	56.0	39.2	48	1.1			
	L ₆₉	56.7	36.2	74	0.7			
		295 56.5	7 37.3	52	0.9	Δ	14,-10	
1097	R ₁₆	295 57.5	32 45.5	15	0.6			
	R ₁₇	55.6	39.8	21	0.8			
	L ₇₄	56.3	42.1	18	0.5			
		295 56.5	32 42.5	18	0.6	lg. N-S	36,3	
1098	R ₁₃	296 1.4	18 52.4	24	1.2			
	L ₇₃	295 52.4	52.0	18	0.7			
		295 56.9	18 52.2	21	1.0	Stäbchen SW-NO	24,-4	
1099	R ₁₆	296 1.8	30 44.0	32	0.6			
	R ₁₇	295 59.0	37.7	53	0.8			
	L ₇₄	295 55.8	41.2	35	0.7			
		295 58.9	30 41.0	40	0.7	lg. N-S	34,2	
1100	R ₁₆	295 59.6	30 56.4	17	0.8			
	R ₁₇	296 3.9	51.4	14	1.2			
	L ₇₄	295 58.2	51.7	15	1.1			
		296 0.6	30 53.2	15	1.0	rd.	34,2	
1101	R ₁₃	296 3.8	18 52.2	23	1.2			
	L ₇₃	3.5	53.4	15	0.7			
		296 3.7	18 52.8	19	1.0	Stäbchen SW-NO	24,-5	
1102	R ₁₃	296 6.6	7 6.0	115	0.8			
	L ₇₁	5.2	8.4	249	0.5			
	L ₆₉	9.8	6.8	160	0.7	Bogen		
		296 7.2	7 7.1	175	0.6	gekr. n. NO	14,-11	
1103	R ₁₆	296 12.7	31 49.1	290	0.6			
	R ₁₇	11.7	43.6	307	0.6			
	L ₇₄	15.0	51.0	231	0.5			
		296 13.1	31 47.9	276	0.6	unrglm. lg. O-W	35,2	
1104	R ₁₆	296 13.7	32 42.4	32	0.5			
	R ₁₇	14.7	38.8	25	0.8			
	L ₇₄	15.3	36.4	26	0.5			
		296 14.6	32 39.2	28	0.7	Igl. SO-NW	36,3	
1105	R ₁₃	296 15.3	18 16.3	15	0.8			
	L ₇₃	17.5	16.3	15	0.5			
		296 16.4	18 16.3	15	0.7	rd. m. Kern	24,-5	

Nr.	Roß Lick	α_{1950}	δ_{1950}	Fläche	Δm	Form	l. b. gal.	Barnard Chawtasi
1106	R ₁₃	296°17.3	18°50'.3	15	0.6	lgl. SW-NO	24°,-5°	
	L ₇₃	16.1	49.5	15	1.1			
1107	R ₁₃	296 16.7	18 49.9	15	0.9	Sichel gekr. n. S	28,-2	
	R ₁₃	296 25.5	23 21.2	91	0.8			
	L ₇₀	25.5	21.2	112	1.1			
	L ₇₃	26.0	20.6	146	1.1			
1108	R ₁₆	296 25.7	23 21.0	116	1.0	Sichel gekr. n. S	28,-2	
	R ₁₆	296 28.5	30 51.6	18	0.6			
	R ₁₇	26.4	45.2	21	0.8			
	L ₇₄	25.9	47.4	29	1.1			
1109	R ₁₃	296 26.9	30 48.0	23	0.8	lgl. SO-NW	35,1	
	R ₁₃	296 34.1	7 31.9	27	0.6			
	L ₇₁	35.4	31.1	20	0.7			
	L ₆₉	35.2	32.7	24	1.1			
1110	R ₁₃	296 34.9	7 31.9	24	0.8	□	15,-11	
	R ₁₃	296 37.0	11 15.4	30	1.2			
	L ₇₁	40.4	13.1	26	0.7			
	L ₆₉	36.6	14.9	42	1.1			
1111	R ₁₃	296 38.0	11 14.5	33	1.0	lgl. SW-NO	18,-9	B. 141, 340
	R ₁₃	296 40.5	11 28.2	8	0.8			
	L ₇₁	43.8	26.3	22	0.8			
	L ₆₉	41.9	25.4	28	0.5			
1112	R ₁₃	296 42.1	11 26.6	19	0.7	lgl. SW-NO	18,-9	
	R ₁₃	296 50.1	7 42.3	24	0.6			
	L ₇₁	51.2	40.4	24	0.5			
	L ₆₉	49.7	41.9	28	0.7			
1113	R ₁₆	296 50.3	7 41.5	25	0.6	lgl. SW-NO	15,-11	
	R ₁₇	297 0.6	33 9.9	21	0.6			
	L ₇₄	296 59.9	5.6	29	0.8			
	L ₇₄	58.5	7.1	15	0.5			
1114	R ₁₃	296 59.7	33 7.5	22	0.6	Stäbchen SW-NO	37,2	
	R ₁₃	297 1.5	22 38.5	61	0.6			
	L ₇₀	1.9	39.2	51	0.7			
	R ₁₃	297 1.7	22 38.8	56	0.7			
1115	R ₁₃	297 3.7	25 16.1	151	0.8	Sichel gekr. n. NO	28,3	
	L ₇₀	5.2	14.3	120	0.7			
	R ₁₆	297 4.5	25 15.2	136	0.8			
	R ₁₆	297 4.1	22 53.7	42	0.6			
1116	L ₇₃	6.8	54.2	28	0.5	lgl. OW	30,-2	
	R ₁₆	297 5.5	22 54.0	35	0.6			
	R ₁₆	297 12.6	33 25.4	26	0.8			
	R ₁₇	5.8	22.5	35	1.2			
1117	L ₇₄	8.4	24.7	29	0.7	lgl. SW-NO	28,-3	
	R ₁₆	297 8.9	33 24.2	30	0.9			
	R ₁₆	297 11.6	22 32.8	23	0.8			
	L ₇₃	9.6	32.4	24	0.5			
1118	R ₁₆	297 10.6	22 32.6	24	0.7	oval SW-NO	37,2	
	R ₁₆	297 14.6	22 21.4	38	0.8			
	R ₁₃	297 13.1	10 6.7	38	0.5			
	L ₇₁	16.6	8.1	46	0.4			
1119	L ₆₉	16.1	8.2	37	0.5	lgl. N-S	28,-3 28,-4	
	R ₁₃	297 15.3	10 7.7	40	0.5			
	R ₁₃	297 15.3	10 7.7	40	0.5			

Nr.	Roß Lick	α_{1950}	δ_{1950}	Fläche	A_m	Form	l. b. gal.	Barnard Chawtasi
1121	R ₁₃	297°17'6	22°55'.1	12	0.6	Δ	28°-3°	
	L ₇₀	19.4	56.6	12	0.5			
	L ₇₃	14.4	57.2	18				
1122	R ₁₆	297 17.1	22 56.3	14	0.6	Δ	43,6	
	R ₁₇	297 21.2	40 22.9	27	0.8			
	L ₇₄	21.5	26.1	17	1.2			
1123	R ₁₆	297 22.2	24.1	17	0.7	lgl. SW-NO schmaler Stab SO-NW	34,0	
	R ₁₇	297 32.2	30 16.3	113	0.6			
	L ₇₄	29.3	9.8	61	0.8			
1124	R ₁₆	297 25.6	18.1		1.1	lgl. O-W	43,6	
	R ₁₇	297 29.0	30 14.7	87	0.8			
	L ₇₄	31.1	40 27.5	30	0.6			
1125	R ₁₆	297 31.8	29.8	17	0.8	lgl. O-W	40,4	
	R ₁₇	31.6	26.3	17	0.5			
	L ₇₄	31.5	40 27.9	21	0.6			
1126	R ₁₆	297 38.2	36 34.1	23	0.8	lgl. N-S	42,5	
	R ₁₇	39.8	32.4	23	0.6			
	L ₇₄	42.5	29.3	36	0.4			
1127	R ₁₆	297 40.2	36 31.9	27	0.6	rd.	42,5	
	R ₁₇	47.6	39 10.4	17	0.6			
	L ₇₄	49.5	10.6	15	0.6			
1128	R ₁₆	297 47.0	7.9	15	0.5	rd.	42,5	
	R ₁₇	48.0	39 9.6	16	0.6			
	L ₇₄	52.4	39 13.8	15	0.8			
1129	R ₁₆	297 52.8	14.4	13	0.6	lgl. OW	30,-3	
	R ₁₇	52.8	12.6	15	0.5			
	L ₇₄	52.7	39 13.6	14	0.6			
1130	R ₁₆	297 58.9	24 21.6	129	0.8	lgl. O-W	40,3	
	R ₁₇	54.5	21.0	112	0.7			
	L ₇₄	56.7	24 21.3	120	0.8			
1131	R ₁₆	297 58.4	36 29.6	9	1.2	lgl. O-W	40,3	
	R ₁₇	55.7	29.6	7	0.8			
	L ₇₄	55.7	28.6	12	0.7			
1132	R ₁₆	297 57.1	36 29.3	9	0.9	lgl. N-S	39,3	
	R ₁₇	1.2	35 18.6	38	0.8			
	L ₇₄	1.9	16.4	23	0.8			
1133	R ₁₆	298 1.1	15.4	29	0.5	rd.	40,3	
	R ₁₇	1.4	35 16.8	30	0.7			
	L ₇₄	11.4	36 38.4	6	0.6			
1133	R ₁₆	298 13.1	37.9	4	0.5	lgl. O-W	40,3	
	R ₁₇	11.9	36.3	5	0.5			
	L ₇₄	298 12.1	36 37.5	5	0.5			
1132	R ₁₆	298 17.1	36 40.4	17	0.6	Δ	27,-5	
	R ₁₇	16.9	39.2	5	0.5			
	L ₇₄	18.1	38.1	9	0.5			
1133	R ₁₆	298 17.4	36 39.2	10	0.5	Δ	27,-5	
	R ₁₇	19.8	21 4.6	20	1.2			
	L ₇₄	22.2	6.9	24	0.7			
1133	R ₁₆	298 21.0	21 5.7	22	1.0	Δ	27,-5	

Nr.	Roß Lick	α_{1950}	δ_{1950}	Fläche	Δm	Form	l. b. gal.	Barnard Chawtasi
1134	R ₁₆	298°24'2	36° 7'9	15	0.6	rd.	40°3°	
	R ₁₇	23.9	7.2	15	0.5			
	L ₇₄	23.0	5.0	15	0.5			
1135		298 23.7	36 6.7	15	0.5	lg. N-S	39,3	
	R ₁₆	298 26.4	35 37.6	11	0.6			
	R ₁₇	26.5	35.7	17	0.5			
1136	L ₇₄	25.7	36.0	18	0.4	lg. N-S	40,4	
		298 26.2	35 36.4	15	0.5			
	R ₁₆	298 26.7	36 41.0	11	0.5			
1137	R ₁₇	28.1	37.1	14	0.5	lg. N-S	31,-3	
	L ₇₄	28.2	36.3	10	0.4			
		298 27.7	36 38.1	12	0.5			
1138	R ₁₆	298 28.9	25 22.0	136	0.8	lg. O-W	42,4	
	R ₁₇	29.7	28.4	119	1.1			
	L ₇₄							
1139		298 29.3	25 25.2	128	1.0	lg. OW	42,4	
	R ₁₆	298 30.6	38 47.4	42	0.6			
	R ₁₇	28.7	47.4	33	0.8			
1140	L ₇₄	32.6	45.0	29	0.5	Sichel n. W	38,2	
		298 30.6	38 46.6	35	0.6			
	R ₁₆	298 35.2	38 24.0	17	0.8			
1141	R ₁₇	37.5	25.5	14	0.8	lg. OW	27,-5	
	L ₇₄	36.8	23.0	29	0.5			
		298 36.5	38 24.2	20	0.7			
1142	R ₁₆	298 37.7	34 12.4	53	0.6	lg. N	37,1	
	R ₁₇	37.6	12.3	41	0.8			
	L ₇₄	36.6	9.6	52	0.5			
1143		298 37.3	34 11.4	49	0.6	lg. N-S	40,2	B. 43, 144
	R ₁₃	298 44.7	21 17.6	38	0.6			
	L ₇₃	47.5	20.1	45	0.8			
1144		298 46.1	21 18.8	42	0.7	lg. SW-NO	43,5	
	R ₁₆	298 56.4	32 28.3	18	0.8			
	R ₁₇	52.9	23.8	23	0.8			
1145	L ₇₄	54.6	27.2	22	0.7	lg. SO-NW	40,3	
		298 54.6	32 26.4	21	0.8			
	R ₁₆	298 55.2	35 44.0	39	0.5			
1146	R ₁₇	54.6	41.8	35	0.5	lg. SW-NO	41,4	
	L ₇₄	55.7	42.7	22	0.4			
		298 55.2	35 42.8	32	0.5			
1147	R ₁₆	298 54.0	40 7.8	33	0.6	lg. SW-NO	40,3	
	R ₁₇	299 0.3	11.7	49	0.6			
	L ₇₄	298 56.8	6.5	26	0.4			
1148		298 57.0	40 8.7	36	0.5	lg. SW-NO	41,4	
	R ₁₆	299 8.4	36 13.0	6	0.6			
	R ₁₇	8.7	11.8	5	0.3			
1149	L ₇₄	8.5	9.8	9	0.5	lg. SW-NO	41,4	
		299 8.5	36 11.5	7	0.5			
	R ₁₆	299 24.5	37 21.4	27	0.6			
1150	R ₁₇	22.7	20.9	21	0.8	lg. SW-NO	41,4	
	L ₇₄	20.3	27.7	29	0.5			
		299 22.5	37 23.3	26	0.6			

Nr.	Roß Lick	α_{1950}	δ_{1950}	Fläche	A_m	Form	l. b. gal.	Barnard Chawtasi
1147	R ₁₆	299°30'7	32°37'7	35	0.5	oval SO-NW	38°1°	
	R ₁₇	24.1	35.2	29	0.6			
	L ₇₄	23.1	39.2	40	0.4			
1148	R ₁₆	299 25.9	32 37.4	35	0.5	Stäbchen SW-NO	42,3	
	R ₁₇	299 28.3	37 49.8	8	0.6			
	L ₇₄	26.6	50.4	8	0.5			
1149	R ₁₆	299 28.3	47.4	13	0.5	lgl. SO-NW	42,3	
	R ₁₇	299 27.7	37 49.2	10	0.5			
	L ₇₄	32.4	36.6	14	0.8			
1150	R ₁₆	299 30.8	37 36.5	15	0.8	rd.	42,3	
	R ₁₇	32.4	35.6	15	0.5			
	L ₇₄	32.4	35.6	15	0.5			
1151	R ₁₆	299 31.9	37 36.2	15	0.7	rd.	30,-5	
	R ₁₇	299 34.1	37 53.2	8	0.6			
	L ₇₄	35.3	53.1	5	0.5			
1152	R ₁₆	299 35.1	37 52.5	7	0.5	rd.	38,0	
	R ₁₇	299 36.1	22 26.8	36	0.6			
	L ₇₄	35.3	27.2	18	0.5			
1153	R ₁₆	299 35.7	22 27.0	27	0.6	lgl. N-S	42,3	
	R ₁₇	299 34.1	32 58.0	5	0.8			
	L ₇₄	38.3	56.7	9	0.5			
1154	R ₁₆	299 36.2	32 57.3	7	0.7	lgl. O-W	31,-4	
	R ₁₇	299 37.5	37 39.9	12	0.6			
	L ₇₄	37.7	39.5	14	0.5			
1155	R ₁₆	299 38.3	37.3	10	0.5	oval N-S	38,0	
	R ₁₇	299 37.8	37 38.9	12	0.5			
	L ₇₄	41.8	32.5	26	1.1			
1156	R ₁₆	299 42.0	24 32.7	36	1.2	lgl. OW	30,-5	
	R ₁₇	299 44.5	33 1.6	6	0.8			
	L ₇₄	43.5	32 56.2	17	0.8			
1157	R ₁₆	299 44.7	32 56.2	17	0.5	rd.	31,-4	
	R ₁₇	299 44.2	32 58.0	13	0.7			
	L ₇₄	48.7	23 37.8	53	1.2			
1158	R ₁₆	299 49.0	37.1	48	1.1	schmales Δ OW	42,3	B. 43, 145 Ch. Nr. 675
	R ₁₇	299 48.8	23 37.5	50	1.2			
	L ₇₄	56.1	24 53.6	15	1.2			
1159	R ₁₆	299 56.1	48.4	16	0.7	Stäbchen SW-NO	39,1	
	R ₁₇	299 56.1	24 51.0	16	1.0			
	L ₇₄	300 14.2	37 32.3	158	0.6			
1160	R ₁₆	300 11.9	34.8	146	0.8	Stäbchen O-W	42,2	
	R ₁₇	300 11.6	32.6	217	0.7			
	L ₇₄	300 12.6	37 33.2	174	0.7			
1160	R ₁₆	300 15.0	34 22.5	63	0.8			
	R ₁₇	13.3	22.6	44	1.2			
	L ₇₄	12.8	20.7	51	0.7			
1160	R ₁₆	300 13.7	34 21.9	53	0.9			
	R ₁₇	300 58.7	37 41.4	15	0.5			
	L ₇₄	301 0.5	45.4	13	0.6			
1160	R ₁₆	301 0.8	43.7	29	0.5			
	R ₁₇	301 0.0	37 43.5	19	0.5			
	L ₇₄							

Nr.	Roß Lick	α_{1950}	δ_{1950}	Fläche	A_m	Form	l. b. gal.	Barnard Chawtasi
1161	R ₁₆	301° 8' 1	33° 50' 2	36	0.5			
	R ₁₇	8.2	46.5	43	0.6			
	L ₇₄	10.4	45.9	43	0.5			
		301 8.9	33 46.9	41	0.5	lgl. SO-NW	39°, 0°	
1162	R ₁₆	301 12.9	23 9.0	63	0.8			
	R ₁₇	13.8	8.6	65	1.1			
		301 13.3	23 8.8	64	1.0	A	30,-6	
1163	R ₁₆	301 14.5	37 38.5	17	0.8			
	R ₁₇	15.5	40.8	17	0.6			
	L ₇₄	17.9	39.3	18	0.7			
		301 16.0	37 39.5	17	0.7	Stäbchen SO-NW	43,2	
1164	R ₁₆	301 17.9	38 23.8	15	0.6			
	R ₁₇	20.9	28.0	25	0.5			
	L ₇₄	20.4	26.5	15	0.5			
		301 19.7	38 26.1	18	0.5	lgl. N-S	43,2	
1165	R ₁₆	301 24.6	37 56.3	30	0.5			
	R ₁₇	24.5	38 0.3	36	0.3	rd.		
	L ₇₄	26.6	37 57.8	39	0.4			
		301 25.2	37 58.3	31	0.4			
1166	R ₁₆	301 51.7	39 28.4	27	0.6			
	R ₁₇	53.4	35.5	38	0.6			
	L ₇₄	55.5	31.3	40	0.7			
		301 53.5	39 31.7	35	0.6	lgl. N-S	43,3	
1167	R ₁₆	302 2.7	36 8.2	9	0.5			
	R ₁₇	2.8	12.1	14	0.6			
	L ₇₄	0.5	9.3	12	0.7			
		302 2.0	36 9.9	12	0.6	lgl. O-W	41,0	
1168	R ₁₆	302 7.3	34 39.3	60	0.8			
	R ₁₇	8.1	38.7	38	0.8			
	L ₇₄	8.7	39.8	60	0.7			
		302 8.0	34 39.3	53	0.8	unrglm. O-W	40,0	
1169	R ₁₆	302 11.3	35 53.5	12	0.5			
	R ₁₇	12.0	56.0	15	0.6			
	L ₇₄	10.6	54.2	13	0.5			
		302 11.3	35 54.6	13	0.5	lgl. N-S	42,0	
1170	R ₁₆	302 11.7	35 2.6	15	1.2			
	R ₁₇	12.5	6.0	21	0.8			
	L ₇₄	10.9	3.5	15	0.7			
		302 11.7	35 4.0	17	0.9	Stäbchen N-S	41,0	
1171	R ₁₆	302 11.8	39 58.2	27	0.8			
	R ₁₇	15.3	40 3.4	39	0.6			
	L ₇₄	16.7	1.8	26	0.7			
		302 14.6	40 1.1	31	0.7	rd.	45,3	B. 243
1172	R ₁₆	302 24.1	25 54.4	53	0.8			
	R ₁₇	23.7	57.7	48	0.7			
		302 23.9	25 56.0	50	0.8	S-förmig	33,-6	
1173	R ₁₆	302 44.3	40 6.2	65	0.8			
	R ₁₇	44.8	11.9	56	0.8			
	L ₇₄	48.7	10.9	58	0.7			
		302 45.9	40 9.7	60	0.8	oval SO-NW	45,2	B. 343

Nr.	Roß Lick	α_{1950}	δ_{1950}	Fläche	Δm	Form	l. b. gal.	Barnard Chawtasi
1174	R ₁₆	302°56'5	35°21'9	48	0.8			
	R ₁₇	59.3	25.4	44	1.2			
	L ₇₄	55.1	22.6	64	0.7			
		302 57.0	35 23.3	52	0.9	Igl. O-W	41°,-1°	
1175	R ₁₆	303 10.2	24 17.7	20	0.8			
	L ₇₅	7.4	14.6	19	0.7			
		303 8.8	24 16.2	20	0.8	Igl. O-W	32,-7	
1176	R ₁₆	303 24.2	28 9.2	71	0.8			
	L ₇₅	25.4	8.0	63	1.1			
		303 24.8	28 8.6	67	1.0	Igl. N-S	34,-5	
1177	R ₁₆	303 31.9	27 21.9	45	1.2			
	L ₇₅	29.9	21.5	23	0.7			
		303 30.9	27 21.7	34	1.0	A	35,-6	
1178	R ₁₆	303 33.5	24 32.5	17	1.2			
	L ₇₅	31.4	32.0	16	0.8			
		303 32.5	24 32.3	17	1.0	rd.	32,-7	
1179	R ₁₆	304 54.7	28 56.4	42	0.8			
	L ₇₅	56.2	58.1	31	1.1			
		304 55.5	28 57.3	37	1.0	Igl. N-S	37,-6	
1180	R ₁₆	305 12.9	34 11.2	70	—			
	R ₁₇	12.3	13.2	63	1.6			
	L ₇₄	10.7	13.1	75	—			
		305 12.0	34 12.5	70	1.6	Igl. O-W	41,-3	
1181	R ₁₆	306 32.4	30 58.0	75	0.8			
	R ₁₇	29.1	59.4	115	0.8			
	L ₇₉	29.3	58.5	—	0.7			
		306 30.3	30 58.6	95	0.8	Halbmond n. NO	40,-6	
1182	R ₁₆	306 40.3	31 52.2	18	0.8			
	R ₁₇	37.3	53.1	17	0.8			
	L ₇₉	42.0	49.8	—	0.5			
		306 39.9	31 51.7	18	0.7	Igl. N-S	40,-5	
1183	R ₁₆	306 40.0	28 18.0	32	0.8			
	L ₇₅	42.7	18.2	31	0.7			
		306 41.4	28 18.1	32	0.8	Igl. SSW-NNO	37,-7	
1184	R ₁₆	306 47.8	29 54.6	54	1.2			
	R ₁₇	45.6	54.2	49	0.8			
	L ₇₉	43.7	52.1	—	1.1			
		306 45.7	29 53.6	52	1.0	Igl. N-S	38,-6	
1185	R ₁₆	306 59.3	30 1.4	109	1.2			
	R ₁₇	58.8	3.5	105	0.8			
	L ₇₉	55.3	29 57.7	—	1.1			
		306 57.8	30 0.9	107	1.0	Igl. SSW-NNO	39,-6	
1186	R ₁₆	307 29.0	28 36.3	26	0.8			
	L ₇₅	31.3	36.2	30	0.5			
		307 30.2	28 36.3	28	0.7	Halbmond gekr. n. N	38,-8	
1187	R ₁₆	307 48.7	28 1.3	45	0.8			
	L ₇₅	48.3	1.2	38	0.5			
		307 48.5	28 1.3	42	0.7	Igl. SO-NW	38,-8	
1188	R ₁₆	309 23.9	47 29.0	2	1.2			
	L ₇₇	25.7	27.9	4	0.7			
		309 24.8	47 28.5	3	1.0	Igl. NS	54.3	

Nr.	Roß Lick	α_{1950}	δ_{1950}	Fläche	A_m	Form	l. b. gal.	Barnard Chawtasi
1189	R_{18}	309°32'3	46°39'5	29	0.8	Δ	53°2°	
	L_{77}	33.4	39.0	40	0.5			
1190	R_{18}	309 32.8	46 39.3	35	0.7	lgl. SO-NW	54,3	
	L_{77}	309 39.1	47 34.6	8	0.8			
1191	R_{18}	309 38.6	33°0	3	0.7	unrglm. lgl. NO-SW	46,3	
	L_{78}	309 38.8	47 33.8	6	0.8			
1192	R_{18}	309 47.6	37 37.4	128	0.8	lgl. NS	53,2	
	L_{78}	48.6	31.6	118	0.7			
1193	R_{18}	309 48.1	37 34.5	123	0.8	rd.	53,2	
	L_{77}	310 30.5	46 24.6	20	0.8			
1194	R_{18}	310 31.6	24.0	21	0.7	rd.	42,-9	
	L_{78}	33.0	25.9	30	0.7			
1195	R_{18}	310 31.7	46 24.8	24	0.7	lgl. OW	54,2	
	L_{78}	310 41.8	46 21.5	9	0.8			
1196	R_{18}	42.7	23.3	14	0.7	lgl. N-S	42,-8	
	L_{78}	42.6	24.7	15	0.7			
1197	R_{18}	310 42.4	46 23.2	12	0.7	rd.	47,-5	
	L_{78}	310 47.8	30 33.5	12	0.6			
1198	R_{18}	47.8	37.5	16	0.8	lgl. NNO-SSW	42,-9	
	L_{79}	45.8	34.0		0.5			
1199	R_{18}	311 2.9	31 9.5	23	0.6	lgl. SW-NO	43,-9	
	R_{17}	4.1	16.2	28	0.8			
1200	R_{18}	2.8	11.1		0.5	lgl. O-W	42,-9	
	L_{79}	311 3.3	31 12.3	25	0.6			
1201	R_{18}	311 7.4	37 26.1	39	0.8	'gl. SW-NO	43,-9	
	L_{79}	10.7	21.8	30	1.1			
1202	R_{18}	311 9.0	37 24.0	35	1.0	Halbmond n. WNW	43,-5	
	R_{17}	10.3	31 13.0	33	0.8			
1202	R_{17}	11.4	18.1	31	1.2			
	L_{79}	10.5	15.0		0.7			
1202	R_{18}	311 10.7	31 15.4	32	0.9	Halbmond n. WNW	43,-5	
	R_{17}	34.1	30.3	9	0.8			
1202	R_{17}	33.6	34.2	8	0.8			
	L_{79}	34.2	32.2	8	0.5			
1202	R_{18}	311 34.0	31 32.1	8	0.7	'gl. O-W	42,-9	
	R_{17}	41.5	2.3	27	0.6			
1202	R_{17}	37.1	5.0	41	0.6	Halbmond n. WNW	43,-5	
	L_{79}	33.4	4.2		0.5			
1202	R_{18}	311 37.3	31 3.8	34	0.6	'gl. SW-NO	43,-9	
	R_{17}	41.5	29.6	6	1.2			
1202	R_{17}	41.2	33.4	11	0.8	Halbmond n. WNW	43,-5	
	L_{79}	43.9	30.0	10	0.7			
1202	R_{18}	311 42.2	31 31.0	9	0.9	'gl. SW-NO	43,-9	
	R_{17}	55.7	44.9	23	0.8			
1202	R_{17}	312 2.1	42.7	35	1.1	Halbmond n. WNW	43,-5	
	L_{79}	58.9	43.8	29	1.0			

Nr.	Roß Lick	α_{1950}	δ_{1950}	Fläche	A_m	Form	l. b. gal.	Barnard Chawtasi
1203	R ₁₈	312°16'.0	46°23'7	14	0.5	Stäbchen SO-NW	54°2°	
	L ₇₇	16.3	22.1	8	0.5			
	L ₇₈	17.0	24.0	9	0.5			
1204	R ₁₈	312 16.4	46 22.3	10	0.5		55,1	
	L ₇₇	312 24.9	47 25.0	15	0.8			
	L ₇₈	26.1	24.8	17	0.7			
1205	R ₁₈	312 25.1	26.5	14	0.7	lg. SO-NW	55,1	
	L ₇₇	312 25.4	47 25.4	15	0.7			
	L ₇₈	28.2	47 13.6	14	0.8			
1206	R ₁₈	29.1	13.8	20	0.7	lg. NS	55,1	
	L ₇₇	312 28.6	12.2	24	0.7			
	L ₇₈	50.9	47 13.2	19	0.7			
1207	R ₁₈	312 51.7	47 19.7	15	0.8	lg. NS	55,1	B. 351
	L ₇₇	51.6	17.3	14	0.8			
	L ₇₈	50.9	19.5	21	1.1			
1208	R ₁₈	312 51.4	47 18.8	17	0.9	Sichel n. S gekr.	54,0	
	L ₇₇	313 3.8	45 59.5	31	0.5			
	L ₇₈	7.9	46 5.2	35	0.4			
1209	R ₁₈	4.7	45 59.5	33	0.5	Stäbchen OSO-WNW	55,1	B. 145, 351
	L ₇₇	313 5.5	46 1.4	33	0.5			
	L ₇₈	6.0	47 7.7	15	0.6			
1210	R ₁₈	313 6.8	6.7	14	0.7	lg. NS	55,1	
	L ₇₇	313 10.0	9.2	9	1.1			
	L ₇₈	313 7.6	47 7.9	13	0.8			
1211	R ₁₈	313 19.5	47 13.1	15	0.6	unrglm. lgl. OW	54,0	
	L ₇₇	20.4	11.5	14	0.7			
	L ₇₈	19.2	13.8	9	1.1			
1212	R ₁₈	313 19.7	12.8	13	0.8	rd.	55,0	
	L ₇₇	313 40.2	45 42.6	252	1.2			
	L ₇₈	44.8	40.9	161	1.1			
1213	R ₁₈	45.9	41.4	108	1.1	A NS	54,-1	B. 353
	L ₇₇	313 43.6	45 41.6	173	1.1			
	L ₇₈	47.9	46 52.1	18	0.6			
1214	R ₁₈	48.9	53.1	24	0.5	rd.	53,-2	
	L ₇₇	48.7	52.5	24	0.7			
	L ₇₈	313 48.5	46 52.6	22	0.6			
1215	R ₁₈	313 50.3	45 19.2	34	0.8	Keule NS	53,-2	
	L ₇₇	51.7	18.3	17	0.7			
	L ₇₈	53.1	19.2	56	0.5			
1216	R ₁₈	313 51.7	45 18.9	36	0.7			
	L ₇₇	313 56.4	44 4.5	6	0.8			
	L ₇₈	56.6	5.2	8	0.5			
1217	R ₁₈	56.9	5.2	9	0.7			
	L ₇₇	313 56.6	44 5.0	8	0.7			
	L ₇₈	314 2.7	43 34.6	794	1.2			
1218	R ₁₈	313 59.2	37.0	789	1.1			
	L ₇₇	313 54.6	36.6	864	0.7			
	L ₇₈	313 58.8	43 36.1	815	1.0			
1219	R ₁₈	314 2.9	44 7.0	3	0.8	rd.	53,-2	
	L ₇₇	3.6	8.1	4	0.7			
	L ₇₈	2.8	8.4	11	0.7			
1220	R ₁₈	314 3.1	44 7.8	6	0.7			

Nr.	Roß Lick	α_{1950}	δ_{1950}	Fläche	Δm	Form	l. b. gal.	Barnard Chawtasi
1216	R ₁₈	314° 6.8	44° 57'.5	9	0.6			
	L ₇₇	6.6	57.4	8	0.4			
	L ₇₈	6.3	55.6	9	0.5			
1217	R ₁₈	314 6.6	44 56.8	9	0.5	Δ NS	54°-1°	
	314 12.7	44 10.5	17	0.6				
	L ₇₇	12.0	13.1	11	0.7			
	L ₇₈	12.4	9.9	15	0.7			
1218	R ₁₈	314 12.4	44 11.2	14	0.7	rd.	54,-2	
	314 15.3	46 54.7	14	0.6				
	L ₇₇	16.7	52.5	17	0.7			
	L ₇₈	18.3	53.4	21	0.5			
1219	R ₁₈	314 16.8	46 53.5	18	0.6	rd.	56,0	
	314 23.6	45 0.9	9	0.5				
	L ₇₇	23.5	0.8	10	0.4			
	L ₇₈	24.5	44 58.5	7	0.4			
1220	R ₁₈	314 23.9	45 0.1	9	0.4	rd.	54,-1	
	314 27.5	44 53.9	11	0.5				
	L ₇₇	26.8	54.3	8	0.4			
	L ₇₈	26.5	53.4	7	0.4			
1221	R ₁₈	314 26.9	44 53.9	9	0.4	rd.	54,-1	
	314 27.7	45 7.5	23	0.5				
	L ₇₇	28.7	7.6	32	0.4			
	L ₇₈	30.3	6.1	17	0.4			
1222	R ₁₈	314 28.9	45 7.1	24	0.4	Stäbchen		
	314 31.2	46 55.6	8	0.6	OSO-WNW	54,-1	B. 45, 353	
	L ₇₇	32.3	54.0	11	0.7			
	L ₇₈	25.8	55.7	17	0.5			
1223	R ₁₈	314 29.8	46 55.1	12	0.6	lgI. NS	56,0	
	314 32.1	44 58.2	9	0.6				
	L ₇₇	33.6	59.5	10	0.5			
	L ₇₈	32.4	57.9	7	0.4			
1224	R ₁₈	314 32.7	44 58.5	9	0.5	rd.	54,-1	
	314 38.4	43 39.2	5	0.5				
	L ₇₇	34.9	38.0	7	0.4			
	L ₇₈	30.3	37.5	9	0.3			
1225	R ₁₈	314 34.5	43 38.2	7	0.4	rd.	53,-2	
	314 38.2	46 22.1	104	1.2				
	L ₇₇	36.6	21.5	102	1.1			
	L ₇₈	37.0	22.0	108	0.7			
1226	R ₁₈	314 37.3	46 21.9	104	1.0	oval OW	55,0	Ch. Nr. 703
	314 40.1	43 33.6	2	1.2				
	L ₇₇	38.1	31.9	3	0.5			
	L ₇₈	39.4	31.9	4	0.5			
1227	R ₁₈	314 39.2	43 32.5	3	0.7	lgI. NS	53,-2	
	314 39.8	44 31.0	23	0.8				
	L ₇₇	39.6	31.1	25	0.5			
	L ₇₈	40.6	32.3	14	0.5			
1228	R ₁₈	314 40.0	44 31.5	21	0.6	Stäbchen		
	314 43.7	43 39.6	34	0.6	ONO-WSW	54,-2		
	L ₇₇	43.9	39.7	24	0.4			
	L ₇₈	42.1	40.4	33	0.5			
	314 43.2	43 39.9	30	0.5	lgI. NS	53,-2		

Nr.	Roß Lick	α_{1950}	δ_{1950}	Fläche	Δm	Form	l. b. gal.	Barnard Chawtasi
1229	R ₁₈	314°46'.1	44°52'0	6	0.8			
	L ₇₇	46.4	51.5	10	1.1			
	L ₇₈	44.3	50.6	9	0.5			
		314 45.6	44 51.4	8	0.8	rd.	54°,-1°	
1230	R ₁₈	314 48.1	44 47.6	3	0.8			
	L ₇₇	47.2	47.6	4	1.1			
	L ₇₈	48.2	47.6	4	0.7			
		314 48.0	44 47.6	4	0.9	rd.	54,-1	
1231	R ₁₈	314 49.3	45 7.0	12	0.6			
	L ₇₇	51.8	6.6	13	0.5			
	L ₇₈	48.7	5.6	21	0.4	Stäbchen		
		314 49.9	45 6.4	15	0.5	NO-SW	54,-1	
1232	R ₁₈	315 11.3	45 51.4	34	0.6			
	L ₇₇	9.8	50.1	56	0.5			
	L ₇₈	10.0	46.7	26	0.4			
		315 10.7	45 49.7	39	0.5	Δ NS	55,-1	Ch. Nr. 708
1233	R ₁₈	315 16.1	44 40.1	15	0.5			
	L ₇₇	14.9	40.7	17	0.4			
	L ₇₈	16.7	39.3	14	0.4			
		315 15.9	44 40.0	15	0.4	rd.	55,-2	
1234	R ₁₈	315 24.1	45 40.7	20	0.6			
	L ₇₇	22.7	41.7	32	0.5			
	L ₇₈	21.5	44.8	28	0.4	Sichel		
		315 22.8	45 42.4	27	0.5	n. NO gekr.	55,-1	
1235	R ₁₈	315 36.5	46 33.7	14	1.2			
	L ₇₇	38.1	32.9	13	0.7			
	L ₇₈	37.4	34.5	21	0.7	Stäbchen		
		315 37.3	46 33.7	16	0.9	SO-NW	56,-1	Ch. Nr. 711
1236	R ₁₈	315 45.0	47 42.6	20	0.5			
	L ₇₇	47.2	40.9	24	0.7			
	L ₇₈	44.5	42.2	18	0.7			
		315 45.6	47 41.9	21	0.6	Δ	57,0	
1237	R ₁₈	315 57.2	43 5.0	56	1.2			
	L ₇₇	58.4	6.6	73	1.1			
	L ₇₈	57.1	6.0	39	1.1			B. 358 Ch. Nr. 714
		315 57.6	43 5.9	56	1.1	lgl. OW	54,-3	
1238	R ₁₈	316 4.6	44 51.4	23	1.2			
	L ₇₇	4.1	52.9	35	0.7			
	L ₇₈	4.5	50.6	28	1.1			
		316 4.4	44 51.6	29	1.0	lgl. NS	55,-2	
1239	R ₁₈	316 7.2	47 32.7	34	0.6			
	L ₇₇	8.8	32.4	41	0.7			
	L ₇₈	10.1	30.2	32	0.7			
		316 8.7	47 31.8	36	0.7	oval SO-NW	57,0	
1240	R ₁₈	316 29.6	45 40.4	15	0.8			
	L ₇₇	29.7	39.4	17	1.1			
	L ₇₈	28.8	40.3	11	1.1	schmale Sichel		
		316 29.4	45 40.0	15	1.0	n. O gekr.	55,-2	
1241	R ₁₈	316 36.5	45 34.3	11	0.8			
	L ₇₇	31.9	34.8	10	1.1			
	L ₇₈	34.3	34.2	5	1.1			
		316 34.2	45 34.4	9	1.0	lgl. NS	56,-2	

Nr.	Roß Lick	α_{1950}	δ_{1950}	Fläche	Δm	Form	l. b. gal.	Barnard Chawtasi
1242	R ₁₈	316°42'2	44°32'9	382	1.6	unrglm.	55°-3°	
	L ₇₇	39.3	35.9	290	1.1			
	L ₇₈	38.6	35.4	388	1.1			
1243		316 40.0	44 34.7	353	1.3	lgl. SW-NO	56,-2	
	R ₁₈	316 41.9	45 30.8	12	0.8			
	L ₇₇	41.9	32.0	20	0.6			
1244	L ₇₈	38.6	29.9	7	1.1			
		316 40.8	45 30.9	13	0.8			
	R ₁₈	316 58.5	47 6.9	31	0.8			
1245	L ₇₇	59.3	9.3	24	0.7	unrglm.	57,-1	
	L ₇₈	317 0.8	7.6	37	0.7			
		316 59.5	47 7.9	31	0.7			
1246	R ₁₈	316 58.2	47 28.3	18	0.6	lgl. NS	57,-1	
	L ₇₇	58.8	28.3	9	0.5			
	L ₇₈	317 7.4	30.0	17	0.7			
1247		317 1.5	47 29.0	15	0.6	unrglm. SO-NW	55,-3	
	R ₁₈	317 19.2	44 13.9	84	1.2			
	L ₇₇	11.8	15.7	100	1.1			
1248	L ₇₈	14.6	17.9	87	0.7	lgl. NS	57,-2	
		317 15.2	44 15.8	90	1.0			
	R ₁₈	317 20.9	46 17.9	12	1.2			
1249	L ₇₇	20.2	16.9	8	0.7	oval OW	56,-2	
	L ₇₈	21.0	15.4	7	0.7			
		317 20.7	46 16.7	9	0.9			
1250	R ₁₈	317 21.2	45 43.0	34	1.2	lg. NS	56,-2	Ch. Nr. 719
	L ₇₇	19.4	42.7	61	0.7			
	L ₇₈	21.8	42.7	47	0.7			
1251		317 20.8	45 42.8	47	0.9	unrglm.	57,-1	B. 48, 361 Ch. Nr. 719, 720
	R ₁₈	317 21.1	46 4.3	18	1.2			
	L ₇₇	22.1	5.0	16	0.7			
1252	L ₇₈	22.0	3.6	17	0.7	rd.	57,-2	
		317 21.7	46 4.3	17	0.9			
	R ₁₈	317 47.9	47 15.7	519	0.6			
1253	L ₇₇	47.8	18.1	492	0.7	Halbmond n. O	57,-2	
	L ₇₈	45.3	18.0	564	0.4			
		317 47.0	47 17.3	525	0.6			
1254	R ₁₈	317 56.6	46 13.3	20	0.8	lg. OW	58,-1	
	L ₇₇	57.2	11.5	17	0.7			
	L ₇₈	59.7	12.5	17	0.7			
1255		317 57.8	46 12.4	18	0.7	rd.	57,-2	
	R ₁₈	318 1.4	46 25.9	46	0.8			
	L ₇₇	1.3	25.6	46	0.7			
1256	L ₇₈	317 59.8	25.9	39	0.7			
		318 0.8	46 25.8	44	0.7			
	R ₁₈	318 7.9	47 45.9	17	0.6			
1257	L ₇₇	8.5	47.3	40	0.5			
		318 8.2	47 46.6	28	0.6			
	R ₁₈	318 13.8	46 24.6	23	0.8			
1258	L ₇₇	13.6	23.5	21	0.7			
	L ₇₈	15.3	23.5	28	0.4			
		318 14.2	46 23.9	24	0.6			

Nr.	Roß Lick	α_{1950}	δ_{1950}	Fläche	Δm	Form	l. b. gal.	Barnard Chawtasi
1255	R ₁₈	318°17'.5	46°40'3	23	0.8			
	L ₇₇	17.8	41.8	17	0.7			
	L ₇₈	16.5	40.8	21	0.7			
		318 17.3	46 41.0	20	0.7	rd.	57°,-2°	
1256	R ₁₈	318 17.7	46 19.0	5	0.8			
	L ₇₇	18.4	18.3	4	0.7			
	L ₇₈	18.2	17.7	37	0.4			
		318 18.1	46 18.3	15	0.6	rd.	57,-2	
1257	R ₁₈	318 51.6	43 3.8	92	0.8	Bogen gekr. n. S	55,-5	
1258	R ₁₈	319 0.6	43 13.8	35	0.8	Igl. OW	55,-5	Ch. Nr. 726
1259	R ₁₈	319 13.8	43 18.3	20	1.2	Igl. ONO-WSW	56,-5	
1260	R ₁₈	319 46.4	50 53.5	21	0.8			
	R ₁₉	44.3	51.8	32	0.8			
	L ₈₁	40.3	51.6	19	0.7			
		319 43.7	50 52.3	24	0.8	Igl. NS	61,0	
1261	R ₁₈	320 4.4	50 49.1	18	1.2			
	R ₁₉	6.0	46.0	30	0.8			
	L ₈₁	1.7	46.9	32	0.7			
		320 4.0	50 47.3	27	0.9	Sichel gekr. n. S	61,0	
1262	R ₁₈	320 20.6	46 35.1	32	1.2			
	R ₁₉	15.9	35.8	33	1.2			
	L ₈₁	17.8	34.7	39	0.7			
		320 18.1	46 35.2	35	1.0	ell. SSO-NNW	58,-3	
1263	R ₁₈	320 26.7	47 5.3	17	0.8			
	R ₁₉	18.0	46 58.9	20	1.2			
	L ₈₁	25.3	47 5.1	32	0.7			
		320 23.3	47 3.1	25	0.9	A	59,-3	
1264	R ₁₈	320 25.6	44 43.7	27	1.2	Stäbchen NS	57,-4	
1265	R ₁₈	320 36.8	49 58.4	58	1.2			B. 362 Ch. Nr. 731
	R ₁₉	34.5	50 1.0	83	1.1			
	L ₈₁	30.7	49 59.8	87	1.1			
		320 34.0	49 59.7	76	1.1	Igl. NO-SW	61,-1	
1266	R ₁₈	320 38.0	48 23.4	35	0.6			
	R ₁₉	32.8	31.9	45	0.6			
	L ₈₁	36.2	30.8	40	0.7			
		320 35.7	48 28.7	40	0.7	A NS	60,-2	
1267	R ₁₈	320 46.8	47 11.6	20	0.8			
	R ₁₉	39.8	12.9	18	1.2			
	L ₈₁	42.5	13.1	16	0.7			
		320 43.0	47 12.5	18	0.9	Igl. NO-SW	59,-3	
1268	R ₁₈	320 46.5	44 11.7	47	0.8	Sichel gekr. n. O	57,-5	
1269	R ₁₈	320 54.4	48 37.6	26	1.2			
	R ₁₉	49.0	38.0	18	1.2			
	L ₈₁	51.7	39.4	32	0.7			
		320 51.7	48 38.3	25	1.0	rd.	60,-2	
1270	R ₁₈	320 59.5	45 8.0	99	0.6	oval SO-NW	58,-4	
1271	R ₁₈	321 5.1	48 51.6	55	0.8			
	R ₁₉	7.3	49.7	68	1.2			
	L ₈₁	2.6	50.1	63	1.1	unrglm.		
		321 5.0	48 50.5	62	1.0	ONO-WSW	60,-2	Ch. Nr. 732

Nr.	Roß Lick	α_{1950}	δ_{1950}	Fläche	A_m	Form	I. b. gal.	Barnard Chawtasi
1272	R ₂₂	321° 11'.6	61° 40'.8	54	0.8	ell. SW-NO	69° 8°	
	L ₈₂	8.7	44.5	44	1.1			
	L ₈₃	10.9	46.1	66	1.1			
1273	R ₂₂	321 11.6	61 43.8	55	1.0	ell. SO-NW	70,9	
	R ₂₂	322 14.8	63 0.8	199	1.6			
	L ₈₂	10.8	0.9	222	1.1			
1274	R ₁₈	322 12.8	63 0.9	211	1.4	Bogen gekr. n. NO	60,-3	
	R ₁₈	322 22.2	47 46.9	20	0.6			
	R ₁₉	18.1	47.2	11	0.6			
1275	L ₈₁	18.8	47.4	18	0.5			
	R ₁₈	322 19.7	47 47.2	17	0.6			
	L ₈₁	322 31.9	44 58.6	14	0.8			
1276	L ₈₁	29.9	55.9	8	0.7	rd.	58,-5	Ch. Nr. 736
	R ₁₈	322 30.9	44 57.3	11	0.8			
	R ₁₈	322 31.8	45 2.0	9	1.2			
1277	L ₈₁	33.3	44 59.2	10	0.7	lgl. SO-NW	58,-5	
	R ₁₈	322 32.6	45 0.6	10	1.0			
	R ₁₉	322 32.3	54 35.4	42	1.2			
1278	R ₁₉	34.9	32.5	38	1.2	Stäbchen ONO-WSW	65,2	
	L ₈₂	31.6	34.9	27	0.7			
	R ₁₈	322 32.9	54 34.3	36	1.0			
1279	R ₁₈	322 33.4	45 7.0	8	1.2	lgl. NS	58,-5	
	L ₈₁	32.5	2.9	6	0.7			
	R ₁₈	322 33.0	45 5.0	7	1.0			
1280	R ₁₈	322 34.4	49 22.5	14	0.8	lgl. SO-NW	61,-2	
	R ₁₉	34.1	21.0	15	0.6			
	L ₈₁	35.5	21.4	10	0.5			
1281	R ₁₈	322 34.7	49 21.6	13	0.6	lgl. NS	61,-2	
	R ₁₉	322 35.7	49 36.5	14	0.5			
	L ₈₁	36.1	34.7	17	0.5			
1282	R ₁₈	322 35.5	49 35.6	13	0.5	lgl. NS	58,-5	
	R ₁₈	322 35.6	44 44.6	168	0.8			
	L ₈₁	38.3	47.1	103	0.7			
1283	R ₁₈	322 37.0	44 45.8	136	0.8	lgl. NS	64,1	
	R ₁₈	322 35.8	53 35.3	34	1.2			
	L ₈₁	38.4	37.2	40	0.7			
1284	R ₁₈	322 37.1	53 36.3	37	1.0	Stäbchen NO-SW	62,-2	
	R ₁₈	322 40.8	49 43.9	12	0.5			
	R ₁₉	39.3	43.5	11	0.5			
1285	L ₈₁	38.1	42.6	8	0.5	lgl. NS	60,-3	
	R ₁₈	322 39.4	49 43.3	10	0.5			
	R ₁₉	322 43.5	47 40.6	40	1.2			
1285	L ₈₁	39.2	41.3	33	0.8	A	60,-3	
	R ₁₈	322 43.6	40.6	35	0.7			
	R ₁₉	322 40.1	47 40.8	36	0.9			
1285	L ₈₂	49.6	54 53.5	38	1.2	rd.	65,2	
	R ₁₈	43.6	50.6	39	1.2			
	R ₁₉	43.6	51.7	27	0.7			
1285	R ₁₈	322 46.2	54 51.9	35	1.0			

Nr.	Roß Lick	α_{1950}	δ_{1950}	Fläche	Δm	Form	I. b. gal.	Barnard Chawtasi
1286	R ₁₈	322° 56'.9	51° 31':2	9	0.8	rd.	63° 0°	
	R ₁₉	56.8	30.9	6	0.6			
	L ₈₁	51.8	31.4	10	0.7			
		322 55.2	51 31.2	8	0.7			
1287	R ₁₈	322 57.5	49 40.2	9	0.5	Winkel n. NO	62,-2	
	R ₁₉	56.1	40.1	17	0.6			
	L ₈₁	56.4	39.0	8	0.5			
		322 56.7	49 39.8	11	0.5			
1288	R ₁₈	323 0.6	57 19.7	32	0.8	lgl. OW	67,4	
	R ₁₉	4.5	16.0	30	1.2			
	L ₈₂	322 55.1	17.9	27	0.7			
		323 0.1	57 17.9	30	0.9			
1289	R ₁₈	323 3.1	47 54.7	31	1.2	lgl. NNO-SSW	61,-3	
	R ₁₉	322 55.8	55.9	38	0.8			
	L ₈₁	323 1.6	55.7	35	0.7			
		323 0.2	47 55.4	35	0.9			
1290	R ₁₈	323 3.7	51 28.1	5	0.8	rd.	63,0	
	R ₁₉	5.8	28.6	8	0.5			
	L ₈₁	0.3	28.0	13	0.7			
		323 3.3	51 28.2	9	0.7			
1291	R ₂₂	323 6.5	62 44.7	291	1.6	oval SW-NO	70,8	Ch. Nr. 739
	L ₈₂	3.0	48.1	260	1.1			
		323 4.7	62 46.4	276	1.4			
		323 6.7	57 0.5	27	0.6			
1292	R ₁₈	5.4	56 56.8	38	0.8	lgl. OW	66,4	
	L ₁₉	7.4	58.0	60	0.7			
	L ₈₂	0.0						
		323 4.7	56 58.4	42	0.7			
1293	R ₁₈	323 5.4	54 30.5	18	0.8	lgl. NO-SW	65,2	B. 364
	R ₁₉	6.9	29.2	23	0.8			
	L ₈₂	4.3	30.6	13	0.7			
		323 5.5	54 30.1	18	0.8			
1294	R ₁₈	323 8.7	53 39.6	43	1.2	Δ n. NW	64,1	
	L ₈₂	8.9	39.8	40	0.7			
		323 8.8	53 39.7	42	1.0			
		323 9.3	56 33.6	15	0.8			
1295	R ₁₈	13.0	29.6	17	1.2	lgl. NS	66,3	
	R ₁₉	7.8	31.5	13	0.7			
	L ₈₂							
		323 10.0	56 31.6	15	0.9			
1296	R ₁₈	323 11.6	50 13.4	31	0.8	Bogen gekr. n. SW	62,-1	
	L ₈₂	10.3	13.1	32	0.5			
		323 11.0	50 13.3	32	0.7			
		323 20.3	56 47.2	61	0.8			
1297	R ₁₉	21.4	46.3	53	0.8	Bogen gekr. n. S	67,3	
	L ₈₂	22.1	45.9	43	0.5			
		323 21.3	56 46.5	52	0.7			
		323 22.1	57 1.4	9	0.6			
1298	R ₁₈	25.3	56 58.8	15	0.6	rd.	67,4	
	R ₁₉	17.3	57 0.3	16	0.5			
	L ₈₂							
		323 21.6	57 0.2	13	0.6			

Nr.	Roß Lick	α_{1950}	δ_{1950}	Fläche	A_m	Form	l. b. gal.	Barnard Chawtasi
1299	R ₁₈	323°29'8	50° 0'0	18	0.6	Stäbchen SO-NW	62°,-2°	
	R ₁₉	26.8	2.2	21	0.5			
	L ₈₁	27.6	1.1	19	0.5			
1300		323 28.1	50 1.1	19	0.5	lgl. SO-NW	62,-2	
	R ₁₈	323 29.5	50 17.1	8	0.6			
	R ₁₉	29.8	15.9	8	0.8			
1301	L ₈₁	28.5	14.6	13	0.5	lgl. NS	62,-2	
		323 29.3	50 15.9	10	0.6			
	R ₁₈	323 29.1	50 9.3	9	0.8			
1302	R ₁₉	29.9	10.1	12	0.6	lgl. OW	61,-3	
	L ₈₁	28.8	8.7	11	0.7			
		323 29.3	50 9.4	11	0.7			
1303	R ₁₈	323 31.3	48 19.0	15	0.8	S-Form	66,3	B. 47, 365 Ch. Nr. 741
	R ₁₉	28.1	20.0	18	0.8			
	L ₈₁	30.1	18.4	24	0.7			
1304		323 29.8	48 19.1	19	0.8	Stäbchen OW	67,4	
	R ₁₈	323 33.2	56 26.8	76	0.8			
	R ₁₉	34.1	26.0	48	1.2			
1305	L ₈₂	28.1	26.4	67	0.7	Stäbchen SO-NW	65,1	
		323 31.8	56 26.4	64	0.9			
	R ₁₈	323 35.5	57 37.8	104	0.8			
1306	R ₁₉	44.1	35.2	75	0.8	lgl. SO-NW	70,7	
	L ₈₂	37.3	37.3	120	0.7			
		323 39.0	57 36.8	100	0.8			
1307	R ₁₈	323 45.4	53 47.6	35	0.8	unrglm. NO-SW	66,3 58,-7	B. 47, 160 Ch. Nr. 745
	R ₁₉	43.8	49.8	33	0.5			
	L ₈₂		323 44.6	53 48.7	34			
1308	R ₂₂	323 56.2	61 51.6	41	1.2	Δ	61,-4	
	L ₈₂	53.0	50.5	29	—			
	L ₈₃	56.1	49.4	40	1.1			
1309		323 55.1	61 50.5	37	1.2	rd.	68,4	
	R ₁₈	323 57.5	56 2.2	427	0.8			
	R ₁₉	324 6.7	55 59.4	542	0.8			
1310	L ₈₂	323 59.1	56 4.8	624	0.7	oval OW	61,-4	
		324 1.1	56 2.1	533	0.8			
	R ₁₈	324 9.4	42 55.9	99	1.6			
1311		324 14.6	46 53.3	73	0.8	rd.	68,4	
	R ₁₈	12.1	57.8	50	0.8			
	L ₈₁	17.6	55.5	111	0.7			
1312		324 14.8	46 55.5	78	0.8	oval OW	61,-4	
	R ₂₂	324 15.5	58 5.0	38	0.8			
	L ₈₂	15.4	4.5	47	0.5			
1313		324 15.5	58 4.8	42	0.7	rd.	68,4	
	R ₁₈	324 17.4	47 30.3	40	0.6			
	R ₁₉	18.8	31.3	23	0.6			
1314	L ₈₁	21.5	29.8	24	0.4	rd.	68,4	
		324 19.2	47 30.5	29	0.5			
	R ₁₈	324 21.8	57 51.4	15	1.2			
1315	R ₁₉	20.5	48.2	15	1.2	rd.	68,4	
	L ₈₂	16.7	49.1	15	0.7			
		324 19.7	57 49.6	15	1.0			

Nr.	Roß Lick	α_{1950}	δ_{1950}	Fläche	A_m	Form	I. b. gal.	Barnard Chawtasi
1313	R ₁₈	324°28'3	49°56'1	15	0.8	lgl. NS	63°-2°	
	R ₁₉	25.0	56.8	14	1.2			
	L ₈₁	26.2	56.1	13	0.4			
1314	R ₂₂	324 26.5	49 56.3	14	0.8	unrglm. lgl. NS	68,4	
	L ₈₂	324 25.3	58 24.5	155	1.2			
		28.6	23.4	148	1.1			
1315	R ₁₈	324 27.0	58 24.0	151	1.2	lgl. N-S	64,-1	
	R ₁₉	324 29.4	51 23.7	6	0.8			
	L ₈₁	28.9	22.9	12	0.5			
1316	R ₁₈	324 27.0	27.0	10	1.1	lgl. SO-NW	63,-2	
	R ₁₉	324 28.4	51 23.5	9	0.8			
	L ₈₁	28.9	41.7	5	0.8			
1317	R ₁₈	324 35.4	50 48.5	5	0.8	Stäbchen OSO-WNW	62,-3	
	R ₁₉	34.4	38.4	33	0.8			
	L ₈₁	35.5	38.4	30	0.4			
1318	R ₁₈	324 34.8	50 41.2	5	0.7	lgl. SO-NW	67,4	
	R ₁₉	324 38.3	49 36.6	20	0.8			
	L ₈₂	34.4	38.4	33	0.8			
1319	R ₁₈	324 36.1	49 37.8	28	0.7	lgl. SO-NW	61,-4	
	R ₁₉	324 32.4	57 46.7	20	0.8			
	L ₈₁	36.3	42.7	17	0.8			
1320	R ₁₈	324 28.1	43.8	13	0.7	rd.	63,-2	
	R ₁₉	324 32.3	57 44.4	17	0.8			
	L ₈₁	36.9	50 35.1	8	0.8			
1321	R ₁₈	324 36.1	36.1	5	1.2	rd.	63,-2	
	R ₁₉	324 36.6	35.1	13	0.7			
	L ₈₁	36.5	50 35.4	9	0.9			
1322	R ₁₈	324 42.9	47 24.4	23	0.8	Δ	63,-2	
	R ₁₉	40.0	28.9	17	1.2			
	L ₈₁	45.9	26.4	19	1.1			
1323	R ₁₈	324 42.9	47 26.6	20	1.0	lgl. NS	63,-2	
	R ₁₉	324 47.2	50 29.2	27	0.8			
	L ₈₁	44.9	30.6	18	0.8			
1324	R ₁₈	324 44.9	35.2	32	0.7	rd.	68,4	
	R ₁₉	324 45.7	50 31.7	26	0.8			
	L ₈₂	46.0	50 42.1	8	0.6			
1325	R ₁₈	39.3	41.5	6	0.6	lgl. SSO-NNW	63,-2	
	R ₁₉	47.3	39.8	8	0.5			
	L ₈₂	44.2	50 41.1	7	0.6			
1326	R ₁₈	324 45.1	57 37.1	15	0.8	rd.	67,3	
	R ₁₉	50.5	33.7	11	1.2			
	L ₈₂	42.3	36.1	12	1.1			
1327	R ₁₈	324 45.9	57 35.6	13	1.0	rd.	63,-2	
	R ₁₉	324 51.6	50 41.4	9	0.8			
	L ₈₁	46.1	40.7	15	0.8			
1328	R ₁₈	53.3	32.7	14	0.5	rd.	63,-2	
	R ₁₉	324 50.3	50 38.3	13	0.7			
	L ₈₂	55.9	56 21.3	5	0.8			
1329	R ₁₈	54.9	16.0	8	0.6	rd.	63,-2	
	R ₁₉	53.3	19.6	11	0.5			
	L ₈₂	54.7	56 19.0	8	0.6			

Nr.	Roß Lick	α_{1950}	δ_{1950}	Fläche	A_m	Form	l. b. gal.	Barnard Chawtasi
1326	R ₁₈	324°56'0	56°26'4	9	0.8			
	R ₁₉	59.7	22.8	14	0.6			
	L ₈₂	55.5	26.9	11	0.5			
		324 57.1	56 25.4	11	0.6	rd.	67°,3°	
1327	R ₁₈	324 59.2	56 11.7	34	0.6			
	R ₁₉	325 1.9	8.6	38	0.6			
	L ₈₂	324 57.7	11.3	47	0.5			
		324 59.6	56 10.5	40	0.6	unrglm. NS	67,2	B. 163
1328	R ₁₈	325 5.9	49 59.9	8	0.6			
	R ₁₉	3.4	50 1.4	14	0.6			
	L ₈₁	4.1	49 59.3	12	0.5			
		325 4.5	50 0.2	12	0.6	Δ NS	63,-2	
1329	R ₁₈	325 15.8	51 13.8	84	0.6			
	R ₁₉	10.9	11.5	143	0.6			
	L ₈₁	12.2	15.2	72	0.4			
		325 13.0	51 13.5	100	0.5	lgl. SO-NW	64,-1	
1330	R ₁₈	325 12.3	49 51.6	18	0.8			
	R ₁₉	15.6	53.0	23	0.6			
	L ₈₁	13.9	51.7	19	0.4			
		325 13.9	49 52.1	20	0.6	Stäbchen NO-SW	63,-3	
1331	R ₂₂	325 29.0	59 4.9	95	0.8			
	L ₈₂	27.5	4.6	87	0.7			
		325 28.3	59 4.8	91	0.8	ell. SW-NO	70,5	
1332	R ₂₂	325 31.1	60 29.8	69	1.2			
	L ₈₂	28.2	33.9	87	1.1			
	L ₈₃	28.1	30.7	57	1.1			
		325 29.1	60 31.5	71	1.1	ell. SW-NO	69,6	
1333	R ₁₈	325 35.4	50 8.5	9	1.2			
	R ₁₉	34.0	11.0	14	1.2			
	L ₈₁	33.9	9.9	16	0.7			
		325 34.4	50 9.8	13	1.0	rd.	63,-2	
1334	R ₂₂	325 37.5	58 14.5	130	1.2			
	L ₈₂	40.9	11.9	139	1.1			
		325 39.2	58 13.2	135	1.2	unrglm. SO-NW	68,4	
1335	R ₁₈	325 57.3	54 42.6	23	0.6			
	R ₁₉	53.6	41.7	30	0.6			
	L ₈₂	53.3	42.7	27	0.5			
		325 54.7	54 42.3	27	0.6	Sichel gekr. n. N	66,1	
1336	R ₁₈	325 55.3	49 36.7	15	0.8			
	R ₁₉	57.0	38.0	24	0.8			
	L ₈₁	57.0	37.2	24	0.7			
		325 56.4	49 37.3	21	0.8	rd.	63,-3	
1337	R ₂₂	326 5.2	59 14.7	18	0.8			
	L ₈₂	6.4	15.0	21	0.7			
		326 5.8	59 14.9	20	0.8	rd.	69,4	
1338	R ₂₃	326 7.8	51 40.1	89	0.8			
	L ₈₄	8.4	41.1	89	0.7			
		326 8.1	51 40.6	89	0.8	lgl. NS	65,-1	

Nr.	Roß Lick	α_{1950}	δ_{1950}	Fläche	Δm	Form	l. b. gal.	Barnard Chawtasi
1339	R ₁₈	326° 7'7	51° 7'3	885	0.6			
	R ₁₉	13.5	2.4	903	0.8			
	L ₈₁	10.5	0.6	841	0.4			
		326 10.6	51 3.4	876	0.6	unrglm. lgl. NS	64°-2°	
1340	R ₂₂	326 11.0	61 42.9	38	0.8			
	L ₈₂	14.5	43.3	41	0.5			
	L ₈₃	9.5	41.4	41	0.5			
		326 11.7	61 42.5	40	0.6	rd.	71,6	
1341	R ₂₂	326 17.7	60 48.5	20	1.2			
	L ₈₂	19.8	46.7	18	0.7			
	L ₈₃	15.0	45.4	35	1.1			
		326 17.5	60 46.9	24	1.0	lgl. SO-NW	70,6	
1342	R ₁₈	326 17.3	49 41.0	21	0.8			
	R ₁₉	16.6	41.9	23	0.8			
	L ₈₁	19.5	40.7	25	0.7			
		326 17.8	49 41.2	23	0.8	lgl. N-S	63,-3	
1343	R ₁₈	326 18.8	57 33.4	84	1.2			
	R ₁₉	22.9	30.4	98	1.2			
	L ₈₂	17.4	31.1	67	1.1			
		326 19.7	57 31.6	83	1.2	lgl. ONO-WSW	68,3	
1344	R ₂₂	326 17.9	65 52.4	35	1.6			
	L ₈₃	22.3	53.2	37	1.1			
		326 20.1	65 52.8	36	1.4	lgl. SSW-NNO	73,10	
1345	R ₂₃	326 24.3	51 5.5	260	0.8			
	L ₈₄	26.2	5.3	223	0.7	unrglm.		
		326 25.3	51 5.4	242	0.8	lgl. NO-SW	64,-2	
1346	L ₈₄	326 27.9	58 3.0	19	0.7			
	L ₈₅	28.1	8.8	16	0.5			
		326 28.0	58 5.9	18	0.6	rd.	69,3	
1347	R ₁₈	326 35.6	47 16.7	656	0.8			
	L ₈₁	33.5	15.6	588	0.7	langes krummes Band O-W	62,-5	Ch. Nr. 757
		326 34.5	47 16.1	622	0.8			
1348	R ₁₈	326 37.7	52 32.3	38	0.8			
	L ₈₂	36.3	34.0	27	1.1			
	L ₈₁	39.7	31.1	44	—	Sichel		
		326 37.9	52 32.5	36	1.0	gekr. n. SW	65,-1	
1349	R ₂₂	326 39.8	62 21.4	20	1.2			
	L ₈₂	47.1	23.7	23	0.7			
	L ₈₃	37.5	23.1	25	0.7			
		326 41.5	62 22.9	24	0.9	rd.	71,7	
1350	R ₂₃	326 41.2	52 27.6	147	0.8			
	L ₈₄	43.4	31.2	134	0.7	Bogen		
		326 42.3	52 29.4	140	0.8	gekr. n. W	65,-1	
1351	R ₁₈	326 45.0	52 51.3	14	0.8			
	L ₈₂	45.1	52.1	15	0.7			
	L ₈₁	40.9	51.1	5	0.7			
		326 43.7	52 51.5	11	0.7	rd.	66,-1	
1352	R ₁₈	326 47.0	52 8.0	34	0.6			
	L ₈₂	48.5	8.7	47	0.5			
	L ₈₁	48.5	9.3	32	0.7	Stäbchen		
		326 48.0	52 8.7	38	0.6	NO-SW	65,-1	

Nr.	Roß Lick	α_{1950}	δ_{1950}	Fläche	Δm	Form	l. b. gal.	Barnard Chawtasi
1353	R ₁₈	326°50'.9	51°37'.6	107	0.8		65°-2°	
	L ₈₂	52.3	44.0	74	0.5			
	L ₈₁	48.3	38.5	127	0.7			
1354	R ₂₃	326 50.2	51 40.0	103	0.7	lg. NO-SW Bogen gekr. n. WNW	65°-2°	
		326 53.6	51 39.4	161	0.8			
		49.8	34.1	183	0.7			
1355	R ₂₃	326 51.7	51 36.7	173	0.8	Stäbchen NO-SW	65,-2	
		326 58.6	50 40.3	161	0.8			
		58.7	41.3	88	0.7			
1356	R ₂₂	326 58.7	50 40.8	95	0.8	Stäbchen NO-SW	64,-3	
		327 37.7	59 51.3	92	1.2			
		33.6	51.3	93	1.1			
1357	R ₂₃	24.9	51.1	84	1.1	lg. OW	70,5	
		327 32.1	59 51.2	90	1.1			
		327 24.8	47 15.4	84	1.2			
1358	R ₁₈	43.0	14.1	312	—	Stäbchen SO-NW	62,-6	
		327 33.9	47 14.7	198	1.2			
		327 37.1	51 18.8	23	0.5			
1359	R ₁₉	34.9	19.9	32	—	A	65,-3	
		37.7	17.9	34	0.5			
		327 36.6	51 18.9	30	0.5			
1360	R ₂₂	327 37.8	66 47.6	84	1.6	lg. SO-NW	74,10	
		37.3	49.8	122	1.1			
		327 37.5	66 48.7	103	1.4			
1361	R ₁₈	327 36.9	47 2.0	15	0.8	rd.	63,-6	
		34.2	6.6	29	1.2			
		42.8	1.9	19	1.1			
1362	R ₁₈	327 38.0	47 3.5	18	1.0	Sichel gekr. n. S	65,-2	
		327 44.3	51 33.0	31	0.6			
		48.0	33.3	17	—			
1363	R ₁₉	46.8	32.9	48	0.5	A	65,-2	
		327 46.4	51 33.1	32	0.6			
		327 54.8	51 41.7	23	0.6			
1364	R ₁₉	48.8	42.6	15	—	lg. OW	69,2	
		328 2.2	38.2	24	0.4			
		327 55.3	51 40.8	21	0.5			
1365	R ₁₈	327 58.2	58 25.6	15	0.8	lg. SO-NW	65,-2	
		328 1.0	25.8	17	0.8			
		0.1	26.5	27	0.7			
1366	R ₂₂	328 0.3	51 27.8	10	0.6	lg. SO-NW	71,6	
		7.2	60 41.0	147	0.8			
		6.4	40.0	120	0.7			
1366	L ₈₂	327 55.0	41.1	126	0.7	lg. OW	71,6	
		328 2.7	60 40.7	131	0.7			
		5.9	61 43.1	34	0.8			
1366	L ₈₃	6.7	43.7	43	0.7	lg. OW	71,6	
		2.7	43.0	72	0.7			
		328 5.1	61 43.3	50	0.7			

Nr.	Roß Lick	α_{1950}	δ_{1950}	Fläche	A_m	Form	1. b. gal.	Barnard Chawtasi
1367	R ₁₈	328°13'4	54°11'4	23	0.6	lgl. NO-SW	67°0°	
	R ₁₉	16.7	12.8	23	0.8			
	L ₈₂	14.9	13.2	16	0.5			
		328 15.0	54 12.5	21	0.6			
1368	R ₂₂	328 17.9	66 9.3	17	0.8	rd.	74,9	
	L ₈₃	25.0	10.0	22	1.1			
		328 21.5	66 9.7	20	1.0			
1369	R ₁₈	328 30.5	54 19.7	20	0.8	lgl. NS	68,2	
	R ₁₉	35.5	22.1	12	0.8			
	L ₈₂	33.9	21.9	13	0.5			
1370	R ₁₈	328 33.3	54 21.2	15	0.7	lgl. SW-NO	70,3	
	R ₁₉	328 42.0	58 48.8	18	0.8			
	L ₈₂	44.9	47.0	17	0.8			
		43.9	46.7	27	0.5			
1371	L ₈₂	328 43.6	58 47.5	20	0.7	lgl. NO-SW	72,6	
	L ₈₃	328 50.5	61 41.5	87	0.7			
		42.5	44.8	103	0.7			
1372	R ₁₈	328 46.5	61 43.2	95	0.7	lgl. SW-NO	67,-1	
	R ₁₉	328 47.4	54 24.2	20	0.6			
	L ₈₂	48.5	25.0	18	0.8			
		50.0	25.2	16	0.6			
1373	R ₂₃	328 48.6	54 24.8	18	0.7	rd.	64,-5	
	L ₈₄	328 51.7	48 23.0	18	0.6			
		46.1	24.1	19	1.0			
1374	R ₁₈	328 48.9	48 23.6	19	0.8	lgl. NO-SW	64,-6	
	R ₁₉	328 56.1	47 26.1	18	0.5			
	L ₈₁	52.0	31.6	23	0.8			
		329 1.4	27.2	19	0.4			
1375	R ₁₈	328 56.5	47 28.3	20	0.6	lgl. SW-NO	68,0	
	R ₁₉	329 3.6	54 22.3	18	0.6			
	L ₈₂	1.7	24.3	11	0.8			
		4.2	25.0	16	0.7			
1376	R ₁₈	329 3.2	54 23.9	15	0.7	Stäbchen ONO-WSW	70,3	B. 49, 170
	R ₁₉	329 7.1	58 44.0	84	1.2			
	L ₈₂	0.6	39.4	60	1.2			
		2.0	42.0	54	0.7			
1377	R ₂₂	329 3.2	58 41.8	66	1.0	rd.	72,6	
	L ₈₂	329 14.2	61 49.8	20	0.8			
		14.9	47.7	26	0.7			
1378	R ₁₈	329 14.5	61 48.8	23	0.8	rd.	65,-5	
	R ₁₉	329 19.5	49 9.1	6	0.8			
	L ₈₁	16.3	13.2	14				
		22.8	9.9	8	0.5			
1379	R ₁₈	329 19.5	49 10.7	9	0.7	lgl. SO-NW	65,-5	
	R ₁₉	329 22.2	48 56.3	6	0.8			
	L ₈₁	23.3	49 5.8	12	0.8			
		27.9	3.3	8	0.4			
1380	R ₂₃	329 24.5	49 1.8	9	0.7	A n. NO	65,-5	
	L ₈₄	329 25.1	49 9.3	15	0.6			
		25.7	10.2	13	1.0			
		329 25.4	49 9.7	14	0.8			

Nr.	Roß Lick	α_{1950}	δ_{1950}	Fläche	A_m	Form	l. b. gal.	Barnard Chawtasi
1381	R ₁₈	329°22'7	58°24'.3	840	0.8	Bogen gekr. n. SO	70°3°	B. 49, 169 Ch. Nr. 762
	R ₁₉	39.4	21.9	828	0.8			
	L ₈₂	29.1	25.0	803	1.1			
1382	R ₂₃	329 30.4	58 23.7	824	0.9	rd.	65,4	
		329 32.7	49 27.5	18	0.8			
		29.5	28.1	24	0.8			
1383	R ₁₈	329 31.1	49 27.8	21	0.8	lgl. SSW-NNO	67,-2	
		329 30.3	52 37.0	31	0.8			
		L ₈₂	33.4	13	0.7			
1384	R ₁₈	L ₈₁	30.3	10	0.7	lgl. NS	67,-2	
		329 31.3	52 37.3	18	0.7			
		L ₈₂	44.4	31	1.2			
1385	R ₁₈	L ₈₁	41.9	29	0.7	lgl. NS	67,-2	
		329 43.0	52 31.2	26	1.0			
		L ₈₁	45.8	20	0.6			
1386	R ₁₈	L ₈₁	45.1	17	0.5	lgl. NS	67,-2	
		329 44.8	52 43.4	18	0.6			
		R ₁₉	49.6	32.4	0.5			
1387	R ₂₂	L ₈₃	51.0	21	0.6	lgl. OW	65,-4	
		L ₈₃	54.5	19	1.1			
		329 51.7	49 42.0	21	0.5			
1388	R ₂₂	L ₈₃	330 3.1	18	1.2	lgl. OW	75,9	
		L ₈₃	8.8	30	1.1			
		330 6.0	65 49.8	24	1.2			
1389	R ₂₂	L ₈₃	330 26.4	23	0.8	rd.	73,5	
		L ₈₂	30.0	22	0.7			
		L ₈₃	27.7	62	0.7			
1390	R ₁₈	L ₆₃	330 28.0	36	0.7	lgl. OW	75,10	
		R ₁₉	30.2	46	0.8			
		L ₆₃	40.0	72	0.7			
1391	R ₂₂	L ₈₂	330 35.1	59	0.8	unrglm. lgl. ONO-WSW	71,3	B. 49, 171
		R ₁₉	45.3	183	0.6			
		L ₈₂	48.5	143	0.8			
1392	R ₂₂	L ₈₃	47.5	130	1.1	rd.	73,5	
		330 47.1	58 40.6	153	0.8			
		L ₈₂	330 49.0	31	1.2			
1393	R ₁₈	L ₈₂	50.7	37	0.7	lgl. SO-NW	65,6	
		L ₈₃	58.9	46.5	0.7			
		330 52.5	61 43.7	42	0.9			
1394	R ₂₂	R ₁₉	330 50.3	21	0.8	lgl. NO-SW	76,10	
		L ₈₁	47.7	54.2	0.8			
		L ₈₁	59.0	51.8	0.4			
1395	R ₂₂	L ₈₃	330 52.3	28	0.7	lgl. OW	67,-4	
		330 55.6	67 16.1	35	0.8			
		L ₈₃	331 1.9	41	0.7			
1396	R ₂₃	L ₈₄	330 58.7	67 15.1	38	lgl. OW	67,-4	
		R ₂₃	331 8.5	50 48.1	18			
		L ₈₄	9.0	47.8	24			
1397	R ₂₂	331 8.8	50 49.0	21	0.8	lgl. OW	67,-4	
		331 8.8	50 49.0	21	0.8			

Nr.	Roß Lick	α_{1950}	δ_{1950}	Fläche	A_m	Form	l. b. gal.	Barnard Chawtasi
1395	R ₂₂	331°11'3	65°45'6	15	0.8	lg. OW	75°8°	
	L ₈₈	7.1	44.5	28	0.7			
1396	R ₁₈	331°9.2	65°45.0	21	0.8	A	72,3	Ch. Nr. 766
	R ₁₉	331°25.3	59°27.0	43	0.6			
	R ₁₉	30.5	24.0	20	0.8			
	L ₈₂	28.2	25.3		0.7			
1397	R ₁₈	331°28.0	59°25.4	31	0.7	oval ONO-WSW	71,3	Ch. Nr. 766
	R ₁₉	331°36.3	59°18.7	41	0.6			
	R ₁₉	38.3	16.4	29	0.8			
	L ₈₂	37.8	15.8		1.1			
1398	R ₁₈	331°37.5	59°17.0	35	0.8	lg. NS	68,-1	
	R ₁₉	331°46.0	53°34.7	15	0.6			
	R ₁₉	46.4	35.2	11				
	L ₈₂	45.6	34.3		0.5			
1399	R ₁₈	331°46.0	53°34.7	13	0.6	lg. OSO-WNW	68,-1	
	R ₁₈	331°55.1	53°16.6	17	0.8			
	L ₈₂	55.7	16.8	13	0.5			
	L ₈₁	58.5	10.2					
1400	R ₂₃	331°56.4	53°14.5	15	0.7	A	68,-2	
	R ₂₃	332°1.9	53°15.7	18	0.8			
	L ₈₄	331°59.0	14.0	22	0.7			
1401	R ₁₈	332°0.5	53°14.8	20	0.8	lg. NS	68,-3	
	R ₁₈	332°2.0	52°24.8	9	0.6			
	L ₈₂	331°56.9	23.5	8	0.4			
	L ₈₁	332°5.5	24.0	8	0.5			
1402	R ₁₈	332°1.5	52°24.1	8	0.5	rd.	68,-3	
	R ₁₈	332°8.9	52°28.3	8	0.8			
	L ₈₂	6.2	26.6	8	0.5			
	L ₈₁	11.1	26.5	10	0.5			
1403	R ₂₃	332°8.7	52°27.1	9	0.6	lg. SSO-NNW	67,-4	
	R ₂₃	332°7.7	50°50.9	21	0.8			
	L ₈₄	11.0	50.8	14	0.7			
1404	R ₁₈	332°9.3	50°50.8	18	0.8	Winkel n. S	68,-3	
	R ₁₈	332°12.4	52°44.8	21	0.6			
	L ₈₂	19.6	47.6	20	0.4			
	L ₈₁	16.9	44.2	23	0.5			
1405	R ₂₃	332°16.3	52°45.5	21	0.5	A	69,-2	
	R ₂₃	332°16.4	53°22.2	26	1.2			
	L ₈₄	19.5	21.7	19	0.7			
	L ₈₅	19.6	22.3	22	0.5			
1406	R ₁₈	332°18.5	53°22.1	22	0.8	lg. NS	69,-2	
	R ₁₈	332°27.7	52°28.1	15	0.6			
	L ₈₂	25.7	30.0	13	0.4			
	L ₈₁	22.6	27.3	14	0.5			
1407	R ₂₃	332°25.3	52°28.5	14	0.5	lg. OW	66,-6	
	R ₂₃	332°32.6	49°6.0	20	0.8			
	L ₈₄	36.7	9.0	24	0.7			
1408	R ₁₈	332°34.7	49°7.5	22	0.8	lg. NS	69,-2	
	R ₁₈	332°37.0	53°45.3	11	0.6			
	L ₈₂	39.7	47.3	5	1.1			
	L ₈₁	41.3	44.2		1.1			
		332°39.3	53°45.6	8	0.9			

Nr.	Roß Lick	α_{1950}	δ_{1950}	Fläche	Δm	Form	l. b. gal.	Barnard Chawtasi
1409	R ₁₈	332°39'5	53°41'6	3	0.6	lgl. NS	69°,-2°	
	L ₈₂	41.3	43.2	4	0.7			
	L ₈₁	42.1	41.2					
1410	R ₂₃	332 41.0	53 42.0	4	0.7	lgl. NS	69°,-2°	
	L ₈₄	332 44.7	53 42.9	15	0.8			
	L ₈₅	41.1	41.0	18	1.1			
1411	R ₁₈	332 41.2	42.2	22	1.1	lgl. NS	69°,-2°	
	L ₈₂	332 42.3	53 42.0	18	1.0			
	L ₈₁	56.9	47.6	16	0.5			
1412	R ₁₈	332 57.7	44.8			rd.	69°,-3	
	R ₂₃	332 55.5	52 46.2	16	0.7			
	L ₈₄	332 58.3	52 46.8	6	0.8			
1413	L ₈₅	333 0.6	45.7	20	1.1	lgl. OW	69°,-3	
	R ₂₃	332 58.6	45.4	21	0.7			
	L ₈₅	332 59.2	52 46.0	16	0.9			
1414	R ₂₃	333 15.0	53 50.4	77	0.6	Stäbchen SO-NW	69°,-2	
	L ₈₄	14.0	49.1	88	0.5			
	L ₈₅	8.0	52.7	54	0.5			
1415	R ₁₈	333 12.3	53 50.8	73	0.5	Δ NS	72,1	
	R ₁₉	333 21.8	57 53.5	89	0.8			
	L ₈₂	25.9	51.0	86	0.8			
1416	R ₁₈	333 22.0	50.7	54	0.5	Δ	70,0	B. 369
	R ₁₉	333 23.2	57 51.7	76	0.7			
	L ₈₂	32.7	55 47.7	21	0.8			
1417	R ₁₈	333 26.1	47.3	27	1.2	Keule NS	70,-1	
	R ₁₉	33.0	47.6	20	0.7			
	L ₈₂	30.6	55 47.4	23	0.9			
1418	L ₈₄	333 34.6	55 41.8	14	0.7	lgl. OW	71,0	
	L ₈₅	34.1	44.7	48	1.1			
	R ₁₈	333 34.4	55 43.3	66	0.9			
1419	R ₁₉	333 38.5	56 0.9	15	0.8	lgl. OW	71,0	
	L ₈₂	39.4	1.0	20	1.2			
	R ₁₈	36.5	0.3	12	0.7			
1420	R ₁₈	333 38.1	56 0.7	16	0.9	rd.	70,-1	
	R ₁₉	333 45.9	56 59.8	17	0.6			
	L ₈₁	53.9	58.4	15	0.5			
1421	R ₂₃	333 47.4	58.4	9	0.5	lgl. SO-NW	69,-5	
	R ₁₈	333 49.1	56 58.9	14	0.5			
	R ₁₉	333 59.0	55 49.9	12	0.6			
1422	L ₈₂	334 1.8	50.7	17	0.8	lgl. NS	69,-4	
	R ₁₈	333 59.4	49.8	12	0.7			
	R ₁₉	334 0.1	55 50.1	14	0.7			
1423	R ₂₃	334 34.1	51 33.7	15	0.6	lgl. NS	69,-4	
	L ₈₄	36.9	34.6	19	0.5			
	L ₈₅	38.3	32.5	18	0.5			
1424	R ₂₃	334 36.4	51 33.6	17	0.5	lgl. NS	69,-4	
	L ₈₄	334 53.6	51 39.1	18	0.6			
	L ₈₅	51.1	38.5	20	0.5			
1425	R ₂₃	53.1	39.3	25	0.4	lgl. NS	69,-4	
	L ₈₅	334 52.6	51 39.0	21	0.5			

Nr.	Roß Lick	α_{1950}	δ_{1950}	Fläche	Δm	Form	l. b. gal.	Barnard Chawtasi
1422	L ₈₄	335° 5'5	55° 45'7	14	1.1	lgl. SO-NW	71°,-1°	
	L ₈₅	9.9	49.7	12	0.7			
1423	L ₈₄	335 7.7	55 47.7	13	0.9	rd.	72,0	
	L ₈₅	335 21.1	56 54.3	24	1.1			
1424	R ₂₃	336 23.6	57.0	16	0.7	lgl. SW-NO	70,-6	
	L ₈₄	336 22.4	56 55.7	20	0.9			
1425	R ₂₀	336 45.4	51 1.4	26	0.6	lgl. O-W	80,-5	
	L ₈₉	46.8	2.4	30	0.7			
1426	R ₂₀	336 49.0	2.3	27	0.7	lgl. SW-NW	80,-5	
	L ₈₉	352 18.7	55 48.3	8	0.8			
1427	R ₂₀	352 19.9	47.9	8	0.7	ell. O-W	81,-4	
	L ₈₉	352 19.3	55 48.1	8	0.8			
1428	R ₂₀	352 36.6	56 0.0	15	0.8	A SO-NW	81,-4	
	L ₈₉	37.6	55 59.6	14	1.1			
1429	R ₂₀	352 37.1	55 59.8	15	1.0	A N-S	81,-4	
	L ₈₉	352 39.3	55 52.3	17	0.8			
1430	R ₂₀	352 42.3	53.2	17	0.7	rd.	81,-4	
	L ₈₉	352 40.8	55 52.8	17	0.8			
1431	R ₂₀	352 48.6	56 11.9	17	0.8	Sichel O-W	81,-6	
	L ₈₉	50.8	13.2	16	1.1			
1432	R ₂₀	352 49.7	56 12.6	17	1.0	Keule SW-NO	82,0	
	L ₈₉	353 33.5	56 37.8	10	0.8			
1433	R ₂₀	353 34.5	35.7	11	0.7	ell. SO-NW	82,-4	
	L ₈₉	353 34.0	56 36.8	11	0.8			
1434	R ₂₀	353 55.8	57 17.7	8	1.2	Sichel SO-NW	82,-4	
	L ₈₇	59.3	15.1	19	0.7			
1435	R ₂₀	353 56.7	16.8	19	0.7	Sichel SO-NW	82,-4	
	L ₈₉	353 57.2	57 16.5	15	0.9			
1436	R ₂₀	354 2.0	54 34.4	24	0.6	lgl. SO-NW	82,-6	
	L ₈₉	353 59.6	35.2	17	0.7			
1437	R ₂₀	354 0.8	54 34.8	21	0.7	lgl. O-W	83,1	
	L ₈₇	354 13.7	61 18.2	49	0.8			
1438	R ₂₀	12.8	18.6	45	0.5	lgl. O-W	83,1	
	L ₈₉	20.7	18.5	87	0.5			
1439	R ₂₀	354 15.7	61 18.4	60	0.6	Keule SW-NO	83,1	
	L ₈₇	354 58.3	56 45.6	8	0.6			
1440	R ₂₀	355 1.3	44.3	16	1.1	Sichel O-W	83,1	
	L ₈₉	354 59.2	45.7	13	1.1			
1441	R ₂₀	354 59.6	56 45.2	12	0.9	ell. SO-NW	83,1	
	L ₈₇	354 58.4	57 4.3	6	0.6			
1442	R ₂₀	355 2.4	3.0	12	1.1	Keule SW-NO	83,1	
	L ₈₈	2.6	4.2	11	1.1			
1443	R ₂₀	355 1.1	57 3.8	10	0.9	Sichel SO-NW	83,1	
	L ₈₉	355 41.3	55 22.8	12	0.6			
1444	R ₂₀	33.8	24.6	11	0.7	lgl. SO-NW	83,1	
	L ₈₉	355 37.5	55 23.7	12	0.7			
1445	R ₂₀	355 42.9	61 50.0	14	0.6	lgl. O-W	83,1	
	L ₈₇	37.8	49.1	17	0.5			
1446	R ₂₀	46.8	49.2	14	0.5	lgl. O-W	83,1	
	L ₈₉	355 42.5	61 49.4	15	0.5			

Nr.	Roß Lick	α_{1950}	δ_{1950}	Fläche	Δm	Form	l. b. gal.	Barnard Chawtasi
1437	R ₂₀	355°50'8	55°16'4	18	0.6	lg. SO-NW	82°-6°	
	L ₈₉	51.3	14.8	17	1.1			
1438	R ₂₀	355 51.1	55 15.6	18	0.9	lg. O-W	84,1	
	L ₈₇	356 1.0	62 15.2	15	0.6			
1439	L ₈₇	355 59.0	15.5	16	0.5	lg. SW-NO	83,-3	
	L ₈₉	356 8.9	14.5	23	0.7			
1440	R ₂₀	356 3.0	62 15.1	18	0.6	rd.	83,-4	
	L ₈₇	357 3.3	58 12.7	27	0.8			
1441	L ₈₇	7.8	13.0	26	1.1	lg. SW-NO	83,-2	
	L ₈₉	7.4	13.2	22	0.7			
1442	R ₂₀	357 6.2	58 13.0	25	0.9	lg. O-W	84,1	
	L ₈₇	357 7.9	57 46.7	18	0.8			
1443	L ₈₇	11.6	45.6	16	0.7	rd.	83,-3	
	L ₈₉	11.3	48.5	23	0.7			
1444	R ₂₀	357 10.3	57 46.9	19	0.7	rd.	83,-3	
	L ₈₇	357 13.7	59 20.6	32	0.8			
1445	L ₈₇	12.8	20.7	43	0.7	lg. SW-NO	83,-3	
	L ₈₉	12.0	18.4	36	0.7			
1446	R ₂₀	357 12.8	59 19.9	37	0.7	lg. O-W	83,-5	
	L ₈₇	357 14.9	62 24.9	76	0.6			
1447	L ₈₇	8.3	24.0	53	0.5	Sichel SO-NW	84,-3	
	L ₈₉	20.7	23.1	65	0.7			
1448	R ₂₀	357 14.6	62 24.0	65	0.6	rd.	83,-6	
	L ₈₇	357 20.8	58 15.7	9	0.6			
1449	L ₈₇	17.2	14.0	13	0.7	lg. N-S	84,-5	
	L ₈₉	17.7	18.7	14	0.7			
1450	R ₂₀	357 18.6	58 16.1	12	0.7	rd.	83,-3	
	L ₈₇	357 22.4	57 46.5	14	0.8			
1451	L ₈₇	25.0	44.7	13	0.7	rd.	83,-3	
	L ₈₉	27.7	47.1	11	0.7			
1452	R ₂₀	357 25.0	57 46.1	13	0.7	lg. N-S	83,-5	
	L ₈₇	357 55.0	55 54.3	12	0.6			
1453	L ₈₇	53.6	53.3	13	0.7	rd.	83,-6	
	L ₈₉	357 54.3	55 53.8	13	0.7			
1454	R ₂₀	357 51.9	58 5.9	79	0.6	Sichel SO-NW	84,-3	
	L ₈₇	57.7	6.5	50	0.7			
1455	L ₈₇	55.8	5.7	58	0.7	lg. N-S	84,-6	
	L ₈₉	357 55.1	58 6.0	62	0.7			
1456	R ₂₀	358 4.5	55 40.8	12	0.6	Stab SO-NW	84,-5	
	L ₈₇	4.3	42.3	14	0.7			
1457	R ₂₀	358 4.4	55 41.6	13	0.7	lg. N-S	84,-4	Ch. Nr. 794
	L ₈₇	358 11.1	58 41.8	50	0.8			
1458	L ₈₇	6.4	40.7	55	1.1	Ch. Nr. 794		
	L ₈₉	11.3	42.9	58	1.1			
1459	R ₂₀	358 9.6	58 41.8	53	1.0	lg. N-S	84,-4	
	L ₈₇	26.0	51.2	53	0.8			
1460	L ₈₇	26.1	49.6	30	1.1	Ch. Nr. 794		
	L ₈₉	27.2	52.0	23	1.1			
1461	R ₂₀	358 26.4	57 50.9	35	1.0	Ch. Nr. 794		
	L ₈₇	26.4	50.9	35	1.0			

Nr.	Roß Lick	α_{1950}	δ_{1950}	Fläche	Δm	Form	l. b. gal.	Barnard Chawtasi
1450	R ₂₀	358° 41'.1	59° 28'7	61	1.2	lgl. N-S	84°,-2°	Ch. Nr. 795
	L ₈₇	38.5	27.4	62	1.5			
	L ₈₉	40.0	25.9	42	1.5			
1451	R ₂₀	358 39.5	59 27.3	55	1.4	rd.	84,-3	
	L ₈₇	358 42.5	58 37.7	31	0.8			
	L ₈₉	40.4	38.2	33	1.1			
1452	R ₂₀	358 42.5	40.7	20	1.1	lgl. O-W	89,-2	
	L ₈₇	358 41.8	58 38.9	28	1.0			
	L ₈₉	56.5	20.9	21	0.8			
1453	R ₂₀	358 52.6	59 19.4	17	1.1	A N-S	84,-4	
	L ₈₇	359 17.7	59 22.9	13	0.7			
	L ₈₉	20.1	18.3	17	0.9			
1454	R ₂₀	359 18.7	57 18.3	18	0.7	Sichel SO-NW	84,-5	
	L ₈₇	359 26.3	56 25.2	6	0.8			
	L ₈₉	24.7	24.7	6	1.1			
1455	R ₂₀	359 27.4	56 25.0	6	1.0	ell. N-S	84,-3	
	L ₈₇	359 30.0	58 14.2	23	0.6			
	L ₈₉	31.1	12.8	26	0.7			
1456	R ₂₀	359 30.1	58 13.3	34	0.7	rd.	85,0	
	L ₈₇	359 49.2	61 54.6	12	0.6			
	L ₈₉	50.0	53.6	13	1.0			
		49.2	55.0	11	0.7			
		359 49.5	61 54.4	12	0.8			